

VYSOKÁ ŠKOLA STROJNÍ A TEXTILNÍ

V LIBERCI

PŘÍSPĚVEK K NESTEJNOMĚRNOSTI
VLÁKENNÝCH PRODUKTŮ KLASICKÉHO A ZKRÁCENÉHO
ZPŮSOBU SPŘÁDÁNÍ

Kandidátská dizertační práce

Liberec, červen 1971

Ing. Sayed Ibrahim

1. ÚVODNÍ ČÁST

	str.
1. ÚVODNÍ ČÁST	1
1.1 Obsah	2
1.2 Úvod	7
1.3 Historický přehled bezkřídlovkového předení	9
2. VSTUPNÍ ČÁST	10
2.1 Literární rešerše	11
2.2 Seznam použitých symbolů	15
2.3 Seznam příloh	19
3. TEORETICKÁ ČÁST	21
3.1 Definice nestejnoměrnosti a vad v přáním procesu	22
3.1.1 Kritéria nerovnoměrnosti	22
3.2 Rozložení vláken v závislosti na jejich délce	23
3.2.1 Statistická charakteristika rozložení délek vláken	24
3.2.1.1 Hmotné rozložení vláken podle délky	24
3.2.1.2 Průrezové rozložení vláken podle délek	27
3.2.1.3 Třásňové (staplové) rozložení vláken podle délek	28
3.2.1.3.1 Vlastnosti třásňové (staplové) křivky $H_F(L)$	31
3.3 Ideální svazek vláken	33
3.3.1 Autokorelační funkce	33
3.3.1.1 Vztah mezi autokorelační a staplovou křivkou	34
3.3.2 Délková variační křivka	36
3.3.2.1 Hustota materiálu	36
3.3.2.2 Statistická definice vnější CB(L)	38
3.3.2.3 Statistická definice vnitřní nestejnoměrnosti CB(L), U(L)	40
3.3.2.4 Srovnání statistické a geometricko-analytické definice délkové variační křivky	40
3.3.2.5 Definice CV(L) a vnitřní nestejnoměrnosti	42

str.

3.3.2.6	Vztah mezi autokorelační funkcí a délkovou variační funkcí $CB(L)$	44
3.3.2.7	Výpočet délkové variační křivky	45
3.3.2.7.1	Olerupova metoda	45
3.3.2.7.2	Brennyho metoda	46
3.3.2.7.3	Numerický integrál (Wegener - Hoth)	47
3.3.2.7.4	Překrývací metoda (Überlagerungs Methode)	47
3.3.2.7.5	Stanovení $CB(L)$ pomocí počítače (Wegener) /19/	48
3.3.2.7.6	Metoda Fujina a Kawabata	50
3.3.2.7.7	Srovnání výpočetních metod	51
3.3.2.7.8	Návrh výpočtu $CB(L)$ pomocí fibrografu	52
3.3.3	Limitní nestejnoměrnost $CB(0)$	55
3.3.3.1	Výpočet $CB(0)$	55
3.3.3.2	Limitní nestejnoměrnost směsového produktu	57
3.3.3.2.1	Výpočet ^G Odvození koeficientu jemnosti vláken směsových produktů	57
3.3.4	Spektrum funkce	61
3.3.4.1	Vztah mezi autokorelační funkcí a spektrem funkce	61
3.3.4.2	Vztah mezi spektrem a délkovou variační křivkou	62
3.3.4.3	Výpočet spektra funkce	63
3.3.4.4	Odvození a výpočet spektra funkce pomocí $H_F(L)$	63
3.4.	Skutečný svazek vláken	66
3.4.1	Skutečná nestejnoměrnost svazku vláken	66
3.4.2	Index nestejnoměrnosti	68
3.4.3	Způsob měření hodnoty $CB(L)$	69
3.4.4	Charakteristika $CV(L)$	70
3.4.5	Charakteristika $CB(L)$	71
3.4.6	Princip USTER	71
3.4.7	Brennyho konstrukce na zjištění celkové nestejnoměrnosti	74

	str.
3.5 Diskuze k teoretické části	75
3.5.1 Diskuze k ideálnímu svazku a ideální nestejnoměrnosti	75
3.5.2 Diskuze k indexu nestejnoměrnosti a rozdělení konců vláken	77
3.5.3 Diskuze k významu CB(L)	78
3.5.4 Vztah mezi družením, průtahem a nestejnoměrností	80
3.5.4.1 Výpočet případné nestejnoměrnosti ve skutečném svazku vláken	82
3.5.5 Diskuze k navrhované metodě $\overline{CB}(L)$ pomocí fibrografu	84
3.5.6 Posouzení významu $CB(\frac{L}{I})$, $P(-\frac{u}{I})$ a $s^2(\frac{-\log \lambda}{I})$	88
4. EXPERIMENTÁLNÍ ČÁST	89
4.1 Zaměření práce - cíl	90
4.2 Zkoušky technologické	90
4.2.1 Přádní plány - sortiment JITKA	90
4.2.2 Technologické údaje - sortiment JITKA	93
4.2.3 Přádní plány - sortiment SEBA	95
4.2.4 Technologické údaje - sortiment SEBA	97
4.2.5 Popis použité přádní techniky	98
4.3 Zkoušky vláken	102
4.3.1 Délka vláken	102
4.3.1.1 Měření délky vláken jehličkovým stappovým přístrojem	102
4.3.1.2 Měření délek jednotlivých vláken	103
4.3.1.3 Měření na fibrografu	104
4.3.2 Jemnost vláken	104
4.4 Zkoušky výrobků	105
4.4.1 Nestejnoměrnost	105
4.4.1.1 Normal test $CB(0)$	105
4.4.1.2 Innert test $CB(L)$	105
4.4.1.3 Spektrogram	105

	str.	
4.4.2	Vady (slabá a silná místa a nopy)	106
4.4.3	Fyzikálně-mechanické vlastnosti	106
4.4.3.1	Pevnost, tažnost	106
4.4.3.2	Presovní křivky	106
4.4.3.3	Čm přízí	106
4.4.4	Výpočet ideálních průběhů	107
4.4.4.1	Výpočet limitní nestejnoměrnosti $CB(0)$	107
4.4.4.2	Výpočet indexu nestejnoměrnosti	107
4.4.4.3	Výpočet ideálního průběhu křivky $CB(L)$	107
4.4.4.4	Výpočet ideálního průběhu spektra funkce	108
4.4.5	Vyhodnocovací technika	108
4.4.5.1	Reprezentativnost střední hodnoty měřeného znaku	108
4.4.5.2	Rozsah spolehlivosti	108
4.4.5.3	t - test, rozdíly středních hodnot	109
4.4.5.4	Rozptylová analýza	110
4.4.5.5	Mezní rozdíl (Grenz Differenz) GD	111
4.5	Diskuze k experimentální části	112
4.5.1	Diskuze k předním plánům	112
4.5.2	Diskuze o nestejnoměrnosti $CB(0)$	113
4.5.3	Diskuze o průběhu délkové variační křivky $CB(L, l)_T$	115
4.5.4	Diskuze k spektrogramu	117
4.5.5	Diskuze k vadám v kvalitě příze	118
4.5.6	Diskuze k pevnosti a tažnosti	118
5.	E K O N O M I C K Á Č Á S T	120
5.1	Účel a cíl	121
5.2	Technologický postup (viz experimentální část, 4.2.1)	121
5.2.1	Výrobnost stroje a počet potřebných strojů	121
5.2.2	Spotřeba elektrické energie	122
5.2.3	Potřeba provozní plochy	122
5.2.4	Základní materiál	123

	str.
5.2.5 Mzdy výrobních dělníků	123
5.2.6 Dílenská režie	123
5.3 Ekonomie systému klasické technologie	125
5.3.1 Výrobnost a počet potřebných strojů	126
5.3.2 Spotřeba elektrické energie kWh	126
5.3.3 Potřeba provozní plochy m ²	126
5.3.4 Základní materiál	127
5.3.5 Mzdy výrobních dělníků	127
5.3.6 Dílenská režie	128
5.3.7 Výpočet úspor	129
5.3.8 Porovnání obou technologií	130
5.4 Diskuze k ekonomické části	132
6. ZÁVĚREČNÁ ČÁST	133
6.1 Poznatky teoretické části	134
6.2 Poznatky experimentální části	135
6.3 Poznatky ekonomické části	136
6.4 Závěr	137
Seznam použité literatury	138

1.2 Úvod

Lidstvo stojí před historickou etapou vědecko-technické revoluce. V textilním, konkrétně přádelnickém průmyslu se vědecko-technická revoluce projevuje regulací a automatizací. Podmínkou pro jakýkoliv technický rozvoj v přádelnách je důkladný teoretický rozbor včetně identifikace všech poruch, které se vyskytují v technologickém procesu.

V stávajících technologických procesech vznikly poruchy nestejnoměrnosti, které je snaha stále snižovat. V přádelnách budoucnosti musíme naopak všem poruchám předcházet. Je proto zcela logické, že všechny uvedené poruchy, a to pokud se týká vlastní vlákkenné suroviny, tak technologických přádelnických procesů, je nutno teoreticky zdůvodnit.

V předložené práci, která si neklade nárok na úplnost se pokusíme charakterizovat nestejnoměrnost, její vznik, charakteristiku a funkční závislosti.

Aby bylo možno detailně charakterizovat nestejnoměrnost na úrovni současného stavu techniky, je třeba se seznámit skutečného a ideálního souboru svazku vláken. Dále je nutno stanovit kritéria funkčních vlastností svazku vláken, jejich délkové rozložení, autokorrelační funkce, délkové variační charakteristiky, spektra funkcí atd. Teprve důkladným poznáním rozboru těchto jevů můžeme ovlivňovat vlastní technologický proces.

V experimentální části předkládané práce je učiněn pokus aplikovat získané poznatky na podmínky bezkřídlovkové přádelny, tj. na pramenové předení a jeho srovnání s klasickými technologickými postupy.

Experimentální část nemohla být provedena vyčerpávajícím způsobem, pokud se týká výběru různých vlákkenných surovin. Také vyhodnocování příze nebylo provedeno zcela do-

konsale s ohledem na možnosti jak školy, tak i autora.

Třeba brát též v úvahu určitou indispozici autorovu, která spočívá v jazykových potížích. Bylo třeba pro spoustu odborných výrazů stanovit české termíny, což nebylo vždy jednoduché. Rovněž označení symbolů bylo přizpůsobeno zahraniční literatuře a neodpovídá vždy normám ČSN.

Závěrem chci poděkovat vzácnému pochopení vlády Sjednocené arabské republiky a přátelským stykům s Československou socialistickou republikou, rovněž tak pracovníkům textilní fakulty Vysoké školy strojní a textilní v Liberci, kteří mně připravili příjemné pracovní prostředí. Zvláště pak svému školiteli, Prof. Ing. Jaroslavu Simonovi, děkanu textilní fakulty, za cenné rady a pochopení pro mou práci.

Liberec, červen 1971

1.3 Historický přehled bezkřídlovkového předení

Pramenové předení bavlny

První patent na spřádání pramenů s vyloučením přástování pochází od vynálezce Daye, který za něj v roce 1836 obdržel patent. Vynálezce však značně předběhl dobu. Vynález se tehdy nesetkal s patřičným ohlasem. Další vynález se objevil v roce 1884, kdy T. Abbot přihlásil v USA pat. č. 314.608. Vynálezce přihlásil průtahové ústrojí s více válečkovými páry, takže docíloval výsledný průtah až 120ti násobný. Tím se mu podařilo pracovat bez nebo s jedinou pasáží křídlovek. Avšak ani tento vynález se prakticky neprosadil.

Známý vynálezce Casablanca přihlásil v roce 1922 něm. pat. č. 396.620 průtahové ústrojí, které označil jako "kombinované". Byla to vlastně dvě průtahová ústrojí za sebou. První obyčejné tříválečkové průtažné ústrojí, druhé Casablanca se dvěma řemínky nebo s přítlačným válečkem, který sloužil k lepší kontrole vláken. Mezi těmito ústrojími byla krutná trubka, která sloužila k zhuštění vláken.

Podobnou cestou šla fy Hartmann v roce 1929. Ani další vynálezci Gmind, Nigrín a Horská své vynálezy nedovedli do průmyslového užívání.

Teprve po druhé světové válce poněkud s větším úspěchem se setkalo italské ústrojí Nastrofil. Ani to se však většího rozšíření nedočkalo.

Pramenové předení, které doznalo průmyslového využití byl japonský systém OM-S a OM-K. Tento systém se úspěšně prosadil v sasijských podmínkách.

V ČSSR bylo pramenové spřádání bavlny úspěšně vyvinuto v np. Kovotex, Červený Kostelec. Pramenové předení se začíná prosazovat stále větší mírou u řady výrobců přádelnicích strojů.

vý

2. V S T U P N í Č Á S T

2.1 Literární rešerše

RUDNICK E.S. - Super high draft Spinning; Sliver to yarn.
Text. Res. J. 26,489 (1956)

V roce 1956 porovnával 14 druhů příze od Čm 32,17 (31,08 tex) až Čm 135,5 (7,38 tex) předených na japonských vysokoprůtažných prstencových strojích a na strojích s klasickým průtažným systémem. Přitom zjistil, že příze předená bezkřídlovkově měla lepší nebo stejnou pevnost.

NUTTER a SLATER - A critical assessment of recent Progress in the technology of Cotton Spinning. J. Text. Inst. 50,P397 (1959) 53, P481 (1962)

Uvádějí vlivy průtahu v předpřádacím procesu (tj. počet posukovacích pasáží). Zjistili, že pevnost přízí stoupala s počtem předpřádacích pasáží, a to jak v klasickém, tak i bezkřídlovkovém systému. Porovnávané příze, které měly dobré vyrovnání zadních háčků vláken, nalézajících se v průtahovém poli měly lepší pevnost než rozdíl od těch, které vyrovnávání předních háčků neměly tak dobré.

BORNET - Survey for short and long-term unevenness of yarns spun on Cotton System. Ontario Research Foundation, Toronto (1961)

V roce 1961 porovnával příze předené klasicky a bezkřídlovkově. Autoře ^{ne}vedl přední plán a proto uvedené výsledky nejsou srovnatelné.

HOOPER N. - Sliver to yarn Spinning. Text. manuf., 86, 478 (1960) - Direct Sliver Spinning. Tweedales Smolly Globe Rev.3, No. 4,181 (1961)

Srovnával bavlněné příze Čm 11,85 (84,36 tex); 20,32 (49,21 tex); 27,09 (36,21 tex); 40,64 (24,61 tex) předené klasicky a bezkřídlovkově. Při zkouškách používal dělení pramene na poslední pasáži (typ AKP 12) a na předení používal prstencový stroj (typ RWF 4 válce).

průt. ústrojí). Porovnávacími parametry byly nestejnoměrnosti tržná délka, zékrut, vzhled a produktivita práce. Překvapivé byly výsledky získané z vysokoprůtažného systému (200 násobný průtah), které měly lepší hodnoty nestejnoměrnosti na přístroji USTER, než z klasického systému (16-26 násobný průtah).

RUSAKOV, ROMANOV, FEINBERG a ČATKINA - Flyerloses Spinnen Textil. prom. č. 5, 43 (1961). Souhrn v němčině v Zeitschrift f.d. ges. Textilindustrie 64, 165 (1962)

Srovnávali spředání bavlny a česané příze Čm 37 (115 násobný průtah, resp. 12,5 násobný) a Čm 61 (191 násobný, resp. 20,3 násobný) a mykanou přízi Čm 34 (106 násobný, resp. 11,3 násobný). Použity byly bezkřídlovkový a klasický spřadací systém. Autoři zjistili, že příze předené bezkřídlovkově na vysokoprůtažném 4válečkovém ústrojí, se spodním vodícím řemínkem a ohnutou dráhou vedení vláken se téměř nelišily. Na větších úsečkách dosáhli v bezkřídlovkovém předení lepších výsledků. Příze Čm 69 předená na vysokoprůtažných strojích OMS s 250 násobným průtahem (resp. 13 násobný průtah) neměla markantní rozdíl v pevnosti oproti klasické přízi.

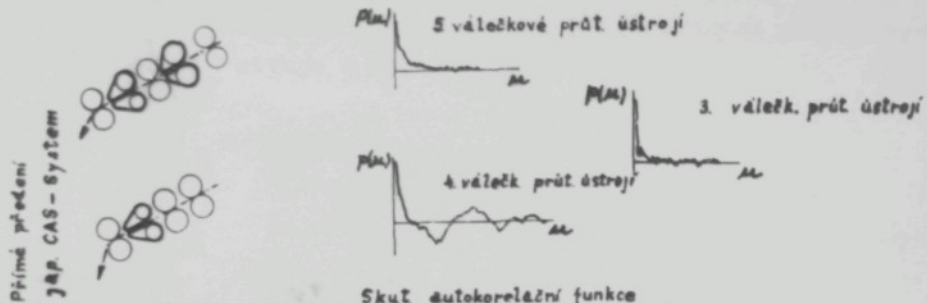
RAES - Was ist vom Streckbandspinnen zu erwarten. Melliand Textilberichte 43, 552 (1962)

Srovnává mykanou přízi Čm 31,25 (průtah 78 násobný, resp. 11,6 násobný) a Čm 65,5 (průtah 165 násobný, resp. 23,2 násobný) předenou na čtyřválečkovém vysokoprůtažovém ústrojí s jednořemínkovým systémem fy Weller (dříve Pfeningsberg). V další práci srovnává příze předené na japonském systému CAS.

AONO, MURAKAMI a ARAI - CAS System and some of its dynamic characteristics. J. Text. Mach. Soc. Japan 2, 1 (1962)

Zhotovili zařízení na měření autokorelogramu pomocí analogového kořelatoru. Potom porovnávali autokorelogramy přízí předených klasicky a čtyřválečkových dvouřemínkových a pětválečkových

čtyřvalemíkových ústrojí. Podle zhotovených autokoreogramů odvozili, že čtyřvalemíkové vysokoprůtahové systémy nebyly vhodné pro předení jemných přízí čm 67,73.



Příze předené na pětivalemíkovém ústrojí s 360násobným průtahem a příze klassicky předené byly rovnocenné.

WEGENER a PEUKER - Das Faserbandspinnverfahren. Zeitschrift f.d. ges. Textilindustrie 64,-1050 (1962); 65,-6, 81, 163, 259, 347, 428, 508, 592, 815, 1017 (1963); 66,- 99, 179, 254, 368 (1964)

Seriál článků zabývající se obšírně všemi problémy předení bavlny z pramene. Přehled známých prstencových strojů, různé systémy předloh, vývoj průtažných ústrojí pro vysoký průtah. Systémy CAS pro kontinuální linky, vliv pesáží, posukování na jakost pramene a ekonomické zhodnocení předení z pramene. Výtah stati také v časopise Deutsche Textiltechnik 4 , 175 (1964)

STEIN H. - Vergleich des Bandspinnens von Baumwolle und Chemiefasern mit dem klasischen Baumwollspinnverfahren. Textil Praxis 18, 172 (1963)

Výtah z výzkumné zprávy Institutu pro textilní měřicí techniku v M. Gladbachu. Pojednává o premenovém spřádání a poukazuje na některé záporné jevy tohoto systému, např. nutnost většího prostoru pro překládaný materiál. Pramen v konvi vyžaduje 2 až 3 krát větší prostor než stejné množství materiálu na cívce z křídlovky. Průtažné zařízení na velevysoký průtah vyžaduje zhuštovací nálevky, které jsou častým zdrojem poruch a nepředvidelností. Zhodnocení premenového předení z hlediska kvality výrobku.

ŠTOREK - Zkušenosti a výsledky úsilí o předení z pramene.
Textil 17, 168 (1962)

Přehled zahraničních strojů a zkušebních strojů vyrobených
v ČSSR pro přímé předení z pramene. Jakost vypředených přízí, vy-
robených na modelu stroje s velevysokým průtahem.

2.2 Seznam použitých symbolů

b	šířka kondenzátoru, měřená ve směru průchodu materiálu
c	konstanta
CB	variační koeficient (Between)
$CB(0)$	limitní nestejnoměrnost
$CB(L)$	délková variační funkce
$CB(L, l_r)$	celkový variační koeficient (zákl. soubor)
$CB(L, l_w)$	délkové variační křivky zkoumané délky
$CB(l_t, l_r)$	délková variační křivka zkoumaných délek a celého zákl. souboru
$CB(L)_{MF}$	délková variační křivka získaná z fibrografu
CV	vnitřní variační koeficient (within)
$CV(L)$	vnitřní délková variační křivka
$CV(0, L, l_r)$	vnitřní délková variační křivka celého zákl. souboru
CT	celkový variační koeficient (Total Coefficient of Variation)
CT_z	případná nestejnoměrnost, způsobená odchylkou vzájemného posunutí vláken
\bar{C}_{mp}	číslo metrické produktu
\bar{C}_{mv}	číslo metrické vláken
D	družení
\bar{d}	relativní průměrná odchylka
\bar{d}^x	relativní průměrná odchylka od zvolené hodnoty x
$dp(l)$	pravděpodobnost vytažených vláken délky 1 namodifikovaným výběrem
$E(m_F)$	očekávaná hodnota počtu vláken (Poissonovo rozdělení)
F	hodnoty F rozdělení
$F(\frac{1}{\lambda})$	normované spektrum funkce
f	stupeň volnosti
$f(T)$	frekvenční funkce rozložení jemnosti vláken i-tého komponentu

G	váha kusu materiálu
GD	mezní rozdíl (Grenz Differenz)
\bar{g}	průměrná hodnota hustoty kusu materiálu
$H(l)$	sumární četnost (distribuční funkce)
$H_p(L)$	staplová(třásen) křivka
$H_m(L)$	modifikovaný fibrogram
λ	četnost
$\lambda(g)$	překročená četnostní funkce
$\lambda(l)$	relativní četnost délek vláken (frekvenční funkce rozložení délek vláken)
$\lambda_g(l)$	frekvenční funkce rozložení vláken v průřezu
$\lambda(T)$	frekvenční funkce rozložení jemnosti vláken ve směsi
I	intenzita (proud)
i_{re}	index rozložení konců vláken
K	index nestejnoměrnosti
$K(L)$	index nestejnoměrnosti v závislosti na délce L
L	sledovaná (zkoumaná) délka svazku vláken
\bar{l}	délka vlákna
\bar{l}^*	střední délky vláken ležící v intervalu (x, l_{max})
\bar{l}	střední délka vláken
\bar{l}_g	střední délka vláken (váhová)
l_{max}	maximální délka vláken
l_T	celá délka vlákkenného útvaru zákl. souboru (Total Length)
l_t	celá pozorovaná délka svazku vláken
N	počet naměřených hodnot
\bar{N}_{re}	střední hodnota počtu konců vláken
m	počet vláken
\bar{m}	střední počet vláken v průřezu vláknitého útvaru
P	průtah
$P(x)$	pravděpodobnost podle Poissonova rozdělení
$P(m)$	autokorelační funkce
P_i	četnost i-tého intervalu

R_i	váhové zastoupení vláken ve směsi
η_i	poměr podílu vláken i-tého komponentu
r	korelační koeficient
\bar{s}_i^2	průměrný kvadratický rozptyl (<i>vnitřní</i>)
s	směrodatná odchylka z naměřených hodnot
s^2	rozptyl naměřených hodnot
\tilde{s}	vnitřní lineární rozptyl
$\delta(\log \lambda)$	spektrum funkce
\bar{T}	střední hodnoty jemnosti vláken ve směsi
\bar{t}_i	jemnost vlákna i-tého komponentu
$\bar{\bar{t}}$	střední hodnota jemnosti vláken i-tého komponentu
T_p	jemnost produktu (příze) vyjádřená v přímém systému
t	hodnoty t-rozdělení (Studentovo rozdělení)
U	vnější nestejnoměrnost
$U(l)$	vnějš. křivka nestejnoměrnosti
U_i	vnitřní nestejnoměrnost (innen)
$U[\%]$	lineární nestejnoměrnost
U^*	napětí
V	rychlosť
α	variační koeficient
α_{FA}	variační koeficient počtu vláken
α_{FE}	variační koeficient počtu konců vláken
α_T	variační koeficient hmotové jednotky délky vláken (jemnosti)
α_d	variační koeficient průměru vláken
α_l	variační koeficient délky vláken
$\bar{\gamma}$	střední hodnota hustoty pozorovaného kusu materiálu
$\bar{\gamma}(l)$	střední hodnota celého zkoumaného materiálu
$\bar{\gamma}(x)$	absolutní četnost délek vláken
	hustota materiálu

L_L, L_A	konstanty přístroje USTER-Integrátor (kvadraticky)
γ	koefficient posunu vláken
δ	zaručená relativní chyba v λ
ε	tažnost v %
$\chi(\eta)$	frekvenční funkce rozložení pravděpodobnosti zachycených vláken v sevřené linii
λ	délková vlna
μ	střední hodnota základního souboru
$\mu_{o,u}$	střední hodnota základního souboru horní a dolní meze spolehlivosti (o , u = obere, untergränze)
ξ	střední bod pozorovaného kusu materiálu
σ	směrodatná odchylka základního souboru
σ^2	rozptyl základního souboru
Φ	koefficient vlákenné soudržnosti
χ^2	hodnota χ^2 rozdělení (chi-hodnota)

2.3 Seznam příloh

- I/1-4 stanovení délky vláken na jehl. steplovacím přístroji (v surovině)
- II/5-7 stanovení délky vláken na jehl. steplovacím přístroji (v pramenu)
- III/1-6J délka jednotlivých vláken - Jitka
- III/1-6T délka jednotlivých vláken - Tenvald
- IV/1-6 χ^2 test na porovnání jednotlivých vláken
- V/1-5 výsledky a statistické vyhodnocení naměřených hodnot na přístroji USTER
6-10
- V/1-4G grafický seznam nestejnoměrnosti USTER
6-9G
- VI/1-5 naměřené hodnoty CB(L) (Innert-test)
6-10
- VII/1-4 ideální a skutečný spektrogram
6-9
- VIII/1-10 slabá místa, tlustá místa, nopky
- IX/1-4 histogramy a vyhodnocení pevnosti a tažnosti
4-9
- X/1-4 statistická analýza pevnosti příze
6-9
- XI/1-4 hodnoty deformační práce
6-9
- XII/1-4 pracovní křivky
- XIII/1-9 zjištění Čm
- XIV/1-9 zjištění zákrutu
- XV index nestejnoměrnosti
- XVI/1-12 CB(L) charakteristika příze
- XVII/1a výpočet CB(L)-překrývací metoda (Jitka)
1b výpočet CB(L)-numerický integrál
- XVIII/2a výpočet CB(L)-překrývací metoda (Seba)
2b výpočet CB(L)-numerický integrál
- XVIII/1-12a výpočet CB(L) pomocí integrálu
1-12b výpočet CB(L) pomocí fibrografu
- XIX a graf staplové křivky a modifikovaného fibrogramu (stejnoměrná trášení)
- XIX b CB(L) získaný pomocí integrálu a pomocí fibrografu

- XX a graf stupňové křivky s modifikovaného fibrogramu (nerovnoměrná třísen)
- XX b CB(L) získaný pomocí integrálu a pomocí fibrografen
- XXI souhrn ukazatelů vlastností přízí
- XXII blokové schema výpočtu CB(L) - překryvící metoda
- XXIII blokové schema výpočtu CB(L) pomocí integrálu a fibrografen

zpracování a rozvoje vzdělávání a výzkumu v oblasti vzdělávání a vzdělávacích metod. To znamená využití vzdělávacích metod a vzdělávacích procesů v rámci vzdělávání.

Také vzdělávací procesy mohou být využívány k vzdělávání v rámci vzdělávání a vzdělávacích metod. Tento postup je nazýván vzdělávacím procesem v rámci vzdělávání.

Vzdělávací procesy mohou být využívány k vzdělávání v rámci vzdělávání a vzdělávacích metod. Tento postup je nazýván vzdělávacím procesem v rámci vzdělávání. Vzdělávací procesy mohou být využívány k vzdělávání v rámci vzdělávání a vzdělávacích metod. Tento postup je nazýván vzdělávacím procesem v rámci vzdělávání.

Vzdělávací procesy mohou být využívány k vzdělávání v rámci vzdělávání a vzdělávacích metod. Tento postup je nazýván vzdělávacím procesem v rámci vzdělávání.

3. TEORETICKÁ ČÁST

3.1. Vzdělávací procesy v rámci vzdělávání a vzdělávacích metod.

3.2. Vzdělávací procesy v rámci vzdělávání a vzdělávacích metod.

3.3. Vzdělávací procesy v rámci vzdělávání a vzdělávacích metod.

3.4. Vzdělávací procesy v rámci vzdělávání a vzdělávacích metod.

3.5. Vzdělávací procesy v rámci vzdělávání a vzdělávacích metod.

3.6. Vzdělávací procesy v rámci vzdělávání a vzdělávacích metod.

3.7. Vzdělávací procesy v rámci vzdělávání a vzdělávacích metod.

3.8. Vzdělávací procesy v rámci vzdělávání a vzdělávacích metod.

3.9. Vzdělávací procesy v rámci vzdělávání a vzdělávacích metod.

3.10. Vzdělávací procesy v rámci vzdělávání a vzdělávacích metod.

3.11. Vzdělávací procesy v rámci vzdělávání a vzdělávacích metod.

3.12. Vzdělávací procesy v rámci vzdělávání a vzdělávacích metod.

3.1 Definice nestejnoměrnosti a věd v přádním procesu

Uspořádání a rozmístění vláken ve svazku během přádního procesu není dokonalé. To způsobuje nestejnoměrnosti a vady vlákenného svazku.

Vady vlákenného svazku se objevují ojediněle a nepředstavují jeho průběžné vlastnosti (např. nopky, přísuky).

Nestejnoměrností je průběžné hmotové kolísání v průřezu vlákenného svazku přádního produktu. Tato nestejnoměrnost nezahrnuje vady vlákenného svazku. Nestejnoměrnost nutně vzniká při spřádání každé stáplové suroviny. Nestejnoměrnost je hlavním kvalitativním ukazatelem v přádním procesu. Je rozhodující i při zpracování hodnocené příze v konečném textilním plošném útvaru. Nestejnoměrnost ovlivňuje rozhodující měrou výslednou kvalitu a tím i ekonomický efekt celé textilní výroby.

Nestejnoměrnost vlákenného svazku v textilně-technologickém zpracovatelském procesu ovlivňuje tyto faktory :

1. vhodnost konstrukce textilního stroje,
2. vhodnost technologického zpracovatelského procesu,
3. vhodnost textilní suroviny.

V přádném procesu mohou být tyto faktory ovlivněny.

1. vhodností použitého průtahového systému, založiskováním průtahových válečků, přftiskem horních válečků;
2. vhodností usazení průtahových válců, rozdelením mezi-průtahů, družením, zákrutem;
3. vhodností suroviny, její čistotou, pevností, délkou a jemností vláken

3.1.1. Kriteria nerovnoměrnosti mohou být vyjádřena :

1. Autokorelační funkcí $P(u)$,
2. délkovou variaci funkcí $\sigma^2(L)$,
3. spektrem funkce $s^2(\log \lambda)$
4. překročenou četnostní funkcí ($\text{Überschreitungshäufigkeit}$) $h(g)$

Autokorelační funkce udává velikost závislosti mezi hustotou materiálu $y(x)$ a $y(x+u)$, kde u je hodnota různíci se mezi oběma údaji.

Délková variacioní funkce udává hmotné kolísání materiálu, vyjednáné veriačním koeficientem jako funkce zkoumané délky.

Spektrum funkce udává veličinu sinusového kolísání v závislosti na délkové vlně λ .

Překročená četnostní funkce (Überschreitungsheufigkeit) udává četnost h překročení určité mezní hodnoty g .

V dalším se pokusím vysvětlit základní pojmy o rozložení vláken v přádním útvaru.

3.2 Rozložení vláken v závislosti na jejich délce

Pro analýzu rozložení vláken ve svažku rozlišujeme :

- a. hmotový vzorek,
- b. průřezový vzorek,
- c. třásňový (staplový) vzorek.

Vzorek podle a připravíme tak, že z většího množství suroviny (chomáčků), nebo delšího kusu pramene (příze) vybereme vzorek, kde každé vlákno tohoto souboru má stejnou pravděpodobnost vytažení a změření.

Vzorek podle b připravíme tak, že svažek vláken (pramene, přástu) sevřeme dostatečně úzkou plochou (přibližující se teoreticky linii), vyčešeme nesevřená vlákna po obou stranách stiskové plochy (linie), potom zbylé sevřená vlákna představují soubor vláken z průřezu.

Vzorek podle c připravujeme stejným způsobem jako v případě b s tím rozdílem, že zbylé sevřená vlákna těsně po jedné straně čelistí uřízneme a takto získáme třásňový vzorek.

3.2.1 Statistické charakteristiky rozložení délek vláken3.2.1.1 Hmotné rozložení vláken podle délek

Nejdříve musíme stanovit rozložení počtu naměřených vláken n podle velikosti délky l , tj. v závislosti absolutní četnosti na velikosti délky l . Nejpravděpodobnější jsou potom vlákna délky l s maximální četností.

Stanovíme, kolik naměřených vláken leží v intervalu

$$\left\langle l - \frac{\Delta l}{2}, l + \frac{\Delta l}{2} \right\rangle$$

Je-li tento počet $\Delta m_i(l)$, definujeme průměrnou absolutní četnost výrazem

$$y(l) = \frac{\Delta m_i(l)}{\Delta l} \quad (1)$$

a průměrnou relativní četnost

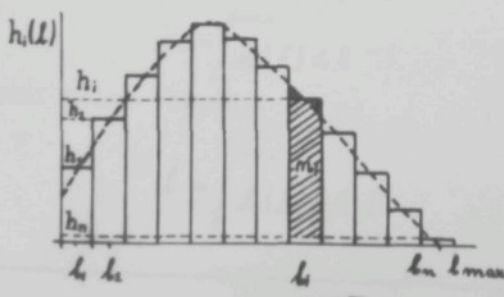
$$M(l) = \frac{y(l)}{m} = \frac{\Delta m_i(l)}{m \cdot \Delta l} \quad (2)$$

rozšíříme (1) a (2) na ideální případ, potom absolutní četnost

$$y(l) = \lim_{\Delta l \rightarrow 0} \frac{\Delta m_i(l)}{\Delta l} = \frac{dm(l)}{dl} \quad (3)$$

a relativní četnost

$$M(l) = \lim_{\Delta l \rightarrow 0} \frac{\Delta m_i(l)}{m \cdot \Delta l} = \frac{y(l)}{m} \quad (4)$$



Pravděpodobnost vytážených vláken náhodilým výběrem označíme

$$dp(l) = \frac{dn(l)}{n}$$

s počtem n členů je $h(l)$ potom nazýváno hustotou pravděpodobnosti /1, 2/. Pro velký počet měřených hodnot n se statistická pravděpodobnost (relativní četnost) blíží k matematické pravděpodobnosti.

Pro pravděpodobnost $dp(l)$, že vlákno délky l leží v intervalu

$$\left\langle l - \frac{dl}{2}, l + \frac{dl}{2} \right\rangle$$

potom platí

$$dp(l) = \frac{dn(l)}{n} = \frac{f(l)dl}{n} = h(l)dl \quad (5)$$

také frekvenční funkce rozložení vláken podle délek splňuje

$$h(l) = \frac{dp(l)}{d(l)} \quad (6)$$

Frekvenční funkce pro $l < 0$, a pro $l > l_{max}$ nabývá nulové hodnoty.

Integrál frekvenční funkce (relativní četnost) v mezi od l až l_{max} vyjadřuje pravděpodobnost výběru vlákna ze základního souboru délky l nebo větší. Platí tedy :

$$H(l) = \int_l^{l_{max}} h(l) dl \quad (7)$$

$H(l)$ distribuční funkce (sumární četnostní funkce)

Distribuční funkce je normovaná, že :

$$H(0) = \int_0^{l_{max}} h(l) dl = 1 \quad (8)$$

dále střední délka vláken

$$\bar{l} = \int_0^{l_{max}} h(l) dl \cdot l \quad (9)$$

nebo

$$\bar{l} = \int_0^{l_{max}} \int_0^{l_{max}} h(l) dl dl \quad (10)$$

rozptyl :

$$\sigma^2 = \int_0^{l_{max}} (l - \bar{l})^2 h(l) dl \quad (11)$$

variační koeficient :

$$\nu = \frac{\sigma}{\bar{l}} \cdot 100 \quad (12)$$

Mimo variace bývá kromě σ^2 respektive ν vyjádřeno někdy průměrnou odchylkou :

$$\bar{d} = \int_0^{l_{max}} |l - \bar{l}| h(l) dl \quad (13)$$

relativní průměrnou odchylkou (která je lineární analogií variačního koeficientu)

$$\frac{\bar{d}}{\bar{l}} = \frac{1}{\bar{l}} \int_0^{l_{max}} |l - \bar{l}| h(l) dl \quad (14)$$

průměrnou odchylku \bar{d} od zvolené hodnoty x , která je mírou variaci vzhledem ke zvolené hodnotě x .

Platí :

$$\begin{aligned} \bar{d} &= \int_0^{l_{max}} |l - x| h(l) dl - && \text{kde } l, x \text{ splňují} \\ &- \int_0^x |l - x| h(l) dl + \int_x^{l_{max}} |l - x| h(l) dl && 0 \leq l \leq l_{max} \\ &0 \leq x \leq l_{max} \end{aligned}$$

Ze vztahu pro \bar{d} lze zřejmě psát :

$$\bar{d} = \int_0^x |l - x| h(l) dl + \int_x^{l_{max}} |l - x| h(l) dl$$

Dle definice pojmu absolutní hodnota reálného čísla je zřejmé, že

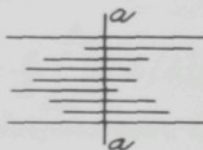
$$\bar{d} = \int_0^x [x - l] h(l) dl + \int_x^{l_{max}} [l - x] h(l) dl \quad (15)$$

takže :

$$\bar{d}^x = \bar{d}_1^x + \bar{d}_2^x \quad (16)$$

První integrál vyjadřuje podíl vláken kratších než x na průměrné odchylce \bar{d}^x a druhý integrál vyjadřuje podíl vláken delších než x na průměrné odchylce \bar{d}^x .

3.2.1.2 Průřezové rozložení vláken podle délek



Máme-li pramen s parallelním uložením vláken a se-vřeme-li tento pramen v linii $a-a$, a vyčešeme všechna nesevřená vlákna, vytvoříme průřezový soubor vláken. Chceme-li popsat tento soubor vláken, musíme nejprve hledat pravděpodobnosti sevření vlákna délky l . Tato pravděpodobnost je úměrná délce vláken a rovná se $c \cdot l$. kde c konstanta úměrnosti [mm^{-1}]

Označíme-li relativní četnostní funkci zachycených (sevřených) vláken $h_g(l)$, potom platí :

$$h_g(l)dl = \frac{dp_r}{p_r}$$

kde dp_r počet vláken délky l , zachycených v sevřené linii = počet vláken délky v hmotě (základní soubor) krát pravděpodobnost sevřených vláken

p_r celkový počet vláken zachycených v sevřené linii

Z rovnice (5) vyplývá, že počet vláken délky sevřených v linii $a-a$:

$$dp_r = c \cdot l \cdot h_g(l) dl$$

Celkový počet vláken zachycených je dán integrálem :

$$p_v = \int_0^{l_{max}} c \cdot l \cdot h(l) dl \quad (17)$$

frekvenční funkce průřezového rozložení vlákna je :

$$h_p(l) = \frac{l \cdot h(l)}{l} \quad (18)$$

Distribuční funkce (sumární relativní četnosti) je dána integrálem :

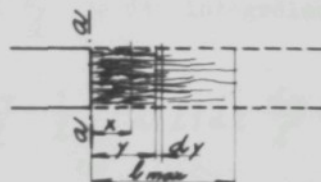
$$H_p(l) = \frac{1}{l} \int_{x=l}^{l_{max}} l \cdot h(l) dl \quad (19)$$

kde $H_p(l)$ je pravděpodobnost vytažených vláken z průřezového vzorku délky $x=l$ nebo větší.

Distribuce funkce je normována tak, že

$$H_p(0) = \frac{1}{l} \int_0^{l_{max}} l \cdot h(l) dl = 1 \quad (20)$$

3.2.1.3 Třásnové (staplové) rozložení vláken podle délek



Shora bylo vysvětleno, jak získáme třásnový vzorek. Tzv. "třásnová křivka" (Faserbart) je definována jako relativní četnost vláken délky $\geq l$ k počtu seřazených vláken.

Počet vláken délky l , který má přední konec ve vzdá-

lenosti y od svírací linie $a-a$ je součinem počtu vláken délky l zachycených v $a-a$ a pravděpodobnosti zachycení vláken předními konci právě na souřadnici X .

Vyjdeme-li z předpokladu, že vlákna jsou uložena podél osy zcela nahodile a pravděpodobnost sevření vláken v určitém bodě je stejná, jako pravděpodobnost sevření v jakémkoliv jiném bodě, potom frekvenční funkce rozložení pravděpodobnosti sevření vlákna podél souřadnice X bude konstantní. Protože analyzujeme vlákno, o kterém s jistotou víme, že je drženo ve stiskové linii $a-a$, pak musí být plocha pod křivkou frekvenční funkce pravděpodobnosti rovna 1.

$$u(y) = \frac{1}{l} \quad (21)$$

pravděpodobnost, že zachycená vlákna budou mít přední konce na souřadnici X rovna

$$u(y) dy = \frac{dy}{l} \quad (22)$$

Počet vláken délky l , jejichž přední konce leží právě ve vzdálenosti y je dán integrálem

$$\int_{y-l}^{y+l} h(l) dl \frac{dy}{l} = \frac{1}{l} \int_{y-l}^{y+l} l h(l) dl \frac{dy}{l} = \frac{1}{l} \int_{y-l}^{y+l} h(l) dl dy \quad (23)$$

Tmášnová křivka (stuplová křivka) je definována jako relativní počet $\frac{dN}{dl}$ vláken ležících na souřadnici X , majících přední konce ve vzdálenosti $y \pm l$. Označíme-li tuto křivku $H_f(l)$, potom platí:

$$\frac{1}{l} \int_l^{\infty} \int_{y-l}^{y+l} h(l) dl dy = \frac{1}{l} \int_{y-l}^{y+l} \left(\int_l^{\infty} \frac{1}{l} h(l) dl \right) dy = \frac{1}{l} \int_{y-l}^{y+l} H_f(l) dy \quad (24)$$

težké můžeme konstatovat, že staplová křivka - bez ohledu na konstantu - je dána dvojným integrálem frekvenční funkce, rozložením délek vláken, nebo jako integrál distribuční funkce.

Tato funkce je normována, težké

$$H_F(0) = 1 \quad (25)$$

V odborné literatuře bývá tato křivka někdy definována jako :

$$H_F(l) = 1 - \frac{x - F(x)}{l} \quad (26)$$

Rovnici (24) můžeme převést na tvar (26), je-li dosazeno :

$$H(l) = \int_x^l h(l) dl \quad 1 - H(l) = F(l) = \int_l^\infty h(l) dl$$

$F(l)$ první integrál $F(l)$
 $F(l)$ je pravděpodobnost existence vlákna délky l

nebo křeťší ze základního souboru

$$\begin{aligned} H_F(l) &= \frac{1}{l} \int_x^l \left(1 - \int_l^\infty h(l) dl \right) dl = \frac{1}{l} \left(\int_x^l (1 - F(l)) dl \right) = \\ &= \frac{1}{l} \left(\int_x^l dl - \int_x^l F(l) dl \right) = \frac{1}{l} (l_{max} - x - F(l_{max}) + F(x)) \end{aligned} \quad (27)$$

$$\text{když dosadíme } \bar{l} = \int_0^{l_{max}} l \cdot f(l) dl = \int_0^{l_{max}} l \cdot h(l) dl$$

integrací per partes :

$$\begin{aligned} u &= f(l) & \mu &= F(l) \\ v &= l & v' &= 1 \\ \bar{l} &= (lF(l) - F(l))_0^{l_{max}} \end{aligned}$$

tedy platí :

$$F(0) = 0 \quad F(l_{max}) = 1$$

$$F(l_{max}) = 1$$

dosazením získáme :

$$\bar{l} = (l_{max} - F(l_{max})) \quad (28)$$

dosaďme-li (28) do (27), potom dostaneme :

$$H_F(l) = \frac{1}{l} (\bar{l} - x + f(x)) = 1 - \frac{x + f(x)}{\bar{l}} = \\ -\frac{1}{l} \int_0^x h(l) dl$$
(29)

Rovnice (29) je shodná s rovnicí uvedenou v / 3 /

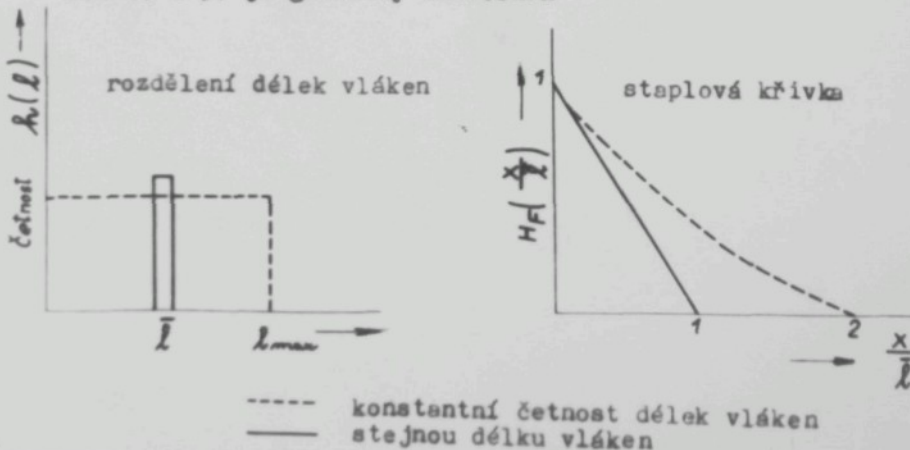
3.2.1.3.1 Vlastnosti třásnové (staplové) křivky $H_F(l)$

Mnoha autory / 6,3,4 / byla zkoumána staplová křivka. Goldiz / 5 / stanovil grafickou cestou postup získání staplové křivky na základě křivky normálně zhotoveného staplového diagramu. Protože staplová křivka je v předložené práci velmi důležitá, uvedeme některé její vlastnosti :

- 1) $H_F(l)$ je klesající ($H_F(l) < 0$ pro všechny, $x \in (0, l_{max})$)
- 2) $H_F(l)$ v bodě $l=0$ má hodnotu 1 (25),
- 3) v bodě $x = l_{max}$ přechází na 0 plynule,
- 4) $H_F(l)$ pro konstantní délku vláken $H_F\left(\frac{x}{\bar{l}}\right) = 1 - \frac{x}{\bar{l}}$ (30)
- 5) $H_F(l)$ pro konstantní četnost rozdělení délek vláken v intervalu $0 < l \leq l_{max}$.

$$H_F\left(\frac{x}{\bar{l}}\right) = 1 - \frac{x}{\bar{l}} + \frac{1}{4} \left(\frac{x}{\bar{l}}\right)^2$$
(31)

Bod 4) a 5) je graficky znázorněn



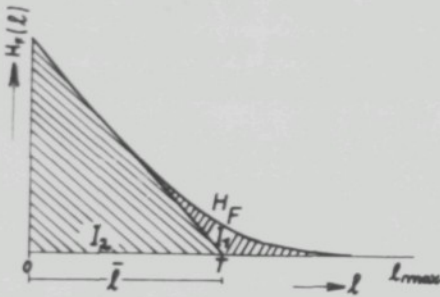
6) $H_3(l)$ je konvexní / 3 /, protože $H''_3(l) = \frac{h(l)}{l} \geq 0$

7) tečna v bodě $x=0$ protíná abscisu v bodě l

8) od $H_3(l)$ lze počítat variacionní koeficient rozdělení dél-
lek vláken / 3 / a / 6 /

$$\frac{I_t}{I_1} = \left(\frac{V}{100} \right)^{\frac{1}{3}}$$

kde I_t, I_1 označí plochy



3.3 IDEÁLNÍ SVAŽEK VLÁKEN

Ideální svažek vláken dle Brennyho / 7/ musí splňovat tyto předpoklady :

- a) vlákna jsou přímá, leží paralelně a mají všude stejnou tloušťku,
- b) vlákna jsou rozdělena nahodile. Četnostní rozdělení počtu vláken v průřezu svazku odpovídá Poissonovo rozdělení, tj. odchylka počtu vláken se rovná střední hodnotě počtu vláken,
- c) rozdělení vláken ve svazku nezávisí na rozdělení jejich délek, tzn. že každé vlákno může se stejnou pravděpodobností ležet v kterémkoliv místě svazku vláken.

3.3.1 Autokorelační funkce

Autokorelační funkce $P(u)$ je definována / 8 /

$$P(u) = \frac{\lim_{T \rightarrow \infty} \frac{1}{2T} \int_{-T}^T [\bar{y}(x-u) - \bar{y}][\bar{y}(x+u) - \bar{y}] dx}{\lim_{T \rightarrow \infty} \frac{1}{2T} \int_{-T}^T [\bar{y}(x) - \bar{y}]^2 dx} = \frac{\sigma^2(u)}{\sigma^2(0)} \quad (32)$$

Autokorelační koeficient udává velikost závislosti mezi hustotou materiálu (lineární hustota) $y(x)$ a $y(x+u)$, kde u je hodnota různící se mezi oběma údaji.

Tedy platí :

$$y(x) = \lim_{\Delta x \rightarrow 0} \frac{\Delta G}{\Delta x}$$

$$\bar{y} = \frac{1}{L} \int_x^{x+L} y(x) dx$$

$$\bar{y} = \frac{1}{2T} \int_{-T}^T \bar{y} dx$$

kde \bar{y} střední hodnota pozorovaného kusu materiálu
 T rozsah, kterým x (průběžně zkoumaná délka) probíhá, musí být dostatečně veliký
 $\bar{\gamma}$ střední hodnota hustoty celého zkoumaného materiálu

Lze tedy γ vyjádřit tímto způsobem :

$$\bar{\gamma} = \frac{1}{N} \sum_{i=1}^N \bar{\gamma}_i$$

Na základě Brennyho předpokladu idéálního svazku vláken spočítal Spenser, Tot a Smith / 9 / autokorelační funkci pomocí rozdělení délek vláken

$$P(\mu) = \frac{1}{L} \int_{-\infty}^L (L - \mu) dP(l)$$

kde $P(l)$ je pravděpodobností existence krátkých vláken než l .

3.3.1.1 Vztah mezi autokorelační a stupňovou křivkou

Wegener ve své práci / 10 / dokazuje, že hodnota autokorelační funkce je stejná, jako hodnota křivky stupňové tímto způsobem :

dosaďme formálně : $L = l - \mu$

potom platí

$$P(\mu) = \frac{1}{L} \int_{-\infty}^L (l - \mu) dP(l)$$

platí : $P(l) = 1 - H(l)$

takže :

$$P(\mu) = \frac{1}{L} \left(- \int_{-\infty}^L l dH(l) + \int_{-\infty}^L \mu dH(l) \right)$$

integrujeme per partes :

$$\rho(\mu) = \frac{1}{\bar{\ell}} \left(-(\ell H(\ell)) \Big|_{\ell=\mu}^{\ell=L} + \int_{\ell=\mu}^L H(\ell) d\ell \cdot (\mu H(\ell)) \Big|_{\ell=\mu}^{\ell=L} \right) = \frac{1}{\bar{\ell}} \int_{\ell=\mu}^L H(\ell) d\ell$$

$$\rho(\mu) = \frac{1}{\bar{\ell}} \int_{\ell=\mu}^L \int_{\ell=\mu}^L h(\ell) d\ell d\ell \cdot H_F(\mu) \quad (34)$$

V dalším uvedeme zpětný postup na základě rovnice (24) a (26), kde platí :

$$H_F(x) = \frac{1}{\bar{\ell}} \int_{x=\ell}^{L_{max}} H(\ell) d\ell = 1 - \frac{x + F(x)}{\bar{\ell}}$$

takže :

$$\bar{\ell} (1 - H_F(x)) = x - F(x)$$

$$\bar{\ell} - \bar{\ell} H_F(x) = x + \int_{\ell=x}^{\bar{\ell}} h(\ell) d\ell - x F(x)$$

$$\bar{\ell} - \bar{\ell} H_F(x) = x \cdot (1 - F(x)) + \bar{\ell} - \int_{\ell=x}^{\bar{\ell}} h(\ell) d\ell$$

$$\bar{\ell} H_F(x) = 1 - F(x) \int_x^{\bar{\ell}} \frac{h(\ell)}{1 - F(x)} d\ell - x (1 - F(x))$$

dosažením : $1 - F(x) = H(x)$

obdržíme :

$$\bar{\ell} \cdot H_F(x) = H(x) \int_0^{L_{max}} \ell \frac{h(\ell)}{H(x)} d\ell - x H(x) \quad (35)$$

avšak :

$$\int_0^{L_{max}} \frac{\ell h(\ell)}{H(x)} d\ell = \bar{\ell}^*$$

kde $\bar{\ell}^*$ je průměrná délka vláken v intervalu $\ell=x$, $\ell=L_{max}$
Z předchozího plyne :

$$\bar{\ell} \cdot H_F(x) = H(x) (\bar{\ell}^* - x) \quad (36)$$

průměrná odchylka od zvolené hodnoty x byla definována :

$$\bar{d}_2^* = \int_x^{L_{max}} (\ell - x) h(\ell) d\ell = H(x) \int_0^{L_{max}} \ell \frac{h(\ell)}{H(x)} d\ell - x H(x) \int_0^{L_{max}} \frac{h(\ell)}{H(x)} d\ell$$

$$\bar{d}_2^* = H(x) (\bar{\ell}^* - x) \quad (37)$$

Z rovnice (36) a (37) plyne, že :

$$\bar{h}H_r(x) = \bar{d}_2$$

takže :

$$H_r(x) = \frac{\bar{d}_2}{\bar{l}} = \frac{1}{\bar{l}} \int_x^{l_{max}} (l-x) h(l) dl \quad (38)$$

Je-li $h(l)$ spojitou funkcí, která pro $l \leq 0$ a pro $l \geq l_{max}$ nabývá nulovou hodnotu, platí :

$$\int_x^{l_{max}} h(l) dl = \int_x^0 h(l) dl + \int_0^{l_{max}} h(l) dl$$

takže :

$$H_r(x) = \frac{1}{\bar{l}} \int_x^{l_{max}} (l-x) h(l) dl = \frac{1}{\bar{l}} \int_x^{l_{max}} (l-x) dP(l) = P(\mu) \quad (39)$$

Tato rovnice je totožná s rovnicí Spenser a Tot / 9 /

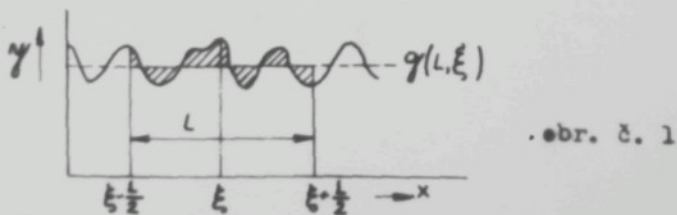
3.3.2 Délková variační křivka

K získání $C_B(L)$ hodnot lze použít tyto dvě metody.

- a) diskontinuální, tj. nestříhání a zvážení určité délky vlákenného svažku,
- b) kontinuální, tj. pomocí Usteru, kterým plynule zjistujeme kolísání hmoty vlákenného svažku.

Obě metody, tzn. statistická, nebo geometricko-analytická musí dát stejné výsledky, což v dalším dokážeme.

3.3.2.1 Hustota materiálu /11, 12, 13, 14/



$\gamma(x)$ hustota materiálu v závislosti na běžné délce x

Máme malý kousek zkoumaného materiálu Δx , jeho příslušné váha ΔG . Přiřadíme-li každé běžné délce její mezní hodnotu $\frac{\Delta G}{\Delta x}$, obdržíme křivku hustoty materiálu :

$$\gamma(x) = \lim_{\Delta x \rightarrow 0} \frac{\Delta G}{\Delta x} \left[\text{g/cm}^3 \right] \quad (40)$$

O funkci $\gamma(x)$ lze předpokládat, že v okolí jistého bodu ξ lze rozvinout v konvergentní Taylorovu řadu

$$\gamma(x) = \gamma(\xi) + \frac{1}{1!} \gamma'(\xi)(x-\xi) + \frac{1}{2!} \gamma''(\xi)(x-\xi)^2 \dots$$

Na obr.č. 1 je znázorněno $\gamma(x)$, kde integrační délka odpovídá délce materiálu při stříhání a vážení. $\frac{L}{2}$ je pak příslušný konvergentní rozsah, který nesmí být překročen.

Z toho vyplývá, že délka L musí být dostatečně malá. Průměrná hodnota hustoty $\bar{\gamma}$ sledovaného kousku materiálu délky L splňuje :

$$\bar{\gamma}(L, \xi) = \frac{1}{L} \int_{\xi - \frac{L}{2}}^{\xi + \frac{L}{2}} \gamma(x) dx \quad \left[\text{g/cm}^3 \right] \quad (41)$$

Geometricky tato rovnice vyjadřuje rovnost těchto ploch vyčárkovaných na obrázku kolem horizontální linie.

Rozvineme-li rovnici (41) v Taylorovu řadu, obdržíme :

$$\begin{aligned} & -\frac{1}{L} \int_{\xi - \frac{L}{2}}^{\xi + \frac{L}{2}} \left(\gamma(\xi) + \frac{1}{1!} \gamma'(\xi)(x-\xi) + \frac{1}{2!} \gamma''(\xi)(x-\xi)^2 + \right. \\ & \left. + \dots \right) dx = \frac{1}{L} \left(\frac{1}{1!} \gamma(\xi)(x-\xi) + \frac{1}{2!} \gamma'(\xi)(x-\xi)^2 + \right. \\ & \left. + \frac{1}{3!} \gamma''(\xi)(x-\xi)^3 + \dots \right) \Big|_{\xi - \frac{L}{2}}^{\xi + \frac{L}{2}} \end{aligned} \quad (42)$$

Jelikož integrujeme podle ξ , lze uvažovat veličinu ξ jako konstantu.

Dosazením integračních mezi obdržíme :

$$g(L, \xi) = \frac{1}{L} \left(\frac{1}{1!} \gamma(\xi)(\frac{L}{2}) + \frac{1}{2!} \gamma'(\xi)(\frac{L}{2})^2 + \frac{1}{3!} \gamma''(\xi)(\frac{L}{2})^3 + \dots - \frac{1}{1!} \gamma(\xi)(-\frac{L}{2}) - \frac{1}{2!} \gamma'(\xi)(-\frac{L}{2})^2 - \frac{1}{3!} \gamma''(\xi)(-\frac{L}{2})^3 - \dots \right) \quad (43)$$

nebo :

$$g(L, \xi) = \frac{1}{1!} \gamma(\xi) + \frac{\frac{L^2}{2}}{2 \cdot 3!} \gamma''(\xi) + \frac{\frac{L^4}{2^2 \cdot 5!}}{2 \cdot 4 \cdot 6 \cdot 8!} \gamma^{(8)}(\xi) + \dots$$

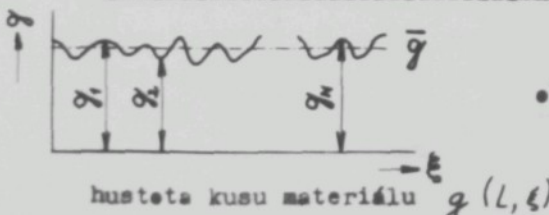
kde váha G kusu materiálu splňuje :

$$G = L g[g_r] \quad (44)$$

Přístroj Uster určuje hmotné kolísání sledovaného kousku na základě rovnice 43. Integrační délka L je dána efektivní šířkou kondenzátoru b (měřeno ve směru průchodu vlákenného svažku). Tato šířka kondenzátoru musí být co nejmenší, vzhledem k periodickému kolísání hmoty sledovaného kousku.

V rovnici 43 členy vyššího řádu nehrají význačnou roli. Z toho vyplývá, že přístroj Uster je prakticky ideální k zjištění hustoty materiálu.

3.3.2.2 Statistická definice vnější $\mathbf{CB}(L)$



obr. č. 2

V rovnici 43 se objevuje mimo integrační délku L abscissa ξ středního bodu pozorovaného kusu materiálu.

Závislost g na L je značná, ale závislost g na středním bodě \bar{L} při určité podmínce může být vyloučena. Přimědime-li každému střednímu bodu \bar{L} příslušnou váhu g_i , získáme křivku $g=g(L, \bar{E}_i)$ (obr. č. 2). Křivka je vyrovnanější, když L je větší, když L se blíží tato křivka se blíží ke křivce hustoty materiálu (obr. č. 1).

Podle statistických předpisů, nahodilou volbou dostatečného počtu N hodnot $g_i = g(L, \bar{E}_i)$ platí pro průměrnou hodnotu \bar{g} vztah

$$\bar{g} = \frac{g_1 + g_2 + \dots + g_N}{N} = \frac{1}{N} \sum_{i=1}^{i=N} g_i [\%] \quad (45)$$

Rozptyl je dán diferencí $(g_i - \bar{g})^2$ a vnější kvadratický rozptyl S je roven :

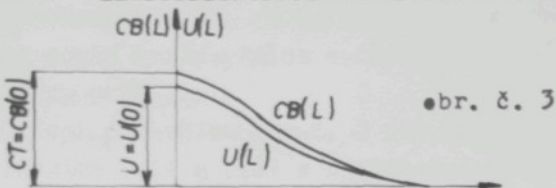
$$S = \sqrt{\frac{1}{N} \sum_{i=1}^{i=N} (g_i - \bar{g})^2} \quad (46)$$

V této rovnici jsme pro zjednodušení dosadili N místo $N-1$, což na věci nic nemění (veliký počet N hodnot g_i). Rozptyl můžeme vyjádřit v procentech vůči \bar{g} . Tato hodnota je variační koeficient (coefficient of variation between).

$$CB = 100 \frac{S}{\bar{g}} = 100 \sqrt{\frac{1}{N} \sum_{i=1}^{i=N} (g_i - \bar{g})^2} \quad (47)$$

Volíme-li N dostatečně veliké (podle statistického předpisu), potom S a CB nezávisí na \bar{E} , ale na L . Když vyjádříme variační koeficient CB jako funkci L , potom křivku, kterou obdržíme, nazýváme vnější délkovou variační křivkou $CB(L)$ viz obr. č. 3.

3.3.2.3 Statistická definice vnější nrestejnomořnosti



obr. č. 3

vnější délková variace křivky L $CB(L)$
vnější nrestejnomořnost křivky $U(L)$

V textilní technice namísto kvadratické odchylky používáme průměrnou odchylku, která je dána v absolutních hodnotách $|q_i - \bar{q}|$, a vnější nrestejnomořnost.

$$U = \frac{100}{\bar{q}} \cdot \frac{1}{n} \sum_{i=1}^n |q_i - \bar{q}| \% \quad (48)$$

Pomocí teorie chyb lze určit vzájemný vztah mezi CB a U , takže obdržíme :

$$CB = \sqrt{\frac{\pi}{2}} U = 1.253 U \quad (49)$$

Tato hodnota je správná, pokud odchylka od průměrné hodnoty \bar{q} je naprostota náhodná (normální rozdělení). Tato hodnota je podle Wegenera a Rossmanna / 11 / v praktickém použití zcela správná.

Stejně jako u $CB(L)$, když bude U jako funkce L , bude výsledná křivka nazvána vnější křivkou nrestejnomořnosti $U(L)$.

V obr. č. jsou zakresleny obě křivky $CB(L)$ a $U(L)$, přičemž $U(L)$ je nižší v poměru 1:1,253.

3.3.2.4 Srovnání statistické a geometricko-analytické definice délkové variacioní křivky

Označíme-li λ_T jako celkovou délku zkoumaného materiálu, pak pro dostatečně veliké λ_T průměrná hodnota \bar{q} hustoty materiálu splňuje :

$$\bar{q} = \frac{1}{\lambda_T} \int q(L, \xi) d\xi [g/km] \quad (50)$$

V obr. č. 4 je zakreslena křivka hustoty materiálu, kde horizontálna \bar{q} je definována tak, že plocha nad \bar{q} pod touto horizontálou v intervalech $\langle 0 \leq L \leq l_r \rangle$ je rovna nule.

Když porovnáme obr. č. 2 a 4, můžeme konstatovat, že rovnice (41) a (46) s dostatečnou přesností dávají stejné hodnoty. Jestliže na jedné straně je dostatečně velké N a na druhé straně dostatečně velké l_r , obdržíme vnější variacní koeficient CB .

$$CB = \frac{100}{\bar{q}} \sqrt{\frac{1}{l_r} \int_0^{l_r} (q - \bar{q})^2 d\xi} [\%] \quad (51)$$

a vnější nestejnomořnosti

$$U = \frac{100}{\bar{q}} \frac{1}{l_r} \int_0^{l_r} |q - \bar{q}| d\xi [\%] \quad (52)$$

Rovnici (57) můžeme zjednodušit, protože průměrná hodnota \bar{q} je nezávislá na ξ .

$$\begin{aligned} \int_0^{l_r} (q - \bar{q})^2 d\xi &= \int_0^{l_r} q^2 d\xi - \int_0^{l_r} 2\bar{q}q d\xi + \int_0^{l_r} \bar{q}^2 d\xi = \\ &= \int_0^{l_r} q^2 d\xi - 2\bar{q}\bar{q} + \bar{q}^2 = \int_0^{l_r} q^2 d\xi - \bar{q}^2 \end{aligned}$$

takže :

$$CB = \frac{100}{\bar{q}} \sqrt{\frac{1}{l_r} \int_0^{l_r} q^2 d\xi - \bar{q}^2} [\%] \quad (53)$$

dáme-li této rovnici opět statistický tvar, obdržíme:

$$CB = \frac{100}{\bar{q}} \sqrt{\frac{1}{m} \sum_{i=1}^{m-1} (\bar{q}_i^2) - \bar{q}^2} \quad (54)$$

s zjistíme, že je totožné s rovnicí 53.

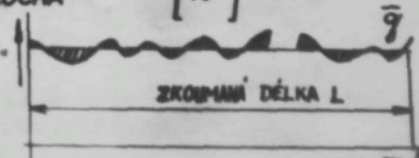
Hodnota $\int_0^{l_r} |q - \bar{q}| d\xi$ dává absolutní kolísání ploch a \bar{q} značí průměrnou plochu tak, že vnější nestejnomořnost

$$U = 100 \cdot \frac{\text{ABSOLUTNÍ KOLÍSÁNÍ PLOCHY}}{\text{PRŮMĚRNÁ PLOCHA}} [\%]$$

a tu můžeme určit planimetrem.

Obr. č. 4

$q(L, \xi)$ dle analytické definice



V rovnici (53) se objeví mimo zkoumané délky L ještě celková zkoumaná délka ℓ_T . Abychom tuto hodnotu vyloučili, dosadíme limitní hodnotu pro $\ell_T \rightarrow \infty$. Tato hodnota není prakticky dosažitelná. Proto L musí být tak velké, aby žádny přírůstek v délce L neovlivnil konečný výsledek.

3.3.2.5 Definice $CV(L)$ a vnitřní nestejnoměrnosti

Vnitřní střední kvadratický rozptyl je dán :

$$\tilde{s} = \sqrt{\frac{1}{L} \int_{\xi}^{\xi + \frac{L}{2}} (y - g)^2 dx} \quad (55)$$

kde : $y = y(x), g = g(L, \xi)$

Integrujeme podle x , g je konstanta, získáme vnitřní variační koeficient :

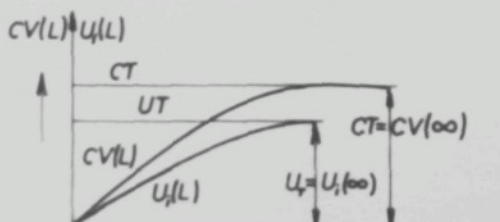
$$CV = \frac{100}{g} \cdot \frac{1}{L} \int_0^L \tilde{s}(L, \xi) d\xi \quad [\%] \quad (56)$$

Po stanovení statistické definice volíme náhodný počet kusů N materiálu, délky L , počítáme průměrnou hodnotu a průměrný kvadratický rozptyl $\tilde{s}_1, \tilde{s}_2, \dots, \tilde{s}_n$ v procentech.

Obdržíme vnitřní variační koeficient

$$CV = \frac{100}{g} \sqrt{\frac{1}{N} \sum_{i=1}^n \tilde{s}_i^2} \quad [\%] \quad (56a)$$

Na základě statistické definice viz obr.



•br. č. 5

vnitřní délková variace křivky $CV(L)$
vnitřní nestejnoměrnost křivky $U_i(L)$

Celkový variační koeficient (Coefficient of variation total)

$$CT^t = CB^t + CV^t$$

kde je CT nezávislé na L

$$CB(0) = CT \quad \text{kde } L=0, CV=0$$

$$CB(\infty) = 0 \quad " \quad L \rightarrow \infty, CV(\infty) = CT$$

Dále můžeme napsat vnitřní lineární rozptyl

$$\tilde{\delta} = \frac{1}{L} \int_{\frac{L}{2}}^{\frac{L}{2}} (y - g) dx$$

a vnitřní nestejnoměrnost

$$U_i = \frac{100}{\bar{g}} \frac{1}{l_r} \int_0^{l_r} \tilde{\delta}(l, \xi) d\xi [\%]$$

3.3.2.6 Vztah mezi autokorelační funkcí a délkovou variacní funkcí $\text{CB}(L)$ / 8, 15, 16 /

Vztah mezi $P(\mu)$ a $\text{CB}(L)$ je definován

$$\begin{aligned} \text{CB}(L) - \text{CB}^*(0) &= \frac{2}{L^2} \int_0^L (L-\mu) p(\mu) d\mu = \\ &= -\frac{2}{L^2} \left(\int_0^L L p(\mu) d\mu - \int_0^L \mu p(\mu) d\mu \right) = \\ &= -\frac{2}{L^2} \left[L \int_0^L p(\mu) d\mu - \left[\mu \int_0^\mu p(\mu) d\mu \right]_0^L + \int_0^L \int_0^\mu p(\mu) d\mu d\mu \right] \end{aligned} \quad (57)$$

$$\frac{\text{CB}(L)}{\text{CB}^*(0)} = \frac{2}{L^2} \int_0^L \int_0^\mu p(\mu) d\mu d\mu \quad (58)$$

To znamená, že $\text{CB}(L)$ je definována jako dvojný integrál autokorelační funkce bez ohledu na konstantu.

Vztah mezi rozdělením délek vláken a $\text{CB}(L)$ ideálního svazku vláken můžeme definovat, dosadíme-li formálně

$$L-\mu = l \quad \text{do rovnic (57) a (58).} / 10 /$$

Potom platí :

$$\begin{aligned} \frac{\text{CB}(L)}{\text{CB}^*(0)} &= \frac{2}{L^2} \int_L^L \int_L^L \int_L^L h(l) (dl)^3 \cdot \frac{2}{L^2} \int_L^L \int_L^L \int_L^L H(l) (dl)^3 = \\ &= -\frac{2}{L^2} \int_0^L \int_0^L H(l) (dl)^3 \end{aligned} \quad (59)$$

Z rovnice (59) vyplývá, že $\text{CB}(L)$ ideálního svazku vláken, bez ohledu na určitý faktor je roven čtyřnásobnému integrálu funkce rozdělení délek vláken $h(l)$, nebo třinásobnému integrálu distribuční funkce rozdělení dé-

lek vláken (funkce sumární četnosti), resp. dojnásobnému integrálu $H_p(l)$.

3.3.2.7 Výpočet délkové variacioní křivky

Metodikou výpočtu $CB^k(L)$ ve vztahu ke skutečnému rozdělení vláken a ~~zvláštních~~ zvláštních případů rozdělení stejně četných a stejně dlouhých vláken se zabývá celá řada autorů.

3.3.2.7.1 Olerupova metoda

Olerup /17/ vychází při výpočtu $CB(L)$ ze skutečného rozdělení délek vláken, které je charakterizováno k-tým třídním intervalom. Každý i-tý interval je přitom zastoupen příslušnou třídní hodnotou \bar{l}_i s četností P_i . Podle Olerupa můžeme počítat \bar{l} , tj. střední hodnoty délek vláken a \bar{l}_g , tj. střední hodnota délky vláken (zjištěno váhově)

$$\bar{l} = \frac{\sum_{i=1}^k P_i \bar{l}_i}{\sum_{i=1}^k P_i} \quad \bar{l}_g = \frac{\sum_{i=1}^k P_i \bar{l}_i^2}{\sum_{i=1}^k P_i} \quad (60)$$

a hodnota variace :

$$V_g = \sqrt{\frac{\sum_{i=1}^k P_i \bar{l}_i^3 - \sum_{i=1}^k P_i \bar{l}_i^2}{\left(\sum_{i=1}^k P_i\right)^2}} \quad (61)$$

Sčítáme-li přes všechny intervaly třídní, získáme čtverec $CB(L)$ vztahem :

$$\frac{CB^k(L)}{CB^k(0)} = \left[1 - \frac{L}{3\bar{l}} \right] \quad \text{pro} \quad 0 \leq L < \frac{\bar{l}_g}{2} \quad (62)$$

$$\frac{CB^k(L)}{CB^k(0)} = \left[\frac{\bar{l}_g}{L} - \frac{\bar{l}_g^2}{L^2} \cdot \frac{1+V_g}{3} \right] \quad \text{pro} \quad L_{max} < L \leq \infty$$

$\frac{\bar{L}}{2} < L < L_{max}$ /8 / není podle uvedených rovnic $CB(L)$ definována

3.3.2.7.2 Brennyho metoda

Brenny / 7 / počítal ideální $CB(L)$ pro stejné délky vláken \bar{L} vztahem.

$$CB^*(\frac{L}{\bar{L}}) = \begin{cases} CB^*(0) \left(1 - \frac{1}{3} \cdot \frac{L}{\bar{L}}\right) & 0 < L \leq \bar{L} \\ CB^*(0) \left(\frac{\bar{L}}{L} \cdot \frac{1}{3} \left(\frac{L}{\bar{L}}\right)^4\right) & L_{max} \leq L < \infty \end{cases} \quad (63)$$

Pro vlákna stejných četností vztahem.

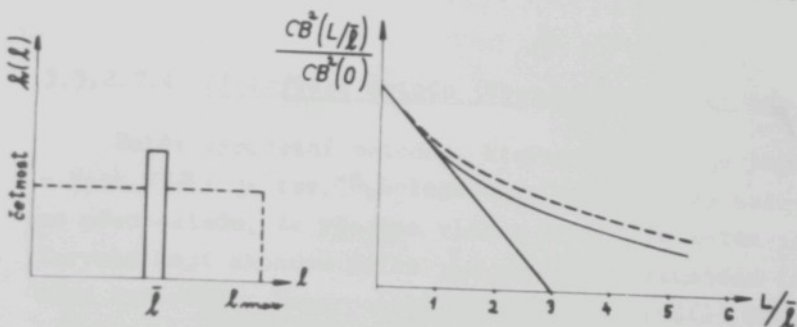
$$CB^*(0) \left(\frac{L}{\bar{L}}\right) = CB^*(0) \left(1 - \frac{1}{3} \frac{L}{\bar{L}} + \frac{1}{24} \left(\frac{L}{\bar{L}}\right)^4\right)$$

pro $0 \leq L \leq L_{max}$

$$CB^*(0) \left(\frac{L}{\bar{L}}\right) = CB^*(0) \left(\frac{\bar{L}}{L} - \frac{2}{3} \left(\frac{\bar{L}}{L}\right)^3\right) \quad (64)$$

pro $L_{max} \leq L < \infty$

Příslušné rozdělení a $CB(L)$ jsou znázorněny na obr. č. 6



obr. č. 6

— stejná délka vláken
- - - stejná četnost délek vláken

Jde zřejmě, že vzhledem k znázorněnému zjednodušení skutečných délek vláken je použití přibližně Brennyho metody pro výpočet $CB(L)$ značně omezen.

3.3.2.7.3 Numerický integrál (Wegener - Hoth)

Metoda numerické integrace předkládaná Wegenerem a Hothem /10/ vychází ze základní rovnice (39), kde je skutečné rozdělení délek vláken $\lambda(l)$ charakterizováno rozdělením do třídních intervalů. Schema výpočtu $CB(L)$ s použitím naměřených hodnot skutečného rozdělení délek vláken je uvedeno v tabulce :

$L_{i-1} \dots L_i$	ΔL_{im}	h_i	$p_i = h_i \cdot \Delta L_i$	$\frac{L_i}{2}$	$b_i = \frac{(a_i + a_{i+1}) \cdot \Delta L_i}{2}$	$c_i = \frac{a_i}{2}$	$d_i = \frac{a_i}{2} = H_f(1)$	$e_i = (d_i + d_{i+1}) \cdot \frac{\Delta L_i}{2}$	$f_i = e_i$	$\frac{L_i}{2}$	$g_i = (f_{i-1} + f_i) \cdot \frac{\Delta L_i}{2}$	$K_i = \frac{g_i}{\Delta L_i}$	$\frac{CB^2(L)}{CB^2(0)} = K_i \cdot \frac{2}{L_i^2}$
---------------------	-----------------	-------	------------------------------	-----------------	--	-----------------------	--------------------------------	--	-------------	-----------------	--	--------------------------------	---

3.3.2.7.4 Překrývací metoda (Überlagerungs Methode)

Další výpočetní metodou, kterou doporučuje Wegener a Hoth /18/ je tzv. "Überlagerungs Methode". Je založena na předpokladu, že všechna vlákna v určitém i-tém intervalu mají shodnou délku ΔL_i rovnou příslušnému třídnímu intervalu. Superposicí jednotlivých podílů $CB(L)$ vyčtených pro každý interval se potom získá výsledná hodnota. Na tomto principu s použitím rovnice (59) byly odvozeny pro $CB(L)$ následující vztahy.

$$\frac{CB(L)}{CB(0)} = \frac{1}{L} \sum_i \left(L_{im} - \frac{L}{3} \right) R \quad \text{pro } 0 \leq L \leq L_{im} \quad (65)$$

$$\frac{CB(L)}{CB(0)} = \frac{1}{L} \sum_i \left(\frac{L_{im}}{L} - \frac{L_{im}}{3L} \right) R \quad \text{pro } L_{im} \leq L \leq \infty$$

Poněvadž v rovnici (65) v závorkách uvedené veličiny nezávisí na rozdelení funkce délek vláken, ale závisí jen na velikosti střední délky i-tého intervalu a délce sledovaného úseku L , provedl autor z těchto důvodů tabularizaci uvedených veličin /18/

Rovnici (65) lze potom uvádět v tomto tvaru.

$$\frac{CB(L)}{CB(0)} = \frac{1}{L} \sum_i A_i(L) P_i \quad (66)$$

kde je :

$$L_i - \frac{L_i}{3} = A_i(L) \quad \text{pro } 0 \leq L \leq L_i \quad (67)$$

$$\frac{L_i}{L} - \frac{L_i}{3L} = A_i(L) \quad \text{pro } L \leq L \leq \infty$$

3.3.2.7.5 Stanovení $CB(L)$ pomocí počítače (Wegener) /19/

Tento způsob výpočtu $CB(L)$, publikovaný Wegenerem a Ehlerem, vychází ze základní definice variačního koeficientu, stanoveného samičinným počítačem. Při tom vstupní, náhodně proměnnou hodnotu X , charakterizující hmotový průřez vlákkenného produktu v délkových jednotkách získáme simulováním ideálního svazku vláken, pomocí metody Monte Carlo.

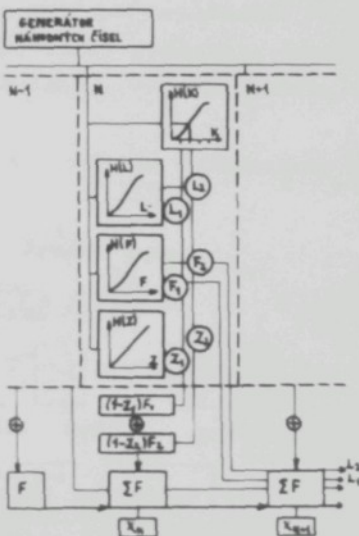
Akceptováním určitých předpokladů je model svazku vláken určen rozdelením jejich konců, délek a průřezových ploch. Předpoklády jsou:

- a) vlákna leží přímo a paralelně k ose svazku vláken,
- b) měrná hmota vlákna je konstant po celé délce vlákna

Potom mohou následující veličiny ovlivňovat konstrukci modelu svazku vláken. Proto musíme znát nebo předpokládat:

- a) rozdelení délky vláken,
- b) rozdelení počtu konců vláken na jednotky délky,
- c) rozdelení průřezových ploch vláken,
- d) velikosti průřezových ploch podél vláken,
- e) souvislosti mezi délkou vlákna a jeho průřezem,
- f) mísení podél svazku vláken, které se skládají z více složek

Wegener a říkler zpracovali tuto metodu a stanovili program ne určený **CB(L)** a srovnávali výsledky z počítání s metodou překrývací /19/. Docílené výsledky jsou velmi blízké. Na obr. č. 7 je schema programu.

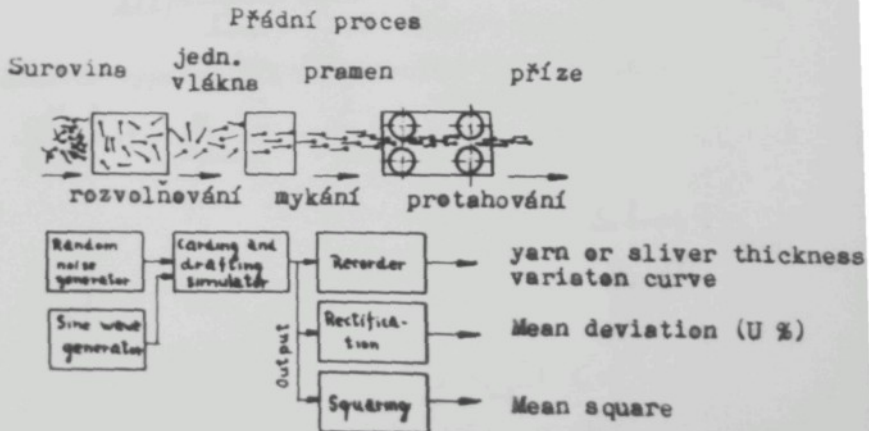


obr. č. 7

3.3.2.7.6 Metoda Fujina a Kawabata

Fujine a Kawabata zveřejnili velmi zajímavou práci /20/, kde uvedli matematický model pro jednotlivá vlákna a prameny. Za předpokladu, že vlákna jsou rovná a mají stejnou tloušťku stanovili rovnici vystihující tloušťku premene (hustoty materiálu) a nazvali ji Sliver Function (pramenová funkce). Protože měli analytický model vyjádřený rovnicí, mohli používat analogový počítač na určení nestejnoměrnosti při přádném procesu (zvláště při protahování). Pro tento účel postavili zvláštní analogový počítač pod jménem "Spinning Simulator", který sestává ze dvou hlavních částí : první část - (random noise generator) zvukový generátor, který produkuje náhodné uspořádání vláken, druhá část - analogový okruh, který produkuje nestejnoměrnosti v tloušťce (v hmotě) protahovaného vlákenného útvaru podle teorie průtahu.

Na obr.č. 8 uvádíme schematický princip "Spinning Simulator".



Blokové schéma spinning simulátor

obr.č.8

Jeden ze zajímavých poznatků bylo zjištění značné nestejnoměrnosti při protahování pramene, který byl skládán ze stejných délek vláken. Byly zjištěny menší nestejnoměrnosti při protahování pramene, který byl skládán z vláken česaného typu. V případě, že kontrola plovoucích vláken byla extrémně špatně provedena, periodická nestejnoměrnost v tloušťce byla větší než normálně.

3.3.2.7.7 Srovnání výpočetních metod

Pro srovnání výpočetních metod vycházejících ze skutečného rozdělení četnosti délek vláken, použili Wegener a Hoth /10/ vhodné modelování rozdělení četnosti délek vláken $h(l)$ ve tvaru paraboly. Protože se svým tvarem blíží odpovídajícímu skutečnému rozdělení, může být matematicky vyjádřena.

Tyto podmínky splňují rozdělení funkce .

$$h(l) = \frac{6l}{l_{\max}^2} - \frac{6l^2}{l_{\max}^3} \quad (68)$$

Exaktní výpočet DVK dle rovnice (59) je dán :

$$\frac{CB(l)}{CB(0)} = 1 - \frac{2l}{3l_{\max}} + \frac{l^2}{5l_{\max}^3} - \frac{l^3}{15l_{\max}^5}$$

pro $0 \leq l \leq l_{\max}$

$$\frac{CB(l)}{CB(0)} = \frac{3l_{\max}}{5l} - \frac{2l^2_{\max}}{15l^3} \quad (69)$$

pro $l \leq l \leq \infty$

Odhylky od exaktní hodnoty $\Delta \frac{CB(l)}{CB(0)}$ v průběhu $CB(l)$ jsou stanoveny podle jednotlivých výpočetních metod. Tyto rozdíly jsou stanoveny v tabulkách 10, 21 a 22 / jsou uvedeny graficky.

Porovnáním odchylek Δ od exaktní metody lze konstatovat:

- 1) překryvací metoda se nejvíce blíží exaktní,
- 2) numerický integrál má dostatečnou přesnost,
- 3) výpočet podle Olerupa má nejmenší přesnost a v oblasti $L=30$ mm až $L=100$ mm nebyl definován,
- 4) přibližná metoda dle Brennyho není srovnatelná s metodami předchozími s ohledem na zvláštní rozdělení vláken (stejných délek a četnosti),
- 5) v práci /19/ byla metoda překryvací srovnávána s metodami, získanými simulací modelu svazku vláken pomocí počítače a ukázala velmi dobrý souhlas v celém průběhu $CB(L)$.

3.3.2.7.8 Návrh výpočtu $CB(L)$ pomocí fibrogramu

Mnoho autorů studovalo charakteristiku fibrogramů, získaných na přístrojích Digital a Analog Fibrograf. Krause /31, 32/Carpenter /33/, K.L. Hertel /34/, a Reba Leuson /34/ vyslovili zájem průmyslu o data z fibrogramu a porovnávali je s daty staplovacího přístroje. Ani jeden, ani druhý nedává vzájemné korelace a možnosti vzájemné transformace.

Sust /35/ se pokusil získat staplový diagram z fibrogramu. Na základě myšlenky Sugierovy /36/, podle níž je rozdělení vláken v průřezu produktu stejné, jako rozdělení vláken na fibrosampleru, Sust transformoval fibrogram na staplový diagram a konstatoval, že získaný staplový diagram z fibrogramu je totožný se staplovým diagramem z hřebenového přístroje.

Hanuš a Neckář vyšetřovali fibrogram a srovnávali ho se staplovou křivkou a konstatovali:

- 1) fibrogram není identický se staplovou křivkou,
- 2) zjištění konkávnosti fibrogramu není způsobeno rozložením konců vláken třásně z fibrosampleru,

- 3) průběh fibrogramu je výrazně závislý na změně ne-stejnoměrnosti třásně po délce hřebenů. Fibrogram je ovlivněn obsluhou.
- 4) při aplikaci přístroje je vhodné užívat fibrogram za empirickou křivku s blízkými vztahy k rozložení délek vláken v surovině.

Modifikace fibrogramu

Vycházíme z předpokladu, že fibrogram se přibližuje ke stepové křivce, čehož použijeme pro praktické provozní hodnocení. Pokusíme se vypočítat tak přibližný průběh křivky $CB(L)$.

Protože stepová křivka nabývá pro $X=0$ hodnotu $H_F(0)=1$, musíme fibrogram přizpůsobit tak, aby tato podmínka platila (hodnota fibrogramu při $3,81 \text{ mm} = 1$). Ze stepové křivky je známo, že v okolí hodnoty $x=0$ ji lze nahradit přímkovou lineární regrese).

Graficky lze modifikovat fibrogram v tomto směru :

- 1) approximaci průběhu fibrogramu na přímku v okolí $X=0$ (tangentová konstrukce),
- 2) prodloužit tuto přímku až protne ordinátu
- 3) bod 2) nás tak na osu Y přivádí k jednotkové úsečce, neboť $H_F(0)=1$,
- 4) tím jsme užitím lineární interpolace schopni získat z fibrogramu fibrogram modifikovaný.

V předchozím bylo dokázáno, že $CB(L)$ je roven čtyřnásobnému integrálu $h(L)$, nebo dvojněmu integrálu $H_F(L)$.

Protože funkce $H_F(L)$, $H_{FF}(L)$ leží obě nad osou X a mají blízké průběhy, užijeme v dalším přechodu od těchto funkcí k funkcím

$$\int_0^L H_F(L) dL, \int_0^L H_{FF}(L) dL$$

které jsou již obě klesající, čímž v jejich průběhu

nevystupuje žádné kolísání hodnot.

V důsledku toho lze předpokládat již téměř stejný průběh funkcií

$$\int \left(\int H_p(L) dL \right) dL, \quad \int \left(\int H_{MF}(L) dL \right) dL$$

K tomu účelu bylo sledováno 12 vzorků bavlněných pramenů z 1. posukovacího stroje. Bylo zjištěno četnostní rozdělení délek vláken metodou jednotlivých vláken. Tyto vzorky byly současně měřeny na fibrografu.

Za účelem porovnání výsledků byl stanoven program pro samočinný počítač. K vyhodnocení byla sestavena tato rovnice :

$$CB(L) = \frac{2}{L^2} \int_0^L H_{MF}(L) dL \cdot dL$$

kde : $CB(L)$ délková variační křivka získaná modifikovaným fibrogramem
 H_{MF} hodnota modifikovaného fibrogramu

Výsledky budou diskutovány v další části.
Blokové schéma pro výpočet $CB(L)$ metodou navrhovanou Wegerarem (numerický integrál) a pomocí fibrografu jsou zakresleny v příloze AIII.

3.3.3 Limitní nestejnoměrnost CB(0)

Martindalova rovnice ukazuje již dluho velmi dobrou aplikaci v přádelnách. Ideální limitní nestejnoměrnost sloužila jako referenční standard pro srovnávání skutečné měřené nestejnoměrnosti.

Poměr $k = \frac{CB_{ideal}(0)}{CB_{real}(0)}$ je znám jako index nestejnoměrnosti. Způsob získání hodnoty k je v textilním průmyslu běžně znám. Martindalova rovnice platí jen pro výpočet ideální nestejnoměrnosti produktu jednoho komponentu.

3.3.3.1 Výpočet CB(0)

Martindal definuje limitní nestejnoměrnost jako jednoduchou funkci dvou nezávislých faktorů:

- a) variační koeficient počtu vláken v průřezu produktu V_1 . Přitom se vychází z modelové představy, v níž kolísání počtu vláken v průřezu odpovídá Poissonovu rozdělení. Tady platí :

$$V_1 = \frac{100}{\sqrt{\bar{m}}} \quad (70)$$

kde \bar{m} střední počet vláken v průřezu

- b) variační koeficient hmoty délkové jednotky vlákna V_2 odvozený Herzogem / 23 /

$$V_2 = \frac{V_1}{\sqrt{\bar{m}}} \quad \text{nebo} \quad V_2 = \frac{2V_1}{\sqrt{\bar{m}}} \quad (71)$$

kde V_1 variační koeficient hmotové jednotky délky vlákna (jemnosti)

V_4 variační koeficient průměru vláken.
platí pro kruhový řez $V_4 = 2V_2$

Limitní nestajnoměrnost /25/

$$CB(0) = \sqrt{v_1^2 + v_2^2} \quad (72)$$

$$CB(0)_{\text{hom}} = \left(\sqrt{1+0.0001v_r^2} \right) \frac{100}{\sqrt{\bar{m}}} = \frac{100}{\sqrt{\bar{m}}} \sqrt{1+0.0004v_r^2} \quad (73)$$

Platí pro metrický systém

$$\bar{m} = \frac{\text{číslo vláken}}{\text{číslo produkt}}$$

nebo pro přímý systém

$$\bar{m} = \frac{T_{\text{produkt}}}{T_{\text{vláken}}}$$

Protože průměr vlákna nezávisí na jeho délce (podle Brennyho předpokladu pro ideální svazek vláken), variabilní koeficient v_r resp. v_d pro stejné vlákniny může být konstantou. Rovnice (73) může být vyjádřena:

$$CB(0) = \frac{C}{\sqrt{\bar{m}}} \quad (74)$$

V tabulce jsou uvedeny některé vlákniny s jejich konstanty.

C	Vláknina	
102	Buničina	/ 8 /
106	Bavlna	/ 24 /
112	Vlna	/ 25 /
106-108	Len	/ 26,27 /

Brenny / 15 / uvádí, že předpoklad rozdělení počtu vláken v průřezu ideálního svazku vláken v Poissonově systému není výstížný, protože počet vláken v průřezu vlákkenného svazku nemůže být nekonečně velký ani malý.

Brenny / 15 / nahradil Poissonův systém systémem Bernoulliho.

Platí tedy :

$$CB(0)_{\text{Bernoulli}} = CB(0)_{\text{Poisson}} \times f$$

Faktor f pro bavlnu má rozsah 0,45 sž 0,95

3.3.3.2 Limitní nestejnoměrnost směsového produktu

Máme-li směs složenou ze dvou komponent umělých vláken různých jemností a variací koeficient jemnosti každého komponentu je tak malý, že ho lze nahredit hodnotou nula, potom výsledný variací koeficient směsi bude mít určitou hodnotu. Proto k přesnému určení limitní nestejnoměrnosti směsového produktu musíme dosadit variací koeficient jemnosti směsového produktu do Martindalovy rovnice.

3.3.3.2.1 Výpočet odvození koeficientu jemnosti vláken směsových produktů

Je-li jemnost jednotlivých komponent τ_i , která se rozptyluje kolem její střední hodnoty $\bar{\tau}_i$, a její rozptyl σ_i , a je-li relativní frekvenční rozdělení jemností vláken $f_i(\tau)$ normováno tak, že plocha pod křivkou se rovná 1, platí:

$$\sum_i f_i(\tau) = 1 \quad (75)$$

střední hodnota jemnosti i-tého komponentu

$$\bar{\tau}_i = \sum_i \tau_i f_i(\tau) \quad (76)$$

rozptyl σ_i^2

$$\sigma_i^2 = \sum_i (\tau_i - \bar{\tau}_i)^2 f_i(\tau) = \sum_i \tau_i^2 f_i(\tau) - \bar{\tau}^2 \quad (77)$$

Jestliže poměry podílu vláken i-tých komponentů jsou r_1, r_2, \dots, r_m , bude relativní frekvenční rozdělení jemností směsi $A(\tau)$.

Platí tedy:

$$\sum_i r_i = 1$$

$$A(\tau) = \sum_i r_i f_i(\tau) \quad (78)$$

střední hodnota jemnosti směsi :

$$\bar{\tau} = \sum \bar{\tau}_i \quad k(\tau) = \sum r_i \bar{\tau}_i \quad (79)$$

rozptyl :

$$\sigma^2 = \sum (\tau_i - \bar{\tau})^2 k(\tau) = \sum \tau_i^2 k(\tau) - \bar{\tau}^2 = \\ = \sum r_i \sum \tau_i^2 f_i(\tau) - \bar{\tau}^2$$

Z rovnice (77) platí :

$$\sum \tau_i^2 f_i(\tau) = \sigma^2 + \bar{\tau}^2$$

takže :

$$\sigma^2 = \sum r_i (\sigma_i^2 + \bar{\tau}_i^2) - \bar{\tau}^2 \quad (80)$$

$$\text{a} \quad v_r^2 = \frac{\sigma^2}{\bar{\tau}^2} \quad \text{nebo} \quad v_{\tau_i}^2 = \frac{\sigma^2}{\bar{\tau}_i^2}$$

$$v_r^2 = \frac{\sigma^2}{\bar{\tau}^2} = \left(\frac{\sum r_i (\sigma_i^2 + \bar{\tau}_i^2)}{\bar{\tau}^2} - 1 \right) 10^4 = - \\ = \left(\frac{\sum r_i \left(\frac{v_{\tau_i}^2}{100} \right) \bar{\tau}_i^2 + \bar{\tau}^2}{\bar{\tau}^2} - 1 \right) 10^4 \\ v_r^2 = \left(\frac{\sum r_i \bar{\tau}_i^2 \left(\left(\frac{v_{\tau_i}^2}{100} \right) + 1 \right)}{\bar{\tau}^2} - 1 \right) 10^4 \quad (81)$$

Získané rovnice je velmi jednoduchá pro výpočet v_r .

Počítáme-li, že pro umělé vlákno $v_r = 0$ rovnice bude mít tento tvar :

$$v_r^2 = \left(\frac{\sum r_i \bar{\tau}_i^2}{\bar{\tau}^2} - 1 \right) 10^4 \quad (82)$$

kde platí :

Střední hodnota počtu vláken v průřezu směsového produktu

$$\bar{n} = \frac{T_p}{100} \sum_i \frac{P_i}{\bar{\tau}_i}$$

Střední hodnota počtu vláken i-tého komponentu

$$\bar{n}_i = \frac{T_p}{\bar{\tau}_i} \cdot \frac{P_i}{100}$$

Podíl vláken i-tého komponentu

$$\pi_i = \frac{\bar{m}_i}{\sum \bar{m}_i} = \frac{\frac{R_i T_p}{100 \bar{T}_i} \cdot 100}{T_p \left(\sum \frac{R_i}{\bar{T}_i} \right)} = \frac{R_i}{\bar{T}_i \left(\sum \frac{R_i}{\bar{T}_i} \right)}$$

V případě použití metrického systému číslování platí :

$$\bar{m} = \frac{1}{100 \bar{\epsilon}_{mp}} \sum (R_i \bar{\epsilon}_{mp})$$

$$\bar{m} = \frac{R \bar{\epsilon}_{mp}}{\sum R_i \bar{\epsilon}_{mp}}$$

Zde je třeba zdůvodnit, že :

- 1) poměr vlákenných komponentů ve smási \bar{m} je poměr počtu vláken v průřezu a nemá všeobecný význam (poměr počtu konců vlákna na délkovou jednotku)
- 2) správností rovnice (78) se zabýval Brenny (Technical Committee of the International Wool Textile Organisation in Cannes May 1957).

Wegener a Meister / 28,29 / počítal limitní nestejnoměrnost

$$CB(0) = 100 \bar{\epsilon}_{mp} \sum \frac{R_i (1 + 0.0004 V^2 d_i)}{\bar{\epsilon}_{mp}}$$

Dále zpracoval Bornet / 30 / dvě metody, z nichž obdržel tyto vztahy :

a)

$$\frac{V^2}{T^2} = \frac{6}{\bar{T}^2} = \frac{\sum_{i=1}^r r_i \sigma_i^2 + \sum_{k=1}^r \sum_{i=k+1}^r r_i r_k (d_i - d_k)^2}{\bar{T}^2}$$

Tato rovnice je velmi komplikovaná při numerickém vyhodnocení.

b)

$$CB(0) = \frac{10}{T_p} \sqrt{\sum R_i \bar{T}_B}$$

kde $B = 1 + 0,0001 v_n^2$

$$CB(0) = \frac{100}{T_p} \cdot \sum R_i T_i B_i$$

Tato metoda je poměrně jednoduchá, platí však jen, když počet vláken v průřezu vynavuje Poissonovu rozdělení.

Převедeme-li Bornetovu rovnici do metrického systému číslování, obdržíme :

$$CB(0) = 100 \cdot \sum \frac{R_i (1 + 0,0001 v_{n_i}^2)}{\check{m}_i}$$

nebo

$$CB(0) = 100 \cdot \sum \frac{R_i (1 + 0,0004 v_{d_i}^2)}{\check{m}_i}$$

Dostáváme tak stejný výsledek, jako v rovnicích Wegenera a Meistersa.

Z uvedeného lze konstatovat, že odvozená rovnice (81) má všeobecnou platnost a dostatečnou jednoduchost.

3.3.4 Spektrum funkce

Spektrum funkce $s\left(\frac{1}{\lambda}\right)$ ideálního svezku vláken dle Cox / 37 / je dáno jako absolutní hodnota vektoru.

$$s\left(\frac{1}{\lambda}\right) = \lim_{T \rightarrow \infty} \frac{1}{(2T)^{1/2}} \int_{-T}^{+T} (\gamma(x) - \bar{\gamma}) e^{j2\pi x/\lambda} dx \quad (83)$$

Spektrum funkce udává veličinu sinusového kolísání ve vztahu k délce vlny λ .

Spektrum funkce ideálního svezku vláken sestávajících ze stejně dlouhých délek vláken (λ) má tento tvar /10, 38, 39/.

$$s(\lambda g \lambda) = \sqrt{\frac{1}{\lambda_m}} \frac{\sin \frac{\pi \lambda}{\lambda_m}}{\sqrt{\frac{\pi \lambda}{\lambda}}} = C \delta(0) \sqrt{\frac{1}{\lambda}} \frac{\sin \frac{\pi \lambda}{\lambda}}{\sqrt{\frac{\pi \lambda}{\lambda}}} \quad (84)$$

Pro stejné četnostní rozdělení délek vláken pro $0 < \lambda \leq \lambda_{max}$ platí tato rovnice:

$$s^*(\lambda g \lambda) = C \delta(0) \frac{1}{\lambda} \int_0^\infty \lambda(\lambda) \frac{\lambda}{\lambda} \frac{\sin^2 \frac{\pi \lambda}{\lambda}}{\frac{\pi \lambda}{\lambda}} d\lambda \quad (85)$$

3.3.4.1 Vztah mezi autokorelační funkcí a spektrem funkce

Tento vztah je definován podle /21, 7, 10/ tímto výrazem:

$$\rho(\mu) = 2 \int_0^\infty F\left(\frac{1}{\lambda}\right) \cos 2\pi \frac{\mu}{\lambda} d\frac{1}{\lambda} \quad (86)$$

kde $F\left(\frac{1}{\lambda}\right)$ je normované spektrum funkce

$$F\left(\frac{1}{\lambda}\right) = \frac{s^*\left(\frac{1}{\lambda}\right)}{\int s^*\left(\frac{1}{\lambda}\right) d\frac{1}{\lambda}} \quad (87)$$

3.3.4.2 Vztah mezi spektrem a délkovou variační křivkou

Důležitost přepočtu jedné funkce na druhou je značná. Přesto, že obě funkce mají blízký vztah, nelze z jedné funkce vyčíst všechny znaky. Kupř. z délkové variační křivky je těžké vyčíst periodické poruchy (mechanické závady), které můžeme okamžitě zjistit ze spektra funkce. Vztah mezi nimi je dán.

$$\begin{aligned}
 C_B(L) &= \left(\frac{100}{\gamma} \right)^2 \cdot 2 \int_0^{\infty} \left(\frac{\sin \frac{\pi L}{\lambda}}{\frac{\pi L}{\lambda}} \right)^2 S^2 \left(\frac{1}{\lambda} \right) d \left(\frac{1}{\lambda} \right) = \\
 &= 100^2 \cdot 2 \int_0^{\infty} \frac{\sin^2 \frac{\pi L}{\lambda}}{\left(\frac{\pi L}{\lambda} \right)^2} S^2 \left(\frac{1}{\lambda} \right) d \left(\frac{1}{\lambda} \right) \quad (88) \\
 \text{kde } S^2 \left(\frac{1}{\lambda} \right) &= \frac{s^2 \left(\frac{1}{\lambda} \right)}{\gamma^2}
 \end{aligned}$$

γ bylo definováno v rovnici (32)

Gieskuss tyto vztahy definoval i obráceně v trochu jiné formě.

Na základě těchto rovnic Wegener a Hott / 41 / vypracovali přibližnou metodu přepočtu spektra funkce na délkovou variační křivku. Tato metoda je sice pro praxi využívající, ale ne dost přesná. Proto v další práci předchozí metodu upřesnili a konečně v jiné práci vytvořili přesnou metodu. Tato metoda je časově velmi náročná.

3.3.4.3 Výpočet spektra funkce

Pro výpočet spektra funkce pomocí skutečného rozdělení délek vláken, platí tento vztah / 39 /

$$S^*(\log \lambda) = CB^*(0) \int h(\lambda) \frac{\lambda}{L} \frac{\lg 10}{\pi} \frac{\sin^2 \frac{\pi \lambda}{L}}{\frac{\pi \lambda}{L}} d\lambda \quad (89)$$

kde $S^*(\log \lambda)$ ideální spektrum funkce

λ délka vlny

L délka vláken

$h(\lambda)$ frekvenční funkce délek vláken

$CB^*(0)$ limitní nestejnoměrnost

Wegener přizpůsobil tuto rovnici pro praktické použití v tomto tvaru :

$$S^*(\log \lambda) = CB^*(0) \sum \frac{D_i L_{im}}{\lambda} D_i(\lambda) \quad (90)$$

kde je :

$$R = h(L_{im}) \Delta \lambda_i \quad (90a)$$

$$D_i(\lambda) = \frac{\lg 10}{\pi} \frac{\sin^2 \frac{\pi \lambda}{L_{im}}}{\frac{\pi \lambda}{L_{im}}} \quad (90b)$$

Výraz $D_i(\lambda)$ je nezávislý na rozdělení délek vláken, ale je závislý na jejich třídních intervalech. Z toho důvodu uvádí Wegener hodnoty $D_i(\lambda)$ v závislosti mezi L_{im} a λ

kde L_{im} je střední délka třídního intervalu

Rovněž výraz $\frac{D_i L_{im}}{\lambda}$ lze snadno numericky vyjádřit.

Výpočet ideálního spektra funkce, podle uvedeného způsobu je docela vhodný při použití malého kancelářského počítače s pamětí bez vynášení mezivýsledků.

3.3.4.4 Odvození a výpočet spektra funkce pomocí $H_0(L)$

Vztah mezi délkovou variaci a autokorelační funkci je dán rovnici (58)

Z rovnice (58) lze psát :

$$\text{Platí } \frac{d^2}{dL^2} \left(\frac{CB(L)}{CB(0)} \cdot \frac{L^2}{2} \right) \quad (91)$$

Fourierova transformace sutovarisice je spektrum funkce / 41 /

$$\begin{aligned} \hat{s}\left(\frac{1}{\lambda}\right) &= \frac{\hat{s}\left(\frac{1}{\lambda}\right)}{\mu^2} = \frac{4}{\mu^2} \int_0^\infty p(u) \cos 2\pi \frac{u}{\lambda} du - \\ &= 2 \int_0^\infty \frac{d^2(CB(L)) \cdot L^2}{dL^2} \cos 2\pi \frac{L}{\lambda} dL \end{aligned} \quad (92)$$

Rovnice (92) vyjadřuje vztah mezi $CB(L)$, $\hat{s}\left(\frac{1}{\lambda}\right)$

Přepočet $\hat{s}\left(\frac{1}{\lambda}\right)$ na tvar $\hat{s}(\log \lambda)$ je dán

$$\begin{aligned} \hat{s}\left(\frac{1}{\lambda}\right) d\left(\frac{1}{\lambda}\right) &= \hat{s}(\log \lambda) d(\log \lambda) \\ \hat{s}(\log \lambda) &= \hat{s}\left(\frac{1}{\lambda}\right) \frac{d\left(\frac{1}{\lambda}\right)}{d(\log \lambda)} \end{aligned} \quad (93)$$

z rovnice (92) a (93)

$$\hat{s}(\log \lambda) = \frac{2 \lg 10}{\lambda} \int_0^\infty \frac{d^2(CB(L)) \cdot L^2}{dL^2} \cos 2\pi \frac{L}{\lambda} dL \quad (93)$$

Substituce (93) v (91) platí

$$\begin{aligned} \hat{s}(\log \lambda) &= \frac{2 \lg 10}{\lambda} \cdot \frac{2CB(0)}{1} \int_0^\infty \frac{d^2}{dL^2} \left(\frac{CB(L) \cdot L^2}{CB(0) \cdot 2} \right) \cos 2\pi \cdot \\ &\quad \frac{L}{\lambda} dL = \frac{4 \lg 10 CB(0)}{\lambda} \int_0^\infty H_p(L) \cos 2\pi \frac{L}{\lambda} dL \end{aligned} \quad (94)$$

Pro numerické účely lze vztah (94) přepsat na :

$$\frac{\hat{s}(\log \lambda)}{CB(0)} = \frac{K}{\lambda} \sum_{i=1}^n H_p(l_{im}) \Delta l_{im} A_i(\lambda)$$

kde $K = 4 \lg 10$ $A_i = \frac{\cos 2\pi l_{im}}{\lambda}$

Protože A_i není závislé na rozdělení délek výšek (stupňová funkce), lze A_i tsbelovat.

V praxi užitím vztahu $H_{\text{ff}}(L) = H_{\text{mr}}(L)$ můžeme určit z (94) spektrum funkce pomocí figrogramu $H_{\text{mr}}(L)$.

Na prvním krokem je

získání výstupu výpočtu

zpravidla výkresu správ-

ejšího charakteru.

Na druhém kroku je výpočet

charakteristického výrazu

charakteristického pro danou

funkci. Tento výraz je "figrogram".

Na třetím kroku je výpočet

charakteristického výrazu

charakteristického pro danou

funkci. Tento výraz je "spektrum".

Na čtvrtém kroku je výpočet

charakteristického výrazu

charakteristického pro danou

funkci. Tento výraz je "funkce".

Na pátém kroku je výpočet

charakteristického výrazu

charakteristického pro danou

funkci. Tento výraz je "funkce".

Na šestém kroku je výpočet

charakteristického výrazu

charakteristického pro danou

funkci. Tento výraz je "funkce".

Na sedmém kroku je výpočet

charakteristického výrazu

charakteristického pro danou

funkci. Tento výraz je "funkce".

Na osmém kroku je výpočet

charakteristického výrazu

charakteristického pro danou

funkci. Tento výraz je "funkce".

3.4 Skutečný svazek vláken

3.4.1 Skutečná nestejnoměrnost svazku vláken

Ve svazku vláken se kromě nestejnoměrnosti ideálního svazku vláken vyskytuje ještě nestejnoměrnost, která nutně vzniká při zpracovatelském procesu

Tuto přídavnou nestejnoměrnost ovlivňují :

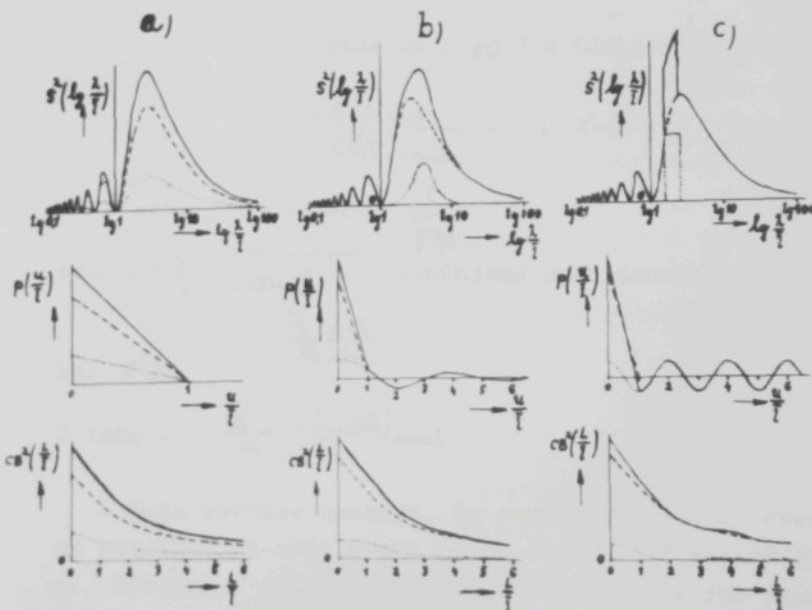
- a) soudržnost vláken. Při průtahovém procesu mají vlákna vzájemnou soudržnost / 44 /, která způsobuje, že během průtahového procesu se nepohybují jednotlivá vlákna, nýbrž malé "svazečky vláken". Struktura svazku vláken je potom jiná, než tomu by bylo ve svazku s ideálním rozmístěním jednotlivých vláken. Svazek při průtahu se chová jako by se sestával z menšího počtu vláken.
- b) průtahové vlny. Průtahové vlny způsobují hmotné kolísání v průřezu vlákkenného útvaru. Způsobeny jsou vlivem "plovoucích vláken" v průtahovém poli /Balla 42/. Toto kolísání není přímě periodické, pohybuje se však kolem určité střední hodnoty. Foster / 43 / uvádí, že střední hodnota průtahové vlny je úměrná průtahu a usazení. Při normálním usazení průtahového bavlnářského ústrojí délka průtahové vlny je asi 2,5 - 3 násobek střední délky vláken.
- c) periodické poruchy. Tyto poruchy jsou způsobeny mechanickými vadami průtahového ústrojí. Periodická porucha je narušení průřezu vlákkenného útvaru krátkých úsečkách.
- d) kolísání v Čm. Kolísání na větších úsečkách způsobují odchylky nastaveného Čm. Toto kolísání může vzniknout tzv. "falešným průtahem" ap.

Příčná odchylka (querstreung)

Předchozí odchylky se nazývají odchylky podélné. Odchylka, která mění svažky vláken (vláknitého útvaru), které byly zpracovány na různých strojích (mykacích, vřetenech, hlevách ap.) se nazývá "příčná odchylka".

Příčná odchylka nemá vliv na spektrum a autokorelační funkci. Naproti tomu ovlivňuje DVF. Příčná odchylka zvyšuje DVF na určitou hodnotu. Průběh DV $\sigma^2(\frac{L}{T})$ je obesázen v příčné odchylce, při vzdálosti $\frac{L}{T}$ nebudou asympotický k hodnotě 0, ale k jiné hodnotě, odpovídající příčné odchylce.

Zobrazené křivky znázorňují vliv nestejnoměrnosti a) a; b); c) na průběhy $P(\frac{u}{T})$, $S(\frac{u}{T})$ a $C\sigma^2(\frac{L}{T})$



Průběh přidavné nestejnoměrnosti
— Ideální průběh
— Výsledný průběh

3.4.2 Index nestejnoměrnosti

Jako výsledek předcházející nestejnoměrnosti hodnoty pro $CB(L)$ skutečné jsou vyšší než pro $CB(L)$ ideální. Huberty / 46 / definoval index nestejnoměrnosti :

$$K = \frac{CB(0)_{\text{skutečný}}}{CB(0)_{\text{ideální}}}$$

Brenny rozšířil tuto rovnici pro všechny délky.

$$K(L) = \frac{CB(L)_{\text{skutečný}}}{CB(L)_{\text{ideální}}}$$

Protože je nemožné měřit kolísání na úsečkách $L=0$, a nejménší měřitelné úsečky jsou $L=8\text{mm}$, uvádí se v literatuře

$$K^* = \frac{CB(L=8\text{mm})_{\text{skutečný}}}{CB(0)_{\text{skutečný}}}$$

Grossberg / 47 /, Gieskus / 40 / a Linhard / 48 / uvádějí :

$$K' = \frac{CB^2(0)_{\text{skutečný}}}{CB(0)_{\text{ideální}}} ; K' = K^2$$

Když označíme : $CB(0) = \frac{C}{\sqrt{\pi}}$

kde $C = \sqrt{1+0.0004 \frac{v^2}{L}}$ uvažujeme jako konstantu, potom

$$K' = \frac{\bar{m}_{\text{ideální}}}{\bar{m}_{\text{skutečný}}}$$

kde $K' \geq 1$

$$\text{Z toho : } \bar{m}_{\text{skutečný}} = \frac{1}{K'} (\bar{m}_{\text{ideální}})$$

Tato rovnice ukazuje, že skutečný vláknenný svazek má zdánlivě k -krát menší počet vláken než svazek ideální. Gisskus / 40 / uvádí : ačkoliv skutečně oba svazky mají stejný průměrný počet vláken, uvádí tato interpretace možnost, že skutečný vláknenný svazek sestává z vláknenných snopků (skupinek) s nikoliv jednotlivých vláken.

3.4.3 Způsob měření hodnoty

a) gravimetrická metoda, tzn. že se stříhají určité délky svezku vláken L a váží. Z toho se vypočítá variacní koeficient.

$$0 < b < L < l_t < L < L_r$$

kde : b nejmenší délka, kterou můžeme stříhat
(v kontinuálním způsobu značí šířku kondenzátoru)

l_t celková sledovaná délka

L délka příze na cívce

L_r délka celého základního souboru

b) kontinuální metoda. Jak bylo již stanoveno, je hustota materiálu

$$\gamma(x) = \lim_{x \rightarrow 0} \frac{\Delta G}{\Delta x}$$

Z toho vyplývá, že infinitesimálně měřená délka $\Delta x \rightarrow 0$. Ve skutečnosti testovaná je omezena určitou velikostí. Proto prakticky měříme jenom střední hodnotu hustoty materiálu na určitou délku Δx a nikdy $\Delta x = 0$.

Tuto délku Δx označíme b . Pro exaktní způsob psání ~~VNTRNÍ VELKOVÉ VARIACNÍ KRIVKY~~ DVK neseští označit $CV(L)$, protože L je závislé na testované délce. Proto je vhodný způsob označení $CV(b, L)$.

Stejným způsobem pro $CB(L)$ platí :

$$CB(L, L_r) = CB(L, l_t) + CB(l_t, L_r)$$

Je-li $L=0$, tak získaný variační koeficient nazýváme celkový variační koeficient.

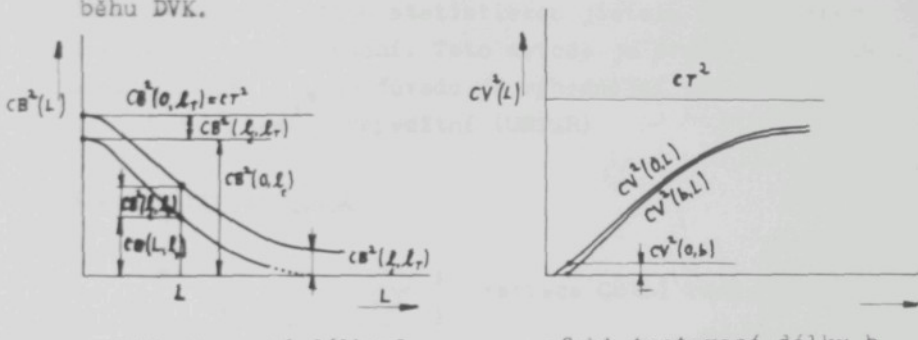
$$CT = CB(0)$$

kde CT je odvozený od anglického výrazu "Total Coeffition of Variation"

$$CT = CB(0, l_t) + CB(l_t, L_r)$$

$$\text{nebo } CT = CV^k(0, l_r, l_r) - CB^k(0, l_r) = \\ -CV^k(0, L, l_r) + CB^k(L, l_r) = \\ -CV^k(\infty) = CB^k(0)$$

Na obr. 9 je naznačen efekt b (testovací délka) a efekt výběru zkoušené délky L resp. l_r v závislosti na průběhu DVK.



efekt zkoumané délky l
resp. l_r na průběhu $CB(L)$

efekt testované délky b
na průběhu $CV(L)$

obr. č. 9

3.4.4 Charakteristika $CV(L)$

Při praktickém zjištování $CV(L)$ stříháme a vážíme svazek vláken v délce $b = 1-2 \text{ cm}$. Tento postup opakujeme, až dostaneme celou zkoumanou délku l_r , resp. l_t . Tady platí přibližný vztah:

$$CV(0, L, l_r) \approx CV(b, L, l_r)$$

Abychom získali reprezentativní variacioní koeficient, musíme mít větší počet vážení konstantních délek b .

Tzn., že v praxi lze zjistit $CV(L)$ pro větší zkoumanou délku. Při větší zkoumané délce L hodnota $CV(b, L, l_r)$ se blíží k celkovému variacionímu koeficientu $CT = CV(0, l_r, l_r)$.

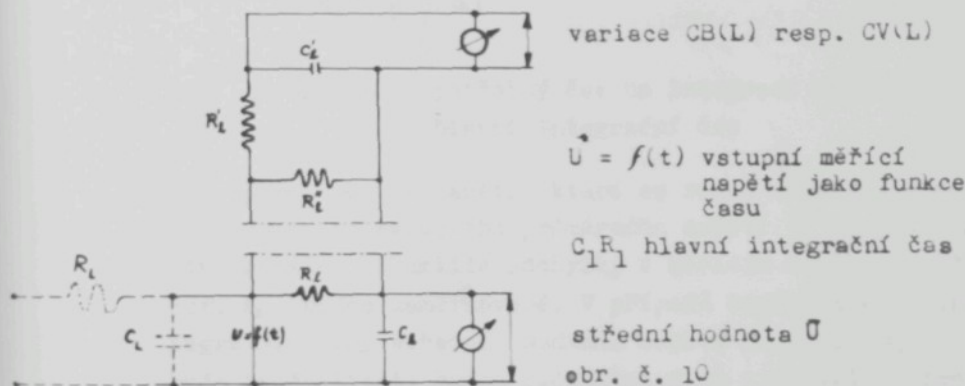
Průběh $CV(L)$ se přiblíží asymptoticky horizontále a malé rozdíly v CV nejsou významné. Proto konstatujeme, že

$CV(L)$ nemá v praxi velký význam. Lze ji používat pouze akademicky.

3.4.5 Charakteristika $CB(L)$

Zjištění charakteristiky $CB(L)$ pomocí gravimetrické metody je snadno uskutečnitelné. K zjištění hodnoty $CB(L)$ pro dostatečnou statistickou jistotu musíme mít dostatečný počet vážení. Tato metoda je proto dosti časově náročná. Z toho důvodu je výhodnější získat hodnotu $(CB(L))$ cestou kapacitní (USTER)

3.4.6 Princip USTER



a) Normal Test - nebereme-li v úvahu šárkování značený dodatečný proudový okruh.

Svazek vláken prochází měřicím kondenzátorem určitou rychlostí V . Pomocí měřicího převaděče bude hmotové kolísání otestováno a kontinuálně převáděno úměrně na elektrický proud. Vstupní napětí do integrátoru je obrazem střední hodnoty příčného průřezu zkoumaného vlákkenného útvaru, který právě v tomto okamžiku se nalézá mezi deskami kondenzátoru. Probíhající napětí během

zkoušky přichází do integrátoru s je funkcí času.
Platí tedy :

$$\overset{*}{U} = f(t)$$

Zvyšuje-li se okamžité kolísání napětí U , působí odpor tak, že vznikne na kondenzátoru dodatečný elektrický proud. Poněvadž kapacita kondenzátoru C_2 je značně vysoká, nemají okamžité výkyvy v napětí markantní vliv na změny v proudu. Při dokonalém kolísání napětí, které je způsobeno dlouhými vlnami hmotového kolísání (kolísání v Čm), dostáváme markantní rozdíly na kondenzátoru C_2 . V kondenzátoru C_2 se integruje kolísající napětí, které je dáno :

$$\overset{*}{U}_{C_2} = \frac{1}{C} \int_{T_1}^{T_2} I dt$$

kde $T_2 - T_1$ potřebný čas na integraci - nazývá se hlavní integrační čas

Na odporu R_2 je napětí, které se rovná odchylce v měřicím napětí od celkového průměrného napětí \bar{U}^* v jakémkoliv okamžiku. Okamžité odchylky v měřicím napětí na odporu R_2 budou usměrňované. V případě kvadratického integrátoru (kdy střední hodnota napětí na odporu R_2 bude kvadratická) budou odčitatelné na stupnici v procentech v lineární nestejnoměrnosti $U\%$ nebo ve kvadratickém variacioném koeficientu $CV\%$.

Čas $T_2 - T_1$ je potřebný čas na průběh určité délky svazku vláken. Zde platí : průběžná délka rovná se rychlosti krát čas. Pro integrátor platí : integrační délka rovná se rychlosť materiálu krát integrační čas.

Získání hodnoty CV(L). Testujeme materiál nejmenší rychlostí (2 m/min) a postupně rychlosť zvyšujeme. Tímto způsobem získáme téměř horizontální průběh křivky $CV(L)$, buď kvadratický nebo lineární.

Získání hodnoty CB(L). Za účelem získání hodnoty $CB(L)$, resp. $U(L)$ je třeba pro určitou délku zvyšovat délku elektrod. Zvyšování délky elektrod je mechanicky omezeno. Pomocí proudového okruhu (čerkovaná část na obr. č. 10) můžeme prodloužit fiktivní délku. Tento princip je používán na přístroji USTER (Innert Test), zvyšujeme-li odváděcí rychlosť materiálu. Tímto způsobem získáme body $CB(L)$. Palmer / 49 / a Grossberg / 49 / porovnávali hodnoty získané systémem gravimetrickým s systémem kontinuálním a vysvětlili vztahy k ztotožnění obou systémů.

Délka L je dána :

$$L = \frac{1}{2} V (R_i C_i) = \frac{\frac{1}{2} V}{\frac{1}{L_i}}$$

Pro kvadratický integrátor platí :

$$CB^2(L, L_i) = I^2 \left(\frac{1}{2} V R_i C_i \right) \left(\frac{1}{2} V R_i C_i \right) = \\ = I^2 \left(\frac{\frac{1}{2} V}{L_i}, \frac{\frac{1}{2} V}{L_i} \right)$$

$$CB^2(L, L_i) = \frac{1}{2} I^2 = \frac{1}{2} CB(L, L_i)$$

$$\text{kde } \frac{1}{2} = \left(1 - \left(\frac{L_i}{L} \right)^m \right)^{-1}$$

kde L_i, L jsou konstanty přístroje

Pro praktické použití navrhli metodu na korekci hodnot získaných z přístroje.

Zakreslením $\log CV$, resp. $\log U$ v závislosti na rychlosti v (m/sec) dostaneme přímku a zjistíme tangens. Počítáme :

$$2 \log x$$

a v tabulkách zjistíme odpovídající korekční hodnoty k a k' .

Potom platí pro zkoumanou délku $L = 1,6V\bar{\lambda}$

$CB(L) = k' \cdot \text{krát odečtené hodnoty (CV nebo U %)}$.

Metoda Palmers a Grossberga (používaná v experimentální části této práce) dává velmi přesné výsledky a lze ji používat nejen v praxi, ale i ve vědecké práci /50/.

3.4. 7 Brennyho konstrukce na zjištění celkové nestejnoměrnosti

Brenny /7/ pozoroval, že tangenta $CB^*(L)$ v bodě $L=0$ protíná abscisu $L = 3\bar{\lambda}$.

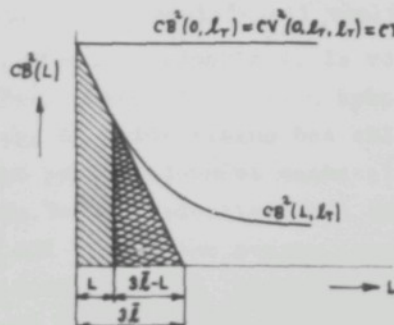
Potom platí :

$$\frac{CB^*(0, \lambda_r)}{3\bar{\lambda}} = \frac{CB^*(L, \lambda_r)}{3\bar{\lambda} - L}$$

nebo :

$$CB^*(0) = CT^* = CB^*(0, \lambda_r) = \frac{3\bar{\lambda} \cdot CB^*(L, \lambda_r)}{3\bar{\lambda} - L}$$

Tuto rovnici lze graficky zobrazit:



Graficky zjištěný celkový variacionní koeficient podle Brennyho

3.5 Diskuze ^kteoretické části

3.5.1 Diskuze k ideálnímu svazku s ideální nestejnoměrnosti

Mykaný pramen má více než polovinu vláken neorientovaných, tzn. že zejmíňají jiný směr než souhlasný s osou pramene. V následující pasáži se směr vláken zlepšuje a v přízi jich zůstává cca 2 %. Prohlédneme-li tvar vláken, zjistíme, že od mykacího stroje přichází asi jen :

15 % vláken vyrovnaných,

50 % vláken s ohnutým zadním koncem dopředu,

15-20 % vláken s ohnutým zadním koncem dozadu,

zbytek tvoří vlákna nedefinovatelného tvaru.

Brenny předpokládá, že ideální svazek vláken se stává z naprosto rovných a stejně tlustých vláken po celé délce. Tento předpoklad je zvláště pro přírodní statové vlákna silně idealizován. Nestejnoměrnost skutečného svazku vláken je funkcí zejména počtu vláken v průřezu. V průřezu skutečného svazku vláken z důvodu tvorby háčků je počet vláken menší než u ideálního svazku. Z této skutečnosti vyplývá i vyšší nestejnoměrnost. Brenny předpokládá, že rozdělení počtu vláken v průřezu vlákkenného útveru vyhovuje Poissonovu rozdělení, tzn. že každé vlákno bez ohledu na jeho délku má stejnou pravděpodobnost nacházet se v libovolném místě svazku. Tento předpoklad mohl odpovídat skutečnosti v případě vlákkenného svazku, který opustil mykací stroj. Jinak tomu je, když vlákkenný svazek projde protahovacím ústrojím (více pasáží), v němž se vyskytuje vlákna kontrolovaná a plovoucí. V tom případě dojde k zákonitému rozmištění části kontrolovaných vláken.

Podle Poissonova rozdělení platí pravděpodobnost

$$P(x) = \frac{\mu^x e^{-\mu}}{x!}$$

/1/

$$\mu = E(m_{FA}) > 0$$

x počet vláken

kde

μ střední hodnota

$E(m_{FA})$ očekávaná hodnota počtu vláken

platí tedy :

$E(m_{FA})$ rovné se rozptyl m_{FA} , rovná se μ

$$V_{FA} = \sqrt{\frac{m_{FA}}{m_{FA}}} \cdot 100 = \frac{100}{\sqrt{m_{FA}}}$$

/2/

kde

V_{FA} variacionní koeficient počtu vláken v průřezu

\bar{m}_{FA} průměrná hodnota počtu vláken v průřezu

počet konců vláken na délkovou jednotku je dán :

$$\bar{N}_{FA} = \bar{N}_{FE} \cdot L$$

kde

\bar{N}_{FE} střední hodnota počtu konců vláken

Ke zjištění skutečného počtu konců vláken na délkovou jednotku je třeba znát, jaké má rozdělení ve skutečném svažku vláken. Toto rozdělení ve skutečnosti neznáme. Experimentální zjištění tohoto rozdělení je velmi obtížné (kupř. mikroskopicky), tč. neexistuje jiná rychlá metoda.

Grossberg, Smith a Balasub-Ramanian vyvinuli metodu /51/ na nepřímé určování rozdělení konců vláken. Tato metoda spočívá v tom, že se nepřetržitě vybírají vlákna ze svažku, zváží se a jejich váha je úměrná počtu vláken.

Při určování počtu vláken z váhy musíme předpokládat, že plocha průřezu vlákna je stejná po celé jeho délce. Tato metoda je dostatečně přesná, je-li počet vláken ve vytaženém chomáčku cca 10^2 . Tzn., že tato metoda je dostatečně úspěšná při zjišťování počtu konců vláken v pramenu. Při sledování tenšího vlákenného útvaru musíme zvyšovat počet vláken tím, že vytahovaná délka bude větší (kupř. namísto 2 mm, 10 mm). To však snižuje přesnost metody.

3.5.2 Diskuze k indexu nestejnoměrnosti a rozdělení konců vláken.

V předchozí 3.4.2 kapitole bylo definováno, že:

$$K = \frac{(\bar{m})_i}{(\bar{m})_{sk}} = \frac{CB(0)_{sk}}{CB(0)_i} \quad /31/$$

Wegener / 52 / uvádí, že nemůžeme měřit variabilní koeficient hmotného kolísání v průřezu. Odchylka mezi mezi skutečným a ideálním svažkem vláken je ovlivněna uspořádáním, nebo rozdělením lomů vláken. Wegener proto odvodil novou veličinu (přesnější než K) "index konců vláken" λ_{FE} , kde platí :

$$\lambda_{FE} = \frac{V_{FE}}{(V_{FE})_{Poisson}} \quad /4/$$

kde :

V_{FE} Poisson variační koeficient rozdělení konců vláken v ideálním svažku vláken

V_{FE} variační koeficient rozdělení konců vláken ve skutečném svažku vláken

Wegener a Shler /52/ určili vztah mezi λ a K tedy platí :

$$K \approx i_{FE}$$

$$K \approx \frac{V_{FA}}{V_{FA}(\text{Poisson})}$$

$$i_{FE} \approx \frac{V_{FE}}{V_{FE}(\text{Poisson})} \quad /5/$$

$$\frac{V_{FA}}{V_{FA}(\text{Poisson})} \approx \frac{V_{FE}}{V_{FE}(\text{Poisson})}$$

Z uvedených důvodů se domníváme, že je téměř nemožné zjišťovat rozdělení konců vláken ve skutečném svažku vláken. Proto je nejvhodnější metode simulovat model svažku vláken pomocí počítače a měnit λ_{FE} , aby chom získali nejvíce znalostí o skutečném rozdělení počtu vláken v průkazu, případně i typ rozdělení. To znamená, že se přiblížíme ke skutečnému svažku vláken a tyto poznatky můžeme aplikovat na vlastní přádní proces. Můžeme ověřit hypotézu protahování vláken, tvorby zákrutu příze, pevnosti příze ap.

3.5.3 Diskuze k významu CB(L)

V kapitolách 3.3.2 byl definován a odvozen způsob počítání CB(L). Nyní budem diskutovat o jeho významu a tím o jeho využití.

1. Porovnáme-li vzájemně více vlákenných útvárů pomocí CB(L), zjistíme :

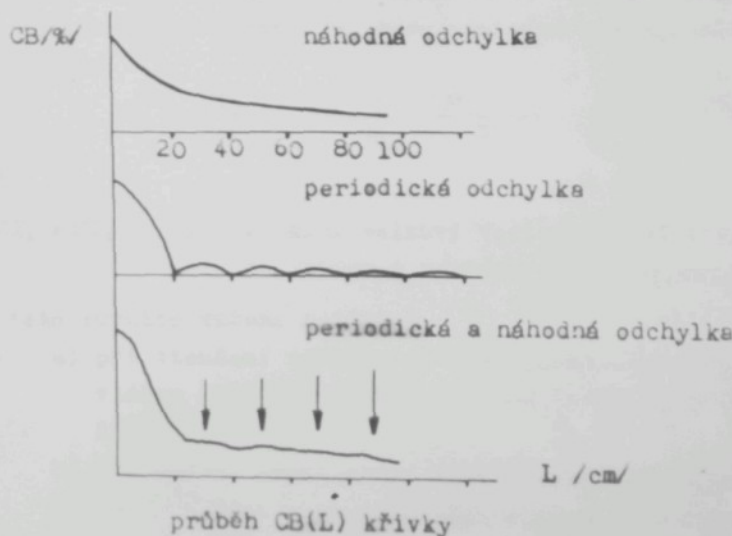
- a) pomocí průběhu CB(L) v zóně malých úseček, tj. přímý efekt protahového dopředacího ústrojí, lze předpokládat chyby nebo vadu ve vznikajících tkaninách;

- b) při stoupání CB(L) ve středních úsečkách lze posoudit průběh předpřádacího procesu;
- c) v příčném kolísání na dlouhých délkách slouží jako míra kolísání číslo vlákenného útvaru. To způsobuje v tkanině tzv. "útkové pruhování".
2. CB(L) slouží k sledování technologického procesu. Při stanovení délkové variační křivky pro každý proces lze posoudit, jaké **nestejnoměrnosti** a v jakých délkách se vyskytují. Protože je obtížné stanovit CB(L) pro každý **proces**, lze pomocí následující rovnice / 6 / stanovit K(L) pro každý proces.

$$\frac{K(L)_E}{K(L)_A} = \frac{CB(L)_E}{CB(L)_A} \sqrt{\frac{\text{průměr}}{\text{délka}}} \quad /6/$$

Příručka USTER / 50 / uvádí metodu získání indexu nestejnoměrnosti poslední pasáže, z níž lze vypočítat předcházející indexy nestejnoměrnosti jednotlivých procesů.

3. CB(L) křivky nejsou příliš vhodné na vyhodnocování periodické nestejnoměrnosti, jak je zřejmé z obrázku.



Z grafu je patrné, že efekt periodické nestejnoměrnosti není výrazný v CB(L). K tomu účelu je lépe použít spektrografu.

4. Samostatné CB(L)_{sk} nemá velký význam. Jinak je tomu, když je srovnáváme se standartními nebo ideálními hodnotami.

5. Získání CB(L) je časově velmi náročné a proto můžeme přejít k diskuzi o navrhované metodě výpočtu CB(L) pomocí fibrografu.

3.5.4 Vztah mezi družením, průtahem a nestejnoměrností

V ideálním svazku vláken

Kolísání počtu vláken v průřezu v ideálním svazku vláken může být charakterizováno celkovým variacním koeficientem.

$$CT_i = \frac{G}{\bar{m}} 100 = \frac{100}{\sqrt{\bar{m}}} \quad /7/$$

Z této rovnice vyplývá, že svazky vláken, které mají větší \bar{m} v průřezu, mají menší nestejnoměrnost. Je-li svazek vláken družený v ideálním technologickém procesu s vyloučením vlivu stroje, bude výsledná nestejnoměrnost vyjádřena :

$$CT_{IA}^k = \frac{CT_k^k}{D} + 10 \cdot \frac{1}{\bar{m}_k} \cdot \frac{P-1}{D} \quad /8/$$

kde

CT_k^k a CT_{IA} ideální celkový variacní koeficient na vstupu a výstupu (eingang, ausgang)

Z této rovnice můžeme vyčíst :

- při ztenčení výrobku se nestejnoměrnost svazku vláken zvyšuje a druhý sčítanec uvádí jeho velчинu;
- při každém protahování vzniká nutně nestejnoměrnost, i když vstupní svazek vláken má nulovou

hodnotu nestejnoměrnosti;

- c) družení ideálního svažku vláken snižuje nestejnoměrnost.

Nyní vysvětlíme, jaký je efekt družení skutečného svažku vláken.

Sledujme případ, kdy budou druženy dva svažky vláken. Jejich nestejnoměrnost vyjádříme v rozptylu σ_1^2, σ_2^2 a družení $D=2$.

Potom platí :

$$\sigma^2 = \sigma_1^2 + \sigma_2^2 + 2\rho\sigma_1\sigma_2$$

/9/

kde ρ je korelační koeficient, který vyznačuje vzájemné vztahy družení jednotlivých míst vlákenného svažku. Mají-li však oba svažky vláken stejně číslo, obdržíme výslednou nestejnoměrnost.

$$CB(L, l) = \frac{1}{2^2} \left[CB(L, l)_{sk_1} + CB(L, l)_{sk_2} + 2\rho CB(L, l)_{sk_1} CB(L, l)_{sk_2} \right]$$

/10/

Nyní vyšetříme následující případy :

- a) překrývají-li se tenší nebo tlustší úsečky svažků vláken L , potom $\rho \leq 1$ a platí tedy :

$$CB(L, l) = \frac{CB(L, l)_1 + CB(L, l)_2}{2}$$

/11/

tzn., že výsledná nestejnoměrnost při družení se rovná aritmetické střední hodnotě nestejnoměrnosti jednotlivých svažků vláken.

- b) v případě, kdy při družení se setkávají vlákenné úsečky tenké s tlustými a obráceně, potom $\rho \leq -1$. Výsledná nestejnoměrnost potom bude :

$$CB(L, l) = \frac{|CB(L, l)_1 - CB(L, l)_2|}{2}$$

/12/

Ve speciálním případě, kdy $CB(L, \ell_1) = CB(L, \ell_2)$
je výsledná nestejnoměrnost nula.

c) setkají se tenká a tlustá místa ve svazku
vláken náhodně, potom $\pi = 0$ a platí :

$$CB(L, \ell) = \frac{\sqrt{CB(L, \ell_1) + CB(L, \ell_2)}}{2} \quad /13/$$

Pro svazky vláken, mající stejnou nestejnoměrnost
platí :

$$CB(L, \ell) = \frac{CB(L, \ell_1)}{\sqrt{D}} \quad /14/$$

Z toho plyne, že družení zmenšuje nestejnoměr-
nost. Stupeň tohoto změnšení je určen π .

3.5.4.1 Výpočet přídavné nestejnoměrnosti ve skuteč- ném svazku vláken

Nebudeme se zabývat teorií průtahu a odchylky od
teoretického pohybu vláken.

Gríšin /45/ uvádí vztahy určující přídavnou ne-
stejnoměrnost, která vzniká při protahovacím procesu
a je způsobena odchylkou od normálního vzájemného po-
sunutí vláken.

$$CT_z^2 = \left(1 + 3V_f^2\right)\gamma\beta \frac{10^4}{m}(P - 1)^2$$

$$\beta = \left(\frac{z}{\bar{\ell}_g} - 1\right) + V_f^2 \quad /15/$$

kde :

CT_z^2 přídavná nestejnoměrnost

V_f variační koeficient délky vlákna

γ koeficient určující, jak velká je střední
odchylka od ideálního pohybu vláken a nazý-
vá se koeficient posunu vláken

z usazení

$\bar{\ell}_g$ střední hodnota vláken určená váhově

Veličina β je tím větší, čím větší je usazení a ne-
stejnoměrnost délek vláken.

Shrnutím efektu soudržnosti vláken dostaneme :

$$CT_1^2 = \gamma \Phi \frac{10^4}{\bar{C}_{m_{\text{v}}}} (1 + 3V_f^2) \beta \cdot \bar{C}_{m_{\text{p}}} (P-1)^2$$

/1a/

kde :

$\bar{C}_{m_{\text{p}}}$ vstupní Čm produktu

Φ koeficient výkenné soudržnosti, ukazující kolik vláken v průtahovém ústrojí tvoří jednotku (snopeček vláken)

Z předchozího vyplývá, že celková nestejnoměrnost je součet vstupní nestejnoměrnosti plus ideální nestejnoměrnost, vznikající při ztenčení, plus přídavná nestejnoměrnost způsobená průtahem.

Při použití družení platí :

$$\begin{aligned} &= \frac{1}{D} (CT_1^2 + CT_2^2 + CT_3^2) = \\ &= \frac{1}{D} \left[CT_1^2 + \gamma \frac{10^4}{\bar{C}_{m_{\text{v}}}} \bar{C}_{m_{\text{p}}} (P-1) + \gamma^2 \Phi \frac{10^4}{\bar{C}_{m_{\text{v}}}} (1 + 3V_f^2) \beta \right] \end{aligned}$$

/17/

Při idealizaci průtahového procesu platí :

$$\gamma = 0, \quad \Phi = 1$$

Rovnice (17) bude mít tento tvar :

$$CT_{1A}^2 = \frac{1}{D} \left(CT_{1A}^2 + \frac{10^4}{\bar{m}_{\text{E}}} (P-1) \right)$$

/18/

Tato rovnice je totožná s rovnicí (8).

výpočtu
3.5.5 Diskuze k navrhované metodě CB(L) pomocí fibro-
grafu

Z přílohy XVIII lze konstatovat, že metoda s použitím numerického integrálu podle Wegenera a metoda navrhovaná nevykazují podstatné odchylky.

$$\Delta = \frac{\frac{CB(L)}{CB(0)} - \frac{CB_m(L)}{CB(0)}}{\frac{CB(L)}{CB(0)}}$$

Odchylka Δ pro malé délky (4 mm) činí nejvíce 0,012 (tj. 1,2 %) a nejméně 0,00037 (tj. 0,037 %). Jinak se pohybuje kolem 0,0002 (tj. 0,02 %). Pro střední délky se pohybuje kolem 0,7 %. Pro velmi dlouhé úsečky (10.000 mm) je maximální hodnota 0,002, tj. 4 %, minimální 0,00007 (tj. 0,1 %). Z toho vyplývá, že tato navrhovaná metoda je docela přesná a má význam pro praktické využití z hlediska snadnosti a časové úspory. Podle technických údajů fy Spinlap (výrobce Fibrografu) je potřebná doba pro naměření jednoho vzorku 3-5 min. Pro reprezentativní vzorek stačí 5 měření (tj. 20-30 min), pro výpočet na normální kalkulačce cca 40-60 min (odhad). Celkový výpočet CB(L) vyžaduje asi 60-90 min. V porovnání s ostatními metodami uvedenými v kapitole 3.3.2 je to podstatně menší časové a méně náročné zpracování než u kterékoliv jiné metody. Obzvlášt když víme, že u ostatních metod je nutné měřit délku jednotlivých vláken.

Jestliže porovnáváme výpočet CB(L) pomocí integrálu a překrývací metody pro skutečné rozdělení délek vláken (příloha XVII) zjistíme, že překrývací metoda (nejpřesnější ze všech metod popsaných v kapitole 3.3.2) má vyšší hodnoty, než při integrační metodě.

Navrhovanou metodou obdržíme vyšší hodnoty, než při metodě numerického integrálu, především pro krátké a střední úsečky, při kterých se naše metoda blíží meto-

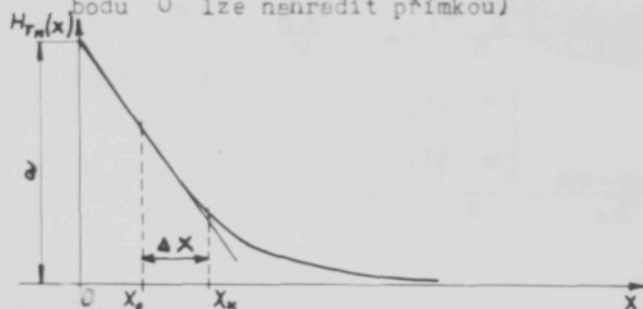
dě překrývací. Pro dlouhé úsečky obdržíme pak hodnoty numerického integrálu.

Tato metoda by mohla mít obzvlášť velký význam, kdyby na výstupu z fibrografu mohly být zařazeny 2 integrátory a dělička pro samočinné vyhodnocení a výpočet CB(L) křivky.

Nyní uvedeme návrh pro analogové zpracování výstupu z fibrografu. Tato metoda má 3 fáze:

- transformovat fibrogram na modifikovaný fibrogram;
- výpočet CB(L) křivky a její zakreslení;

a) Abychom obdrželi modifikovaný fibrogram, musíme dodržet podmínku $H_f(0)=1$. Toho lze docílit lineární regresí této (vlastnosti stupňové křivky v okolí bodu 0 lze nahradit přímkou)



V intervalu $x \in [x_s, x_k]$ nahradíme křivku $f(x)$ lineární regresní křivkou. Koefficienty vypočteme metodou nejmenších čtverců.

Lineární regresní funkce má tvar: $y = a + bx$

$$S = \int_{x_s}^{x_k} (f(x) - a - bx)^2 dx = \min$$

Abychom mohli integrovat od nuly, provedeme substituci

$$\bar{x} = x - x_s \Rightarrow x = \bar{x} + x_s$$

$$dx = d\bar{x}$$

$$x_k - x_s = \Delta x$$

$$\begin{aligned} S &= \int_0^{x_K - x_s} \left(f(\bar{x} + x_s) - a - b(\bar{x} + x_s) \right)^2 dx \\ 0 &= \frac{\partial S}{\partial a} = 2 \int_0^{x_K - x_s} \left(f(\bar{x} + x_s) - a - b(\bar{x} + x_s) \right) (-1) d\bar{x} \\ A &= \int_0^{x_K - x_s} f(\bar{x} + x_s) d\bar{x} = a \Delta x + b \frac{\Delta x^2}{2} \end{aligned} \quad (1)$$

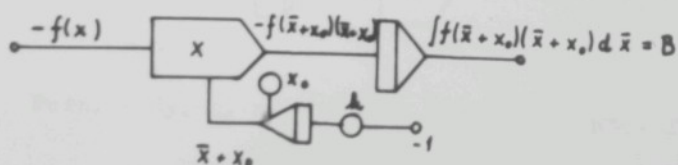
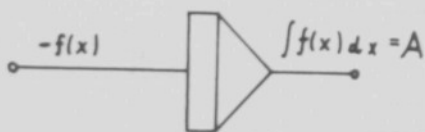
$$\begin{aligned} 0 &= \frac{\partial S}{\partial b} = 2 \int_0^{x_K - x_s} \left(f(\bar{x} + x_s) - a - b(\bar{x} + x_s) \right) (\bar{x} + x_s) d\bar{x} \\ B &= \int_0^{x_K - x_s} f(\bar{x} + x_s)(\bar{x} + x_s) d\bar{x} = a \frac{\Delta x^2}{2} + b \frac{\Delta x^3}{3} \end{aligned} \quad (2)$$

Rovnice (1) a (2) tvoří soustavu lineárních rovnic pro výpočet neznámých koeficientů a , b , za použití Cramérova pravidla

$$D = \begin{vmatrix} \Delta x & \frac{\Delta x^2}{2} \\ \frac{\Delta x^2}{2} & \frac{\Delta x^3}{3} \end{vmatrix} = \frac{\Delta x^4}{12} \quad ; \quad a = \frac{\begin{vmatrix} A & \Delta x^2 \\ B & \frac{\Delta x^3}{3} \end{vmatrix}}{D} = \frac{4A\Delta x - 6B}{-\Delta x^2}$$

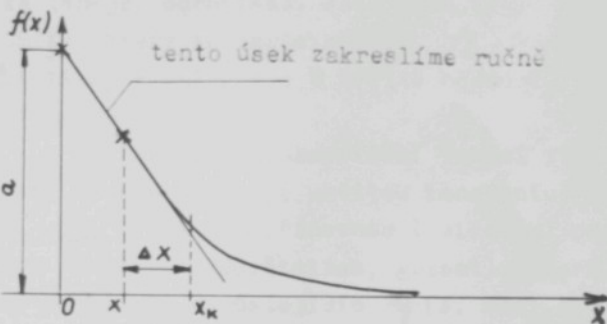
$$b = \frac{\begin{vmatrix} \Delta x & A \\ \frac{\Delta x^2}{2} & B \end{vmatrix}}{D} = \frac{12B - 6A\Delta x}{\Delta x^3}$$

Koeficient a určuje nové měřítko na ose y .



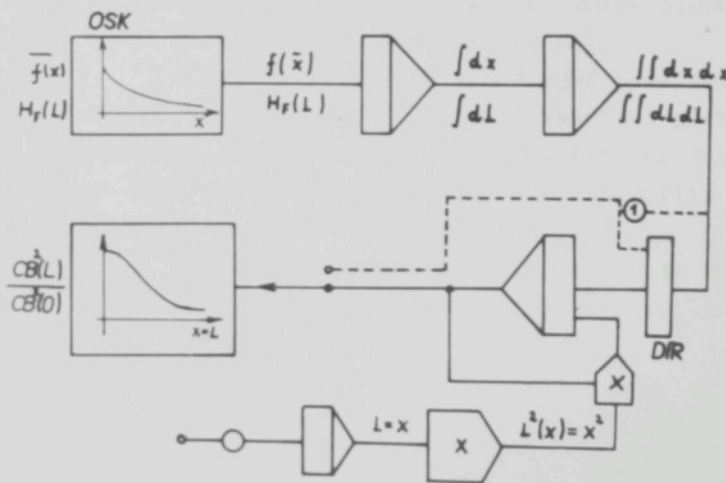
Výpočet koeficientu a, b se musí provést ručně nebo na kalkulačce.

Tuto přímku dokreslíme do grafu ručně a tím získáme modifikovaný fibrogram



b) Výpočet

$$\frac{C_B^{\frac{1}{2}}(L)}{C_B^{\frac{1}{2}}(0)} = \frac{2}{L(L)^2} \int_0^L \int_0^x f(x) dx dx = \frac{2}{L^2} \int_0^L \int_0^L H_F(L) dL dL$$



Pozn.: Byl by možný ještě jiný alternativní postup

3.5.6 Posouzení významu $CB\left(\frac{L}{\lambda}\right)$, $P\left(\frac{M}{\lambda}\right)$, $s^2\left(\frac{\log \lambda}{\lambda}\right)$

- Odchylka, které mění svažky vláken, které byly zpracovány na různých strojích, se nazývá příčná odchylka (vnější odchylka). Tato odchylka ovlivňuje průběh $CB\left(\frac{L}{\lambda}\right)$, který se vzhledem k nule, ale k určité hodnotě, odpovídající této odchylce.

Ovlivňuje autokorelační funkci tím způsobem, že tato funkce zahrnuje určitou konstantu $\sigma_z^2 / \sigma_{ges}^2$, kde σ_z^2 , σ_{ges}^2 značí přidavnou (celkovou) odchylku, vyjádřenou rozptylem (zusätzlichen, gesamt), která se asymptoticky blíží při vzhledem k nule, ale k určité hodnotě, odpovídající této odchylce.

Příčná odchylka ovlivňuje spektrum funkce, takže tato funkce pro $\lambda \rightarrow \infty$ se stává linií spektra (je-li sinusový průběh s konečnou amplitudou a diskretní délkovou vlnou λ , je dán spektrum funkce plochou, jejiž sířka se blíží nule a výška nekonečnu).

Z těchto důvodů je výhodnější používat délkové variacioní křivky, neboť lze do ní zahrnout přímo příčnou odchylku, oproti spektru a autokorelační funkci, ve které se musí příčná odchylka dodatečně stanovit, což nelze provést experimentálním způsobem.

V případě známého druhu a velikosti nestejnoměrnosti je použití spektra funkce výhodnější, než použití $CB\left(\frac{L}{\lambda}\right)$ nebo $P\left(\frac{M}{\lambda}\right)$.

4. EXPERIMENTÁLNÍ ČÁST

4.1. Dostupné materiály

4.2.1. Příprava materiálů

4 Experimentální část

4.1 Zaměření práce - cíl

Tato experimentální část sleduje dva cíle:

- a) porovnat nestejnoměrnosti přízí, vyrobených různými technologickými způsoby bezkřídlovkovými se způsobem klasickým;
- b) ověření návrhu výpočtu CB(L) pomocí fibrografov.

4.2 Zkoušky technologické

V této práci jsme se na prvním místě zaměřili na různé technologické systémy bezkřídlovkového a klasického předení.

Protože np. Jitka Otín je vybaven pouze bezkřídlovkovou přádní technikou, porovnávali jsme jeho přízi s přízí, kterou jsme vypředli v dílnách VŠST a to různou technologií.

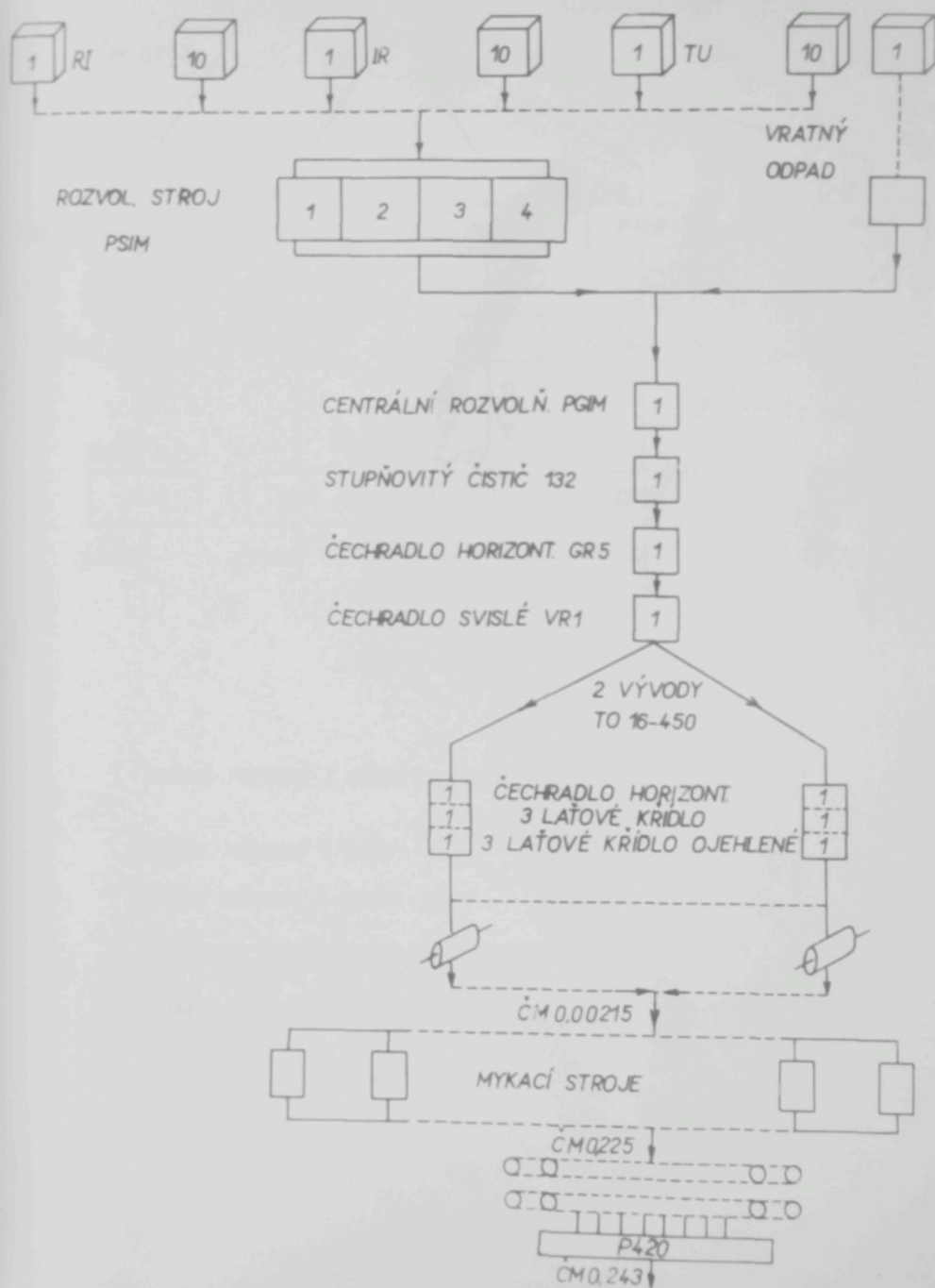
Při zkouškách vláken jsme zjistili, že délka vláken v jednotlivých koních není vzájemně homogenní. Proto jsme byli nutni použít další sortiment, a to z np. Seba Tanvald, který je vybaven klasickou přádní technikou, a který nám umožnil kromě toho zpracovat materiál určený pro klasické technologie na technologie bezkřídlovkové a naopak.

Dále nám umožnil vypřádat klasickou přízi na jiném strojovém parku, provést vzájemné porovnání a tím i zásahy do přádního procesu.

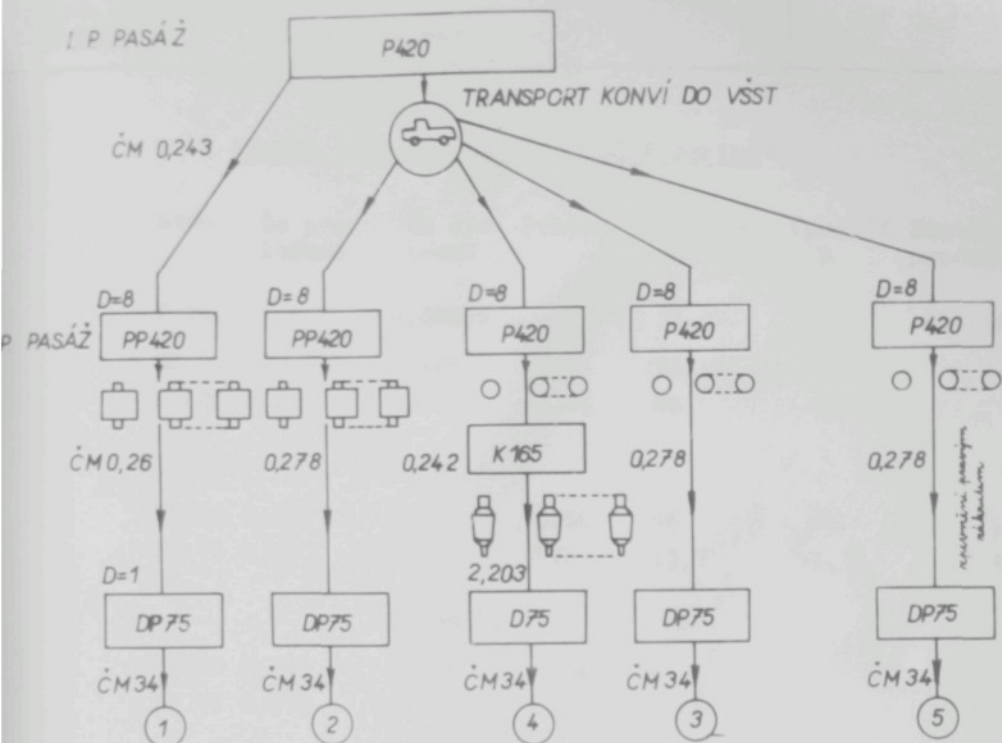
K výpočtu CB(L) podle navrhované metody bylo nutno zpracovat různé druhy materiálů.

4.2.1 Přádní plány (obr.č.11)

Sortiment JITKA



obr. č. 11



obr. č. 11

- ① PRÍMÉ PREDENÍ Z CÍVKY NP JITKA
- ② PRÍMÉ PREDENÍ Z CÍVKY VŠST
- ③ PRÍMÉ PREDENÍ Z KONVE VŠST
- ④ KLASICKÁ TECHNOLOGIE PREDENÍ VŠST
- ⑤ PRÍMÉ PREDENÍ ZE ZPEVNENÉHO PRAMENE Z KONVE VŠST

Přední plán pro Čm 34/l 100 % bavlna

Stroj	Čm před ložené	Čm výs ledné	Průtah	Odváděcí rychlosť	Využití %	Skut.hod produkce
T 16	-	0,00215	-	8,20	98	224,26
MS	0,00215	0,225	101	33,16	90	8,34
P 420	0,225	0,243	8,64	89	90	79,1

Vzorek č. 1

PP420 0,243	0,26	8,56	56	76	39,29
DP 75 0,26	34	131	13,7	94,3	7,39

Vzorek č. 2

PP420 0,243	0,278	8,64
DP 75 0,278	34	122

Vzorek č. 3 a 5

P 420 0,243	0,278	8,64
DP 75 0,278	34	122

Vzorek č. 4

P 420 0,243	0,242	8
K 165 0,242	2,203	9,068
D 75 2,203	34	15,529

Konečné shrnutí použitých spředacích systémů je naznačeno na obr. č. 11

4.2.2 Technologické údaje - sortiment JITKA

Vzorek č. 1

I. pasáž P 420

Družení	6 cylindrů	usazení	rozlož. průtahu
8	30-30-25-30	41-36-33	1,897-1,02-4,461

II. pasáž PP 420

Družení	6 cylindrů	usazení	rozlož. průtahu
8	30-30-25-30	40-35-33	1,897-1,02-4,423

Dopřádací stroj DP 72

1	24-25-24-25	47-45-44,5	6,7-1,45-13,38
---	-------------	------------	----------------

Vzorek č. 2

II. pasáž PP 420

8	30-30-25-30	41-36-33	1,897-1,02-4,461
---	-------------	----------	------------------

Dopřádací stroj DP 72

1	24-25-24-25	47-45-44,5	5,97-1,45-14,13
---	-------------	------------	-----------------

Vzorek č. 3 a 5

II. pasáž P 420

8	30-30-25-30	40-35-33	1,897-1,02-4,461
---	-------------	----------	------------------

Dopřádací stroj DP 72

1	24-25-24-25	47-45-44,5	5,97-1,45-14,13
---	-------------	------------	-----------------

Vzorek č. 4

II. pasáž P 420

8	30-30-25-30	40-35-33	1,879-1,02-4,13
---	-------------	----------	-----------------

Konvolut křední křídlovka K 165

1	32-32-28-32	38-55-33	2,48-1,03-3,55
---	-------------	----------	----------------

Dopřádací stroj D 72

1	25-24-25	43-44,5	1,553-10
---	----------	---------	----------

Poznámky :

Norma míchání .

R II do 4,5 % nečistot = 33,04 %

Iránská (Homa + Wcone) = 31,94 %

Turecká (Míla + Ilona) = 35,02 %

celkem 100 %

Jemnost vláken v Čm.

R II = 5.446

Iránská = 5.194

Turecká = 5.917

Střední hodnota jemnosti směsi = 5.530

4.2.3 Přední plány - sortiment SEBA pro Čm >1 100 % bavlna

Stroj	Čm před ložené	Čm výs ledné	Průtah	Odváděcí rychlosť	Využití %	Skut.hod produkce
T 16	-	0,00251	-	6,78	95	154
MS	0,00251	0,273	109	22,3	98	4,82
P 420	0,273	0,278	8,146	85,5	79	58,2

Vzorek č. 6

P 420	0,278	0,289	8,316	85,5	80,5	57,2
RTT	0,289	3	10,38	17,57	73,3	34,-
P 76	3	34	22,666	12,4	86	7,22

Vzorek č. 7

P 420	0,278	0,278	8			
K 165	0,278	2,52	9,068			
P 75	2,52	34	13,49			

Vzorek č. 8

PP420	0,278	0,286	8,231			
DP 75	0,286	34	119			

Vzorek č. 9 a 10

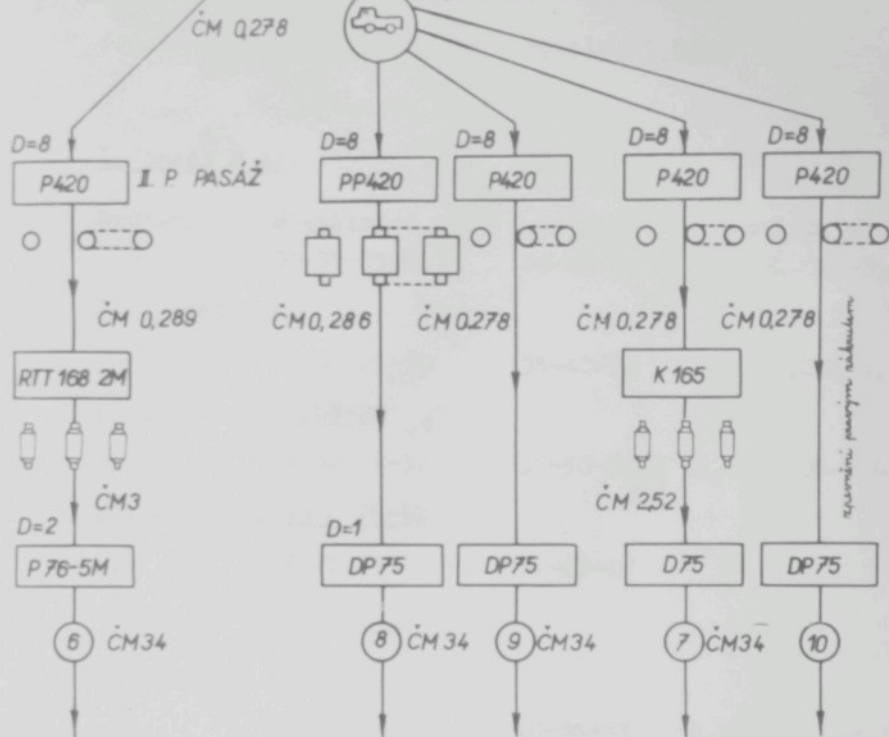
P 420	0,278	0,278	8			
DP 75	0,278	34	122			

Konečné shrnutí použitych spřádacích systémů je naznačeno na obr. č. 12

I. POSUKOVACÍ PASÁŽ

P 420

TRANSPORT KONVÍ DO VŠST



obr. č. 12

⑥ KLASICKÁ TECHNOLOGIE PŘEDENÍ NP SEBA

⑦ KLASICKÁ TECHNOLOGIE PŘEDENÍ VŠST

⑧ PRIMÉ PŘEDENÍ Z CÍVKY VŠST

⑨ PRIMÉ PŘEDENÍ Z KONVE

⑩ PRIMÉ PŘEDENÍ "ZPEVNĚNÉHO PRAMENE" Z KONVE VŠST

4.2.4 Technologické údaje - sortiment ŠEBÁ

Vzorek č. 6

I. pasáž P 420

Družení	č cylindrů	usazení	rozlož. průtahu
8	30-30-25-30	36-40-32	2,02-1,025-3,94

II. pasáž P 420

8	30-30-25-30	35-40-31	2,02-1,025-4,2
---	-------------	----------	----------------

Křídlovka RTT 168-2M

1	32-32-28-32	37-50-32,5	2,71-1,05-3,64
---	-------------	------------	----------------

Dopředací stroj P 76-5M

2	22-25-25-25	34-43-45	
---	-------------	----------	--

Vzorek č. 7

II. pasáž P 420

8	30-30-25-30	40-35-33	1,897-1,02-4,13
---	-------------	----------	-----------------

Konvostřední křídlovka K 165

1	32-32-28-32	38-55-33	2,48-1,03-3,55
---	-------------	----------	----------------

Dopředací stroj P 75

1	25-24-25	43-44,5	1,33-10
---	----------	---------	---------

Vzorek č. 8

II. pasáž PP 420

8	32-32-28-32	41-36-33	1,954-1,02-4,13
---	-------------	----------	-----------------

Dopředací stroj DP 75

1	24-25-24-25	46-45-44,5	5,97-1,45- 13 74
---	-------------	------------	------------------

Vzorek č. 9 a 10

II. pasáž P 420

8	30-30-25-30	40-35-33	1,897-1,02-4,13
---	-------------	----------	-----------------

Dopřádací stroj DP 75

Družení	6 cylindrů	usazení	rozlož. průtahu
1	24-25-24-25	46-45-44,5	6,7-1,45-12,56

Poznámky :Surovina :

Sovětská bavlna R I a R II přádel. stapl 28/29

Jemnost Čm 5.400

nečistoty % 2,5

Norma míchání :

32 balíků = 6.850 kg R I 31/32 mm = 90 %

3 " = 650 kg R II 32/33 mm = 10 %

vratný od
psd = 229 kg

celkem = 7.729 kg

Poznámka k technologickému postupu vzorku č. 5 a 10

K zpevnění pramene pravého zákrutu byly provedeny úpravy převodu stroje P 420 A. Byl přerušen původní ozubený přívod na talíře k pohonu konví. Tyto talíře dostaly vlastní náhon separátním motorem tak, že bylo možno otáčet konvemi v různých rychlostech. Dohadací rychlosť stroje bylo nutno snížit zámkem hlavního motoru.

4.2.5 Popis použité přádné techniky

Protože technologický popis použitých strojů můžeme si vyhledat v kterémkoliv katalogu nebo odborné knize, uvedeme jenom nejdůležitější poznatky pro II. pasáž posukovacího stroje PP 420 a DP 75.

Stroj PP 420

Tento typ navazuje na stroj P 420, ve výstupní části je však použito cívek. Průtahová ústrojí obou pasáží jsou shodná a jsou uspořádána 4/4.

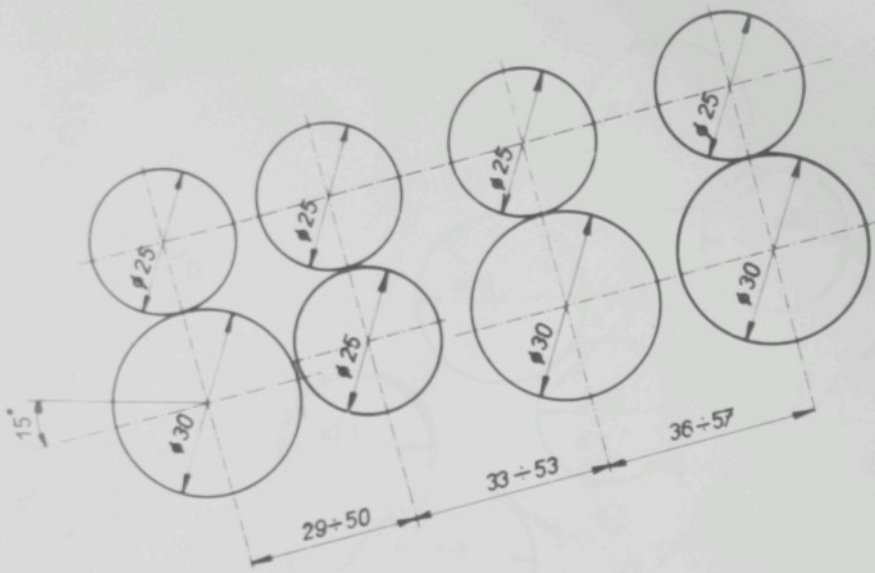
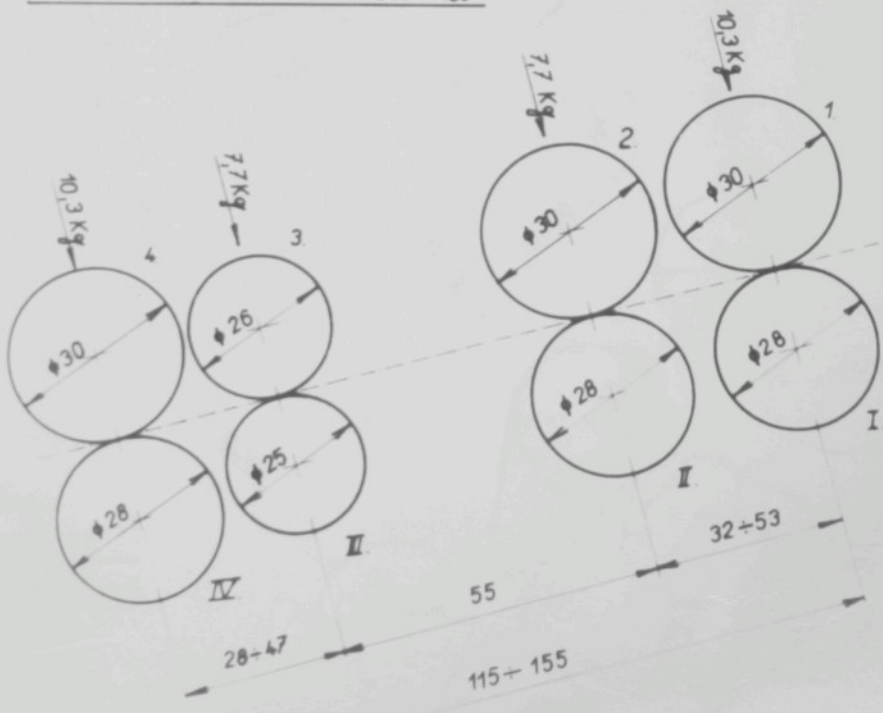
Pavučinka vycházející z průtahu je odváděna šikmo k lisovacím válcům a dále ve formě pramene navíjena na dutinku. Na rozdíl od strojů jiných výrobců jsou navíjeny vždy dva prameny paralelně na jednu cívku. Pro zpevnění a uzavření pramene je použito nepravého zákrutu. Zákrut ukládají přímo rozeváděcí trubice, jež ukládají pramen mezi dvě samostatná čela.

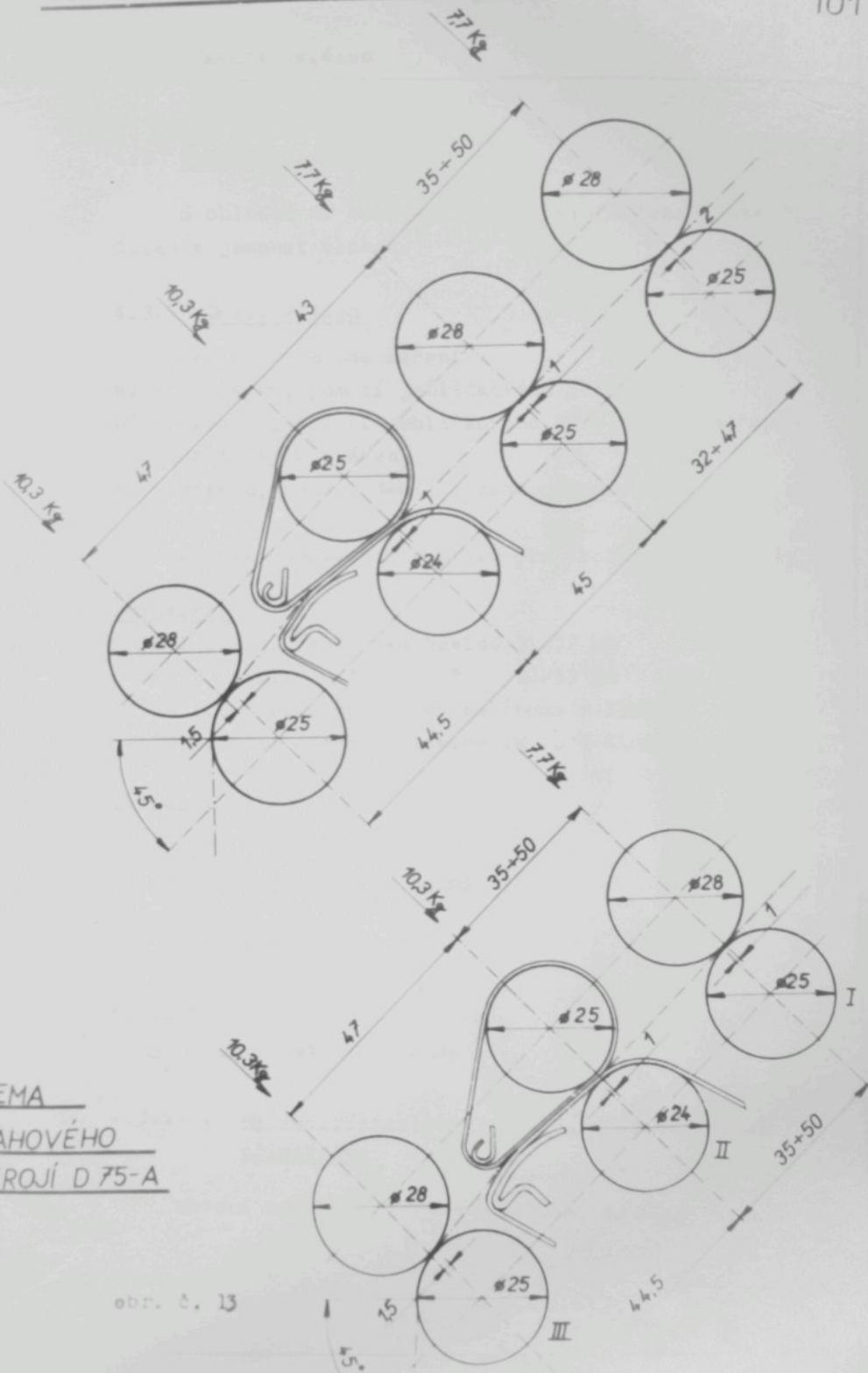
Dopřádací stroj DP 75

Dopřádacímu stroji se předkládají cívky s pramenem do jednořadé cívečnice s nuceným odvalem na dvou válcích. Odstraní se tím nežádoucí průtah (falešný průtah), který je u málo pevného pramene velmi nebezpečný.

Vlastní průtahové ústrojí má 4 průtahové válce a lze s ním pracovat v několika variantách. Zhušťovače jsou řešeny před každým průtahovým párem válců. Vlastní průtahové ústrojí má sklon 45° , pětiačné válečky s valivým uložením jsou zachyceny v odklopém ramenu. Schema průtahových ústrojí jsou zakreslena na obr. 13 .

Pozn. • Sovětský dopřádací stroj P 76-5M pracuje s průtahovým ústrojím typ IVNITI. Je to dvoupásmové čtyřválečkové jednořemínkové průtahové ústrojí. Vlastně je to ústrojí Le Blan Roth prodloužené o jeden pár válečků.

SCHEMA PRŮTAHOVÉHO ÚSTROJÍ P420APP420SCHEMA PRŮTAHOVÉHO ÚSTROJÍ K 165



SCHEMA
PRŮTAHOVÉHO
ÚSTROJÍ DP 75-A

obr. č. 13

4.3 Zkoušky vláken

S ohledem na zaměření práce byla měřena pouze délka a jemnost vláken.

4.3.1 Délka vláken

Bylo provedeno měření :

- a) v surovině, pomocí jehličkového přístroje;
- b) v pramenu, pomocí jehličkového přístroje s měřením jednotlivých vláken;
- c) v přástu, pomocí jehličkového přístroje.

Přehled použitých symbolů pro zkoušené materiály .

Surovina:

R I sovětská bavlna 31/32 mm

R II " " 32/33 mm

IR iránská bavlna (Homa + Wkone)

TU turecká bavlna (Míla + Ilona)

Pramen :

J_{1,2...} ... pramen z np. JITKA

S_{1,2...} ... pramen z np. ŠEBA

Indexy značí čísla konví.

Přást :

S_p přást z np. ŠEBA

4.3.1. 1 Měření délky vláken jehličkovým stupňovým přístrojem

Měření bylo provedeno podle ČSN 80 0201

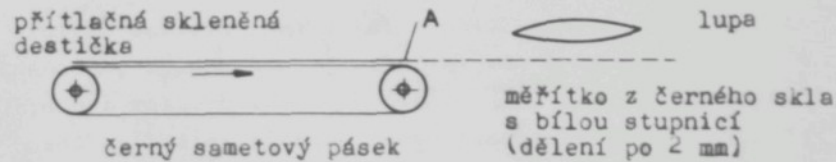
Měřeny byly tyto vzorky :

Vzorek č.	označení materiálu	příloha
1.	R I	I/1
2.	R II	I/2
3.	IR	I/3
4.	TU	I/4
5.	J	II/5
6.	S	II/6
7.	S _p	II/7

V příloze I/1 ... 4 je uvedena pouze střední hodnota délky vláken, směrodatná odchylka a variacní koeficient. V příloze II/5 ... 7 je uvedeno rozdělení délek vláken (relativní četnost).

4.3.1.2 Měření délek jednotlivých vláken

Z důvodů časových a potřeby dostatečné přesnosti jsme použili maďarský kuličkový staplovací přístroj. Protože tento přístroj má však hrubý rozsah intervalu (pro bevnou 5 mm), byla upravena měřící metoda.



Vlákna sevřená mezi samet a skleněnou destičku vyčnívají v místě A, jsou vytahována pinzetou a vyrovnávána po délce stupnice skleněnného měřítka. Protažená vlákna na svém konci určují třídní interval. (třídní interval 2 mm). Tato metoda umožnuje rychlé zaznamenání délky vlákna s dostatečnou přesností.

Vzorek č.	označení materiálu	příloha
s. Jitka	1 ... 6	J _{1..6} + J
s. Seba	1 ... 6	S _{1..6} + S

4.3.1.3 Měření na fibrografu

Měření délek vláken na tomto přístroji a příprava vzorků jsou popsány v literatuře / 3 / a ve firemní literatuře firmy SPINLAP. Zkoušky byly provedeny na SVÚT Liberec.

Všechny vzorky byly odebrány z konve I. pasáže, sice z její horní, střední a spodní části. Vzorky byly ručně promíseny a změřeny.

Měřené hodnoty jsou uvedeny v mm v příloze č. jako vstupní data pro výpočet CB_{MF}(L).

4.3.2 Jemnost vláken

Byla použita přímá metoda. Z jehličkového staplovacího přístroje byly vytaženy svazky vláken, kupř. v zoně 18-28 mm. Potom byly nařezány na 10 mm staplovacím řezačem. Po 100 vláknech byly odřezky zváženy na torzních vahách (v normalizovaných podmínkách). Podle / 54 / jsou získané hodnoty vyšší než u metody vážení celého vlákna (asi o 8 %). Získané hodnoty jsou uvedeny jako poznámky v technologickém plánu přádelny.

Poznámka:

Protože zakoupený materiál v obou podnicích byl vybrán náhodně, bylo nutno zjistit vzájemnou homogenitu materiálu z různých konví. Provedli jsme test na porovnání rozdělení délek vláken. Tento test je však vhodný pro porovnání rozdělení neznámého typu (empirické rozdělení).

Rovnice Brandt-Snedcor sloužila k výpočtu χ^2 hodnoty skutečné.

$$\chi^2 = \frac{(\sum (x_i + y_i))^2}{\sum x_i \sum y_i} \left(\sum \frac{x_i^2}{(x_i + y_i)} - \frac{(\sum x_i)^2}{\sum (x_i + y_i)} \right)$$

Získané hodnoty byly porovnány s teoretickými hodnotami při 95 % statistické jistoty.

Výsledky jsou stanoveny pro vzorky J_{1..6} a S_{1..6} v příloze č. IV/1..6 a IV/7..12.

4.4 Zkoušky výrobků

4.4.1 Nestejnoměrnost

4.4.1.1 Normal test CB(0)

K zjištění hodnoty nestejnoměrnosti na malých osičkách $L=0$, CB(0) byl použit přístroj USTER model B s kvadratickým integrátorem. Zkoušky byly provedeny ve VÚB v Ústí nad Orlicí.

V příloze V/1-5, V/6-10 jsou uvedeny střední hodnoty nestejnoměrnosti (10 potáčů à 1 měření pro vzorky 1,2,3,4,6,7,8,9 a 4 potáče à 2 měření pro vzorky 5 a 10). Dále je vypočítán rozsah spolehlivosti, stanovení rozptylové analýzy a ostatní statistické údaje. V příloze V/1-4 G a V/6-9 G je grafický seznam Uster-nestejnoměrnosti.

4.4.1.2 Innert test CB(L)

K získání hodnoty CB(L) byl opět použit přístroj USTER model B s kvadratickým integrátorem. Doba měření pro každou rychlosť byla 5 minut (4 měření).

V příloze VI/1-5 a VI/6-10 jsou uvedeny střední hodnoty CB(L) po korekci podle metody Palmera a Gressberga, která je uvedena v teoretické části.

4.4.1.3 Spektrogram

Spektrogramy byly získány na USTER-Spektrograf, při normal test a rychlosti 50 m/min. Doba měření byla 10 min.

K lepšímu porovnání jsou v příloze VII/1-4 a VII/6-9 uvedeny křivky získané z přístroje (skutečné) a křivky získané teoretickým výpočtem.

4.4.2 Vady (slabá a silná místa a nopky)

Na přístroji Uster imperfikační indikátor byl zjištěn počet vad na 1000 m příze. Rozsah měření pro slabá místa byl -50 %, pro silná místa byl použit stupeň 3, který je +50 % a pro nopky opět stupeň 3, který odpovídá +200 %. Tato procenta se vztahují k průměrné váze na jednotku délky příze. Výsledky jsou uvedeny v příloze VIII/1-5 a VIII/6-10.

4.4.3 Fyzikálně-mechanické vlastnosti

4.4.3.1 Pevnost, tažnost

Zjištování pevnosti a tažnosti bylo provedeno na přístroji USTER - Automatic Dynamometer s upínací délkou 500 mm. Počet měření 400. Výsledky se hodnotily podle instrukcí fy Zellweger. Histogramy pevnosti a statistické údaje jsou uvedeny v příloze IX/1-4 a IX/6-9. V příloze X/1-4 a X/6-9 je zaznamenán rozsah spolehlivosti, rozptylová analýza a jiné ukazatele.

4.4.3.2 Pracovní křivky

Pracovní křivky byly získány na stolovém trhacím přístroji Z 4 s upínací délkou 500 mm (10 potáčů a 5 měření). Hodnoty pevnosti a tažnosti nebyly registrovány, protože byly známy z přístroje USTER. V příloze XI/1-4 a XI/6-9 jsou uvedeny hodnoty deformační práce, v příloze XII/1-4 a XII/6-9 registrován průměrný průběh pracovní křivky.

4.4.3.3 Čm přízí + zákrut

Zjištění Čm bylo provedeno podle ČSN 80 0702. Výsledky jsou zaneseny v příloze XIII/1-4 a XIII/6-9. Poznámka : trhací délka je uvedena v příloze IX. Zákrut byl zjištěn podle ČSN 80 2010 a hodnoty jsou uvedeny v příloze XIV/1-4 a XIV/6-9.

4.4.4 Výpočet ideálních průběhů

4.4.4.1 Výpočet limitní nestejnoměrnosti CB(0)

Proteže sortiment UTÍN je směs tří druhů baviny a to R I, TU a IR, byla vypočítána limitní nestejnoměrnost CB(0) podle rovnice (81). Pro sortiment SEBA byla použita Martindalova rovnice.

4.4.4.2 Výpočet indexu nestejnoměrnosti

Index nestejnoměrnosti byl vypočten podle vzorce Huberty a porovnán s USTER-Standart v příloze XV/1-4 a XV/6/9.

4.4.4.3 Výpočet ideálního průběhu křivky CB(L)

Na základě rovnice 159) byl stanoven program samočinného počítače pro výpočet křivky CB(L) pomocí metody numerického integrálu a metody překrývací, kde rozdělení funkce délek vláken $h(l)$ byla získána metodou délek jednotlivých vláken. Křivky získané výpočtem z překrývací metody sloužily k porovnání ideálního průběhu CB(L) se skutečným průběhem, získaným na přístroji USTER. Tyto křivky jsou zakresleny v příloze XVI/1-6 a XVI/7-12.

Hodnoty CB(L) získané výpočtem numerického integrálu slouží k vyrovnaní navrhované metody pro výpočet CB(L)_{MF} pomocí fibrografu, který byl vypočítán také na samočinném počítači.

Hodnoty CB(L) vypočtené podle překrývací metody u obou sortimentů SEBA a UTÍN jsou uvedeny v příloze XVII/1-2. V příloze XVIII/1-6 a XVIII/7-12 jsou hodnoty CB(L) ideální podle výpočtu metody numerického integrálu a navrhované metody (pomocí fibrografu). Také je zde uvedena relativní diference mezi oběma metodami.

4.4.4.4 Výpočet ideálního průběhu spektra funkce

Pro výpočet ideálního průběhu spektra funkce byla použita rovnice (90) a tabulky uvedené /39/. Hodnoty spektra funkce byly přenášeny na registrační papíry USTER Zellweger. Poměr výšky skutečného a ideálního spektrogramu je dán indexem nestejnoměrnosti /58/ a je zakreslen v příloze VII.

4.4.5 Vyhodnocovací technika

4.4.5.1 Reprezentativnost střední hodnoty měřeného znaku

Je posuzována hodnotou zaručené relativní chyby podle Studentova rozdělení /53/ a vypočítána dle vztahu :

$$\delta = \frac{t}{\sqrt{N}} \cdot v \quad [\%]$$

δ zaručená relativní chyba v %

t hodnota t-rozdělení při 95 % statistické jistoty

t jsou tabulevány /53/

4.4.5.2 Rozsah spolehlivosti

Protože střední hodnota základního souboru je pro nás neznámá, vypočítali jsme rozsah spolehlivosti měřeného znaku podle rovnice :

$$\mu_{0, \mu} = \bar{x} \pm t \cdot \frac{s}{\sqrt{N}}$$

Poznámka : V této rovnici známe počet měření. Při použití přístroje USTER, který měří kontinuálně, lze určit odpovídající počet měření při metodě diskontinuální /stříhání a vážení/.

$$N = \frac{L}{\bar{t}}$$

L celková měřená délka (rychlosť materiálu
integrační čas)

Potom platí mezi spolehlivosti

$$CV \pm \Delta CV$$

Použijeme-li Gaussova rozdělení, potom platí :

$$\frac{\Delta CV}{CV} = \frac{2}{\sqrt{2N}}$$

pro rozsah spolehlivosti se statistickou jistotou 95%

Pro určení rozsahu spolehlivosti při měření vět počtu potáčů lze předpokládat, že naměřené hodnoty se rozptylují kolem její střední hodnoty. Pro výpočet střední hodnoty a rozsahu spolehlivosti lze použít t-rozdělení (Studentova rozdělení) pro malý počet vzorků ($n = 4-10$).

Potom platí

$$CV = \frac{\sum CV_i}{N} \quad S = \sqrt{\frac{\sum (CV_i - \bar{CV})^2}{N-1}}$$

a rozsah spolehlivosti je :

$$\bar{CV} \pm \frac{t \cdot s}{\sqrt{N}}$$

4.4.5.3 t - test, rozdíly středních hodnot

t - test umožnuje nám snalyzovat rozdíly u středních hodnot. Tento test je pro nás důležitý, protože porovnáváme vlastnosti různých druhů přizí. Vypočteme t-hodnoty potom porovnáváme s t - rozdělením hodnot, abychom mohli posoudit, zda jsou rozdíly středních hodnot náhodné, nebo zda se statisticky liší od sebe. t - test umožnuje zjistit, zda se výrobek zlepšil a zhoršil s o kolik.

Při použití t - testu musíme však nejprve provést F - test.

a) v případě vypočtené hodnoty F-testu, která je menší než hodnota F-rozdělení (měřená hodnota pochází z normálního rozdělení se stejným rozptylem)
 $(\sigma_1^2 \approx \sigma_2^2)$

Potom platí :

$$t = \frac{\bar{X}_1 - \bar{X}_2}{S_{mn}} \sqrt{\frac{N_1 N_2}{N_1 + N_2}}$$

$$S_{mn} = \sqrt{\frac{S_1^2 (N_1 - 1) + S_2^2 (N_2 - 1)}{N_1 + N_2 - 2}}$$

a pro stejný počet naměřených hodnot platí $N_1 = N_2 = N$

$$t = \frac{|\bar{X}_1 - \bar{X}_2|}{\sqrt{\frac{S_1^2 + S_2^2}{2}}} \sqrt{N}$$

Stupeň volnosti

$$f = N_1 + N_2 - 2$$

b) v případě, že hodnota F-rozdělení je menší než vypočtená hodnota F ($\sigma_1^2 \neq \sigma_2^2$)

Potom stupeň volnosti je dán touto rovnicí :

$$f^* = \frac{1}{\frac{C^2}{N_1 - 1} + \frac{(1-C)^2}{N_2 - 1}}$$

$$\text{kde veličina } C = \frac{S_1^2 / N_1}{S_1^2 / N_1 + S_2^2 / N_2}$$

4.4.5.4 Rozptylová analýza

Rozptylovou analýzou je nutno se zabývat, protože slouží k porovnání více než dvou měřených znaků na jednu. Rozptylová analýza odpovídá na otázku, zda odchyly jsou systematické, nebo náhodné. Dále umožňuje zjistit rozptyl uvnitř skupin i mezi skupinami.

Rovnice, podle které stanovíme rozptylovou analýzu :

$$\text{(1)} S^2 = \frac{b}{k-1} \sum_{i=1}^k (\bar{x}_i - \bar{\bar{x}})^2$$

$$\text{(2)} S^2 = \frac{1}{k} \sum_i^k s_i^2$$

S^2 , $\text{(2)} S^2$ odhadnuté rozptyly neznámého základního souboru, který má rozptyl σ^2

k počet zkoumaných skupin hodnot (vzorků)

b počet naměřených hodnot pro každou skupinu (vzorek)

m celkový počet naměřených hodnot

$$s^2 = \frac{\text{(1)} S^2}{\text{(2)} S^2} = \frac{\frac{b}{k-1} \sum_{i=1}^k (\bar{x}_i - \bar{\bar{x}})^2}{\frac{1}{k} \sum_{i=1}^k s_i^2}$$

rozptyl mezi skupinami $b \sum_{i=1}^k (\bar{x}_i - \bar{\bar{x}})^2$

rozptyl uvnitř skupin $(b-1) \sum_{i=1}^k s_i^2$

celkový rozptyl (kvadraticky)

$$\sum_{i=1}^m (\bar{x}_i - \bar{\bar{x}})^2$$

stupně volnosti

$$f_1 = k-1, f_2 = k(b-1) = N-k, f = N-1$$

4.4.5.5 Mezní rozdíl (Grenz Differenz) GD

Jestliže chceme určit vzájemné porovnání vzorků, musíme vypočítat GD. Je-li rozdíl středních hodnot

2 vzorků menší než GD, lze říci, že rozdíly jsou náhodné. Je-li rozdíl středních hodnot 2 vzorků větší než GD, rozdíly jsou systematické.

$$GD = t(99\%, 2b-2) \sqrt{\frac{2s^2}{b}}$$

4.5 Diskuze k experimentální části

4.5.1 Diskuze k přádním plánům

V technologických plánech bylo družení s 4 pasáže posukovacích strojů jak na klasickém, tak bezkřídlcovkovém systému stejně. Základním materiálem byl pramen I. pasáže. Při χ^2 testu bylo zjištěno, že materiál zakoupený v np. ŠeBA je vzájemně homogenní a jeho stapl reprodukovatelný. Materiál, zakoupený v np. OIÍN nebyl homogenní, což mohlo být důsledkem nedokonalosti práce předchozího stroje. Tzn., že stapl nebyl reprodukovatelný v každé konvi a tuto nehomogenitu mohla způsobit příčasná nestejnoměrnost v produktu. Nestejnoměrnosti přízí nemusí být tedy jen důsledkem technologického procesu, ale i materiálu.

Jedním z cílů této experimentální části bylo zkoumat vhodnou formu předlohy na dopřádacím stroji. Předkládání pramenů průtanovému ústrojí dopřádacího stroje skrývá v sobě mnoho technických a ekonomických problémů. Aby bylo možno posoudit tvar předlohy, který je používán u strojů np. Kovotex, bylo nutno se zabývat témi skutečnostmi a možnostmi, které se vyskytují u strojů jiných zahraničních výrobců textilních strojů. U klasického způsobu předení má přástová cívka specifickou váhu cca 0,3 až 0,4 kg/dm³, podle způsobu vinutí materiálu, počtu zákrutů ap. Pramen v konvi se specifickou vahou 0,1 až 0,15 je tudíž 3 až 5 krát objemnější. To je jeden z hlavních problémů bezkřídlcovkového předení.

Problém předkládání pramene dopřádacímu stroji vzhledem k menší specifické váze je náročný a ve většině případů zasahuje do koncepce stroje. Hlavní používané systémy jsou:

- a) ukládat pramen do konví normálních rozměrů (jeden nebo dva prameny do jedné konve), nebo rozměrů menší

b) navíjet pramen na cívky volně nebo přítlačem, aby bylo dosaženo požadovaného stupně slisování a tím částečného vztřstu specifické váhy.

Samotné navíjení pramene nepřináší zvláštní těžkosť, avšak zachovat dobré odvíjení, které by zaručilo kompaktnost a nepoškození sousedních vrstev je problém. Při odvíjení se totiž vlákna z pramene odlepují, otácejí se svými konci zpět a do průtahového ústrojí přicházejí ohnutá a neurovnana. To nepřispívá k dobré kvalitě příze. Kompaktnost pramene vytvořena nepravým zákrutem a dobrým zaoblením je přínosem pro průtahové ústrojí doplňacího stroje a zlepšuje kontrolu vláken.

U pramenů uložených v konvích, zvláště při použití většího počtu průtahových pasáží, kdy se pevnost a soudržnost zmenšuje, vzniká mimo jiné možnost nebezpečí nekontrolovatelnosti průtahu (falešný průtah).

Problematika cívky nebo konve byla často zkoumána z hlediska ekonomického, ale málokdy s hlediska nestejnomořnosti a kvality příze. Nepovažovali jsme za nutné přesvědčit se o skutečnosti příznivější polohy zad. háčků.
4.5.2 Diskuze o nestejnomořnosti CB(0)

a) Sortiment OTÍN

V příloze V/l-5 jsou uvedeny hodnoty získané na přístroji USTER - Normal test CB(0). Klasická příze 4 má nejmenší nestejnomořnost na velmi malých úsečkách (CV 20,87), příze 1 z výroby np. OTÍN má značně vyšší nestejnomořnost (CV 26,4) a bezkřídlovkové příze 2 a 3 předené na VŠST z cívek a konví jsou rovnocenné.

Z rozptylové analýzy lze konstatovat, že ve střední hodnotě nestejnomořnosti příze 2,3, a 5 žádné statistické zajištěné rozdíly nebyly zjištěny (rozdíly náhodné) ani u příze 1, která je už na hranici mezní diference (GD).

Jinak lze říci, že všechny druhy přízí bezkřídlovkového předení 1, 2, 3, 5 se liší systematicky od příze klassické 4. (rozdíly ve střední hodnotě nestejnoměrnosti bezkřídlovkových přízí a příze klassické překročily mezní hodnoty GD).

Příze 4 se statistickou jistotou 99 % se zlepšila oproti přízi 1 nejméně o 4,12 % CV a nejvíce o 6,7 %, což je podstatně velký rozdíl. Oproti přízi 4 ukázala příze 4 zlepšení v nestejnoměrnosti nejméně o 3,36 CV a nejvíce 4,75 CV, oproti přízi 3 zlepšení nejméně o 3,5 % CV a nejvíce o 5,7 % CV, oproti přízi 5 zlepšení nejméně o 3,9 % CV a nejvíce o 6,2 CV.

b) Sortiment SEBA

Z přílohy V/5-10 je patrné, že příze 7 má nejmenší nestejnoměrnost, potom následuje příze klassická 6 a příze 8, 9, 10 jsou rovnocenné.

Ze statistické analýzy lze konstatovat, že příze 7 se zlepšila ve nestejnoměrnosti oproti přízi 6 nejvíce o 2,7 % CV. Lze se domnívat, že je to způsobeno tím, že u technologie příze 6 bylo použito dopřádacího stroje P 76-SM s jednořemínkovým průtažným ústrojím, kdežto u příze 7 dopřádacího stroje D 75 s dvouřemínkovým průtažným ústrojím. Příze 7 se zlepšila oproti přízi 8 nejméně o 3,4 % CV a nejvíce o 5,4 % CV, oproti přízi 9 nejméně o 3,4 % CV a nejvíce o 5,5 % CV, oproti přízi 10 nejméně o 3,4 % CV a nejvíce o 5,7 % CV.

Závěr :

- Klasická technologie způsobuje menší nestejnoměrnosti na velmi krátkých úsečkách oproti technologii bezkřídlovkové;
- Nejsou žádné rozdíly v nestejnoměrnosti na velmi krátkých úsečkách v různých technologických systémech bezkřídlovkového předení (předloha nemá vliv na nestejnoměrnost).

4.5.3 Diskuze o průběhu délkové variační křivky CB(L, 1)_T

a) Sortiment Jitka, OTÍN

Z přílohy XVI/l-6 vyplývá, že v rozsahu krátkých a středních délek vzorků přízí 1, 2, 3, 5 se vyskytuje nepříznivý průběh CB (L). To je ovlivněno účinností vysokoprůtažného ústrojí dopřádacího stroje. Vyštelujeme to tím, že do průtažného ústrojí vstupuje značné množství vláken, které bude zjemněno 140 tisícnásobným průtahem. Do ústrojí vstupuje vláknenný svazech cca Čm 0,27, odpovídající cca 20.000 vláken v průřezu. Čtyřválečkové průtažné ústrojí má zjemnit vláknenný útvar natolik, aby z ústrojí vycházelo cca 150 vláken. Při uvedeném množství vláken je téměř nemožné, aby každé vlákno mohlo být dostatečně kontrolováno orgány průtažného ústrojí. Je velká pravděpodobnost, že vlákna se v průtažovém ústrojí pohybují ve skupinách.

Důležitým faktorem, který ovlivňuje nepříznivý průběh skutečné CB(L) křivky na krátkých úsečkách u bezkřídlovkové předené příze je předložené množství vláken na vstupu do průtažného ústrojí. Čím je počet vláken větší, tím větší je možnost rozbíhání vláken do šíře. Nebezpečí může být větší i při zařazeném kondenzoru (zhuštovací) u výstupního páru válečků, neboť vzniklý trojúhelník spřádání je značně choulostivý na chybný průtah.

Průběh CB(L) u středních délek příze 4 (tj. rozsah působení křídlovky) je docela příznivý. U dlouhých délek (rozsah kolísání Čm) u přízí 2,3,4 a 5 je průběh CB(L) rovnocenný. Pouze u příze 1 je variace v Čm (CB(L) = 100mm) 3,34 %. Tato zvýšená nestejnomořnost v Čm lze vztáhnout na II. pasáž protahovacího stroje, kde byla zjištěna pomocí spektrogramu mechanická zá-

vada $\lambda = 17,5$ cm, která způsobuje periodické ne-
stejnoměrnosti v přízi na úsečkách 10,8 m.

Příze 3 předená přímo z konve má trochu větší kolísání v čem $CB(L) = 100$ m 2,15 %. To lze vysvětlit vznikem nekontrolovaného (falešného) průtahu při odvíjení pramene z konve. Příze 1 má oproti přízi 2 nepříznivější průběh $CB(L)$ na krátkých úsečkách. U středních délek se průběh zlepšuje.

b) Sortiment SEBA

Při vzájemných porovnáních obou klasických přízí 6 a 7 (příloha XVI/6-12) lze říci, že příze 7 předená na dopřádacím stroji D 75 s tříválečkovým dvouřemínkovým průtahovým ústrojím, má příznivější průběh $CB(L,1)_T$ na krátkých úsečkách, než příze 6, předená na čtyřválečkovém jednořemínkovém ústrojí. Kromě lepší kontroly vláken byla příze 7 předená s relativně menším průtahem než příze 6 (16ti násobný průtah oproti přízi 6 a 21ti násobný průtahem).

Příze 8,9,10 předené bezkřídlovkově s rozdílnou formou předlohy mají téměř stejný průběh $CB(L)$ na krátkých úsečkách. Příze 8 a 10 mají lepší průběh $CB(L)$ na dlouhých úsečkách, než příze 9 (v důsledku vzniku falešného průtahu při odvíjení z konví, kde pramen není zpevněný). Z obou sortimentů je zřejmý nepříznivý průběh $CB(L)$ křivky na středních délkách pro všechny příze předené z cívky (zpevněné nepravým zákrutem). Nestejnoměrnost způsobenou průtahovou vinou lze vysvětlit tím, že pramen zpevněný nepravým zákrutem, vstupující do 1. průtahového pole (které na rozdíl od předprůtahu zde pracuje s poměrně vysokým průtahem, kolem 7), má značný počet vláken. Tento počet nepříznivěji ovlivňuje soudržnost vláken než jak je tomu v případě křídlovkového přástu.

Lávér .

Pro precizní porovnání bezkřídlovkového předení s klasickým je nutno brát v úvahu, jaký stroj pro vypředení klasické příze byl použit a který slouží jako porovnávací baze.

Ideální průběh CB(L) slouží jako porovnávací baze kvality příze.

Klasická příze má lepší průběh CB(L) na krátkých úsečkách, na delších sečkách je její průběh rovnocenný.

Na bezkřídlovkovém systému lze zpracovávat jen příze středních čísel, střední kvality a to jen při použití určitých vysokých průtahových ústrojí.

Při spřádání bezkřídlovkovém z předlohy musí se použít u málo kompaktního pramene (pramen z konví) průtahového ústrojí a účinnějším vedením vlákenných orgánů, než u dobrého kompaktního pramene (pramen z cívky).

Při bezkřídlovkovém předení u vysokoprůtažného ústrojí vzniká větší přední trojúhelník, což zvyšuje pravděpodobnost přetíru, chlupatosti příze, chybného průtahu atd., než u třícyindrového systému.

4.5.4 Diskuze k spektrogramu

V příloze VII/1-4 a VII/6-9 jsou zakresleny spočítané ideální spektrogramy a spektrogramy získané z přístroje USTER. Vyčárkovaná plocha značí podíl poruch.

Získané spektrogramy pro příze 1, 2, 3, 8, 9 jsou typické pro bezkřídlovkové předení. Podíl poruch způsobených průtahovou vlnou se rozptyluje kolem $\lambda = 1,5$ m a podle $\lambda / 56$ a $\lambda / 55$ je způsoben velikým předprůtahem. Mechanická závada byla zjištěna na 11. pasáži posukovacího stroje u příze 1 ($\lambda = 17,5$ cm.) Tato porucha není zachycena na spektrogramu příze 1, protože zakres-

lený spektrogram byl měřen při 50 m/min (max. $\lambda = 0\text{m}$), a skutečná porucha měla vzniknout u $\lambda = 20\text{m}$. Tato mechanická závada / 56 / zvyšuje kolísání Čm o 1 %.

Spektrogramy pro příze 4, 6, 7 jsou normální jako pro klasickou přízi.

4.5.5 Diskuze k vadám v kvalitě příze

Z přílohy VIII/1-5 a VIII/6-10 je patrné, že všechny druhy přízí mají častější výskyt vad, které jsou způsobeny danou surovinou a nedokonalou prací v čistírnách.

4.5.6 Diskuze k pevnosti a tažnosti

a) Sortiment Jitka OTÍN

V příloze IX/1-4 jsou zakresleny histogramy získané z přístroje Automatic-dynamometer USTER (počet měření 400). Nestejnometernost v pevnosti u bezkřídlovkových přízí je podstatně vyšší než u přízí klasických, což můžeme pozorovat jako značné výkyvy na histogramu.

Při rozptylové analýze (příloha X/1-4) lze říci, že příze 2 a 3 nemají téměř žádné rozdíly ve středních hodnotách, oproti klasické přízi 4, kde byly zjištěny statistické rozdíly.

Z t-testu lze konstatovat, že příze 4 vykazuje zlepšení v pevnosti nejvíce o 71,6p a nejméně o 53,6p, oproti přízi 2, která vykazuje zlepšení nejvíce o 32,7p, nejméně o 5,3p a oproti přízi 3 s největším zlepšením 31,2p a nejmenším zlepšením 12,8p.

b) Sortiment SEBA

Z přílohy VII/1-4 je patrné, že příze 6 má nejlepší nestejnometernost v pevnosti 10,5 %. Následuje příze 7

která má $v = 12,4\%$. Rozdíly v pevnosti přízí 8 a 9 jsou náhodné.

Z rozptylové analýzy vyplývá, že příze 7 se zlepšila v pevnosti oproti přízi 6 nejvíce o 32p a nejméně o 16p, oproti přízi 9 nejvíce o 25p a nejméně o 13p.

Závěr :

Při spřádání bezkřídlovkovém lze vypříst příze o stejné pevnosti, jako u příze klasické.

Nestejnoměrnost v pevnosti u klasické příze je menší než u příze bezkřídlovkové.

Poznámka : Pro lepší srovnání jsou zahrnuty v příloze XII fyzikálně-mechanické a geometrické vlastnosti příze.

5. EKONOMICKÁ ČÁST

5.1 Účel a cíl

Cíl této části spočívá v zajištění úspor nebo ztrát při výrobě 1 kg příze. Proto bylo třeba porovnat náklady na 1 kg příze vyrobené bezkřídlovkové a klasicky. Použili jsme údajů projektu Otín na roční výrobu 4 mil kg příze. Byla porovnávána bavlnářská příze Čm 34 za předpokladu, že základní materiál je R II. Tato ekonomická část se nevztahuje na kvalitu příze, která byla rozebrána v experimentální části.

5.2 Technologický postup (viz experimentální část 4.2.1)

5.2.1 Výrobnost stroje a počet potřebných strojů

Posukovací stroj:

I. pasáž P 420

Čm	0,25
odváděcí rychlosť m/min	88
využití stroje %	86
počet vývodů	4
výkon stroje kg/hod	72,7
výrobnost stroje za 1 rok	290.800
potřeba strojů	14

II. pasáž PP 420

Čm	0,25
odváděcí rychlosť m/min	57
využití strojů %	77
počet vývodů	4
výkon stroje kg/hod	42,1
výrobnost stroje za 1 rok	168.400
potřeba strojů	24

Poměrně vysoký výkon strojů II. pasáže vytvoří s ohledem na střední Čm 34 rezervu 4 strojů v objemu celkového projektu. (TER - úkol pramen-průtah).

Dopřádací stroj PP 72

Čm	34
otáčky vřeten l/min	10.500
využití stroje %	90
počet zákrutů na 1 m	725
počet vřeten	324
výkon stroje kg/hod	7,35
výrobnost stroje za 1 rok	29.400
potřeba strojů	136

5.2.2 Spotřeba elektrické energie

Stroj	výkon kw	účinnost %
mykací stroj	1,3	0,92
posukovací stroj		
I. pasáž	1,7	0,82
II. pasáž	1,7	0,57
dopřádací stroj	13,7	0,69

Spotřeba elektrické energie za 1 rok kWh

mykací stroj	717.600
posukovací stroj	
I. pasáž	78.064
II. pasáž	108.528
dopřádací stroj	5 142.432

celkem

6 046.624

5.2.3 Potřeba provozní plochy (orientační plán /57/)

Stroj	počet strojů	ploš. rozměry pracoviště m	provoz. 2 ploch m	podíl na 1 stroj
čistírna	4	67,5 x 37,5	2 531	632,7
myk. stroj	150	2(112 x 9,5)	2 128	14,2
pos. stroj	42	2(112 x 75)	1 680	40,-
dopř. stroj	136	112 x 33	3 696	27,2
celkem			10 035	

5.2.4 Základní materiál

Spotřeba suroviny na 1 kg hotové příze (na zjednodušení používáme jako materiál pro oba systémy R II).

	Výtěžnost %	Kčs/kg	Kčs
Bavlna R II	90,6	11,75	12,97

$$\text{vrstný odpad} = -9,9 \text{ hal/kg}$$

5.2.5 Mzdy výrobních dělníků (viz tab. 1)

Z tabulky (1) vyplývá, že náklady v hal/kg příze jsou 52,87.

5.2.6 Dílenská režie

Rezervy na dovolenou (8,5 %) :

$$2\ 115.220 \times 0,085 = 179.790 \text{ Kčs}$$

Pojištění (10 %) .

$$2\ 115.220 \times 0,010 = 211.520 \text{ Kčs}$$

Elektrické energie :

$$6\ 046.624 \text{ kWh} \times 0,15 \text{ Kčs/kWh} = 906.990 \text{ Kčs}$$

Odpisy :

Stroj	počet strojů	cena strojů	pořiz. náklady	% odpisu	roční odpis Kčs
pos. stroj					
I.pásáž	14	27.500	385.000	7,9	30.410
II.pásáž	28	39.800	1114.400	7,9	88.040
dopř.stroj	136	120.000	1632.000	10	1632.000
budovy	10.035 m ²	1000 Kčs	10035.000	1,9	190.660
celkem			27854.400		1941.110

Mzdy výrobních dělníků

	Počet strojů na 1 prac.	Počet strojů	Počet pr. na 2 smeny	Plat. třídy	Kčs hod	Premie Kčs	Celkem Kčs/hod	Roční náklad	Náklad hal/kg
mísitna	2 (výv)	7	7	5	4,85	0,73	,58	78,120	1,95
čistírna	2 (výv)	7	7	6	,45	1,25	6,7	93,800	2,34
mykání	1,5	150	20	4	4,75	0,95	6,10	244,000	6,10
poušťování	3	42	28	4	4,72	1,42	6,17	345,520	8,64
doprádání	2,5	136	109	5	,35	0,86	6,21	135,780	33,84
celkem				171				2115,220	52,87

Celkové náklady v hal/Kč = 52,87 hal/kg

Tab č. 1

Přehled vybraných položek dílenské režie Kčs :

rezervy na dovolenou	179.790
pojištění	211.520
elektrická energie	906.990
odpisy	1941.110
mzdý-režie jiných zaměst.	1944.120
celkem	5183.530

Roční objem :

4 mil kg příze

Náklad na 1 kg příze v hal. :

129,59

Přehled vybraných položek nákladů v hal na 1 kg hotové
příze .

základní materiál	1.297,-
vratný odpad	-9,9
mzdý výrobních dělníků	52,87
dílenská režie	129,59
celkem	1.469,56

5.3 Ekonomický systém klasické technologie

Když při rozboru klasické technologie zachováváme roční objem výroby 4 mil kg příze, počet prstencových strojů D 75 při stejných otáčkách vřeten, stejném počtu zákrut a Čm bude 136.

5.3.1 Výrobnost a počet potřebných strojů

Čm	1,8
otáčky křídel l/min	850
využití %	80
počet zákrutů na 1 m	46
počet křídel	144
výkon stroje kg/hod	70,96
výrobnost stroje za 1 rok kg	283.840
potřeba strojů	14

5.3.2 Spotřeba elektrické energie kWh

mykací stroj	717.600
posukovací stroj	
I. pasáž	78.064
II. pasáž	78.064
konvostřední křídlovka	
K 165	241.920
dopřádací stroj D 75	5142.432
celkem	6258.080

Úspora el. energie při předení bezkřídlovkovém :

3,38 %

5.3.3 Potřeba provozní plochy m²

čistírna	2.531
mykací stroj	2.128
posukovací stroj 28 a 40 m	1.120
dopřádací stroj K 165	
(12,955+2) x (2,030+1,5)x14	739
dopřádací stroj	3.696
celkem	10.214

Úspora provozní plochy při předení bezkřídlovkovém :

1,75 %

5.3.4 Základní materiál

Při použití předpřádacího stroje K 165 celková výtěžnost suroviny se sníží cca o 1,5 %, takže výtěžnost bude 89,2 %.

Potřeba suroviny k výrobě 1 kg příze :

1,121 kg

Náklady na 1 kg příze :

13,17 Kčs

Položka vratného ocapudu = -9,9 hal/kg

5.3.5 Mzdy výrobních dělníků

Mzdové náklady budou stejné jako u bezkřídlovkového předení s přičtením rozdílu mezi spotřebou mezd dělníků u předpřádacího stroje K 165 (1 dělník na 1 stroj) a úsporou mezd dělníků u II. pasáže posukovacího stroje (místo 28 strojů PP 420 bude 14 strojů P 420).

Počet dělníků pracujících na 2 směny (K 165) = 28

Úspora dělníků pracujících na 2 směny (P 420 II. pasáž) =
 $\frac{2}{3} \times \frac{14}{28}$ (3 stroje na 1 dělníka) = 9

Rozdíl v počtu dělníků = 19

Celkový počet dělníků (klasická technologie)

171 + 19 = 190

Platová třída 4 : 4,75 Kčs/hod + 20 % premie = 5,70 Kčs

Mzdové náklady na 1 rok :

$5,70 \times 19 \times 2.000 = 216.600$ Kčs

Vzrostlé mzdové náklady na 1 kg příze : = 5,42 ha

Mzdové náklady na 1 kg příze klasické.

$$52,87 + 5,42 = 58,29 \text{ hal}$$

Celkové náklady ročně :

$$2115.220 + 216.600 = 2331.820 \text{ Kčs}$$

5.3.6 Dílenská režie

Reserva na dovolenou (8,5 %)	198.205
pojištění (10 %)	233.182
el. energie	938.710
celkem	1379.097

Odpisy :

Stroj	počet strojů	cena stroje	pořiz. náklady	% odpisu	roční odpis Kčs
pos. stroj					
I. pasáž	14	27.500	385.000	7,9	30.410
II. pasáž	14	27.500	385.000	7,9	30.410
K 165	14	150.000	2100.000	9,3	195.300
D 75	136	103.000	14008.000	10	1400.800
budovy (10.214 a 1000 Kčs			10212.000	1,9	194.028
celkem			27092.000		1850.948

Roční mzdy se zvyšují o 180.180 Kčs (o 13 zaměstnanců více - 4 na rozvoz s nástrk pramene, 2 seřizovači, 5 čisticí četa, 1 zkušebna, 1 mezistupňová kontrola).

Mzdy režijních zaměstnanců :

$$1944.120 + 180.180 = 2124.300 \text{ Kčs}$$

Přehled vybraných položek dílenské režie Kčs :

rezervy na dovolenou	198.205
pojištění	233.182
el. energie	938.710
odpisy	1850.948
mzdy režijních zaměstnanců	2124.300
celkem	5345.345

Roční objem :

4 mil kg příze

Náklady na 1 kg příze v hal :

133,63

Přehled vybraných položek nákladů v hal na 1 kg hotové
příze :

základní materiál	1317,26
vratný odpad	-9,9
mzdy výrobních dělníků	58,29
dílenská režie	133,63
celkem	1499,28

5.3.7 Výpočet úspor

tech.klasická tech.bezkřídlovková

roční výroba (mil kg)	4	4
náklady hal/kg	1.499,28	1.469,56
úspory hal/kg	-	29,72
roční úspory Kčs	-	1188.987

Roční úspora na 1 prstencový stroj DP 75 :

8.742,55 Kčs

Produktivita práce	tech.klasická	tech.bezkřídlovková
4 mil : 190	21.052,63 kg	
4 mil : 171		23.391,8 kg
zvýšení produktivity práce		11 %

5.3.8 Porovnání obou technologií

Technologie
klassická bezkřídlovková

	<u>Typ dopř. stroje</u>	D 75	DP 75
	<u>Čm</u>	34	34
l/min	otáčky vřeten	10.500	10.500
%	využití	90	90
l/m	počet zákrutů	734	734
ks	počet vřeten	324	324
kg/hod	výkon stroje	7,35	7,35
ks	počet strojů	136	136
mil kg	roční objem výroby	4	4

Technologické postupy : Počet strojů :

ks	vývodů čistírenská souprava	7	7
ks	mykací stroj	150	150
ks	posuk. stroj I.pasáž	14	14
ks	" " II.pasáž	14	28
ks	konvostřední K 165	14	-

Energie a zastavěná plocha :

mil KWh	spotřeba el.energie		
	za 1 rok	6,258	6,046
m ²	potřeba provoz. plochy	10.214	10.035

Obsluhovost :

výv/l pr.	mísírna	2	2
" "	čistírna	2	2
str/l pr.	mykací	15	15
" "	posukovací	3	3
" "	předpřádací	1	-
" "	dopřádací	2,5	2,5

<u>Počet pracovníků</u>			
		klasická	bezkonvenční
pr/změny	výrobní	190	171
" "	režijní	152	139

Vybrané položky dílenské režie :

tis.Kčs/rok	el. energie	938,71	906,99
" "	odpisy	1850,48	1941,11
" "	mzdy rež.zam.	2124,30	1944,12
" "	rezervy na dov.+ pojištění	431,39	391,31
	celkem	5344,88	5183,35

Souhrn vybraných nákladů :

hal/kg	základní materiál	1317,-	1297,-
" "	vratný odpad	- 9,9	- 9,9
" "	mzdy výrobních dělníků	58,29	52,87
" "	dílenská režie	133,63	129,59
	celkem	1499,28	1469,56

Úspory :

tis.Kčs/rok	celková úspora	-	1188,98
" "	úspora na 1 dopř. stoj	-	8,7
hal/kg	úspora nákladů	-	29,72
počet	úspora pracovníků		19

5.4 Diskuze k ekonomické části

Z ekonomického rozboru vyplývá zřejmě vhodnost zkráceného přádního postupu. Avšak aby uvedené závěry mohly být zcela přesvědčivé, bylo by nutné ekonomický rozbor provádět sž srovnáváním hotových výrobků (tkanin, případně pletenin). V tomto případě bylo by nutné zahrnout do kalkulace otázku kvality přízí, toto však nemohlo být pro nedostatek podkladů provedeno. Je pravděpodobné, že ekonomická výhodnost by byla nižší.

6. ZÁVĚREČNÁ ČÁST

Souhrn nejdůležitějších poznatků

V této práci bylo vysvětleno a objasněno několik důležitých otázek při vyhodnocování technologických procesů.

6.1. Poznatky teoretické části

- byly vysvětleny základní pojmy rozložení délek vláken v hmotě (zákl. soubor), v průřezu svršásci;
- byla odvozena rovnice pro třásňovou křivku (staplovou);
- bylo dokázáno, že tato rovnice se shoduje s rovnici Hanuš-Neckář;
- bylo dokázáno, že hodnoty staplové křivky jsou stejně jako hodnoty autokorelační funkce jinou cestou, než dokázal Wegener;
- byla objasněna základní definice délkové variační křivky jak statisticky, tak geometricko-analyticky;
- byly shrnutý a vzájemně porovnány metody výpočtu CB(L) křivky;
- byla vyvinuta metoda na výpočet CB(L) křivky pomocí fibrografu;
- byly objasněny vztahy mezi autokorelační, délkovou variační a spektrem funkcí;
- byla odvozena rovnice s výpočetní metoda (numerický integrál) pro výpočet spektra funkce pomocí staplové křivky (případně fibrogramu);
- byla odvozena rovnice pro výpočet limitní nestejnoměrnosti a variační koeficient jemnosti vláken ve směsi;
- byl vysvětlen efekt přídavné nestejnoměrnosti na autokorelační, délkové variační a spektru funkcí;
- byl připomenut princip integrátoru USTAR při měření hodnoty CB(L);

- byl vysvětlen a objasněn vztah mezi družením, průtahem a nestejnoměrností ve skutečném a ideálním svažku vláken;
- bylo zde zmíněno o vztahu mezi indexem nestejnoměrnosti a indexem rozdělení konců vláken;
- byla zdůvodněna vhodnost použití CB(L) křivky pro vyhodnocování přádelnických procesů a vhodnost použití spektra funkce na určení velikosti a druhu poruch v přádelnických procesech;

6.2. Poznatky experimentální části

- bylo dokázáno, že klasická technologie způsobuje nejmenší nestejnoměrnosti na velmi krátkých úsečkách oproti technologii bezkřídlovkové;
- bylo dokázáno, že nejsou žádné rozdíly v nestejnoměrnosti na velmi krátkých úsečkách v různých technologických systémech bezkřídlovkového předení (předloha nemá vliv na nestejnoměrnost);
- bylo dokázáno, že klasická příze má lepší průběh CB(L) na krátkých úsečkách, na delších úsečkách je jejich průběh rovnocenný. Na bezkřídlovkovém systému lze zpracovávat jen příze středních čísel, střední kvality a to jen při použití určitých vysokých průtahových ústrojí;
- bylo zdůvodněno, že při bezkřídlovkovém předení u vysokoprůtažného ústrojí se musí použít u málo kompaktního pramene (pramen z konví) průtahového ústrojí s účinnějším vedením vláknenných orgánů, než u dobrého kompaktního pramene (pramen z cívky) i účinnějším vedením pramene do průtahového ústrojí, aby nevznikl falešný průtah (kolísání Čm);
- bylo dokázáno, že při spřádání příze bezkřídlovkovým způsobem lze vypříšt příze o stejně pevnosti, jako u příze klasické, avšak nestejnoměrnost v pevnosti u klasické příze je menší než u příze bez-

- křídlovkové;

Je známou skutečností, že předpoklady pro získání kvalitní příze jsou dány mimo jiné tím, že na stroji, na kterém je nejvyšší průtah, tj. na stroji prstencovém, přicházejí vlákna se zadními háčky. Toto zjištění má zvýšený význam při vypřádání vyšších čísel příze.

Je zcela logické, že zásadní význam pro kvalitu příze má provedení vlastního průtahového ústrojí. Zde máme na mysli porovnání průtahového ústrojí DP 75 s průtahovým ústrojím japonským. Japonské pětiválečkové průtahové ústrojí má o jednu protahovací zonu více, takže vedení a kontrola vláken v následujících zonách je daleko příznivější. Z druhé strany však nutno konstatovat, že toto průtahové ústrojí zvyšuje výšku stroje, ztěžuje obsluhovost stroje a seřizování (na rozdíl od našeho DP 75).

Pokud se týká japonských zkrácených systémů je třeba ještě připomenout, že se v mnohých případech použilo automatických přádních linek, tzn. agregaci mykacích strojů se stroji posukovacími. Vzhledem k tomu v tomto případě do průtahového ústrojí přicházejí vlákna se zadními háčky, kde napřímení vláken, resp. stupeň napřímení je příznivější. Dále je třeba poznat, že v prvé pasáži (agregované) byl regulační posukovací stroj, což v našich podmírkách dosud nikdy nebylo.

Uvedené skutečnosti svědčí o tom, že úspěchy japonských bezkřídlovkových systémů musely být podstatně výraznější, než tomu bylo u nás (viz literární rešerše).

6.3 Poznatky ekonomické části

Z ekonomického rozboru vyplývá vhodnost zkráceného přádního postupu (bezkřídlovkového předení) oproti klasickému systému.

6.4 Závěr

V předložené práci jsme se snažili aplikovat současné teoretické poznatky o problematice nestejnoměrnosti vlákenného útvaru na měřící techniku a přádelnickou technologií. Uvedená zjištění mají obecný charakter a lze je použít pro každou přádelnickou technologii.

Veškeré teoretické závěry mohou sloužit bezprostředně k přímému řízení technologického procesu z hlediska kvality příze. V práci jsme se pokusili zjednodušit vztahy a usnadnit jejich použití pro provoz.

Seznam použité literatury

- /1/ Soška-Beneš-Sodomka : Fyzikální praktikum. Učební texty vysokých škol. SNTL. (1961), 20-37
- /2/ Reisensauer : Metody matematické statistiky a jejich aplikace. SNTL. (1965)
- /3/ Hanuš-Neckář : Digital Fibrograf 230 A. Textil. 25, (1970), 91, 127, 161
- /4/ Hertel : Method of Fibre Length Analyses using Fibrograph. Text. Res. 10, (1942), 510
- /5/ Golditz : Die mittlere Faserlänge und die Faserlage in Fasergebilden. Dissertation Dresden (1940)
- /6/ Wegener-Hoth : Teoretische Betrachtung über die Faserlängen Verteilung. Melland Textilberichte. 12, (1955), 1219
- /7/ Brenny : The Calculation of the Variance Length Curve from the Length of Distribution of Fibre. J. Text. Inst. 44, (1953), 10
- /8/ Wegener-Hoth : Die Darstellung der Ungleichmässigkeit eines Faserverbandes. Melland Textilberichte. 41, (1960), 10
- /9/ Spenzer-Smith-Todd : A time Series Met within Textile. Research Supp. Journal State Soc. 7, (1941), 131
- /10/ Wegener-Hoth : Die Berechnung der Ideal Längenvariationsfunktion. Melland Textilberichte. 43, (1962), 1260
- /11/ Wegener-Rosemann : Die statistische und geometrisch-analytische Definition der Längenvariationskurve. Melland Textilberichte. 38, (1957), 1340
- /12/ Wegener-Rosemann : Das Verhalten der Längenvariationskurve für kleinere Integrationslänge, Melland Textilberichte. 39, (1958), 368
- /13/ Wegener-Rosemann : Beispiele für Längenvariationskurve einfache Materialdichte. Melland Textilberichte. 39, (1958), 844.
- /14/ Wegener-Rosemann : Berechnung Längenvariationskurve mit Hilfe Fourier-Reihen. Melland Textilberichte. 40, (1959), 242, 371
- /15/ Brenny : Variance and Autokorrelation of Thickness in Random slivers. Intern. Wool. Secr, Sect.A.Vol. 3, (1952), 433-450
- /16/ Wegener-Penter : Die CB(L) Längenvariation. Textil Praxis 12, (1957), 980

- /17/ Clerup . Calculation of Variance Length Curve for an Ideal Sliver. J. Text. Inst. 43, (1952), P 290.
- /18/ Wegener-Hoth . Die Überlagerungsmethode zur Berechnung der idealen Längenvariationsfunktion. Melliand Textilberichte 44, (1963), 437
- /19/ Wegener-Ehler . Die Darstellung eines Modell-Faser-verbundes mittels eines Computers. Textil Praxis. 23, (1968), 585
- /20/ Fujina-Kawabatta . Probabilistic and mathematical model of Fibre assembly and its Application to Drafting Process Analysis Using specially designed Analogue computer "Spinning Simulator". Cirtel Third. Intern. Wool Text.Res. Conf. Paris (1965) Sect. 4, s.105-115
- /21/ Wegener : Die Streckwerke der Spinnereimesschinen. Springer-Verlag, Berlin, Heidelberg, New York 1965.
- /22/ Černý . Metody výpočtu gradientu limitní nestejnoměrnosti přádelnických produktů. Textil. 25, (1970), 321
- /23/ Herzog . Grenzwerte bei Gleichmässigkeitmessungen in der Baumwollspinnerei. Konradin Verlag Robert Kohlhammer, Stuttgart (1955), 142
- /24/ Foster : The Causes of the Irregularity of Cotton Yarns. J.Text. Inst. 4, (1956), P 357
- /25/ Martindale : A new Method of Measuring the Irregularity of Yarns with some Observations on the Origin of Irregularities in worsted Slivers and Yarns. J. Text. Inst. 36, (1945), T 35
- /26/ Zilahi . Verbesserung der Grenzungleichmässigkeit durch Steigerung der Teilbarkeit der Hanffasern. Vortrag gehalten auf der XIV Ungerischen Textiltechnischen Konferenz. Budapest 1964
- /27/ Zilahi . The Correct Determination of the irregularity of Random Products. Acta Techn. Hung. 42, (1963)
- /28/ Wegener-Weister . Einfluss des Stappels und des Titers von Chemiefasern auf die Ungleichmässigkeit der Streckenbänder und Garne. Rayon, Zellwolle und andere Chemiefasern 8, (1958), 434,502,587,662
- /29/ Wegener-Weister . Einfluss des Stappels auf die Ungleichmässigkeit und dynamometrischen Eigenschaften werkssavivierter nachbehandelter Streckenbänder und Garne aus Chemiefasern. Rayon, Zellwolle und andere Chemiefasern 7, (1957), 700,772
- /30/ Bornet . Calculation of the Ideal Unevenness of Blended Strands. J. Text. Inst. 51, (1960), P 326

- /31/ Krause : Die Rohbaumwollekontrolle mittels Digital Fibrograph. Melliand Textilberichte. 45, (1964), 603
- /32/ Krause : Ballenmischung auf Grund der Digital Fibrographanalyse. Melliand Textilberichte. 47 (1966)
- /33/ Carpenter : Array vs Fibrograph. Textile Industries. 1964, 12
- /34/ Hertel-Leuson-Rebs : Factors Affecting Fibre Length measurements. Text. Resch. J. 34, (1964), 600
- /35/ Sust : An attempt to derive Diagram (array) from readings of Digital Fibrograph. Text. Resch. J. (1965)
- /36/ Sugier : Communication of do FLI - Paris 1964
- /37/ Cox : Theory of Drafting of Wool Slivers. Proc. Roy. Soc. London A 197, (1949), 25-51
- /38/ Matematische Formeln für die Idealspektren. USTER-Anleitung 133819
- /39/ Wegener-Hoth : Die Berechnung der idealen Spektrumfunktion. Melliand Textilberichte. 11, (1965), 1149
- /40/ Gieskuss : Die statistische Analyse der Yarn und die Fad Ungleichmässigkeiten . Faserforschung und Textiltechnik. 10, (1959), 375, 338, 359.420, 598
- /41/ Wegener-Hoth : Umrechnungen zwischen der Spektrumfunktion und der Längenvariationsfunktion. Melliand Textilberichte. 45, (1964), 611, 735, 863
- /42/ Balls : Studies of Quality in Cotton. London 1928 Ch. VIII.
- /43/ Foster : The Investigation of Periodicities in the Products of Cotton Spinning. J. Text. Inst. 36, (1945) T 229
- /44/ Grischin : Ungleichmässigkeit und Verzugverfahren Der ideale Verzug. Textil Praxis. 19, (1964), 787
- /45/ Grischin : Ungleichmässigkeit und Verzugverfahren Der reale Verzug. Textil Praxis. 21, (1966), 247
- /46/ Huberty : Première études des Paramètres caractérisant la régularité de fils, mèches et roulanslois Fondamentales. I.W.T.O Tech. Com. Proc. Paris 1947
- /47/ Grossberg : The Medien and long term Variations of Yarn. J. Text. Inst. 46, (1955), T 167, T 309
- /48/ Linhart : On Huberty's Coefficient of Irregularity of Yarns and its Estimation. Text. Resch. J. 35, (1965), 1055-1060
- /49/ Palmer-Grossberg : The Use of the Zellweger Irregularity Tester in Finding the Variance-Length Curve of Worsted Yarn. J. Text. Inst. 45, (1954), T 275

- /50/ USTER - Handbuch der Gleichmässigkeit Band 2. Grundlagen und Auswertung 1961, 136 305 D
- USTER - Handbuch der Gleichmässigkeit Band 3. Die Längenvariationskurve und ihre Bestimmung mit "hilfę der Gleichmässigkeitsprüfstanze "Uster". 1961, 136 200
- /51/ Balasubramanian, Grossberg and Smith : The Fibre and Density of Worsted Slivers. Cirtel, Third. Intern. Wool Text. Res. Conf. Paris 1965, Sect. 4, S 62-72
- /52/ Langer : Die auswertung von USTER-Spektrogramm. Deutsche Textiltechnik. 11, (1961), 63
- /53/ Klem-Riehl-Siegel-Troll : Statistischen Kontrollmethoden in der Textilindustrie. VEB Fachbuchverlag. Leipzig 1968
- /54/ Serhan-Beheri-Tohami-Dips : Výdecké metody v textilní průmyslu (arab.). Kairo 1964
- /55/ Hättenschwiler-Böhler : Häufige Fehler in Baumwollspinnerei. Verlag. Melliand Textiberichte
- /56/ Handbuch für Spektrograph USTER. Band III. Spinning Defect Lexicon 136096 d Bl
- /57/ Slezák : TzR. Techn. ek. rozbor. Úkol pramen-průstah. VUTS (1965)
- /58/ Wegener-zhler : Die Faseranzahl-Verteilung reelle Faser verbänden und der Ungleichmässigkeits - Index K. Melliand Textiberichte. 5,(1970), 509

Stanovení délky vláken na jehličkovém stáplovacím přísstroji

vz. č.	1 RI	2 RII	3 IR	4 TU
l /mm/	21,7413	21,1869	22,8986	22,884
s /mm/	8,0630	7,6677	9,4880	9,2537
v /%	37,07	36,19	41,43	40,45

Příloha II/5-7

Příslušný interval $L_i \dots L_{i-1}$	Střední tř. inter. L_{im}	Relativní třídní četnost		
		5 J	6 S	7 S _p
40...38	39			
38...36	37	0,28868	0,10838	0,17407
36...34	35	0,72658	0,40104	0,45285
34...32	33	2,57378	1,33675	1,17377
32...30	31	5,05307	4,36608	3,46743
30...28	29	12,15364	12,11751	10,26567
28...26	27	11,35860	13,81349	10,60410
26...24	25	13,04032	15,21933	14,0,284
24...22	23	8,38069	8,82711	8,91025
22...20	21	7,67731	7,85359	8,30301
20...18	19	5,51426	5,85724	5,94417
18...16	17	5,71414	5,54372	5,50532
16...14	15	5,11980	4,91269	4,82141
14...12	13	3,99052	3,97176	4,57245
12...10	11	3,40769	3,55469	4,00785
10...8	9	3,84274	3,39768	4,50819
8...6	7	3,34217	3,07930	2,90135
6...4	4	7,75604	5,03957	9,05927
l	mm	20,74550	21,14905	19,80497
s	mm	8,48531	7,68513	8,25361
v	%	39,93800	36,337	41,67400

Délka jednotlivých vláken (JÍTKA)

Pravidelný interval $L_i \dots L_{i-1}$	Střední trž. interval L_{im}	Relativní tržidní četnost						J
		J_1	J_2	J_3	J_4	J_5	J_6	
2***4	3	0,49950	0,38573	0,89463	1,7	1,17878	1,05566	0,9320
4***6	5	1,89810	1,15718	1,29225	2,60	2,94695	2,20729	2,1507
6***8	7	2,29740	2,89236	3,37972	2,50	2,84572	3,45469	2,94889
8***10	9	2,99700	2,55723	2,78330	3,70	4,32220	3,35893	3,27654
10***12	11	4,59540	3,56798	3,87674	4,60	4,42043	4,41459	4,24312
12***14	13	3,89610	3,37512	4,27415	4,70	4,61690	3,93474	4,12844
14***16	15	4,9950	4,33944	4,47316	5,10	6,77800	7,10173	5,47182
16***18	17	6,79321	4,91803	4,87078	5,50	5,89391	6,71785	5,78309
18***20	19	7,79221	8,38959	8,54871	7,60	7,66208	8,54127	8,09305
20***22	21	10,24895	9,83607	8,84692	8,80	8,83910	10,36468	9,55111
22***24	23	12,28771	9,35391	8,84692	10,30	8,84096	9,98081	9,92792
24***26	25	14,18981	13,30762	11,82903	11,70	12,27898	12,66792	12,66783
26***28	27	10,38961	10,41466	12,12724	11,50	9,82318	10,74856	10,82896
28***30	29	7,89211	11,18611	10,93419	9,00	9,72495	7,86948	9,43644
30***32	31	4,9950	7,81099	7,25646	5,20	5,79568	4,41453	5,94145
32***34	33	2,69730	3,18226	3,47913	3,80	2,69226	2,30326	3,04442
34***36	35	0,49950	2,21794	1,39163	0,80	0,68762	0,67179	1,04849
36***38	37	0,49950	1,15718	0,89463	0,90	0,58939	0,19194	0,70446
	mm	21,42557	22,68563	22,19483	21,276	20,91552	20,77159	21,24685
8	mm	6,98045	7,22698	7,46360	7,724	7,67050	7,24298	7,41781
v	%	32,8	31,85798	33,62765	36,30734	36,67372	34,86772	34,42642
	%	2,01996	1,9714	2,06491	2,25106	2,27377	2,16180	2,13444

Délka jednotlivých vláken (řeza)

Třídí interval L_1, \dots, L_{1m}	Střední tří- interval L_{1m}	Relativní tržní četnost						T
		T_1	T_2	T_3	T_4	T_5	T_6	
2***4	3	2,1961	3,40	2,16749	1,6	1,95167	2,51208	2,30091
4***5	5	1,79641	2,80	2,46305	2,0	2,50929	2,41546	2,33355
6***8	7	3,69261	4,00	3,54660	2,5	2,55299	3,09179	3,21475
8***10	9	2,99401	3,20	3,54668	2,6	2,08104	3,76012	3,16580
10***12	11	3,59281	4,20	4,33498	4,1	3,90335	4,25121	4,00332
12***14	13	3,59281	4,10	3,74384	3,4	4,26803	3,18841	3,73695
14***16	15	4,59082	4,10	5,61576	4,2	4,64684	4,63768	4,66710
16***18	17	4,79042	4,20	6,10837	5,0	5,48127	6,28019	5,33616
18***20	19	5,68862	5,00	6,40394	5,9	6,78439	6,76329	6,10313
20***22	21	7,18563	6,70	8,57143	9,0	9,20074	7,43961	8,02872
22***24	23	9,68064	9,90	10,44335	10,9	10,87361	10,62802	10,34595
24***26	25	13,67265	13,20	13,79315	12,4	13,01115	13,9304	13,34865
26***28	27	11,97605	11,30	10,44335	11,7	11,80297	11,69082	11,48825
28***30	29	11,47705	11,20	8,57143	11,4	9,85330	9,95169	10,39491
30***32	31	7,18563	7,10	6,60099	7,9	5,94796	6,28019	6,85374
32***34	33	4,07182	3,60	2,26660	3,8	3,43866	2,02899	3,19843
34***36	35	1,09780	1,30	1,08374	0,9	0,27981	0,67633	0,88120
36***38	37	0,69860	0,50	0,29397	0,7	0,53762	0,48304	0,53851
Σ	mm	22,06587	21,438	21,05517	22,254	21,54647	21,24115	21,60215
Σ	mm	7,87246	8,35619	7,74862	7,557	7,53650	7,74844	7,81488
Σ	%	3,67709	36,97840	36,80248	339,9	34,97789	36,47775	36,17640
v		2,21198	2,41666	2,26177	2,10347	2,16863	2,261620	2,24294

Výsledky χ^2 testu na porovnání rozdělení
délek výáken v jednotlivých konvích

konve		f	konve		f
1,2	7,38620	16	1,3	18,28818	16
1,4	8,69352	17	1,5	10,37926	16
1,6	17,13969	16	2,3	20,95647	16
2,4	18,74595	16	2,5	23,84333	16
2,6	19,71056	16	3,4	17,46988	16
3,5	11,48722	16	3,6	5,22742	16
4,5	11,26470	16	4,6	19,17994	16
5,6	13,47813	16			

Materiál SEBA, hodnoty χ^2 rozdělení :

$$(95\%, 16) = 26,30$$

$$(95\%, 17) = 27,59$$

1,2	38,01628	15	1,3	31,49397	15
1,4	19,95552	15	1,5	22,5274	15
1,6	11,09754	15	2,3	8,47665	16
2,4	38,87647	16	2,5	42,71243	16
2,6	52,75462	15	3,4	20,02844	17
3,5	26,57589	17	3,6	36,12418	16
4,5	10,47876	17	4,6	19,40938	16
5,6	12,00038	16			

Materiál JITKA, hodnoty χ^2 rozdělení :

$$(95\%, 15) = 25$$

$$(95\%, 16) = 26,30$$

Výsledky a statistické vyhodnocování naměřených hodnot nestejnoměrnosti na přístroji USTeR model B, při použití kvadratického integrátoru.

Počet měření 8, doba měření 2 min, rychlosť příze 50 m/min, materiál JITKA

	příze 1	příze 2	příze 3	příze 4	příze 5
\bar{CV}_η	26,362	24,937	25,487	20,875	25,96
s	1,085	1,181	0,864	0,599	0,847
v *	4,115	4,734	3,391	2,871	3,264
d *	3,448	3,968	2,842	2,406	2,736

Stanovení rozsahu spolehlivosti, horní a dolní meze středních hodnot základního souboru μ_{cv} , μ_{cv_u}

$\pm \frac{t s}{\sqrt{m}}$	0,909	0,989	0,706	0,502	0,710
μ_{cv}	27,471	25,927	26,194	21,377	26,67
μ_{cv_u}	25,453	23,948	24,781	20,373	25,250

$\bar{CV} = 24,7245$

Stanovení rozptylové analýzy

Druh rozptylu	Sums kvadr. rozptylu	Stupeň volnosti	Rozptyl
mezi skupinami	137,590	4	$s^2 = 34,377$
uvnitř skupin	30,767	35	$s^2 = 0,879$
celkem	168,357	39	

$$F = 39,12941 > F(99\%, 4, 35) = 3,89$$

$$\text{Mezní rozdíl } GL = t(99\%, 2b - 1) \sqrt{\frac{2s^2}{b}} = 1,39702$$

Rozdíly mezi středními hodnotami.

$$\begin{array}{lll} CV_1 - CV_2 = 1,425 > & \cdots & CV_1 - CV_4 = 5,427 \\ CV_1 - CV_3 = 0,875 & \left. \right\} < 1,39702 & CV_2 - CV_4 = 4,0625 > 1,3970 \\ CV_2 - CV_3 = 0,55 & \left. \right\} & CV_3 = CV_4 = 4,6125 \\ CV_1 - CV_5 = 0,4025 < & \cdots & CV_5 - CV_3 = 0,4745 < \cdots \\ CV_2 - CV_5 = 1,0225 < & \cdots & CV_4 - CV_5 = 5,05 > \cdots \end{array}$$

Stanovení rozsahu spolehlivosti
pro rozdíly středních hodnot (zákl.soubor)

Příze 1,4

$$\begin{array}{lll} F = 3,47589 & < & F (95 \%, 7, 7) = 3,79 \\ t = 12,38557 & > & t (99 \%, 14) = 2,98 \end{array}$$

$$(\mu_{CV_1} - \mu_{CV_4})_0 = 6,73351$$

$$(\mu_{CV_1} - \mu_{CV_4})_u = 4,12149$$

Příze 2,4

$$\begin{array}{lll} F = 3,86026 & & F (95 \%, 7, 7) = 3,79 \\ t = 11,49050 & & \end{array}$$

Stupeň volnosti dle rovnice ()

$$f^* = 9,65624 \approx 10$$

$$t = 11,49050 > t (99 \%, 10) = 3,17$$

$$(\mu_{CV_1} - \mu_{CV_4})_0 = 4,75727$$

$$(\mu_{CV_1} - \mu_{CV_4})_u = 3,36773$$

Příze 3,4

$$\begin{array}{lll} F = 2,67905 & < & F (95 \%, 7, 7) = 3,79 \\ t = 12,40380 & > & t (99 \%, 14) = 2,98 \end{array}$$

$$(\mu_{cv_3} - \mu_{cv_4})_s = 5,72064$$

$$(\mu_{cv_3} - \mu_{cv_4})_u = 3,50430$$

Page 4-2

$$\begin{array}{lcl} F & = & 1,99905 < F(95\%, 7, 7) = 3,79 \\ t & = & 13,774 > t(99\%, 14) = 2,90 \end{array}$$

$$(\mu_{cv_3} - \mu_{cv_4})_s = 6,19$$

$$(\mu_{cv_3} - \mu_{cv_4})_u = 3,7$$

Výsledky a statistické vyhodnocování náměřených hodnot
nestejnoměrnosti na přístroji USTER model B, při použití
kvadratického integrátoru.

Počet měření 8, doba měření 2 min, rychlosť příze 50 m/min,
materiál SEBA.

	příze 6	příze 7	příze 8	příze 9	příze 10
\bar{CV}	22,787	21,5	25,8	25,937	26,02
s	1,182	0,717	0,424	0,659	0,815
v	5,189	3,335	1,644	2,54	3,125
σ	4,349	2,745	1,380	2,129	2,619

Stanovení rozsahu spolehlivosti, horní a dolní meze středních hodnot základního souboru

$\frac{\bar{s}}{\bar{Y_m}}$	0,991	0,601	0,355	0,552	0,083
μ_{vr}	23,770	22,101	26,155	26,489	26,703
μ_{cv}	21,797	20,899	25,444	25,385	25,237

Stanovení rozptylové analýzy

$$\bar{CV} = 24,409$$

$$s^2 = 31,42662$$

$$(s) = 0,63810$$

Druh rozptylu	Suma kvadr. rozptylu	Stupeň volnosti	Rozptyl
mezi skupinami	125,706	4	31,42662
uvnitř skupin	22,3356	35	0,63810
celkem	148,0416	39	

$$F = 49,24568 > F(99 \%, 3, 20) = 3,89$$

$$\text{Mezní rozdíl GD} = 1,19027$$

Rozdíly mezi středními hodnotami

$$\left. \begin{array}{l} CV_6 - CV_7 = 1,2875 \\ CV_6 - CV_8 = 3,0125 \\ CV_6 - CV_9 = 3,15 \\ CV_6 - CV_{10} = 3,235 \\ CV_7 - CV_{10} = 4,52 \end{array} \right\} > GD = 1,19027$$

$$\left. \begin{array}{l} CV_7 - CV_8 = 4,3 \\ CV_7 - CV_9 = 4,4375 \\ CV_8 - CV_9 = 0,1375 \\ CV_8 - CV_{10} = 0,22 \\ CV_9 - CV_{10} = 0,0825 \end{array} \right\} < GD$$

Stanovení rozsahu spolehlivostipro rozdíly středních hodnot (zákl. soubor)Příze 7, 8

$$\begin{array}{lll} F = 2,8577 & < & F (95 \%, 7, 7) = 3,79 \\ t = 14,59633 & > & t (99 \%, 14) = 2,98 \end{array}$$

$$(\mu_{CV_7} - \mu_{CV_8})_0 = 5,17719$$

$$(\mu_{CV_7} - \mu_{CV_8})_{\infty} = 3,42209$$

Příze 7, 9

$$\begin{array}{lll} F = 1,18473 & < & F (95 \%, 7, 7) = 3,79 \\ t = 12,88819 & > & t (99 \%, 14) = 2,98 \end{array}$$

$$(\mu_{CV_7} - \mu_{CV_9})_0 = 5,46354$$

$$(\mu_{CV_7} - \mu_{CV_9})_{\infty} = 3,41146$$

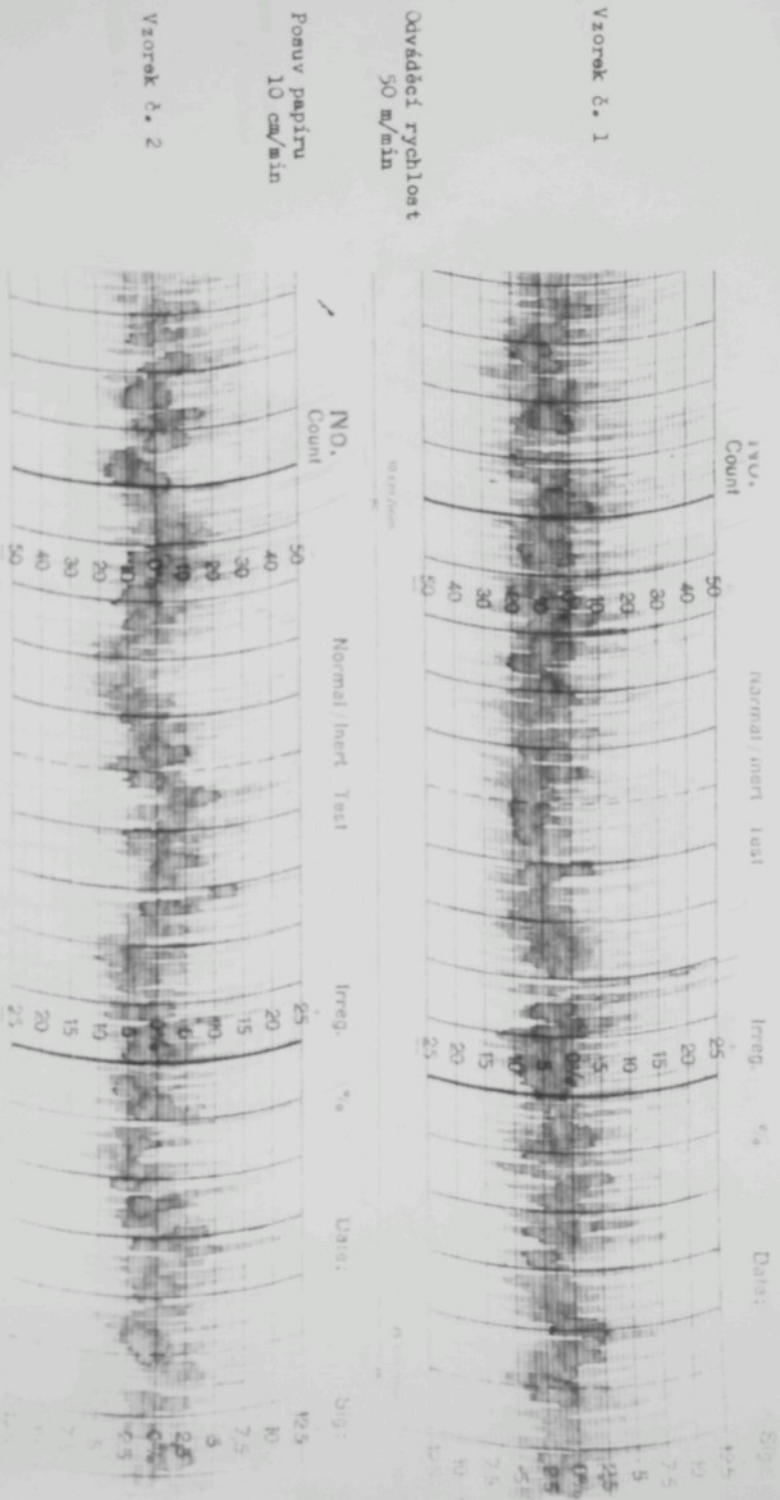
Příze 7, 10

$$\begin{array}{lll} F = 1,2911 & & F (95 \%, 7, 7) = 3,79 \\ t = 11,77763 & & t (95 \%, 14) = 2,98 \end{array}$$

$$(\mu_{CV_7} - \mu_{CV_{10}})_0 = 5,663$$

$$(\mu_{CV_7} - \mu_{CV_{10}})_{\infty} = 3,3734$$

GRAFICKÝ ZÁZNAM NESTEJNOMĚRSTVÍ (USTER)



GRAFICKÝ ZÁZNAM NESTRNCOVANOSTI (ÚSTER)

Philips VJ-4

Vzorek č. 3

Normal Inert

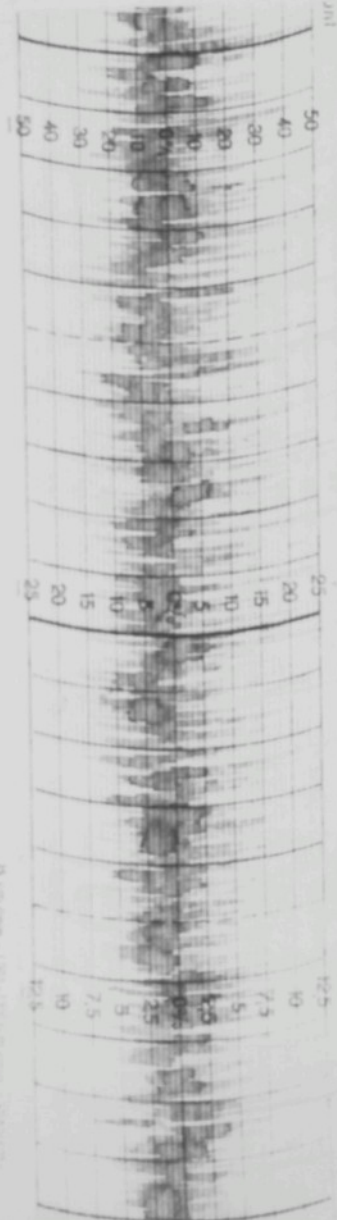
Irrig.

%

Date

Sig:

Odváděcí rychlosť
50 mm/min



Posuv papíru
10 cm/min

No.
Count

Normal / Inert

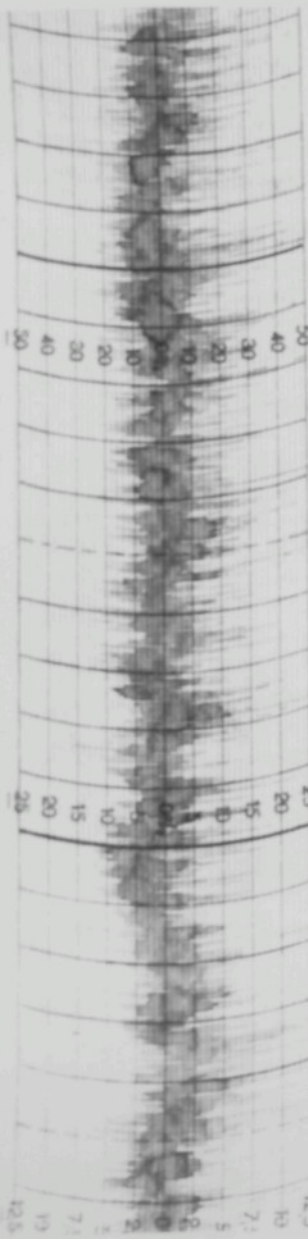
Irrig.

%

Date

Sig:

Vzorek č. 4

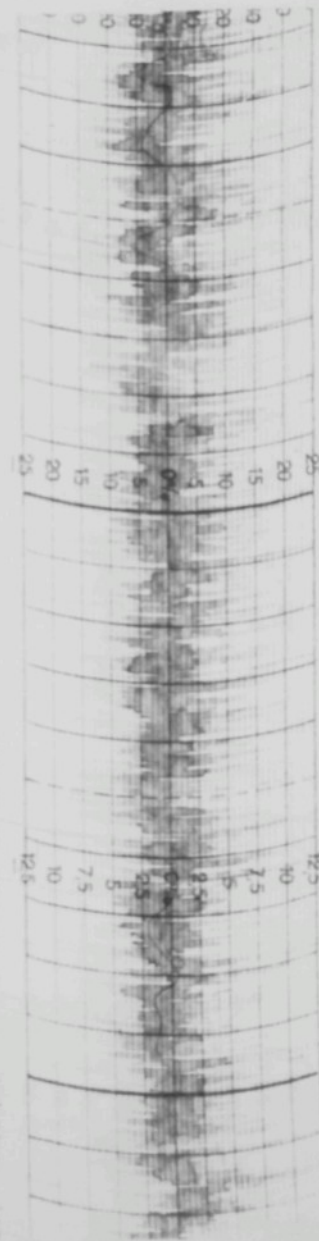


GRAFICKÝ ZKŘEM NESTEJNOMĚRNOSTI (USTER)

Normal / Inert Test Irreg. % Date: Sig: Mat:

Vzorek č. 6

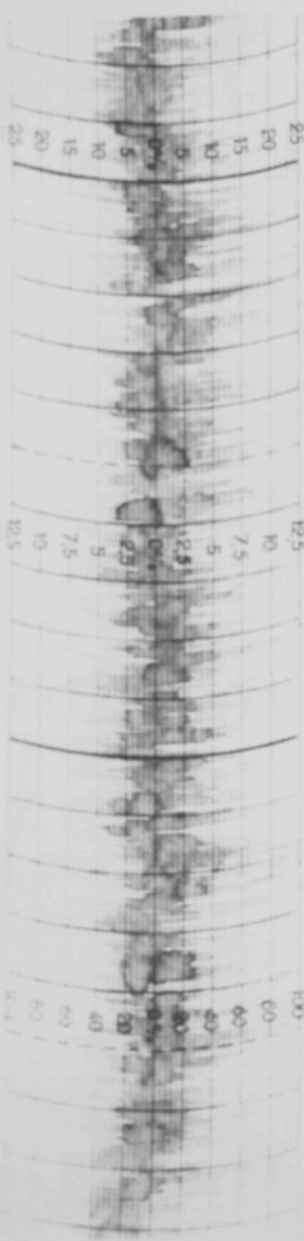
Odváděcí rychlos
50 m/min



Irreg. % Date: Sig: Mat.

PoSuv papíru
10 cm/min

Vzorek č. 7



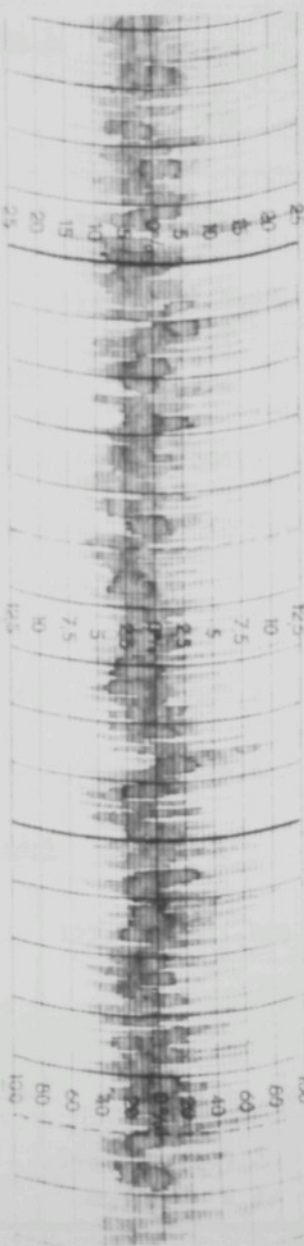
GRAFICKÝ ZÁZNAM NEJTUČNĚSTI (USTER)

Mat. Irreg. %
Test Date: Sig:

Irreg. %
Date: Sig:

Vzorek č. 8

Odvědcí rychlosť
50 m/min

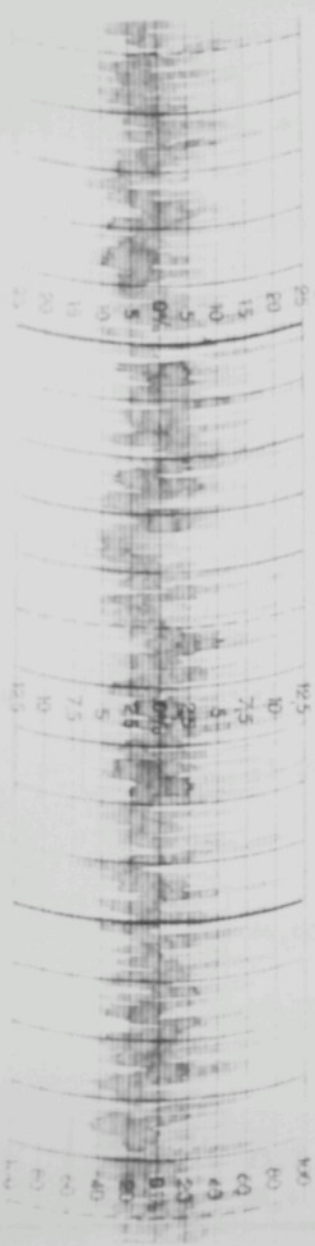


Posuv papíru
10 cm/min

Mat. Irreg. %
Test Date: Sig:

Mat. Irreg. %
Date: Sig:

Vzorek č. 9



Hodnoty CB(L) naměřené na USTER Innert-test, doba měření 5 min, počet měření 4. V tabulkách jsou střední hodnoty CV po korekci podle Palmer, Grossberg / 49/ v závislosti na ekvivalentní délce L [cm]

Příze 1

Rychlosť příze m/min	4	8	25	50	100	200
ekvival. délka	24,39	49,15	154,12	308,0	613,5	1230,76
CV resp. CB(L)	13,43	13	10,3	6,43	5,4	5,2

Příze 2

ekvival. délka	23,866	48,093	150,78	301,9	600,25	1204,128
CV resp. CB(L)	15,64	13,68	11,15	8,567	0,2	5,29

Příze 3

ekvival. délka	23,97	48,306	151,45	303,27	602,912	1209,45
CV resp. CB(L)	13,098	11,98	8,658	6,882	5,772	4,995

Příze 4

ekvival. délka	24,605	49,582	155,458	311,288	618,84	1214,14
CV resp. CB(L)	10,207	8,26	6,962	0,4	5,7	4,72

Příze 2

ekvival. délka	23,7	47,7	149	299,2	595	1173
CB(L)	14,4	13,8	8,72	6,92	5,2	5

Příze_6

Rychlosť příze m/min	4	8	25	50	100	200
ekvival. délka	24,288	48,944	153,456	307,28	610,08	1255,44
CV resp. CB(L)	11,229	9,348	6,8	6,498	5,13	4,440

Příze_7

ekvival. délka	24,71	49,795	156,125	312,624	621,504	1246,7
CV resp. CB(L)	10,35	9,72	7,56	6,72	5,8	5,5

Příze_8

ekvival. délka	24,29	48,94	153,46	307,28	610,9	1255,4
CV resp. CB(L)	13,93	13,33	11,514	8,04	6,95	5,35

Příze_9

ekvival. délka	23,054	47,669	149,45	299,204	594,94	1193,47
CV resp. CB(L)	14,115	10,9	8,066	6,73	5,34	5,2

Příze_10

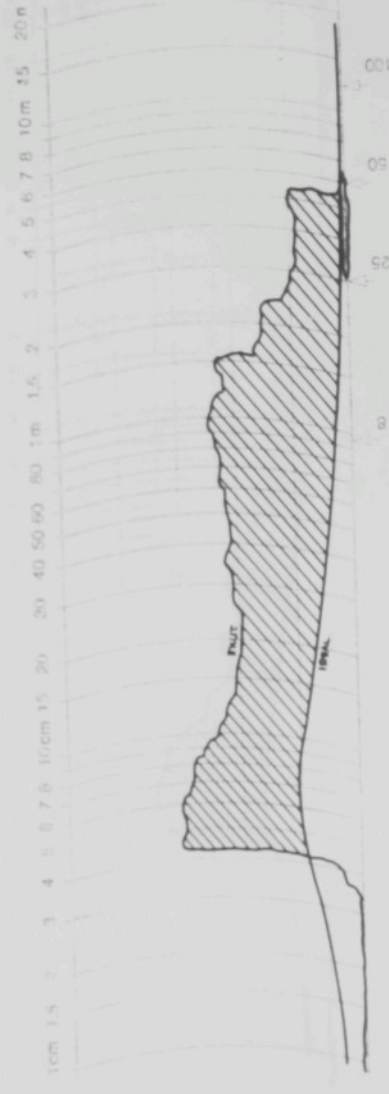
ekvival. délka	23,3	47	147	295	587	1177
CV resp. CB(L)	13,2	11,7	8,4	6,5	5,5	4,1

LITAKOVSKÝ SKUTČNÝ SPOZORNÍK

Příloha V11/1+2

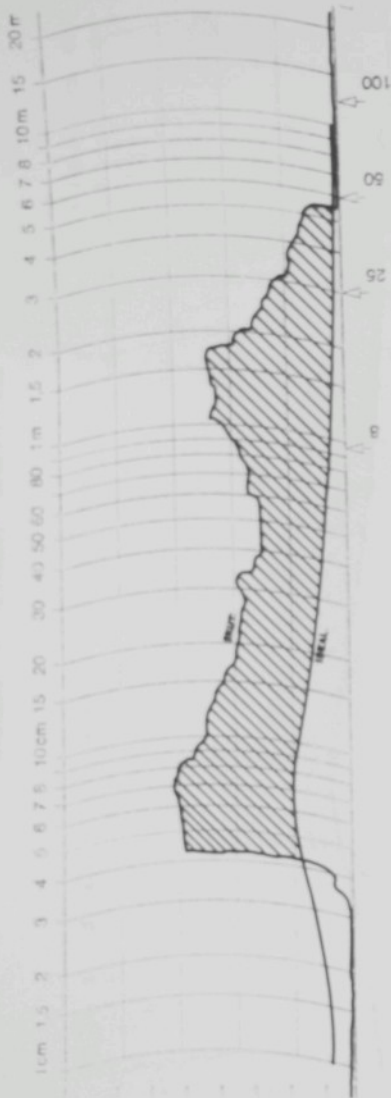


Vzorek č. 1



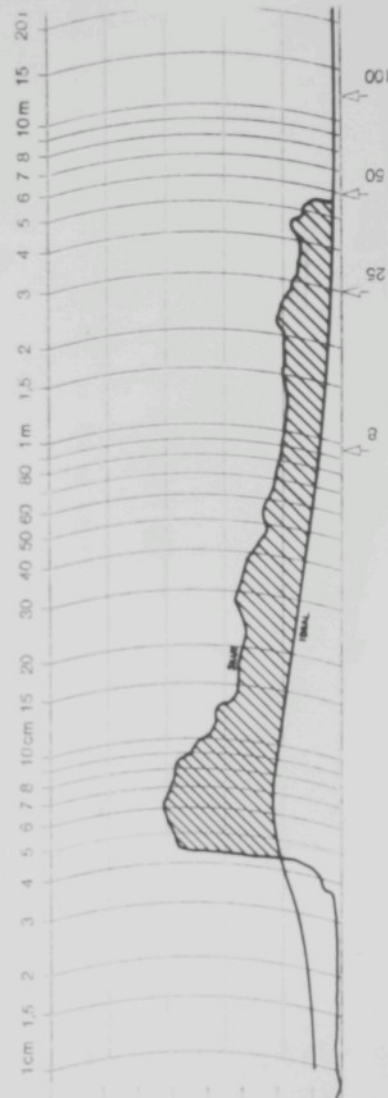
Vzorek č. 2

Vzorek č. 3

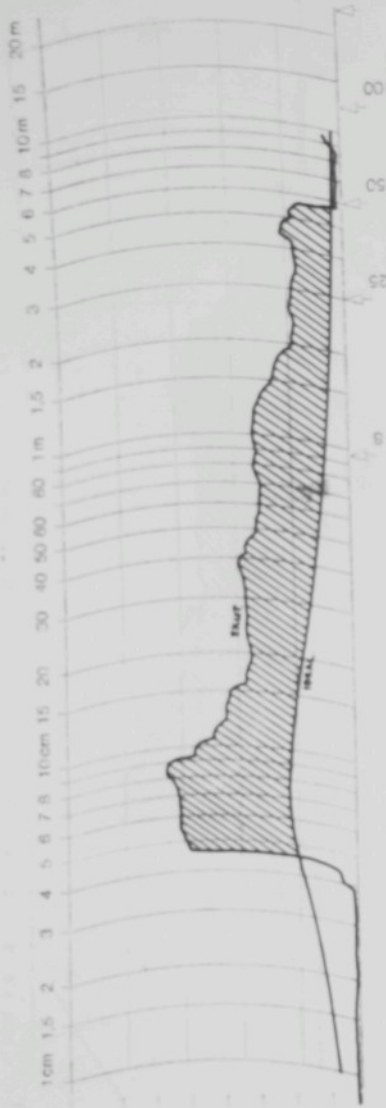


Odváděcí rychlosť
50 m/min

Vzorek č. 4

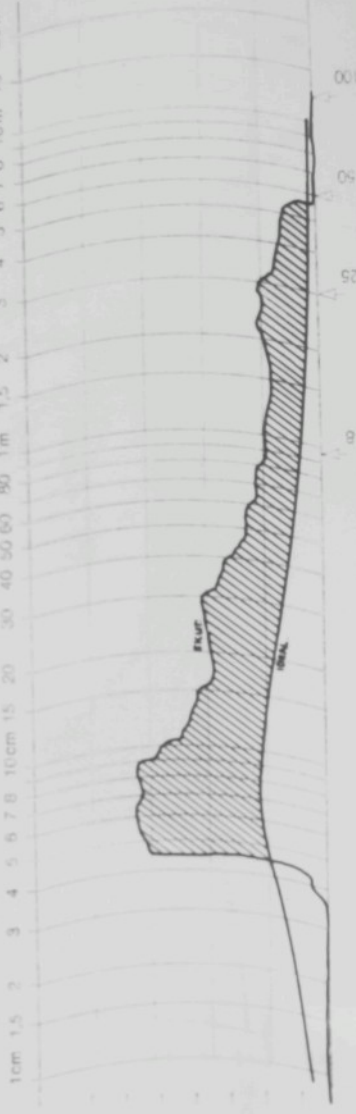


IDEALNÍ A SKUTECNÝ SPORTPROGRAM



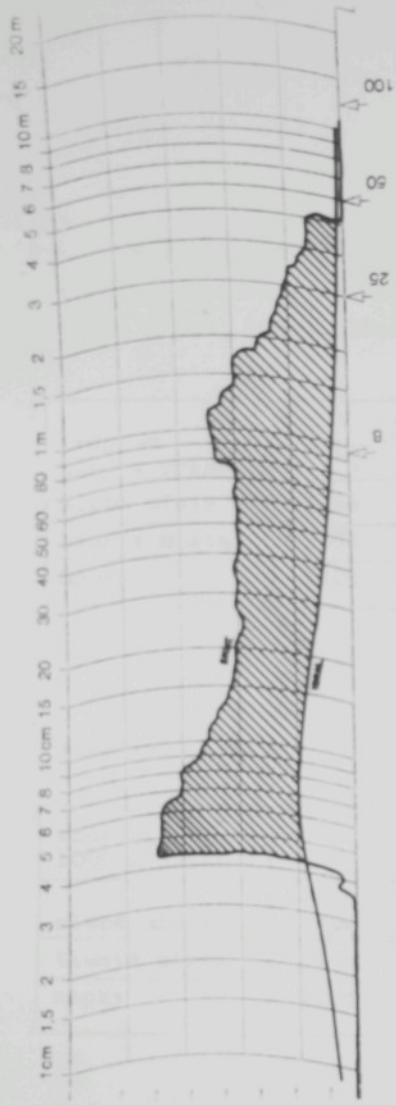
Vzorek č. 6

Odváděcí rychlosť
50 m/min

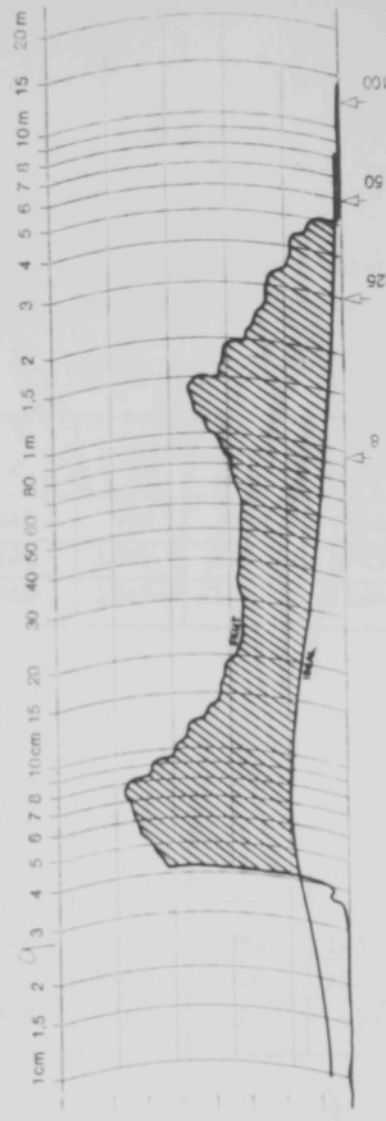


Vzorek č. 7

FRIEDEM. A. JUETEN. SPECTRUM



Vzorek č. 8



Odváděcí rychlosť
50 m/min

Hodnoty naměřené na přístroji USTER imperfikační indikátor. Materiál JITKA, doba měření 5 min, rychlosť příze 50 m/min, počet měření 4.

Vady na 1000 m příze	1	2	3	4	5
slabé místa	1166	646	998	445	990
tlusté místa	1952	1420	1801	1150	1723
nopky	1205	1260	1345	1351	1126

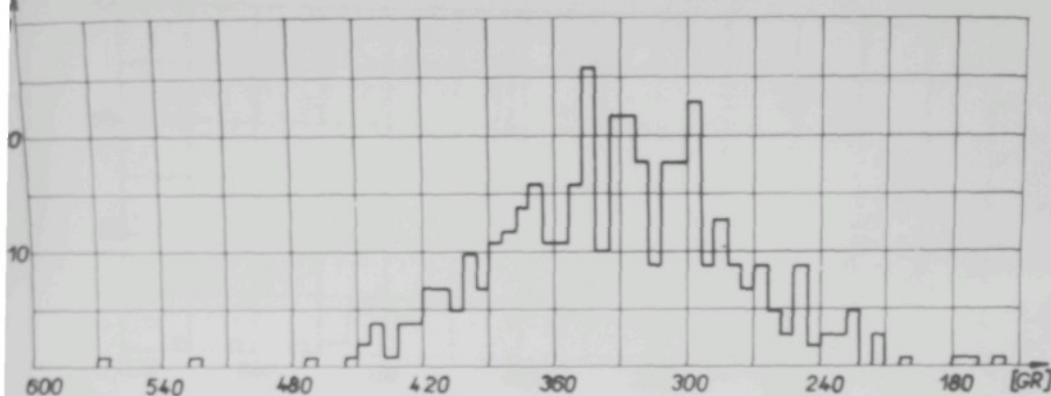
Materiál SEBA

vady na 1000 m příze	6	7	8	9	10
slabé místa	494	321	1121	1039	1031
tlusté místa	1178	1052	1582	1666	1525
nopky	1003	828	710	624	475

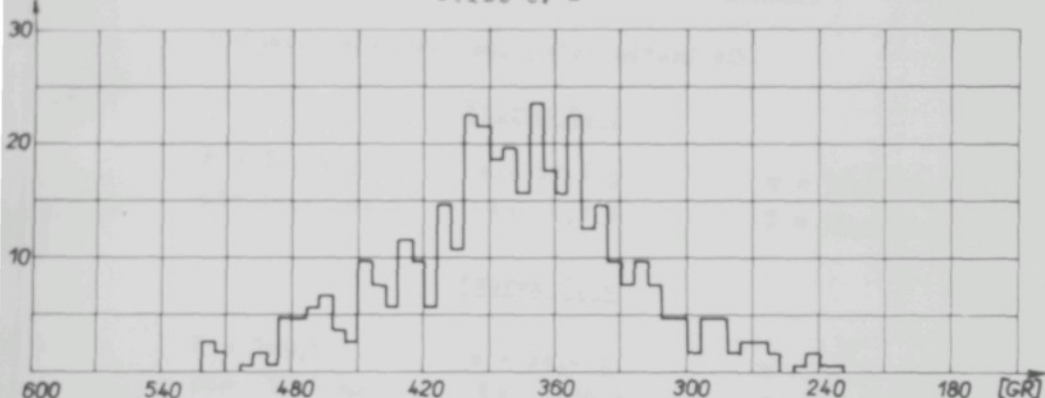
Při snímání byl přístroj nastaven na citlivost:

slabé místa	-50 %
tlusté místa	3
nopky	3

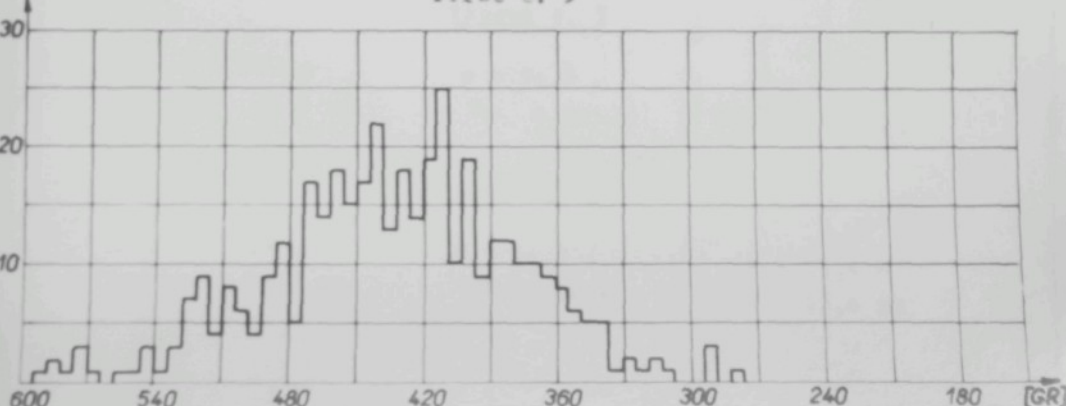
Příze č. 1



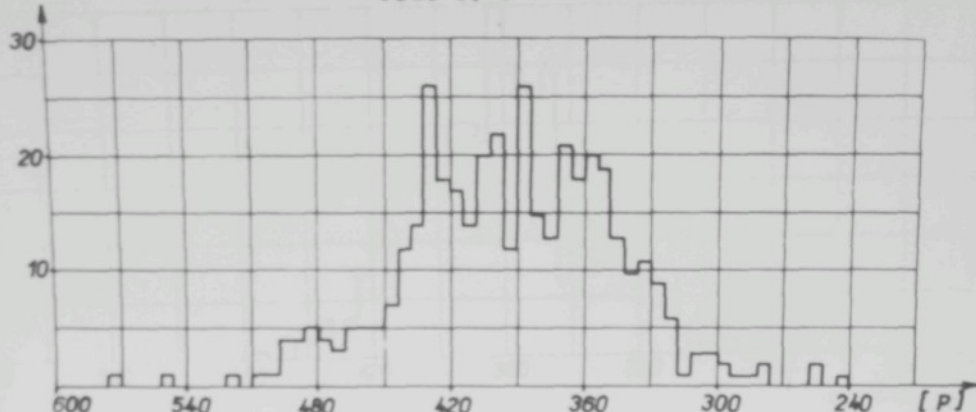
Příze č. 2



Příze č. 3



Příze č. 4

Vyhodnocení pevnosti s tažnosti

Úpínací délka 500 mm, počet měření 400

Vzorek č. 1

$$\begin{array}{lll} P = 341,4 \text{ p} & s = 52,5 \text{ p} & v = 15,35 \% \\ \Delta L = 34,4 \text{ mm} & \epsilon = 6,9 \% & T = 12,89 \text{ km} \end{array}$$

Vzorek č. 2

$$\begin{array}{lll} P = 389,5 \text{ p} & s = 54,4 \text{ p} & v = 14 \% \\ \Delta L = 39,3 \text{ mm} & \epsilon = 7,86 \% & T = 12,89 \text{ km} \end{array}$$

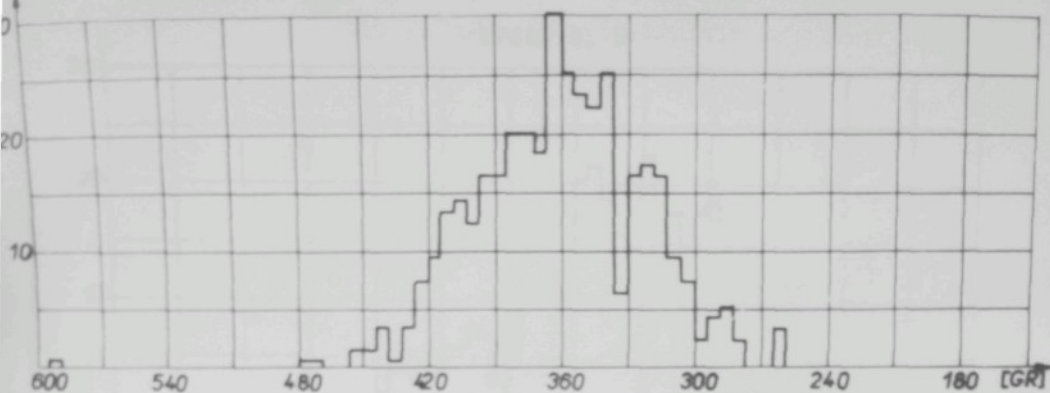
Vzorek č. 3

$$\begin{array}{lll} P = 382 \text{ p} & s = 54,3 \text{ p} & v = 14,2 \% \\ \Delta L = 41,6 \text{ mm} & \epsilon = 8,325 \% & T = 14,2 \text{ km} \end{array}$$

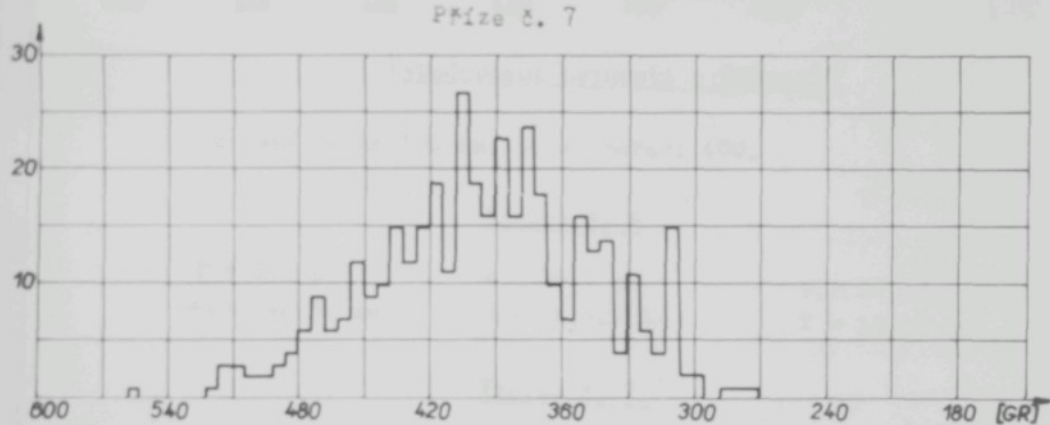
Vzorek č. 4

$$\begin{array}{lll} P = 404 \text{ p} & s = 46,2 \text{ p} & v = 11,4 \% \\ \Delta L = 40,7 \text{ mm} & \epsilon = 8,16 \% & T = 13,4 \text{ km} \end{array}$$

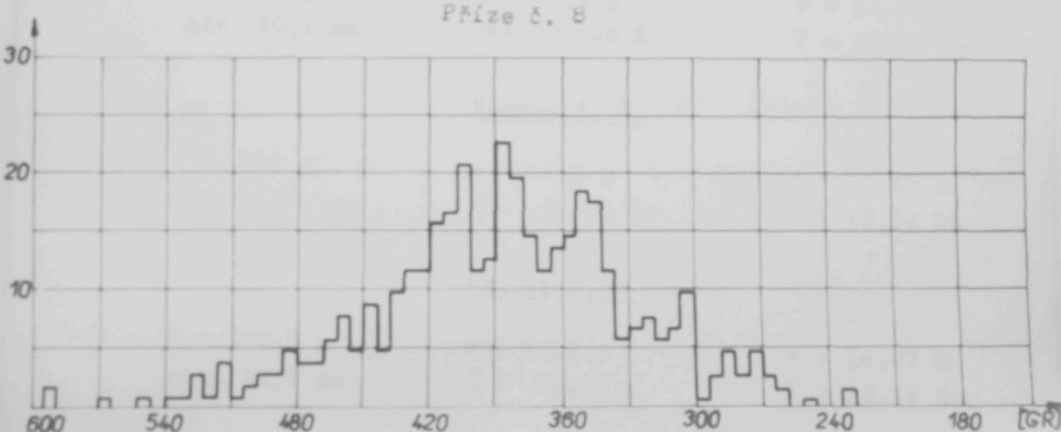
Příze č. 6



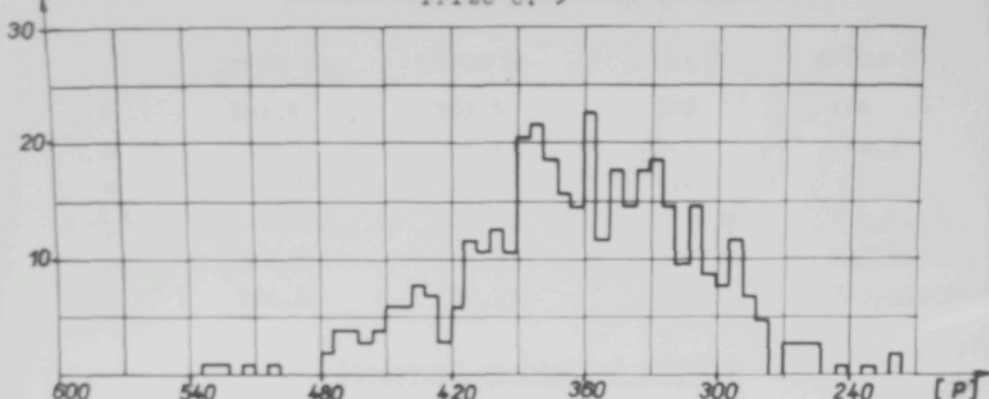
Příze č. 7



Příze č. 8



Příze č. 9

Vyhodnocení pevnosti s tažnosti

Upínací délka 500 mm, počet měření 400.

Vzorek č. 6

$$\begin{aligned} P &= 368 \text{ p} \\ \Delta L &= 42,52 \text{ mm} \end{aligned}$$

$$\begin{aligned} s &= 38,7 \text{ p} \\ \epsilon &= 8,525 \% \end{aligned}$$

$$\begin{aligned} v &= 10,45 \% \\ T &= 12,40 \text{ km} \end{aligned}$$

Vzorek č. 7

$$\begin{aligned} P &= 392 \text{ p} \\ \Delta L &= 40,4 \text{ mm} \end{aligned}$$

$$\begin{aligned} s &= 48,6 \text{ p} \\ \epsilon &= 8,168 \% \end{aligned}$$

$$\begin{aligned} v &= 12,4 \% \\ T &= 13,35 \text{ km} \end{aligned}$$

Vzorek č. 8

$$\begin{aligned} P &= 396 \text{ p} \\ \Delta L &= 42,2 \text{ mm} \end{aligned}$$

$$\begin{aligned} s &= 61,2 \text{ p} \\ \epsilon &= 8,425 \% \end{aligned}$$

$$\begin{aligned} v &= 15,45 \% \\ T &= 13,52 \text{ km} \end{aligned}$$

Vzorek č. 9

$$\begin{aligned} P &= 370,5 \text{ p} \\ \Delta L &= 42,3 \text{ mm} \end{aligned}$$

$$\begin{aligned} s &= 52,8 \text{ p} \\ \epsilon &= 8,475 \% \end{aligned}$$

$$\begin{aligned} v &= 14,27 \% \\ T &= 12,14 \text{ km} \end{aligned}$$

Statistická analýza pevnosti příze

	příze 1	příze 2	příze 3	příze 4
P	341,4	389,5	382	404
s	52,5	54,4	543	46,2
v	15,35	14,2	14,2	11,4
$\pm \frac{t \cdot s}{M}$	5,16	5,36	5,34	4,54
μ_1	346,56	394,85	387,34	408,54
μ_{p_1}	336,24	384,15	376,66	399,46

Stanovení rozptylové analýzy

$$\bar{P} = 379,225 \quad (1) S^2 = 287707,664 \quad (2) S^2 = 2699,635$$

Druh rozptylu	Suma kvadr. rozptylu	Stupeň volnosti	Rozptyl
mezi skupinami	863122,9	3	287707,664
uvnitř skupin	4308617,462	1196	2699,635
celkem	5171740,452	1199	"

$$F = \frac{(1) S^2}{(2) S^2} = 106572 > F(99\%, 3, 1196) = 8,53$$

$$\text{Mezní diference } GD = t(99\%, 798) \sqrt{\frac{2 \cdot 2699,635}{399}} = 9,49$$

Rozdíly mezi středními hodnotami

$$\left. \begin{array}{l} P_1 - P_1 = 48,1 \\ P_1 - P_3 = 40,6 \\ P_1 - P_4 = 62,6 \end{array} \right\} > 9,49 \quad \left. \begin{array}{l} P_2 - P_3 = 7,5 < 9,49 \\ P_2 - P_4 = 14,5 \\ P_3 - P_4 = 22 \end{array} \right\} > 9,49$$

Stanovení rozsahu spolehlivostipro rozdíly středních hodnot (zákl. soubor)Příze 1,4

$$\begin{array}{lcl} F = 1,2913 & \geq & F(95\%, 399, 399) = 1,2 \\ t = 12,659 & \geq & t(99\%, 781) = 2,583 \end{array}$$

$$(\mu_{n_1} - \mu_{n_2})_0 = 71,6 \text{ p}$$

$$|\mu_{n_1} - \mu_{n_2}|_m = 53,6 \text{ p}$$

Příze 2,4

$$\begin{array}{lcl} F = 1,38648 & > & F(95\%, 399, 399) = 1,2 \\ t = 4,06328 & > & t(99\%, 775) = 2,582 \end{array}$$

$$(\mu_{n_1} - \mu_{n_2})_0 = 32,7 \text{ p}$$

$$|\mu_{n_1} - \mu_{n_2}|_m = 5,3 \text{ p}$$

Příze 3,4

$$\begin{array}{lcl} F = 1,38646 & > & F(99\%, 399, 399) = 1,2 \\ t = 6,17157 & > & t(99\%, 775) = 2,58 \end{array}$$

$$(\mu_{n_1} - \mu_{n_2})_0 = 31,2 \text{ p}$$

$$|\mu_{n_1} - \mu_{n_2}|_m = 12,8 \text{ p}$$

Statistická analýza pevnosti příze

	příze 6	příze 7	příze 8	příze 9
p	368	392	396	370,5
s	38,7	48,6	61,2	52,8
v	10,45	12,4	15,45	14,27
* $\frac{ts}{n}$	3,8	4,79	6,02	5,19
μ_p	371,8	396,79	402,02	375,09
μ_{p_m}	364,2	387,21	389,98	365,31

Stanovení rozptylové analýzy

$$\overline{\overline{P}} = 381,6 \quad \text{...}^2 = 93334,67 \quad \text{...}^2 = -598,23$$

Druh rozptylu	Suma kvadrátů rozptylu	Stupeň volnosti	Rozptyl
mezi skupinami	280004	3	93334,67
uvnitř skupin	4146779,07	1196	2598,23
celkem	4396254,07	1199	

$$F = \frac{\text{...}^2}{\text{...}^2} = 35,92237 > F(99\%; 3,1196) = 8,53$$

Mezní diference GD = 9,3

Rozdíly mezi středními hodnotami

$$\left. \begin{array}{l} P_6 - P_7 = 24 \\ P_6 - P_8 = 28 \\ P_6 - P_9 = 2,5 \end{array} \right\} > 9,3 \qquad \left. \begin{array}{l} P_7 - P_8 = 4 \\ P_7 - P_9 = 21,5 \\ P_8 - P_9 = 25,5 \end{array} \right\} > 9,3$$

Stupeň důvěryho rozsahu srovnatelnosti
pro rozdíly středních hodnot (zákl. soubor)

Příze 6 + 7

$$\begin{aligned} F &= 1,577 > F(95\%, 399, 399) \approx 1,4 \\ t &= 7,726 > t(99\%, 758) \approx 2,583 \end{aligned}$$

$$(\mu_7 - \mu_6)_s = 32 \text{ p}$$

$$(\mu_7 - \mu_6)_m = 16 \text{ p}$$

Příze 7 + 9

$$\begin{aligned} F &= 1,18031 < F(95\%, 399, 399) = 1,4 \\ t &= 5,99202 > t(99\%, 798) \approx 2,582 \end{aligned}$$

$$(\mu_9 - \mu_7)_s = 25 \text{ p}$$

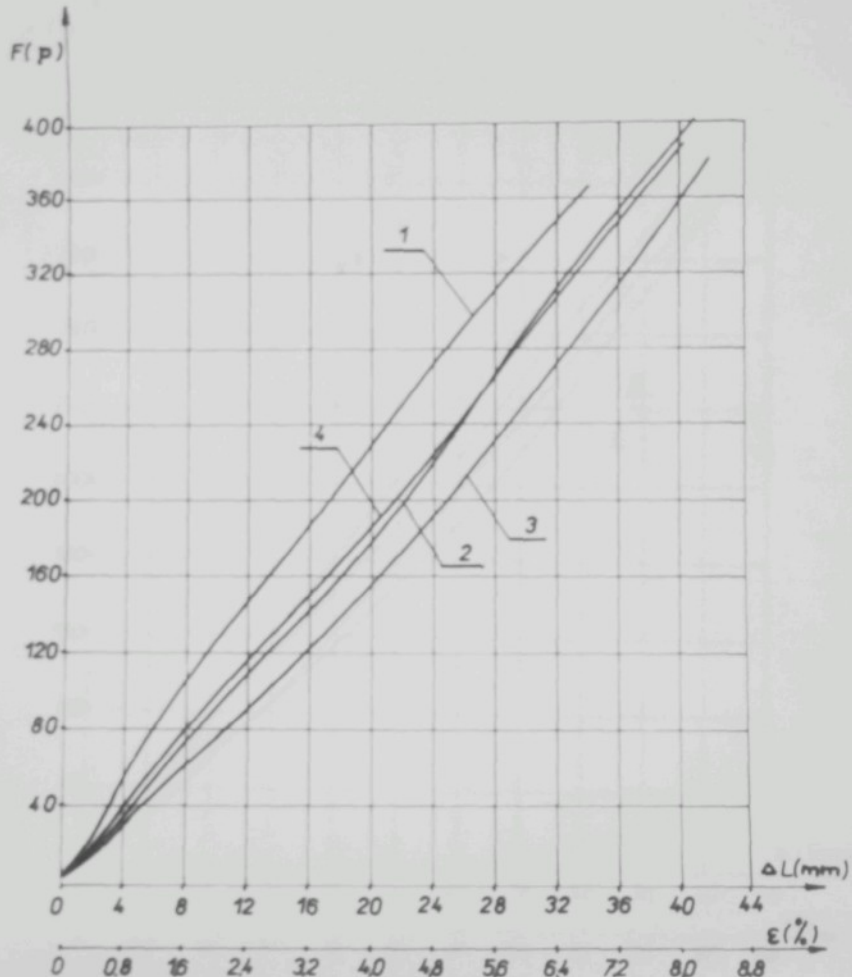
$$(\mu_9 - \mu_7)_m = 17,912$$

Hodnoty deformační práce A kp/cm, měřené na stolovém trhacím přístroji. Počet měření 50, upínací délka 500 mm.

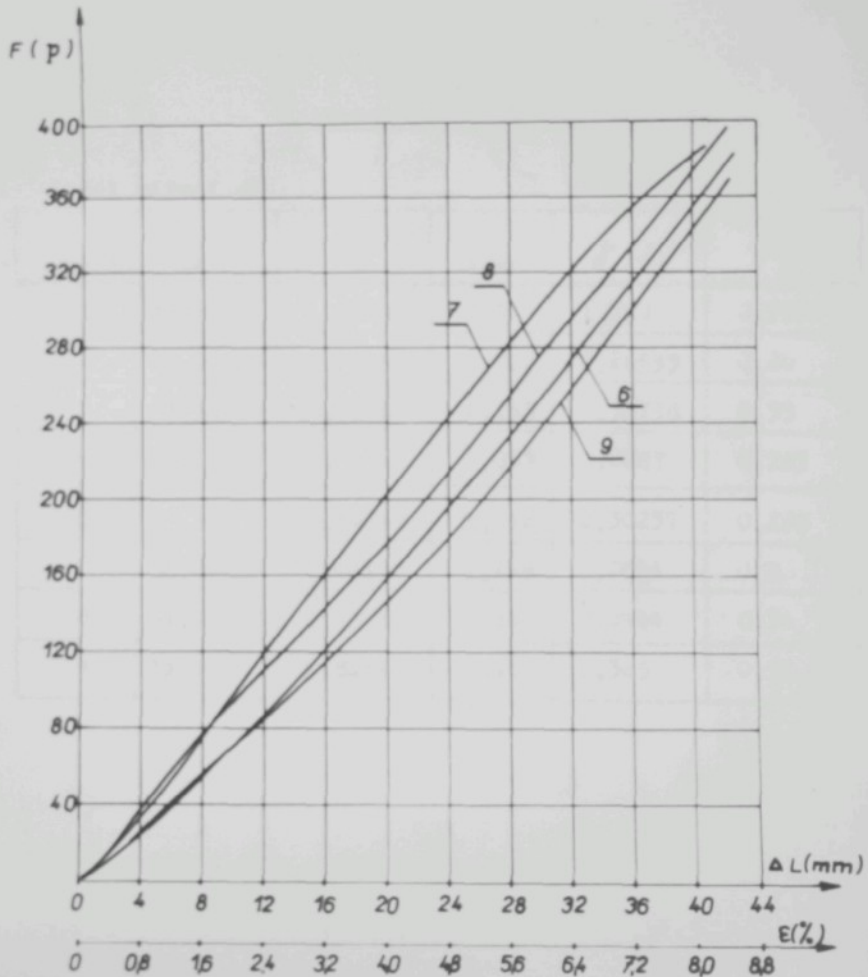
Vzorek č.	1	2	3	4
A	0,5194	0,61035	0,63554	0,62334
s	0,07396	0,06075	0,06753	0,08762
v	14,24	9,95	10,63	13,58
δ	4,04	2,83	3,02	3,86

Vzorek č.	6	7	8	9
A	0,5888	0,58453	0,59399	0,6360
s	0,0774	0,06519	0,06686	0,6488
v	13,15	11,15	11,26	10,20
δ	3,7	3,18	3,2	2,9

Precovní křivka



Pracovní křivka



Zjištění čm podle ČSN 80 0702

Počet měření 20

vz.č.	čm	s	v/%	σ / \pm	$\frac{t}{n}$
1	34,945	1,16681	3,34	1,55+	0,538
2	33,09685	0,56859	1,718	0,26553	0,26
3	33,58216	0,72286	2,153	0,33758	0,33
4	33,18798	0,61821	1,863	0,2887	0,285
6	33,8688	0,64748	1,912	0,30237	0,298
7	34,06218	0,44198	1,298	0,2094	0,2
8	34,14803	0,73756	2,16	0,3444	0,3+
9	33,506	0,82441	2,46	0,385	0,38

Zjištění zákrutu podle ČSN 80 2010

Počet měření 25

vz.č.	$z/l/m$	$s/l/m$	v/%	$\sigma^*/\%$	$\frac{t_s}{n}$
1	631,52	51,537	8,16	3,3688	21,54
2	635,28	51,68133	8,14	3,35813	21,0
3	636,56	45,00563	7,07	2,9185	18,01
4	595,12	27,1138	4,556	1,88072	11,33
5	575,52	42,108	7,317	3,02046	17,0
7	611,92	28,68496	4,638	1,93521	11,99
8	665,2	57,93676	8,71	3,59549	24,2
9	698,8	50,37857	7,209	2,97588	21

Index nestejnoměrnosti

vz. č.	1	2	3	4	5
CV %	26,362	24,937	25,487	20,875	25,36
k	3,2	3,0	3,1	2,5	3,15

vz. č.	6	7	8	9	10
CV %	22,787	21,5	25,8	25,937	26,02
k	2,7	2,6	3,1	3	3,1

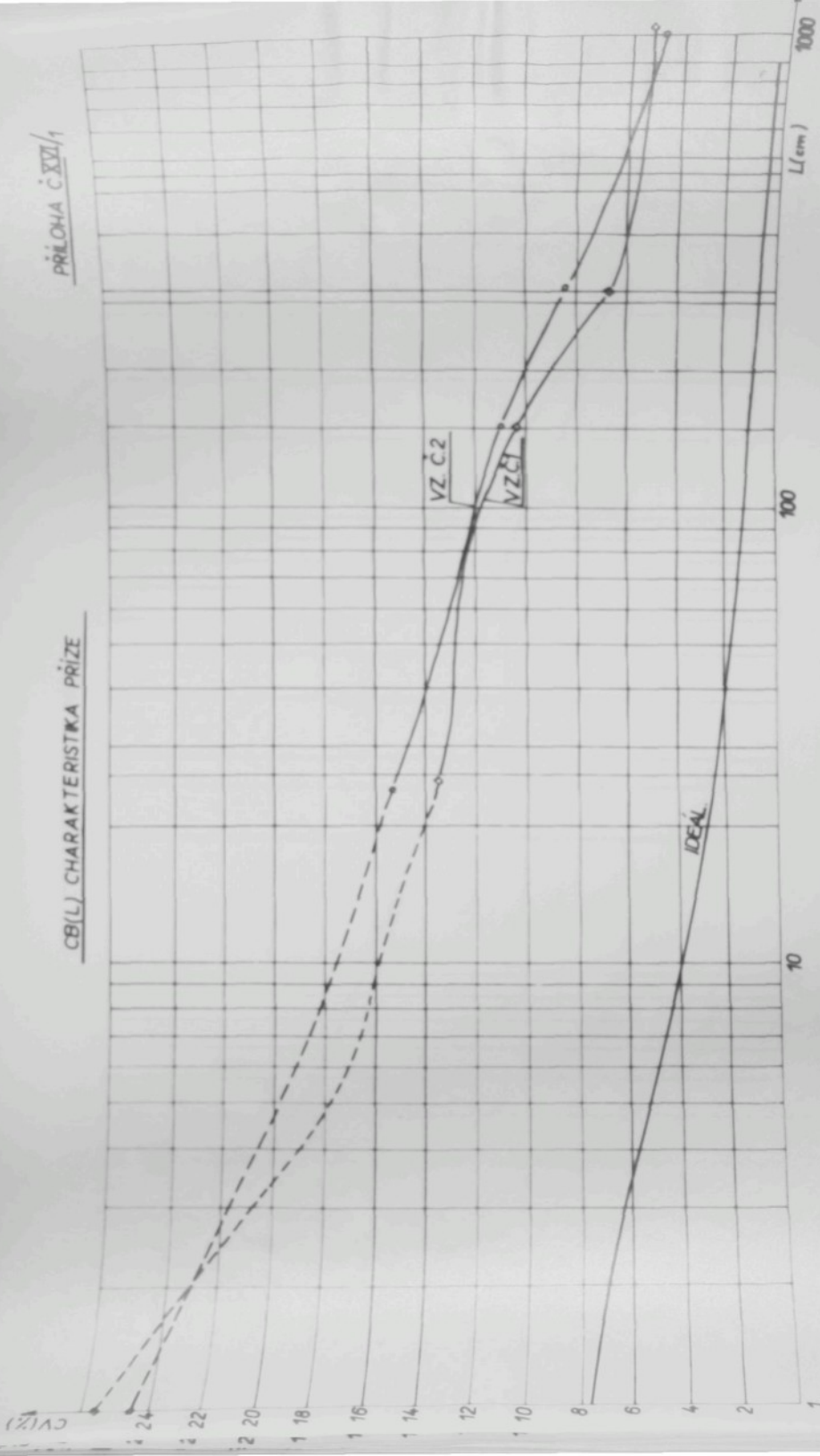
USTER - standartní hodnoty

pro přízí Čm 34

	stejnoměrné	střední	nestejnoměrné
CV %	10,2	20,6	25
k	2,2	2,8	3,4

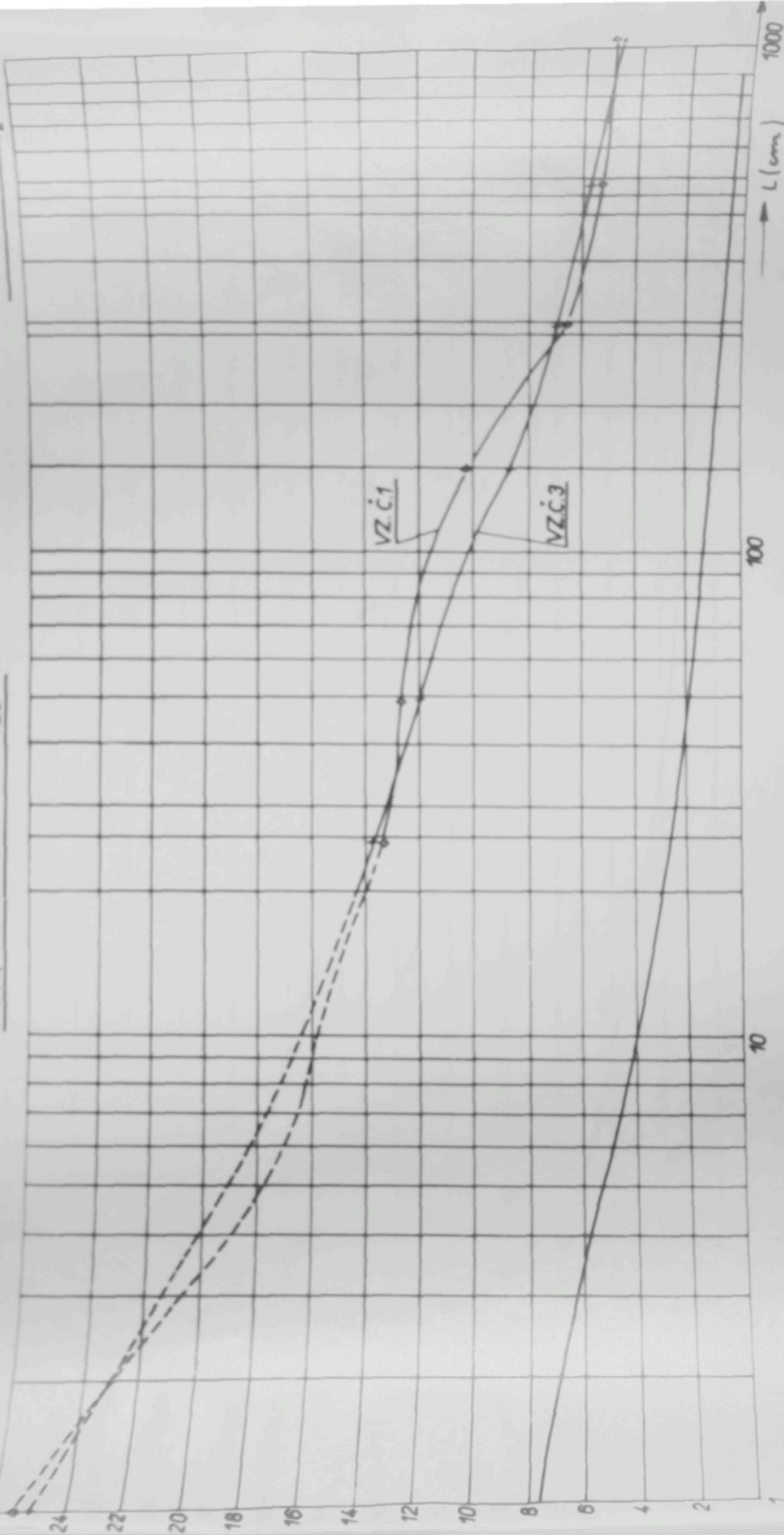
CB(L) CHARAKTERISTKA PRIZE

PRILOHA Č. XXVII/1



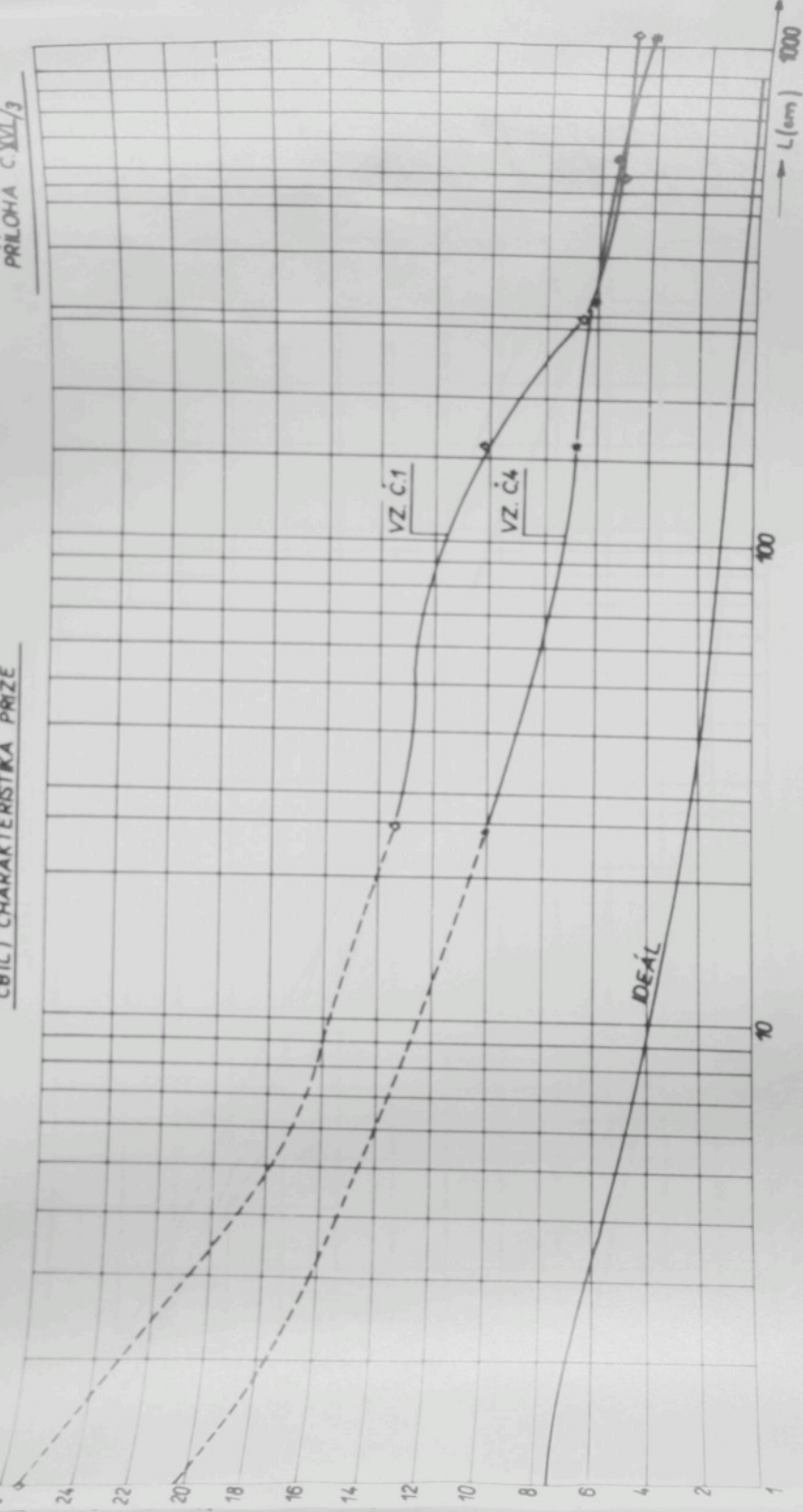
OBILJ. CHARAKTERISTIKA PRIZE

PRÍLOHA Č. XIV/2



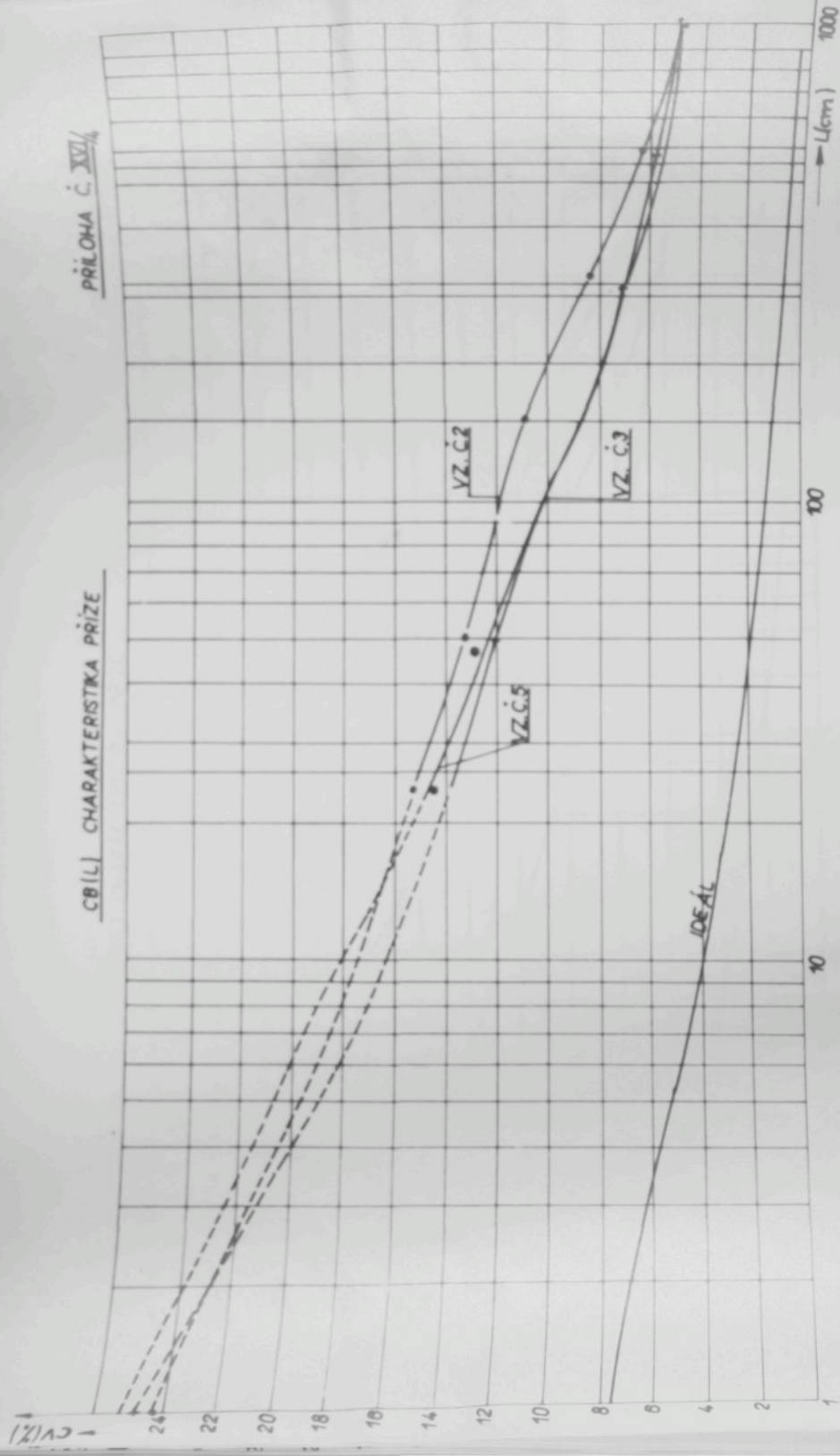
CÍL) CHARAKTERISTIKA PRÍZE

PRILOHA Č. XII/3



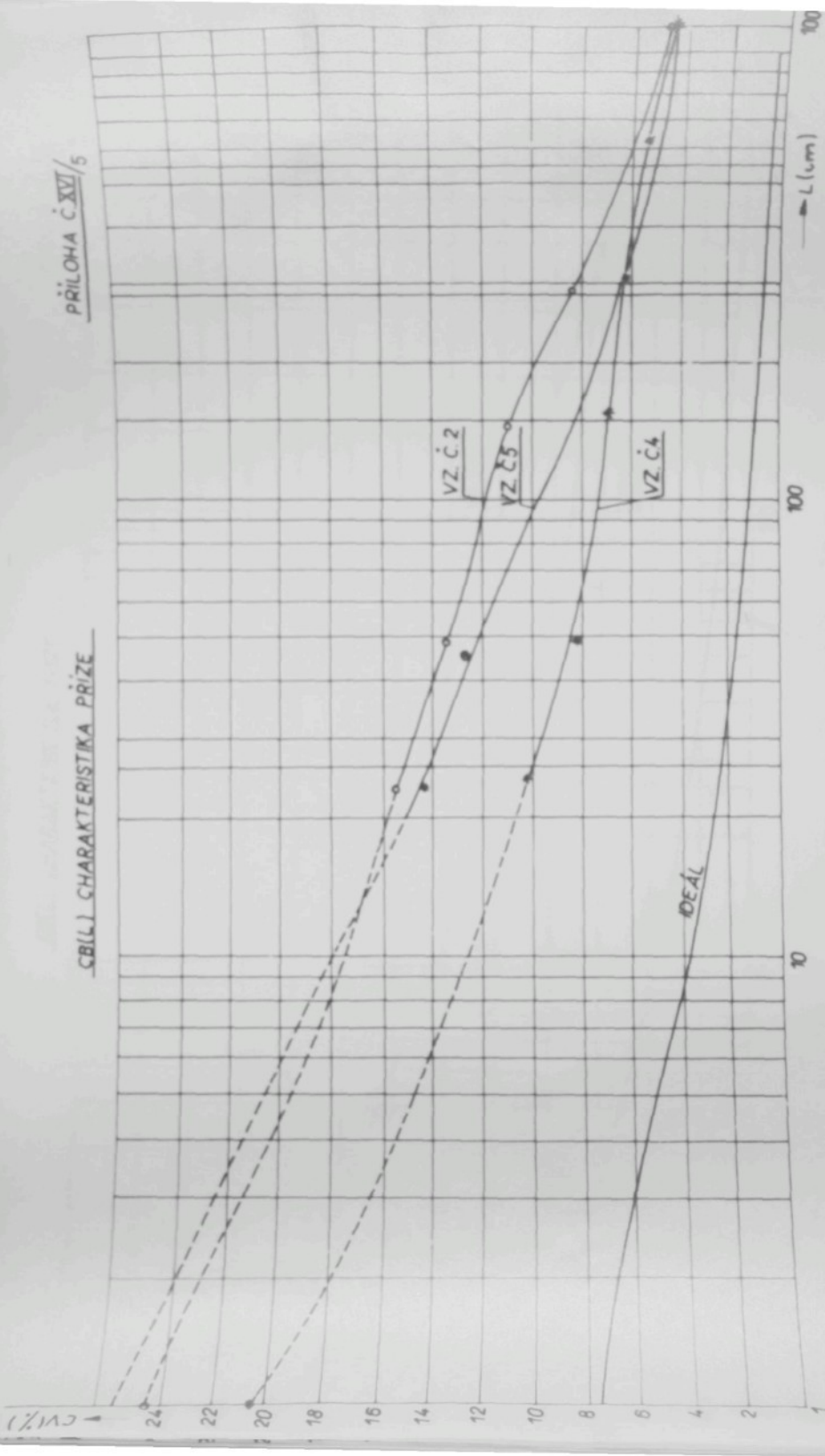
OBILJ. CHARAKTERISTIKA PRÍZIE

PRILOHA Č. 2VII



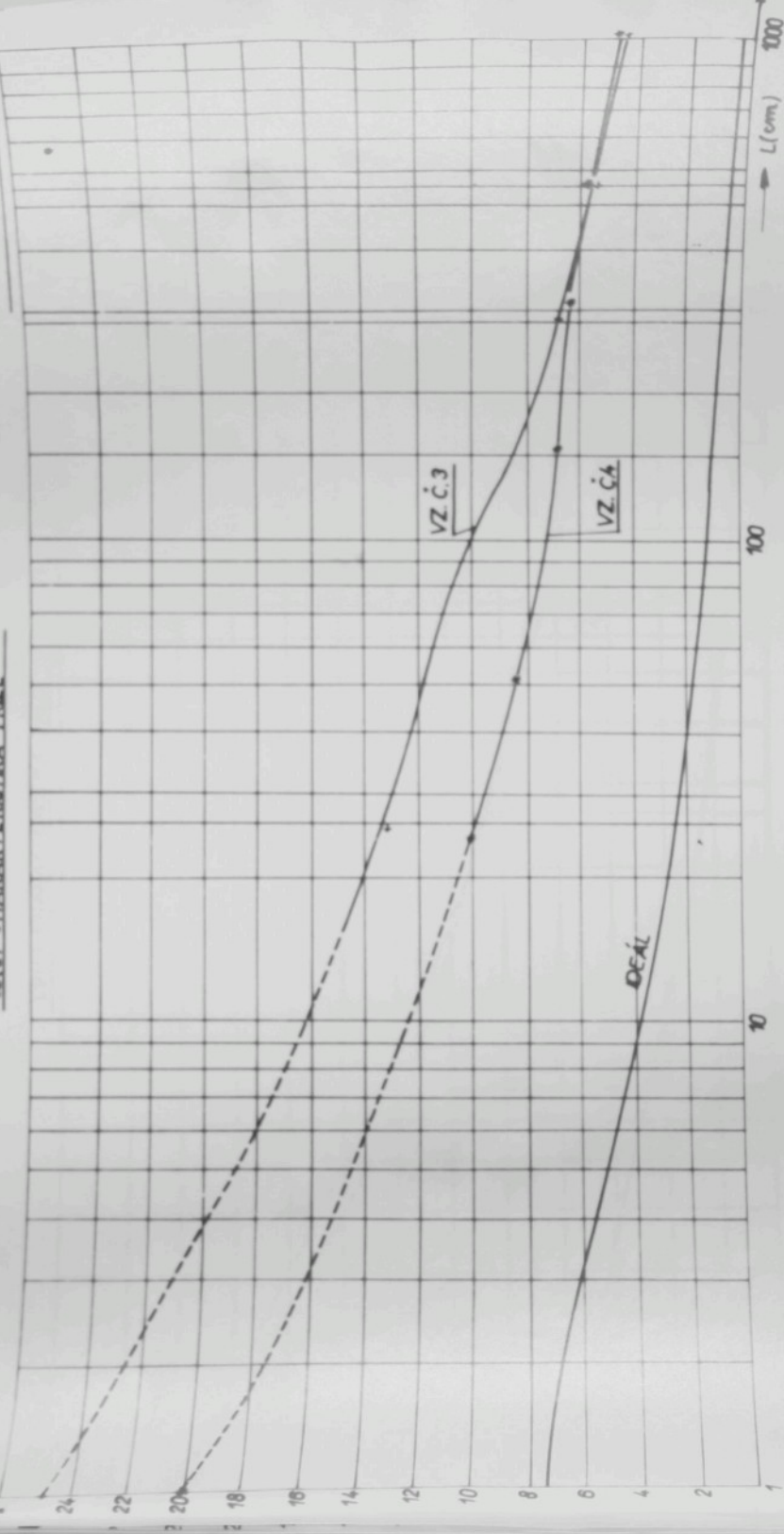
CBIL) CHARAKTERISTIKA PRÍZE

PRILOHA Č. XXVII/5

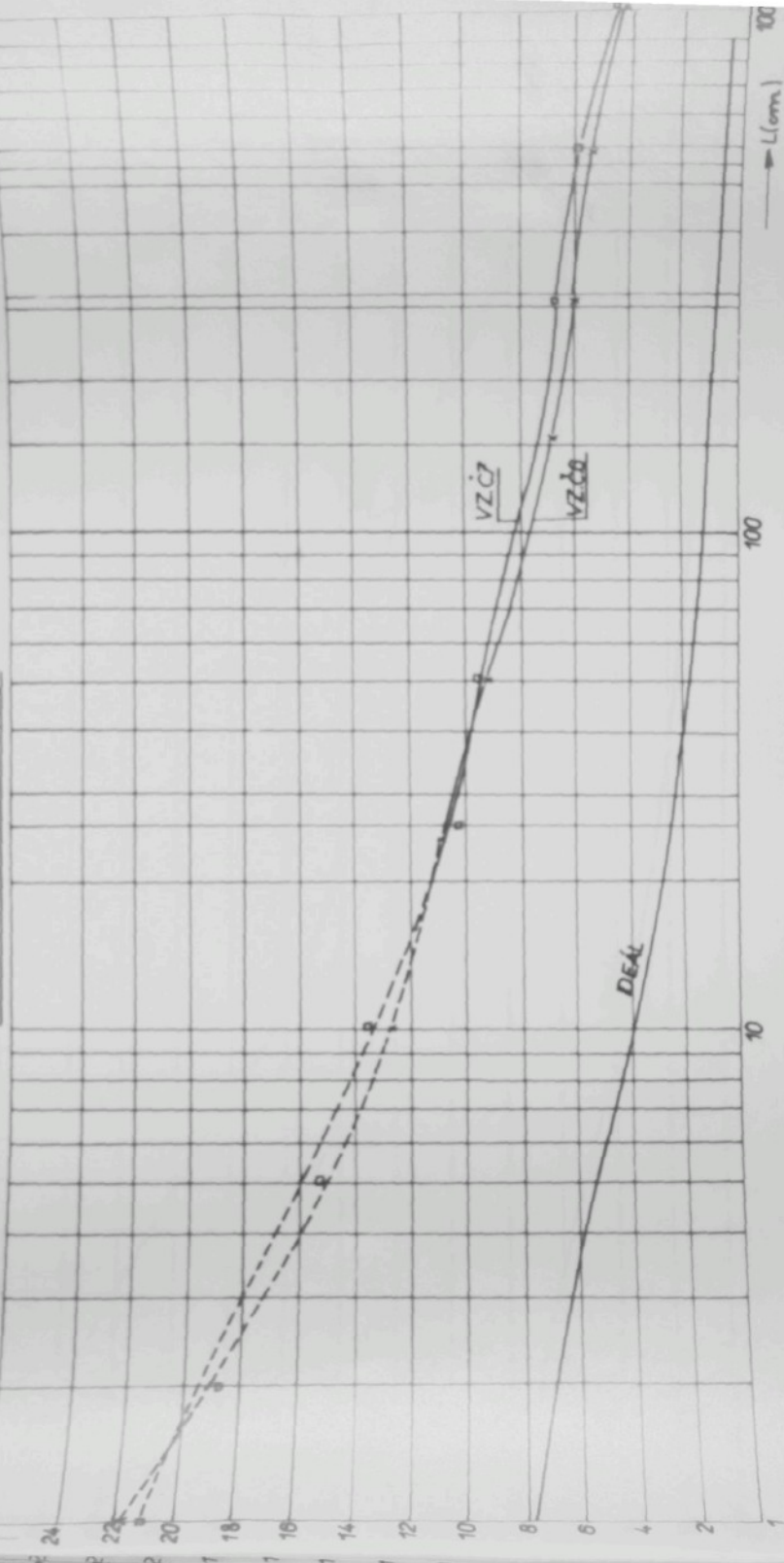


OBR.1) CHARAKTERISTIKA PÓZZE

PŘÍLOHA Č. XVII / 6

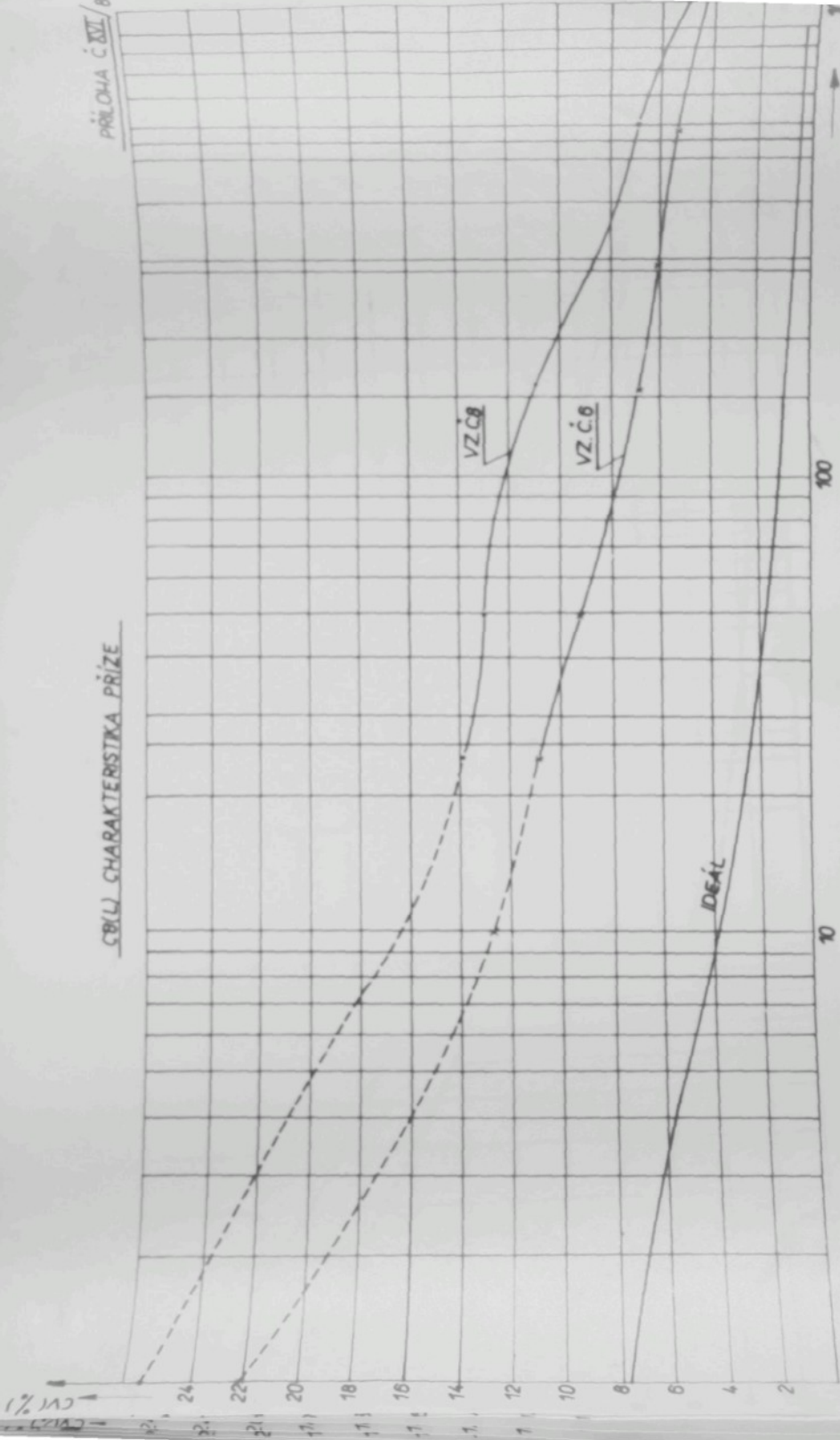


CBLI) CHARAKTERISTIKA PRÍZE



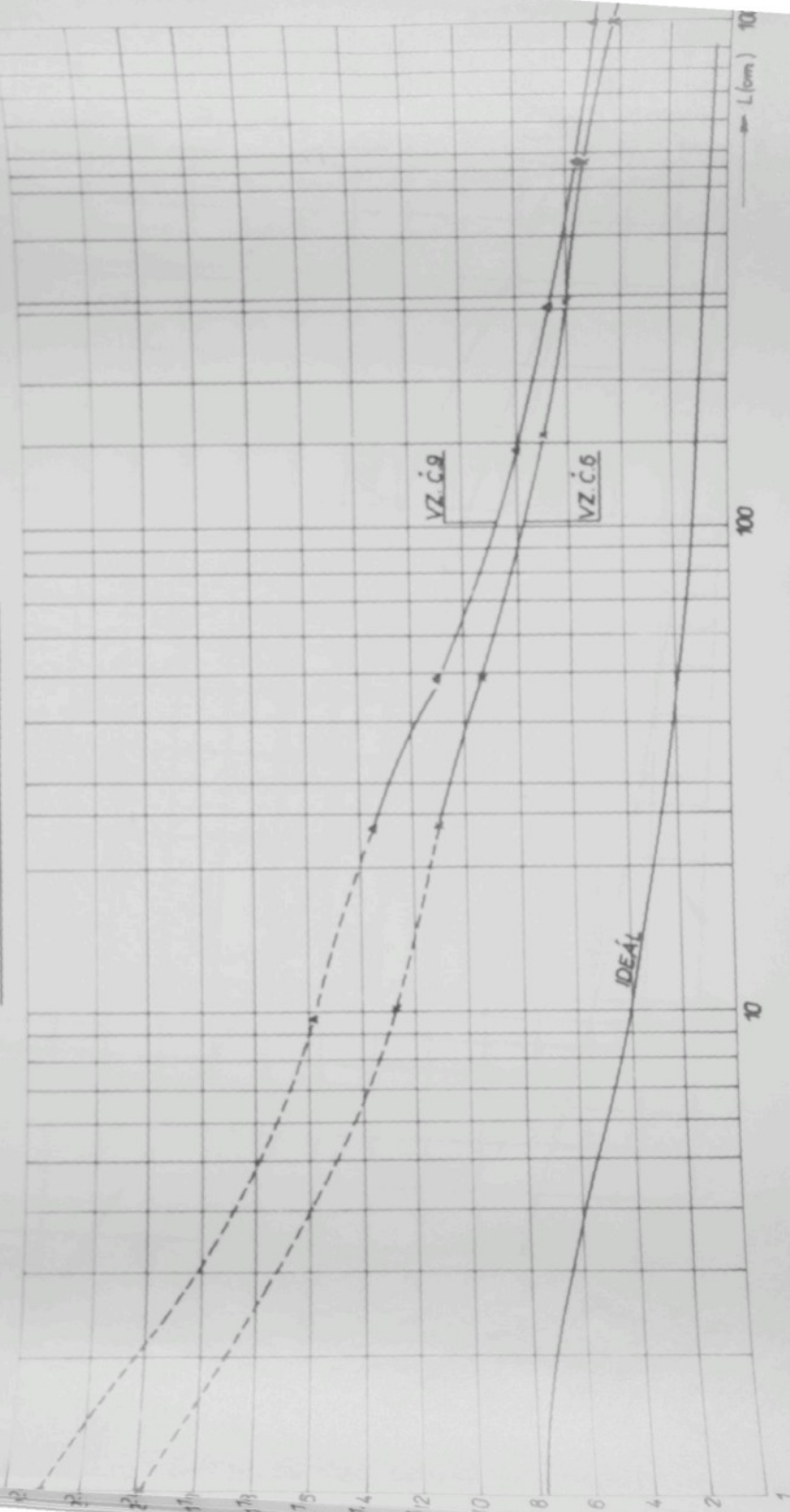
CBU CHARAKTERISTIKA PRÍZE

PRILOHA Č. XXVII/8



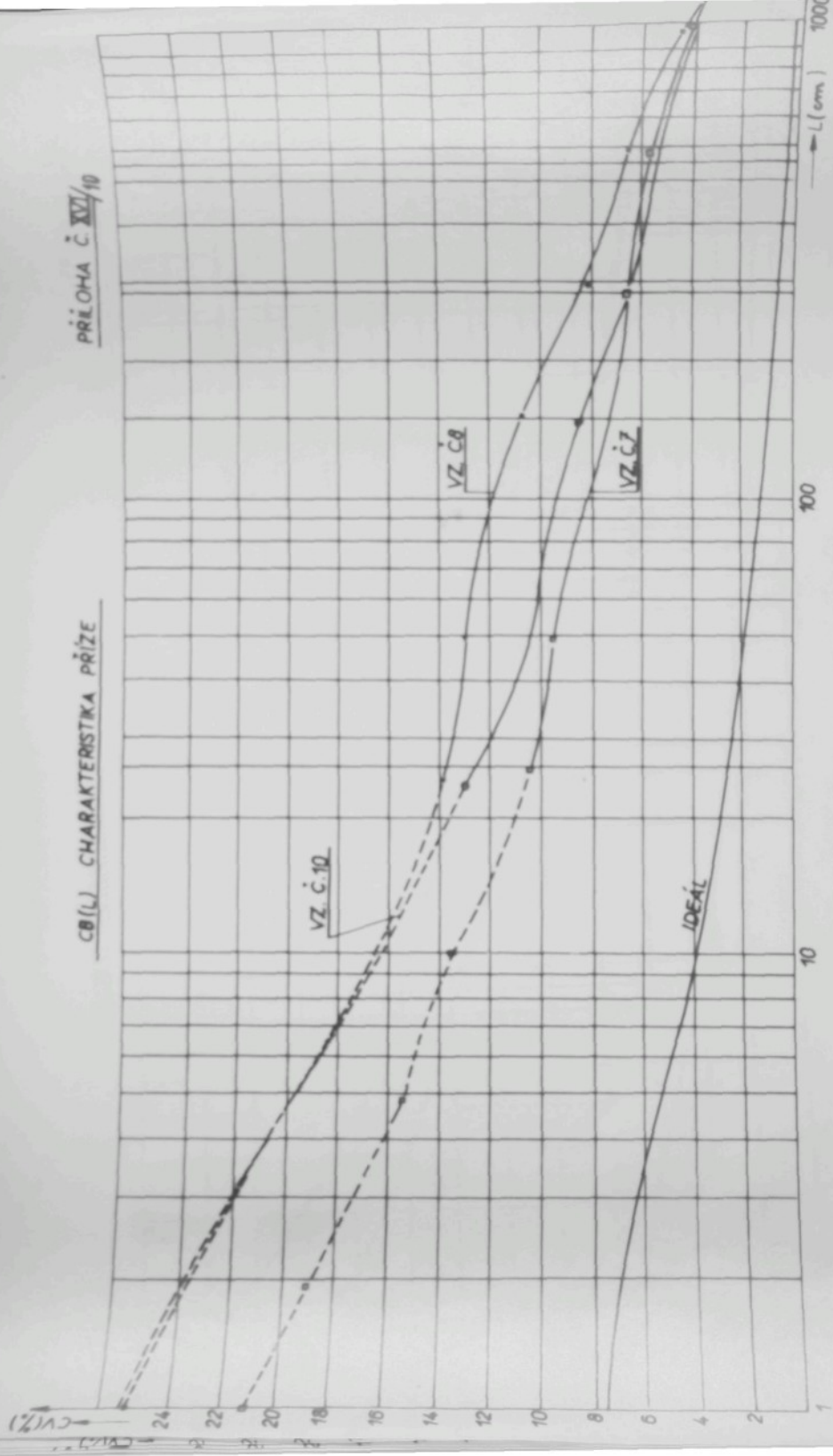
Cθ(L) CHARAKTERISTIKA PRÍZE

PRILOHA Č. XII/g



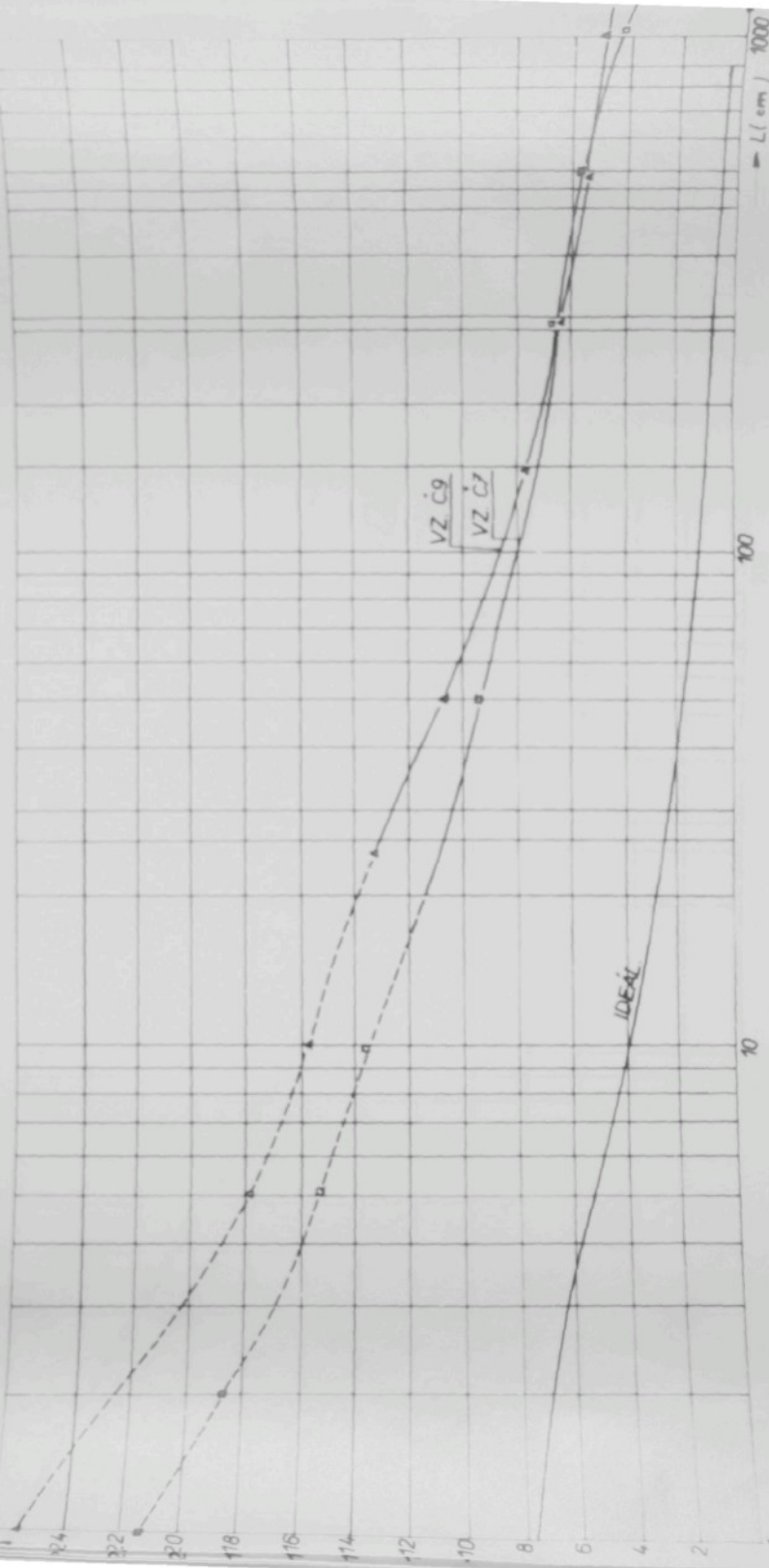
CBL (L) CHARAKTERISTIKA PRÍZE

PRILOHA Č. XVII



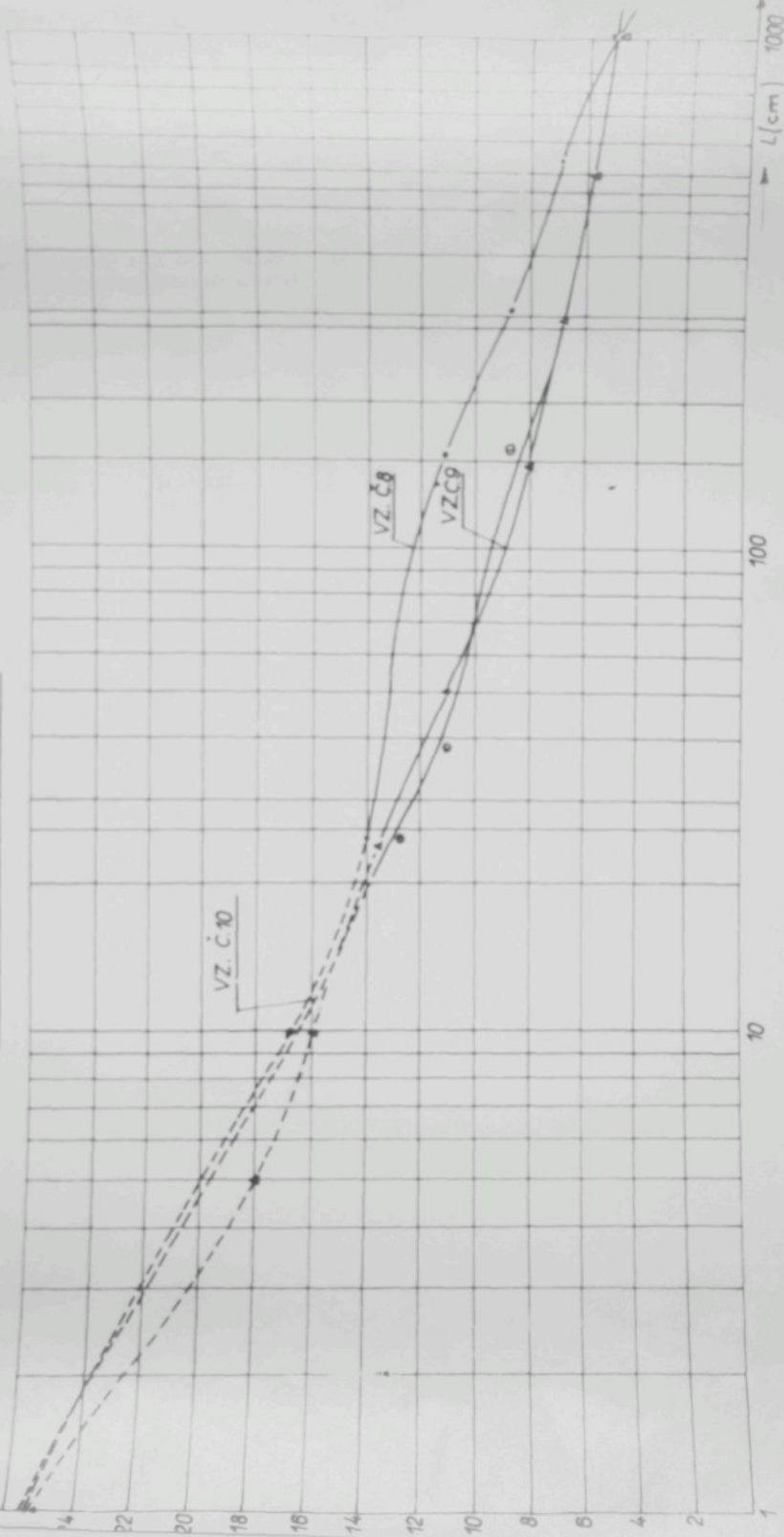
CB(L) CHARAKTERISTIKA PRÍZE

PRÍLOHA Č. XVI / 11



C_B(L) CHARAKTERISTIKA PRÍZIE

PRILOHA Č. XXII /12



INFOGET VARIACION KRIVKY UBERLAGENDE METODOU
XXXXXXXXXXXXXXXXXXXXXXXXXXXXXX

J

P.C.	CH(L)XX2/CH(D)XX2	SORT	L1
0	.99959020	.999779486	0,0
1	.937751962	.968375991	4,0
2	.907008039	.957969895	6,0
3	.876472481	.936178727	8,0
4	.846177930	.919852125	10,0
5	.816176071	.903474608	12,0
6	.786647486	.886831499	14,0
7	.757607253	.870403501	16,0
8	.729097446	.853872033	18,0
9	.701193674	.837373051	20,0
10	.673962506	.820952194	22,0
11	.647493147	.804669591	24,0
12	.621881369	.788594567	26,0
13	.597231204	.772806707	28,0
14	.573639929	.757390207	30,0
15	.551190501	.742422050	32,0
16	.529930403	.727963188	34,0
17	.509870663	.714052283	36,0
18	.490988990	.700706067	38,0
19	.473238964	.687924388	40,0
20	.459265238	.671874385	50,0
21	.344206784	.586690878	60,0
22	.302065595	.549604946	70,0
23	.268971968	.518576869	80,0
24	.242232069	.492170771	90,0
25	.220305489	.469367542	100,0
26	.115321263	.339589846	200,0
27	.078029357	.279337352	300,0
28	.058952712	.242801794	400,0
29	.04736901	.217543979	500,0
30	.023891183	.154567730	1000,0
31	.011997275	.109537073	2000,0
32	.004811314	.069363636	5000,0
33	.002407724	.049065567	10000,0

JEDNOTLIVÁ VLKNA PÅZD. ŠTÍN

VÝHODN. VARIACNÉ KRYVKY POMOCN. INTEGRALY J

XXXXXXXXXXXXXXXXXXXXXX XXXXXXXXXX

KONSTANTA MATERIALU = 21,5448542

P,C.	W	CH(L)XX2/CH(0)XX2	SORT	L1
1	.056554673	.007179045	.957459477	4,0
2	.814789061	.891158834	.944397777	6,0
3	.723795270	.7670592835	.931178197	8,0
4	.635095286	.839675056	.916337850	10,0
5	.549214550	.811405047	.900780745	12,0
6	.4681963723	.787967384	.884851619	14,0
7	.389529180	.754672127	.868718671	16,0
8	.314548166	.726772326	.852480649	18,0
9	.245791605	.699249541	.836211422	20,0
10	.17475035	.677365687	.819979688	22,0
11	.129347202	.646187493	.803857883	24,0
12	.084248684	.6708724792	.787924358	26,0
13	.049657306	.596390548	.772263764	28,0
14	.025857645	.572988101	.756959775	30,0
15	.011683457	.550699168	.742091380	32,0
16	.004493552	.529573395	.727717939	34,0
17	.001467439	.509624415	.713879832	36,0
18	.000325943	.490833720	.700595262	38,0
19	.000000000	.473159497	.687965900	40,0
20	.000000000	.399404677	.631984713	50,0
21	.000000000	.344375608	.586886367	60,0
22	.000000000	.302331569	.549846860	70,0
23	.000000000	.269200184	.5158845051	80,0
24	.000000000	.242510822	.492453879	90,0
25	.000000000	.220579418	.469658830	100,0
26	.000000000	.115508979	.339866119	200,0
27	.000000000	.078165824	.279581516	300,0
28	.000000000	.058059308	.243021208	400,0
29	.000000000	.047456217	.217844677	500,0
30	.000000000	.023936879	.154715478	1000,0
31	.000000000	.012020632	.109638643	2000,0
32	.000000000	.004820779	.069431831	5000,0
33	.000000000	.002412477	.049116976	10000,0

VÝPOČET VARIACNÍ KŘIVKY UBERLAGENDE METODOU T
 XXXXXXXXXXXXXXXXXXXXXXXX

P.C.	CB(1)XX2/CB(0)XX2	SUHT	L1
0	,998927310	,999463513	0,0
1	,937382975	,961185403	4,0
2	,906985709	,952357971	6,0
3	,876841511	,936398163	8,0
4	,8470129363	,920341998	10,0
5	,817611536	,904218742	12,0
6	,788630178	,888053190	14,0
7	,760154455	,871868371	16,0
8	,732194668	,855683743	18,0
9	,704002776	,839525341	20,0
10	,676027856	,823424467	22,0
11	,651931497	,807422748	24,0
12	,626595088	,791578164	26,0
13	,607127870	,775968956	28,0
14	,578639511	,760683584	30,0
15	,556277299	,745806476	32,0
16	,534957697	,731408023	34,0
17	,514857494	,717535710	36,0
18	,495915332	,704212564	38,0
19	,478092661	,691442450	40,0
20	,463672322	,635357125	50,0
21	,348170378	,590059641	60,0
22	,305642023	,552849009	70,0
23	,272168511	,521697720	80,0
24	,245198893	,495175620	90,0
25	,223034358	,472265136	100,0
26	,116816779	,341784673	200,0
27	,079055496	,261168094	300,0
28	,059733252	,244403868	400,0
29	,047998584	,219085788	500,0
30	,024211274	,155599722	1000,0
31	,012158632	,110266187	2000,0
32	,004876172	,069829582	5000,0
33	,002440206	,049398439	10000,0

JEDNOTLIVY VLAKNA PÄDO TANVALD
 VÝHODET VARIACIONI KRIVKY POMOCI INTEGRALU T
 XXXXXXXXXXXXXXXXXXXXXXXXXX

KONSTANTA MATERIAĽU = 21,6021496

P.C.	R.F.	C8(L)XXX2/C8(0)XXX2	SQRT	L1
1	.998977316	.907409653	.952580520	4,0
2	.815891987	.892275893	.944603565	6,0
3	.776519694	.867853194	.931586387	8,0
4	.639715799	.840869104	.916989153	10,0
5	.555065469	.813089117	.901711542	12,0
6	.475361520	.785167597	.886096888	14,0
7	.398468446	.757407942	.870291873	16,0
8	.325455780	.729978352	.854387706	18,0
9	.257093730	.702992191	.838446295	20,0
10	.184011710	.676541301	.822521308	22,0
11	.137482443	.650715237	.806668226	24,0
12	.099453685	.625614687	.790958082	26,0
13	.052393512	.601353603	.775469823	28,0
14	.026830719	.578046473	.760293677	30,0
15	.011398009	.555790603	.745513650	32,0
16	.007948991	.534652456	.731189327	34,0
17	.004155292	.514660432	.717398378	36,0
18	.000749123	.485806720	.704135441	38,0
19	.000000000	.478056496	.691445296	40,0
20	.000000000	.403847125	.635489675	50,0
21	.000000000	.348829232	.590278944	60,0
22	.000000000	.305933198	.553112283	70,0
23	.000000000	.272468763	.521985405	80,0
24	.000000000	.245497223	.495475764	90,0
25	.000000000	.223325493	.472573268	100,0
26	.000000000	.117013227	.342071965	200,0
27	.000000000	.079197817	.281421065	300,0
28	.000000000	.059884736	.244630816	400,0
29	.000000000	.048089408	.219292971	500,0
30	.000000000	.024258723	.155752119	1000,0
31	.000000000	.012182866	.110376021	2000,0
32	.000000000	.004885988	.069895941	5000,0
33	.000000000	.002445134	.049448297	10000,0

KONSTANTA MATERIALU = 22,0658677

VÝPOČET VARIACIONI KRIVKY POMOCÍ INTEGRALU T₁

P.C.	RE	IM	CR(1)XX2/CR(0)XX2	SQRT	L1
1	.9946135	.0093700	.9536089	4,000000	
2	.8187765	.8945799	.9457959	6,000000	
3	.7318921	.8705679	.9330473	8,000000	
4	.6465453	.8440804	.9187385	10,00000	
5	.5647788	.8168073	.9037712	12,00000	
6	.4848974	.7893710	.8884655	14,00000	
7	.4088774	.7626777	.8729706	16,00000	
8	.3364561	.7353840	.8573704	18,00000	
9	.2683413	.7084970	.8417726	20,00000	
10	.2048755	.6824005	.8260753	22,00000	
11	.1474448	.6568745	.8104779	24,00000	
12	.0975577	.6320107	.7949910	26,00000	
13	.0587742	.6079184	.7786912	28,00000	
14	.0305744	.5847141	.7646660	30,00000	
15	.0135733	.5675073	.7500016	32,00000	
16	.0049799	.5413587	.7357715	34,00000	
17	.0014473	.5213252	.7220285	36,00000	
18	.00037166	.5074012	.7088027	38,00000	
19	.0000000	.4845611	.6961043	40,00000	
20	.0000000	.4697801	.6801407	50,00000	
21	.0000000	.3537785	.5947928	60,00000	
22	.0000000	.3107663	.5574642	70,00000	
23	.0000000	.2756605	.5261754	80,00000	
24	.0000000	.2495136	.495133	90,00000	
25	.0000000	.2270717	.4764674	100,0000	
26	.0000000	.1190434	.3450267	200,0000	
27	.0000000	.0805918	.2838869	300,0000	
28	.0000000	.0689049	.2467897	400,0000	
29	.0000000	.0489452	.2212357	500,0000	
30	.0000000	.0246839	.1571430	1000,000	
31	.0000000	.0124023	.1113656	2000,000	
32	.0000000	.0049742	.0705780	5000,000	
33	.0000000	.0024893	.0498930	10000,00	

VÝHODNOCENÍ OBRAZU NAKERENÝCH NA FIBROGRAPHY

T 1

VÝSTUPNÍ HODNOTY		PREPOČET DLE MERITKA		APPROXIMOVANÁ KŘIVKA		VARIACIONÍ KŘIVKA		
1,18838846								
L1	R1*	L1**	R1**	L1	R1	CR(L)XX2/CR(0)XX2	SQRT	REL. BIF.
1,8110000	1,0000000	3,8100000	.8414757	4,0000000	.8337047	.9168573	.9575241	-.0041056
4,8387000	.9500000	4,8387000	.7994019	6,0000000	.7519720	.9030730	.9503015	-.0047638
5,8804000	.8000000	5,8804000	.7573781	8,0000000	.6674934	.8806547	.9384321	-.0057766
6,8199000	.8500000	6,8199000	.7157543	10,0000000	.5661717	.8551944	.9247672	-.0065520
7,8167000	.8000000	7,8167000	.6731805	12,0000000	.4704503	.8778996	.9098899	-.0067707
8,7749000	.7500000	8,7749000	.6311367	14,0000000	.3760791	.7993977	.8940905	-.0063311
9,5564000	.7000000	9,5564000	.5890330	16,0000000	.2875891	.7701827	.8776005	-.0053036
10,09550	.6570000	10,09550	.5512643	18,0000000	.2057485	.7406345	.8606017	-.0037683
11,77760	.6000000	11,77760	.5048854	20,0000000	.1400662	.7111067	.8432715	-.0018401
13,04790	.5000000	13,04790	.4270737	22,0000000	.0884224	.6819596	.8258084	.0003231
14,84530	.4000000	14,84530	.3365903	24,0000000	.0531287	.6535317	.8034130	.0025477
16,87750	.3000000	16,87750	.2574477	26,0000000	.0271735	.6261002	.7912650	.0046869
17,86590	.2500000	17,86590	.2103689	28,0000000	.0131125	.5988654	.7745097	.0065455
18,68670	.2000000	19,68670	.1687951	30,0000000	.0059447	.5749598	.7582610	.0083761
20,45970	.1500000	20,45970	.1767213	32,0000000	.0078600	.5514540	.7425995	.0098694
22,17470	.1000000	22,17470	.0841476	34,0000000	.0009936	.5293593	.7275708	.0111457
24,65070	.0500000	24,65070	.0420738	36,0000000	.0000000	.5086415	.7131911	.0122397
26,17470	.0300000	26,17470	.0257443	38,0000000	.0000000	.4592393	.6994564	.0131859
26,68650	.0750000	26,68650	.0710369	40,0000000	.0000000	.4710773	.6863507	.0140116
27,70340	.0700000	27,70340	.0168795	50,0000000	.0000000	.3960137	.6292962	.0169408
28,00680	.0100000	28,00680	.0084148	60,0000000	.0000000	.3406513	.5836534	.0187283
29,57830	.0080000	29,57830	.0067318	70,0000000	.0000000	.2985010	.5453575	.0199326
30,45000	.0060000	30,45000	.0050489	80,0000000	.0000000	.2654634	.5152314	.0207992
31,45790	.0040000	31,45790	.0033659	90,0000000	.0000000	.2389730	.4887975	.0214526
32,16300	.0010000	32,16300	.0008415	100,0000000	.0000000	.2171587	.4560079	.0218629
33,00000	.0000000	.0000000	.0000000	700,0000000	.0000000	.1133673	.3367006	.0241317
				300,0000000	.0000000	.0766422	.2768432	.0248115
				400,0000000	.0000000	.0578806	.2405839	.0251439
				500,0000000	.0000000	.0454960	.2156294	.0253410
				1000,0000000	.0000000	.034395	.1530997	.0257299
				2000,0000000	.0000000	.0117676	.1084788	.0259219
				5000,0000000	.0000000	.0047185	.0686917	.0260362
				10000,0000000	.0000000	.0023612	.0485971	.0260742

KONSTANTA MATERIALU - 21,4379999
 VÝPOČET VARIACI KŘIVKY POMOCÍ INTEGRÁLU T₂

P.C.	RF CR[L1XX]/CR[0] KST	SQRT	L1
1	.9984740	.9067077	.9522120 4,000000
2	.8150014	.8915840	.9442373 6,000000
3	.7261871	.8672276	.9312506 8,000000
4	.6405448	.8403918	.9167789 10,00000
5	.5582610	.8128388	.9015758 12,00000
6	.4794791	.7857171	.8861770 14,00000
7	.4044687	.7578045	.8705197 16,00000
8	.3334766	.7307709	.8548514 18,00000
9	.2663961	.7047035	.8391684 20,00000
10	.2037037	.6781686	.8235099 22,00000
11	.1464589	.6527303	.8079173 24,00000
12	.0957807	.6277954	.7924452 26,00000
13	.0577479	.6039884	.7771669 28,00000
14	.0301801	.5808988	.7621672 30,00000
15	.0131076	.5588018	.7475305 32,00000
16	.0046646	.5377772	.7333296 34,00000
17	.0013051	.5178483	.7195168 36,00000
18	.0007337	.4990316	.7064717 38,00000
19	.0000000	.4812951	.6937544 40,00000
20	.0000000	.4669702	.6379422 50,00000
21	.0000000	.3513774	.5927288 60,00000
22	.0000000	.3085984	.5555163 70,00000
23	.0000000	.2749196	.5743278 80,00000
24	.0000000	.2477579	.4977528 90,00000
25	.0000000	.2254187	.4747833 100,0000
26	.0000000	.1181931	.3437973 200,0000
27	.0000000	.0800140	.2828674 300,0000
28	.0000000	.0604674	.2459013 400,0000
29	.0000000	.0485933	.2204388 500,0000
30	.0000000	.0245160	.1565758 1000,000
31	.0000000	.0123128	.1109637 2000,000
32	.0000000	.0049383	.0702730 5000,000
33	.0000000	.0074713	.0497126 10000,00

VYHODNOCENI SOJUZ KARENENTCH NA PYROGRAPHU T2

L1*	R1*	L1**	R1**	APROXIMOVANA KRVKA		VARIACNI KRVKA		REL. DIF.
				L1	R1	CB(L)XX/CB(0)XX	SQRT	
1,810000	1,000000	3,810000	8448487	1,000000	1,000000	1,000000	1,000000	-,0065510
1,111100	.9500000	5,111100	8076057	6,000000	7,691919	.9065338	.951207	-,0083490
1,223000	.9000000	6,223000	7603639	9,000000	5,807547	.8855593	.9410469	-,0105196
1,211600	.8500000	7,213600	7181214	10,000000	5,750837	.8612922	.9780543	-,0123585
1,102600	.8000000	8,102600	6758789	12,000000	4,742405	.8346589	.9136027	-,0133393
1,802700	.7500000	9,802700	6336365	14,000000	3,741001	.8063814	.8979874	-,0133903
1,702800	.7000000	9,702800	5913541	16,000000	2,815158	.7770199	.8814873	-,0125990
1,621700	.5670000	10,21080	5535141	18,000000	2,001699	.7470528	.8643453	-,0111059
1,1,366500	.5000000	11,366500	5069087	20,000000	1,360678	.7170871	.8468100	-,0091067
1,1,004400	.5000000	12,004400	4774243	22,000000	.8853349	.6874573	.8291275	-,0068214
1,4,74470	.4000000	14,74470	3379395	24,000000	.0517869	.6585696	.8115230	-,0044630
1,6,57430	.3000000	16,52430	7534545	26,000000	.0269474	.6307357	.7947884	-,0021997
1,7,68110	.2500000	17,69110	7117127	28,000000	.0129807	.6041571	.7772722	-,0001355
1,8,47780	.2000000	18,87280	5688697	30,000000	.0056510	.5789451	.7608844	.0016831
20,32000	.1500000	20,32000	1267273	32,000000	.0078955	.5551761	.7451014	.0032495
77,03450	.1000000	27,03450	.0844849	34,000000	.0017561	.5328516	.7299668	.0045856
74,57450	.0500000	24,57450	.0472474	36,000000	.0000000	.5119331	.7154950	.0057277
76,54830	.0250000	26,54830	.0253455	38,000000	.0000000	.4923531	.7016787	.0067140
76,54830	.0250000	26,54830	.0211217	40,000000	.0000000	.4740314	.6884994	.0075747
77,72280	.0200000	27,72280	.0168970	50,000000	.0000000	.3983650	.6311616	.0106288
78,88750	.0100000	28,88750	.0084485	60,000000	.0000000	.3426041	.5853239	.0124829
78,40050	.0080000	29,40050	.0067588	70,000000	.0000000	.3001708	.5478785	.0137491
30,31480	.0060000	30,31480	.0050691	80,000000	.0000000	.2669218	.5166447	.0146531
31,15310	.0040000	31,15310	.0033754	90,000000	.0000000	.2402175	.4901189	.0153349
35,55810	.0010000	35,55810	.0008448	100,000000	.0000000	.2183274	.4672498	.0158673
,0000000	,0000000	,0000000	,0000000	200,000000	.0000000	.1139467	.3375593	.0181306
				300,000000	.0000000	.0770274	.2775382	.0188401
				400,000000	.0000000	.0581683	.2411832	.0181871
				500,000000	.0000000	.0467268	.2161640	.0193928
				1000,000	.0000000	.0235548	.1534758	.0197988
				2000,000	.0000000	.0118253	.1087440	.0199981
				5000,000	.0000000	.0047416	.0688592	.0201185
				10000,00	.0000000	.0023727	.0487105	.0201582

KONSTANTA MATERIALU 71,0551723

VÝPOČET VARIACKI KRIVKY POMOCÍ INTEGRÁLU

T₃

P.C.	RF CB(L) XXZ/CB(0) XXZ	SQRT	L1
1	.9985706	.9050115	.9513209 4,000000
7	.4110524	.8894738	.9431192 6,000000
3	.7182757	.8644059	.9797343 8,000000
4	.6303870	.8367774	.9147280 10,00000
5	.5448505	.8087624	.8990341 12,00000
6	.4630574	.7796886	.8829958 14,00000
7	.3851013	.7513187	.8667870 16,00000
8	.3115905	.7233357	.8504911 18,00000
9	.2436480	.6958610	.8341828 20,00000
10	.1816481	.6689992	.8179237 22,00000
11	.1267506	.6428455	.8017764 24,00000
12	.0809040	.6175039	.7858141 26,00000
13	.0465584	.5930889	.7701227 28,00000
14	.0237237	.5687097	.7547911 30,00000
15	.0099200	.5474506	.7398991 32,00000
16	.0033723	.5263626	.7255085 34,00000
17	.0009354	.5064595	.7116597 36,00000
18	.0001404	.4877219	.6883709 38,00000
19	.0000000	.4701060	.6856427 40,00000
20	.0000000	.3966660	.6298143 50,00000
21	.0000000	.3419891	.5847983 60,00000
22	.0000000	.3001339	.5478448 70,00000
23	.0000000	.2672117	.5169246 80,00000
24	.0000000	.2406972	.4806090 90,00000
25	.0000000	.2189143	.4678828 100,0000
26	.0000000	.1946025	.3385799 200,0000
27	.0000000	.0775451	.2784691 300,0000
28	.0000000	.0585876	.2420487 400,0000
29	.0000000	.0470759	.2169697 500,0000
30	.0000000	.0237437	.1540901 1000,000
31	.0000000	.0119233	.1051940 2000,000
32	.0000000	.0047817	.0691497 5000,000
33	.0000000	.0023929	.0489173 10000,00

VYHODNOCENÍ UDÁJŮ NAMĚŘENÝCH NA FIBROGRAPHU

T3

VSTUPNÍ HODNOTY	PREPOČET DLE KERITKA 1,1967057	APROXIMOVANÁ KŘIVKA				VARIACNÍ KŘIVKA			
		L1**	NF**	L1	HF CB(L)X2/CB(0)X2	SURT	REL. DIF.		
1,810000	1,000000	1,810000	0,8359788	4,000000	.8282586	.9141293	.9561011	-.0050248	
4,387000	.950000	4,338700	.7941799	6,000000	.7470482	.9000754	.9487236	-.0059424	
5,880100	.900000	5,880100	.7523809	8,000000	.6532578	.8770414	.9365049	-.0072822	
6,819900	.850000	6,819900	.7105870	10,000000	.5543447	.8507434	.9273575	-.0083407	
7,771600	.800000	7,721600	.6687830	12,000000	.4583134	.8276288	.9069889	-.0088481	
8,470900	.750000	8,470900	.6269841	14,000000	.3636147	.7934782	.8907459	-.0087725	
9,372400	.700000	9,372600	.5851852	16,000000	.2767276	.7636283	.8738583	-.0081580	
9,931400	.650000	9,931400	.5575979	18,000000	.1993754	.7335216	.8565230	-.0070922	
11,11250	.600000	11,11250	.5015573	20,000000	.1368354	.7038202	.8389399	-.0057027	
12,87700	.550000	12,87700	.4179894	22,000000	.0865842	.6745429	.8213056	-.0041347	
14,63040	.400000	14,63040	.3342915	24,000000	.0524041	.6461012	.8038042	-.0025791	
16,59890	.300000	16,59890	.2507936	26,000000	.0257893	.6187340	.7865964	-.0009955	
17,71650	.250000	17,71650	.2089947	28,000000	.0126465	.5926113	.7698125	-.0004027	
18,94840	.200000	18,94840	.1671958	30,000000	.0057217	.5678489	.7535575	.0016344	
20,39620	.150000	20,39620	.1253968	32,000000	.0077084	.5445064	.7379068	.0076977	
22,17340	.100000	22,12340	.0835579	34,000000	.0012556	.5225867	.7229016	.0035932	
24,63800	.050000	24,63800	.0417989	36,000000	.0000000	.5020498	.7085547	.0043631	
26,06040	.030000	26,06040	.0250794	38,000000	.0000000	.4828291	.6948591	.0050286	
26,55490	.025000	26,50490	.0208995	40,000000	.0000000	.4648463	.6817964	.0056099	
27,13990	.020000	27,13990	.0167186	50,000000	.0000000	.3905992	.6249794	.0076767	
28,90570	.010000	28,90570	.0083598	60,000000	.0000000	.3359006	.5785693	.0089416	
29,60370	.008000	29,60370	.0066878	70,000000	.0000000	.2942829	.5424784	.0097954	
30,78950	.006000	30,28950	.0050159	80,000000	.0000000	.2616766	.5115433	.0104106	
31,79280	.004000	31,79280	.0033439	90,000000	.0000000	.2354906	.4857737	.0108748	
34,54400	.0010000	34,54400	.0008360	100,000000	.0000000	.2140218	.4626249	.0112376	
36,000000	.0000000	.0000000	.0000000	200,000000	.0000000	.1116914	.3342027	.0127823	
				300,000000	.0000000	.0755011	.2747746	.0132673	
				400,000000	.0000000	.0570159	.2387799	.0135045	
				500,000000	.0000000	.0457999	.2140091	.0136453	
				1000,000000	.0000000	.0230877	.1519446	.0139231	
				2000,000000	.0000000	.0115904	.1076587	.0140603	
				5000,000000	.0000000	.0046474	.0681718	.0141420	
				10000,00	.0000000	.0023256	.0482241	.0141692	

KONSTANTA MATERIALEK = 22,2900000
 VÝPOČET VARIACNÍ KRIVKY POMOCÍ INTEGRALU T₄

P.C.	RE_ CB(L)XX2/CR(0)XX2	SQRT	L1
1	.9942872	.9107737	.9546876 4,000000
2	.8712651	.8955286	.9463238 5,000000
3	.7338717	.8716984	.9336479 6,000000
4	.6484971	.8453091	.9194699 10,000000
5	.5654105	.8180774	.9044735 17,000000
6	.4853297	.7904291	.8891733 14,000000
7	.4086137	.7617809	.8736595 16,000000
8	.3353073	.7361957	.8580182 18,000000
9	.2661283	.7094834	.8423084 20,000000
10	.2018394	.6837388	.8265826 22,000000
11	.1442351	.6575582	.8108996 24,000000
12	.0855585	.6375516	.7953311 26,000000
13	.0573351	.6083373	.7799598 28,000000
14	.0299237	.5850314	.7648734 30,000000
15	.0128757	.5677347	.7501564 32,000000
16	.0044863	.5415274	.7358814 34,000000
17	.0013459	.5214292	.7221005 36,000000
18	.0003140	.5074582	.7088428 38,000000
19	.0000000	.4845798	.6961176 40,000000
20	.0000000	.4696871	.6800680 50,000000
21	.0000000	.3536410	.5946773 60,000000
22	.0000000	.3106118	.5573256 70,000000
23	.0000000	.2767012	.5260248 80,000000
24	.0000000	.2493553	.4993549 90,000000
25	.0000000	.2268668	.4763054 100,0000
26	.0000000	.1189392	.3448757 200,0000
27	.0000000	.0805163	.2837540 300,0000
28	.0000000	.0608451	.2466700 400,0000
29	.0000000	.0488971	.2211269 500,0000
30	.0000000	.0246688	.1570630 1000,000
31	.0000000	.0123894	.1113079 2000,000
32	.0000000	.0049690	.0704911 5000,000
33	.0000000	.0024867	.0498668 10000,00

VYHODNOCENÍ UDÁJŮ NAKERENÝCH NA FIBROGRAPHU

T₄

VSTUPNÍ HODNOTY	PREPOČET DLE MERITKA	APROXIMOVANÁ KŘIVKA				VARIACIONÍ KŘIVKA	REL. DIF.
		L1*	RF*	L1**	RF**		
	1,20442958						
1,810000	1,000000	1,810000	1,000000	1,000000	1,000000	,9111013	,9545163
4,787900	,950000	4,787900	,950000	,8222027	,8965252	,9468501	-,0005562
5,751700	,900000	5,751700	,900000	,7376287	,8726487	,9341567	-,0005450
6,687900	,850000	6,687900	,850000	,6412037	,8455073	,9195147	-,0001177
7,555500	,800000	7,555500	,800000	,5432672	,8166844	,9037059	,0008487
8,755688	,750000	8,755688	,750000	,4475524	,8870864	,8023470	
9,707500	,700000	9,707500	,700000	,3527871	,7869722	,8698692	,0043384
9,779000	,6670000	9,779000	,6537891	,18,00000	,7263174	,8522425	,0067313
10,84740	,6000000	10,84740	,4981611	,20,00000	,1295775	,6962382	,8344090
11,67450	,5000000	12,67450	,4351342	,22,00000	,0804772	,6667830	,8165678
14,43990	,4000000	14,43990	,3321074	,24,00000	,0477895	,6382418	,7889004
16,38300	,3000000	16,38300	,2490805	,26,00000	,0245714	,6108474	,7815673
17,48790	,2500000	17,48790	,2075671	,28,00000	,0125237	,5847670	,7647006
18,59440	,2000000	18,59440	,1660537	,30,00000	,0058776	,5601030	,7484003
20,18030	,1500000	20,18030	,1245403	,32,00000	,0029617	,5368968	,7327324
21,64480	,1000000	21,64480	,0830768	,34,00000	,0012555	,5151367	,7177302
24,38400	,0500000	24,38400	,0415134	,36,00000	,0000000	,4947721	,7034004
25,95880	,0300000	25,95880	,0249081	,38,00000	,0000000	,4757287	,6897316
26,45680	,0250000	26,45680	,0207567	,40,00000	,0000000	,4579268	,6767029
27,05100	,0200000	27,05100	,0166054	,50,00000	,0000000	,3845314	,6201059
28,98140	,0100000	28,98140	,0083027	,60,00000	,0000000	,3305483	,5749333
29,47670	,0080000	29,47670	,0066421	,70,00000	,0000000	,2895142	,5380652
30,54350	,0060000	30,54350	,0049816	,80,00000	,0000000	,2573852	,5073314
31,67380	,0040000	31,67380	,0033211	,90,00000	,0000000	,2315939	,4812421
33,93440	,0010000	33,93440	,0008303	,100,00000	,0000000	,2104556	,4587544
	,0000000	,0000000	,0000000	,200,00000	,0000000	,1097753	,3313236
				,300,00000	,0000000	,0741941	,7723859
				,400,00000	,0000000	,0560245	,2365950
				,500,00000	,0000000	,0450015	,2121356
				,1000,000	,0000000	,0226827	,1506076
				,2000,000	,0000000	,0113868	,1067090
				,5000,000	,0000000	,0045656	,0675695
				,10000,00	,0000000	,00272846	,0477979

KONSTANTA MATERIALU 21,5454684

VÝPOČET VARIACIONÍ KŘIVKY POMOCÍ INTEGRALU T_5

P.C.	HF CB(L)XX2/CB(B)XX2	SORT	L1
1	.9990947	.9071773	.9574586 4,000000
2	.8157605	.8919729	.9444432 6,000000
3	.7254141	.8674247	.8313564 8,000000
4	.6278968	.8402757	.9166652 10,000000
5	.5578813	.8172861	.9017692 12,000000
6	.4710145	.7841157	.8855031 14,000000
7	.3979865	.7560787	.8695285 16,000000
8	.3181475	.7283602	.8534402 18,000000
9	.2500000	.7010809	.8373057 20,000000
10	.1865511	.6743456	.8211855 22,000000
11	.1305710	.6482587	.8051451 24,000000
12	.0838078	.6229339	.7887616 26,000000
13	.0481788	.5984925	.7736230 28,000000
14	.0240683	.5750507	.7583270 30,000000
15	.0100069	.5527029	.7434399 32,000000
16	.0032781	.5315094	.7290469 34,000000
17	.0009058	.5114913	.7151867 36,000000
18	.0007588	.4926339	.7018789 38,000000
19	.0000000	.4748966	.6891274 40,000000
20	.0000000	.4008762	.6331478 50,000000
21	.0000000	.3457073	.5879688 60,000000
22	.0000000	.3034495	.5508625 70,000000
23	.0000000	.2701966	.5198044 80,000000
24	.0000000	.2434092	.4933651 90,000000
25	.0000000	.2213970	.4705284 100,0000
26	.0000000	.1159382	.3404970 200,0000
27	.0000000	.0784565	.2801009 300,0000
28	.0000000	.0592790	.2434729 400,0000
29	.0000000	.0476328	.2182495 500,0000
30	.0000000	.0240260	.1550032 1000,000
31	.0000000	.0120654	.1098426 2000,000
32	.0000000	.0048387	.0695610 5000,000
33	.0000000	.0074215	.0492084 10000,00

VYHODOCENI VOJAJ NAMERENÝCH NA FIBROGRAPHU 25

VSTUPNI HODNOTY	PREPOCET DLE KERITKA	APROXIMOVANA KRIVKA	VARIACNI KRIVKA			REL. DIF.
			1,19731459	HF	CB(L)XX2/CB(0)XX2	
L1'	HF'	L1'' HF''				
1,810000	1,000000	1,810000 1,000000	,0000000	,0000000	,0000000	
4,775790	,950000	4,775790 ,950000	,8352024	,4,000000	,8269819	,9134909 ,9557672 ,0034738
5,816600	,900000	5,816600 ,900000	,793423	,6,000000	,7438502	,897604 ,9482934 ,0040768
6,794500	,850000	6,794500 ,850000	,7516821	,8,000000	,6502235	,8759485 ,9359712 ,0049013
7,645400	,800000	7,645400 ,800000	,7099270	,10,00000	,5480250	,8493268 ,9151883 ,0053717
8,470900	,750000	8,470900 ,750000	,6681619	,12,00000	,4486796	,8207956 ,9059777 ,0052243
9,296400	,700000	9,296400 ,700000	,5846417	,14,00000	,3510539	,7910680 ,8894200 ,0044234
9,817100	,667000	9,817100 ,667000	,5570800	,16,00000	,2612987	,7606572 ,8721567 ,0030226
10,54740	,600000	10,54740 ,600000	,5011214	,18,00000	,7300173	,8544105 ,0011359
11,67380	,500000	12,57380 ,4176012	,22,00000	,0790313	,6995916	,8364159 ,0010627
14,35100	,400000	14,35100 ,3340809	,24,00000	,0458172	,6409188	,8184023 ,0033893
16,74330	,300000	16,74330 ,2505607	,26,00000	,0232535	,6132471	,7830978 ,0078096
17,33550	,250000	17,33550 ,2088005	,28,00000	,0115092	,5859156	,7661041 ,0097190
18,52930	,200000	18,52930 ,1670405	,30,00000	,0053261	,5670390	,7496926 ,0113782
19,56440	,1500000	19,56440 ,1252804	,32,00000	,0077933	,5386507	,7339283 ,0127941
21,72970	,1000000	21,72970 ,0835202	,34,00000	,0014602	,5167356	,7188432 ,0139960
24,74430	,0500000	24,74430 ,0417601	,36,00000	,0000000	,4962390	,7044423 ,0150725
25,81910	,0300000	25,81910 ,0250561	,38,00000	,0000000	,4770832	,6907121 ,0159099
26,73870	,0250000	26,73870 ,0208801	,40,00000	,0000000	,4591815	,5776293 ,0166850
26,94940	,0250000	26,94940 ,0167040	,50,00000	,0000000	,3854408	,6208388 ,0194410
28,63850	,0100000	28,63850 ,0083520	,60,00000	,0000000	,3317538	,5755465 ,0211275
29,15730	,0080000	29,15730 ,0066416	,70,00000	,0000000	,2900868	,5385971 ,0222658
30,18790	,0060000	30,18790 ,0050112	,80,00000	,0000000	,2578652	,5078043 ,0230859
31,17850	,0040000	31,17850 ,0033408	,90,00000	,0000000	,2320060	,4816700 ,0237048
34,93770	,0010000	34,93770 ,0001357	,100,00000	,0000000	,2108160	,4591471 ,0241885
,0000000	,0000000	,0000000 ,0000000	,200,00000	,0000000	,1099319	,3315598 ,0262475
			,300,00000	,0000000	,0742933	,2725679 ,0268940
			,400,00000	,0000000	,0560969	,2368479 ,0272103
			,500,00000	,0000000	,0450585	,2122699 ,0273978
			,1000,000	,0000000	,0277102	,1506991 ,0277683
			,2000,000	,0000000	,0114003	,1067724 ,0279511
			,5000,000	,0000000	,0045710	,0676091 ,0280600
			,10000,00	,0000000	,0022873	,0478258 ,0280962

KONSTANTA MATERIALU - 212415459

VÝPOČET VARIÁCII KŘIVKY POMOCÍ INTEGRÁLU T₆

P.C.	NF	CH(L)XX/C8(0)XC	SQRT	L1
1	.9988155	.8058441	.9517584	4,000000
2	.8128716	.8904775	.9436517	6,000000
3	.7227789	.8556846	.9304217	8,000000
4	.6343589	.8383017	.9155882	10,000000
5	.5493284	.8101299	.9000771	12,000000
6	.4587737	.7818389	.8847165	14,000000
7	.3807704	.7537316	.8681771	16,000000
8	.3168519	.7259779	.8520404	18,000000
9	.2481733	.6986811	.8358715	20,000000
10	.1855352	.6719573	.8197300	22,000000
11	.1296335	.6458963	.8036767	24,000000
12	.0827376	.6070609	.7877873	26,000000
13	.0463950	.5661881	.7713227	28,000000
14	.0776661	.5777754	.7568193	30,000000
15	.0090060	.5504606	.7419303	32,000000
16	.0030474	.5293059	.7275341	34,000000
17	.0010606	.5093118	.7136750	36,000000
18	.0002724	.4905219	.7003777	38,000000
19	.0000000	.4728335	.6876285	40,000000
20	.0000000	.3980532	.6317666	50,000000
21	.0000000	.3440874	.5865939	60,000000
22	.0000000	.3070066	.5495517	70,000000
23	.0000000	.2688956	.5185514	80,000000
24	.0000000	.2427761	.4921647	90,000000
25	.0000000	.2203131	.4653752	100,000000
26	.0000000	.1153531	.3396368	200,000000
27	.0000000	.0780569	.2793866	300,000000
28	.0000000	.0589757	.2428452	400,000000
29	.0000000	.0473884	.2176889	500,000000
30	.0000000	.0239021	.1546030	1000,000000
31	.0000000	.0170030	.1095582	7000,000000
32	.0000000	.0048137	.0693807	5000,000000
33	.0000000	.0024089	.0490807	10000,000000

VYHODNOCENI UDAJU NAMERENYCH NA FIBROGRAPHU

T₆

VSTUPNI HODNOTY		PREPOCET DLE MERITKA		APROXIMOVANA KRIYKA		VARIACNI KRIYKA			
		1,15572366							
L1*	HF*	L1**	HF**	L1	HF	CB(L)XX2/CB(0)XX2	SQRT	REL.	DIF.
		,0000000	1,000000	,0000000	1,000000	,8584385	,9792193	,9639602	-,0128203
1,810000	1,000000	1,810000	,8656337	4,000000	,8656337	,9840404	,9180195	,9581333	-,0153469
4,853000	,9500000	4,953000	,8223516	6,000000	,7984040	,8996109	,9484782	,0194068	
8,845300	,9000000	8,845300	,7790699	8,000000	,7173559	,8781795	,9371123	,0235086	
7,556500	,8500000	7,556500	,7357882	10,00000	,6251109	,8545545	,9244212	,0270523	
8,597900	,8000000	8,597900	,6975066	12,00000	,5289439	,8292929	,9106552	,0299007	
9,381300	,7500000	9,383300	,6492749	14,00000	,4388357	,8028707	,8960305	,0320826	
10,49070	,7000000	10,49070	,6059433	16,00000	,3453460	,7758372	,8807027	,0336395	
11,33780	,6670000	11,33780	,5773774	18,00000	,2575033	,7480650	,8648075	,0347375	
12,15760	,6000000	12,15760	,5193799	20,00000	,2176556	,705515	,8488531	,0355276	
14,13510	,5000000	14,13510	,4378166	22,00000	,1178709	,68432483	,8326153	,0360078	
16,00770	,4000000	16,00770	,3462533	24,00000	,0731770	,6639720	,8163284	,0362360	
17,89430	,3000000	17,89430	,2596900	26,00000	,0387381	,6047906	,8001816	,0363273	
19,88650	,2500000	19,88650	,2164083	28,00000	,0177604	,5151776	,7843326	,0363538	
20,74770	,2000000	20,74770	,1731766	30,00000	,0083097	,5912194	,7689079	,0363613	
21,57050	,1500000	21,57050	,1298450	32,00000	,0040451	,5470701	,7396418	,0363702	
23,75370	,1000000	23,75370	,0865633	34,00000	,0025197	,5268841	,7258678	,0364072	
25,66670	,0500000	25,66670	,0432817	36,00000	,0013239	,5079007	,7126715	,0364188	
26,93670	,0300000	26,93670	,0259690	38,00000	,0000000	,4865444	,6547498	,0364778	
27,41530	,0250000	27,41530	,0216408	40,00000	,0000000	,4286973	,6080126	,0365138	
28,06700	,0200000	28,06700	,0173127	50,00000	,0000000	,3956794	,5596307	,0365380	
29,94660	,0100000	29,94660	,0086563	60,00000	,0000000	,3244792	,5375073	,0365555	
30,21330	,0080000	30,21330	,0069251	70,00000	,0000000	,2889141	,5101625	,0365687	
31,16580	,0050000	31,16580	,0051938	80,00000	,0000000	,2602657	,4865444	,0365790	
32,42310	,0040000	32,42310	,0034625	90,00000	,0000000	,2367255	,4286973	,0366227	
36,76650	,0010000	36,76650	,0008656	100,00000	,0000000	,1739569	,3520752	,0366364	
,0000000	,0000000	,0000000	,0000000	200,00000	,0000000	,1244792	,2896724	,0366431	
				300,00000	,0000000	,0633770	,2517479	,0366471	
				400,00000	,0000000	,0509254	,2256665	,0366550	
				500,00000	,0000000	,0256865	,1602700	,0366588	
				1000,000	,0000000	,0128992	,1135745	,0366612	
				2000,000	,0000000	,0051731	,0719242	,0366619	
				5000,000	,0000000	,0025888	,0508801		

KONSTANTA MATERIALU - 21,4255744

VÝPOČET VARIACIONI KRIVKY POMOCÍ INTEGRALU J_1

P.C.	RF	CR[L]XX/CR[0]XX?	SQRT	L1
1	.9997566	.8966534	.9571835	4,000000
2	.4135402	.8911967	.9440321	6,000000
3	.7215460	.8661917	.9306942	8,000000
4	.6316501	.8384789	.9156849	10,000000
5	.5443651	.8098716	.8999286	12,000000
6	.4686738	.7810614	.8837768	14,000000
7	.3808457	.7573814	.8673992	16,000000
8	.3052174	.7240247	.8508964	18,000000
9	.2350911	.6961317	.8343451	20,000000
10	.1711772	.6688777	.8178189	22,000000
11	.1169860	.6427391	.8013982	24,000000
12	.0722307	.6165007	.7851753	26,000000
13	.0410314	.5917477	.7692510	28,000000
14	.0207072	.5680979	.7537727	30,000000
15	.0088057	.5456344	.7386707	32,000000
16	.0031240	.5243974	.7241579	34,000000
17	.0009375	.5043986	.7102032	36,000000
18	.0007331	.4855780	.5968343	38,000000
19	.0000000	.4679138	.5840423	40,000000
20	.0000000	.3944398	.5280444	50,000000
21	.0000000	.3398713	.5828849	60,000000
22	.0000000	.2981580	.5460385	70,000000
23	.0000000	.2653768	.5151474	80,000000
24	.0000000	.2389937	.4888698	90,000000
25	.0000000	.2173286	.4661852	100,000000
26	.0000000	.1136915	.3371817	200,000000
27	.0000000	.0769115	.7773292	300,000000
28	.0000000	.0581025	.7410447	400,000000
29	.0000000	.0465831	.7160628	500,000000
30	.0000000	.0735426	.1534361	1000,000000
31	.0000000	.0118216	.1087772	2000,000000
32	.0000000	.0017407	.0688528	5000,000000
33	.0000000	.0023774	.0487069	10000,000000

J1

XYHODNOCENÍ UDÁJŮ SAMORENCŮ NA FIBROGRAPHU

VSTUPNÍ HODNOTY	PREPOČET DLE MERITKA	APROXIMOVANÁ KŘIVKA				VARIACIONÍ KŘIVKA			
		L1**	HF**	L1	HF	CB(L)XX2/CB(D)XX2	SUR1	REL. DIFF.	
1.20195266									
1,810000	1,000000	1,810000	1,000000	1,319795	1,000000	8232141	,9116070	,9547811	-,0027281
4,711700	,950000	4,711700	,950000	7063905	5,000000	7330801	,8957781	,9468837	-,0031265
5,626100	,900000	5,626100	,900000	7487815	8,000000	6422354	,8725865	,9341234	-,0036845
6,616700	,850000	6,616700	,850000	7071826	10,000000	5448834	,8453192	,9194124	-,0040708
7,543800	,800000	7,543800	,800000	6555836	12,000000	4488548	,8165279	,9036194	-,0041011
8,356400	,750000	8,356400	,750000	6739845	14,000000	3574896	,7868790	,8870620	-,0037173
9,245600	,700000	9,245600	,700000	5823857	16,000000	2712888	,7568235	,8699560	-,0029476
9,751700	,6670000	9,751700	,6670000	5549303	18,000000	1982928	,7267347	,8524874	-,0016698
10,44740	,6000000	10,44740	,6000000	4891877	20,000000	1379101	,6969721	,8348486	-,0006034
12,58730	,5000000	12,58730	,5000000	4159898	22,000000	0916500	,6678661	,8172307	-,0007191
14,55420	,4000000	14,55420	,4000000	3327918	24,000000	0597613	,6397006	,7998128	,0019782
16,51000	,3000000	16,51000	,3000000	2495939	26,000000	0347532	,6126919	,7827464	,0030934
17,70380	,2500000	17,70380	,2500000	2078948	28,000000	0188143	,5869746	,7661427	,0040408
18,47380	,2000000	18,47380	,2000000	1663959	30,000000	0114365	,5626268	,7500845	,0048269
20,47740	,1500000	20,47740	,1500000	1247969	32,000000	0065583	,5396847	,7346320	,0054675
22,39010	,1000000	22,39010	,1000000	0831980	34,000000	0047279	,5181383	,7198183	,0059858
25,74760	,0500000	25,74760	,0500000	0415990	36,000000	0079676	,4979453	,7056524	,0064078
27,07640	,0300000	27,07640	,0300000	0249594	38,000000	0013799	,4790377	,6921255	,0067574
27,66060	,0250000	27,66060	,0250000	0207995	40,000000	0000000	,4613343	,6792150	,0070556
28,37180	,0200000	28,37180	,0200000	0166396	50,000000	0000000	,3880683	,6229513	,0081095
30,77530	,0100000	30,77530	,0100000	0083198	60,000000	0000000	,3339452	,5778808	,0087550
31,17780	,0080000	31,17780	,0080000	0066558	70,000000	0000000	,7927025	,5410199	,0091909
33,70580	,0060000	33,70580	,0060000	0049919	80,000000	0000000	,2603559	,5102509	,0095050
35,56000	,0040000	35,56000	,0040000	0033279	90,000000	0000000	,2343597	,4840727	,0097422
38,50800	,0010000	38,50800	,0010000	0008320	100,000000	0000000	,2130350	,4615571	,0099275
40,000000	,0000000	,0000000	,0000000	200,0000	,0000000	,1112677	,3335681	,0107170	
				300,0000	,0000000	,0752341	,2742883	,0109650	
				400,0000	,0000000	,0568214	,2383724	,0110863	
				500,0000	,0000000	,0456471	,2136519	,0111583	
				1000,000	,0000000	,0230136	,1517022	,0113004	
				2000,000	,0000000	,0115543	,1074909	,0113705	
				5000,000	,0000000	,0046331	,0680670	,0114124	
				10000,00	,0000000	,0023185	,0481504	,0114263	

KONSTANTA MATERIAŁU 27,6856315

VÝPOČET VARIACNÍ KRIVKY POMOCÍ INTEGRÁLU

J₂

P.C.	NF	CB[L]XX1/CB[0]XX2	SORT	L1
1	9998300	.9118385	.8549074	4,000000
2	8738470	.8972111	.9472123	6,000000
3	7365357	.8735756	.9346259	8,000000
4	6510096	.8472451	.8204592	10,000000
5	5678640	.8200809	.9055832	12,000000
6	4873964	.7926739	.8803274	14,000000
7	4089884	.7653252	.8748287	16,000000
8	3359830	.7382650	.8591886	18,000000
9	2660574	.7114345	.8434658	20,000000
10	2019978	.6851265	.8277237	22,000000
11	1459774	.6593987	.8120333	24,000000
12	0884059	.6343679	.7964721	26,000000
13	0608789	.6101575	.7811226	28,000000
14	0337088	.5868613	.7660587	30,000000
15	0161105	.5645863	.7513896	32,000000
16	0068863	.5433931	.7371520	34,000000
17	0075080	.5233177	.7234036	36,000000
18	0085101	.5043479	.7101710	38,000000
19	0000000	.4864563	.6974642	40,000000
20	0000000	.4114499	.6414436	50,000000
21	0000000	.3552554	.5960330	60,000000
22	0000000	.3120845	.5586452	70,000000
23	0000000	.2780482	.5213028	80,000000
24	0000000	.2505930	.5005926	90,000000
25	0000000	.2280998	.4775037	100,000000
26	0000000	.1195761	.3457978	200,000000
27	0000000	.0809554	.2845267	300,000000
28	0000000	.0611801	.2473476	400,000000
29	0000000	.0491675	.2217375	500,000000
30	0000000	.0248066	.1575011	1000,000000
31	0000000	.0124590	.1116200	2000,000000
32	0000000	.0049970	.0706893	5000,000000
33	0000000	.0025007	.0500072	10000,00

VÝHODNOCENÍ ÚDAJŮ NAMĚŘENÝCH NA FIBROGRAPHU

J₂

VÝHODNOCENÍ HODNOTY		PREPOČET DLE MERITKA		APROXIMOVANÁ KŘIVKA		VARIACNÍ KŘIVKA		1,17125654
L1*	HF*	L1**	HF**	L1	HF	C8(L)XX2/C8(0)XC2	SQRT	
3,810000	1,800000	3,810000	.8537839	4,000000	.8473328	.9736654	.9610757	-.0064648
5,067300	.9500000	5,067300	.8110947	6,000000	.7780933	.9113383	.9546404	-.0078421
6,773800	.9000000	6,773800	.7684055	8,000000	.6976756	.8912513	.9440611	-.0100951
7,365000	.8500000	7,365000	.7257153	10,000000	.6064261	.8683173	.9318354	-.0123593
8,331200	.8000000	8,331200	.6830271	12,000000	.5123438	.8435355	.9184419	-.0141994
9,783700	.7500000	9,783700	.6403379	14,000000	.4154912	.8173455	.9040715	-.0154430
10,18540	.7000000	10,18540	.5976487	16,000000	.3237445	.7900955	.8888732	-.0160540
10,63310	.6570000	10,63310	.5694739	18,000000	.2381050	.7621339	.8730028	-.0160782
12,00150	.6000000	12,00150	.5122704	20,000000	.1666391	.7338287	.8565380	-.0156168
13,75410	.5000000	13,75410	.4768920	22,000000	.1113827	.7055725	.8399836	-.0148117
15,59560	.4000000	15,59560	.3415136	24,000000	.0709213	.6777489	.8232551	-.0138193
17,53870	.3000000	17,53870	.2561357	26,000000	.0398771	.6506743	.8066439	-.0127710
19,63090	.7500000	19,63090	.2134460	28,000000	.0215314	.6245826	.7903054	-.0117559
19,86780	.7000000	19,86780	.1707568	30,000000	.0109592	.5996416	.7743653	-.0108301
21,78570	.1500000	21,78570	.1280676	32,000000	.0057836	.5759567	.7589181	-.0100194
23,11400	.1000000	23,11400	.0853764	34,000000	.0027257	.5535779	.7440248	-.0093234
25,73020	.0500000	25,73020	.04264892	36,000000	.0015717	.5324888	.7297183	-.0087292
27,36850	.0300000	27,36850	.0256135	38,000000	.0013299	.5126696	.7160095	-.0082211
28,07890	.0250000	28,07890	.0213446	40,000000	.0000000	.4940579	.7028975	-.0077829
28,48880	.0200000	28,48880	.0170757	50,000000	.0000000	.4165978	.6454439	-.0067364
30,59430	.0100000	30,59430	.0085378	60,000000	.0000000	.3590268	.5991885	-.0052941
31,72930	.0080000	31,72930	.0061303	70,000000	.0000000	.3149997	.5612484	-.0045598
32,08070	.0060000	32,08070	.0051227	80,000000	.0000000	.2803907	.5295193	-.0042036
32,85490	.0040000	32,85490	.0034151	90,000000	.0000000	.2525312	.5025248	-.0038598
33,10940	.0010000	33,10940	.0008538	100,000000	.0000000	.2296505	.4792186	-.0035914
33,000000	.0000000	33,000000	.0000000	200,000000	.0000000	.1201631	.3466455	-.0024516
				300,000000	.0000000	.0812949	.2851227	-.0020946
				400,000000	.0000000	.0614160	.2478226	-.0013202
				500,000000	.0000000	.0493463	.2221404	-.0018168
				1000,000000	.0000000	.0248857	.1577551	-.0016127
				2000,000000	.0000000	.0124967	.1117887	-.0015120
				5000,000000	.0000000	.0050115	.0707919	-.0014520
				10000,00	.0000000	.0025079	.0500788	-.0014320

ROZDÍLNA MATERIALU 27.1948307

VÝHODA VARIACNÍ KŘIVKY POMOCI INTEGRALU

J₃

P.C.	99 08 XXX/08 1 XXX	SQRT	L1
1	.995970	.9998890	.9538810 4,000000
2	.8201810	.8949914	.9467404 6,000000
3	.7114593	.8708923	.9337161 8,000000
4	.6446106	.8441877	.9187959 10,000000
5	.5809997	.8164280	.9036747 12,000000
6	.4801595	.7884799	.8881841 14,000000
7	.4029918	.7612297	.8774848 16,000000
8	.3291644	.7339110	.8556695 18,000000
9	.2607479	.7069454	.8408005 20,000000
10	.1977746	.6805306	.8249478 22,000000
11	.1429460	.6547440	.8095625 24,000000
12	.0954853	.6296905	.7935304 26,000000
13	.0576476	.6054742	.7781277 28,000000
14	.0325874	.5871940	.7630190 30,000000
15	.0139287	.5599536	.7483005 32,000000
16	.0054640	.538064	.7340343 34,000000
17	.0018363	.5187862	.7202681 36,000000
18	.0004031	.4998885	.7070279 38,000000
19	.0000000	.4820424	.6943215 40,000000
20	.0000000	.4675184	.6837717 50,000000
21	.0000000	.3517389	.5830758 60,000000
22	.0000000	.3089233	.5558087 70,000000
23	.0000000	.2751857	.5245815 80,000000
24	.0000000	.2479818	.4979777 90,000000
25	.0000000	.2256117	.4749860 100,0000
26	.0000000	.1182690	.3430226 200,0000
27	.0000000	.0800670	.2879488 300,0000
28	.0000000	.0605003	.2459680 400,0000
29	.0000000	.0486187	.2204966 500,0000
30	.0000000	.0245779	.1556135 1000,000
31	.0000000	.0123186	.1109891 2000,000
32	.0000000	.0049405	.0702890 5000,000
33	.0000000	.0024725	.0497238 10000,000

VÝHODNOCENÍ SOJAU NAMĚŘENÝCH NA FIBROGRAPHU

J3

VSTUPNÍ HODNOTY	PREPOČET DLE MERITKA	APROXIMOVANÁ KRIVKA	VARIACNÍ KRIVKA					
L1*	HF*	L1**	HF**	L1	HF	CB(L)XX2/CB(0)XX2	SQRT	REL. DIF.
		1,19736564						
3,810000	1,000000	3,810000	.8351568	4,000000	.8277295	.9138647	.9559627	.0021823
4,876800	.9500000	4,876800	.7934084	6,000000	.7462496	.8997675	.9485608	.0026641
5,880100	.9000000	5,880100	.7516501	8,000000	.6561658	.8767846	.9363678	.0033772
6,807200	.8500000	6,807200	.7098917	10,00000	.5680795	.8509012	.9224430	.0039684
7,734300	.8000000	7,734300	.6681134	12,00000	.4811218	.8237008	.9075796	.0043212
8,661400	.7500000	8,661400	.6263751	14,00000	.3924343	.7958226	.8920889	.0043954
9,598600	.7000000	9,598600	.5846167	15,00000	.3043961	.7675403	.8760938	.0041364
10,535800	.6670000	10,535800	.5570562	18,00000	.2244761	.7390457	.8596777	.0035126
11,44430	.6000000	11,44430	.501100%	20,00000	.1597283	.7105911	.8429657	.0025752
11,44930	.5000000	13,44930	.4175834	22,00000	.1087584	.6824905	.8261298	.0014390
11,77810	.4000000	15,77810	.3340667	24,00000	.0702229	.6550488	.8093509	.0002328
17,31010	.3000000	17,31010	.2505500	26,00000	.0405783	.6285064	.7977840	.0009407
19,41500	.2500000	19,41500	.2087917	28,00000	.0223438	.6030357	.7765537	.0020157
19,71040	.2000000	19,71040	.1670334	30,00000	.0119491	.5787601	.7607628	.0029569
21,25980	.1500000	21,25980	.1252750	32,00000	.0063330	.5557552	.7454899	.0037560
23,12670	.1000000	23,12670	.0835167	34,00000	.0034537	.5340473	.7307854	.0044261
25,86990	.0500000	25,86990	.0417583	36,00000	.0074377	.5136230	.7166749	.0049887
27,71140	.0300000	27,71140	.02050550	38,00000	.0014938	.4944403	.7031645	.0054643
29,15590	.0250000	29,15590	.0208792	40,00000	.0090000	.4764369	.6902441	.0058726
29,77820	.0200000	29,77820	.0167033	50,00000	.0000000	.4015800	.6337034	.0073128
30,97450	.0100000	30,97450	.0083517	60,00000	.0000000	.3460003	.5882179	.0081911
31,78810	.0080000	31,78810	.0066813	70,00000	.0000000	.3035208	.5509273	.0087827
37,80410	.0060000	32,80410	.0050110	80,00000	.0000000	.2701411	.5197510	.0092082
34,08680	.0040000	34,08680	.0033407	90,00000	.0000000	.2432783	.4932325	.0095290
39,39540	.0010000	39,39540	.0008352	100,00000	.0000000	.2212205	.4703409	.0097795
40,00000	.0000000	40,00000	.0000000	200,00000	.0000000	.1157179	.3401733	.0108439
				300,00000	.0000000	.0782803	.2797862	.0111774
				400,00000	.0000000	.0591359	.2431786	.0113404
				500,00000	.0000000	.0475130	.2179747	.0114371
				1000,000	.0000000	.0239608	.1547928	.0115278
				2000,000	.0000000	.0120315	.1095881	.0117219
				5000,000	.0000000	.0048248	.0694611	.0117780
				10000,00	.0000000	.0024145	.0491372	.0117966

KONSTANTA MATERIALU= 21,7860000

VÝPOCET VARIACNÍ KRIVKY POMOCÍ INTEGRALU J₄

POL.	W ₁ CH[L]XX2/CH[0]XX2	SORT	L1
1	.9992814	.9060415	.9518621 4,000000
2	.8127817	.8906271	.9437304 6,000000
3	.7217420	.8657378	.9304503 8,000000
4	.6329992	.8382167	.9155417 10,00000
5	.5431572	.8098698	.8995777 12,00000
6	.4552354	.7813850	.8829598 14,00000
7	.3676726	.7530948	.8678103 16,00000
8	.2847139	.7251874	.8515794 18,00000
9	.2067349	.6977885	.8353373 20,00000
10	.1249103	.6710015	.8191468 22,00000
11	.0407802	.6449277	.8030739 24,00000
12	.0856437	.6196713	.7871920 26,00000
13	.0508315	.5953389	.7715820 28,00000
14	.0294191	.5720313	.7563275 30,00000
15	.0126374	.5498297	.7415047 32,00000
16	.0050268	.5287809	.7271732 34,00000
17	.0016443	.5088995	.7133719 36,00000
18	.0004729	.4901575	.7001196 38,00000
19	.0000906	.4725442	.6874185 40,00000
20	.0000060	.3919661	.5316377 50,00000
21	.0000020	.3441000	.5866003 60,00000
22	.0000000	.3020621	.5496018 70,00000
23	.0000000	.2689754	.5186293 80,00000
24	.0000000	.2423202	.5922603 90,00000
25	.0000000	.2204138	.4694825 100,00000
26	.0000000	.1154396	.3397640 200,00000
27	.0000000	.0781225	.2795041 300,00000
28	.0000000	.0590280	.2429567 400,00000
29	.0000000	.0474317	.2177882 500,00000
30	.0000000	.0239251	.1546776 1000,000
31	.0000000	.0120149	.1096125 2000,000
32	.0000000	.0048185	.0694156 5000,000
33	.0000000	.0024114	.0481055 10000,00

MÍSTOLOCENÍ OBRÁZKU NAMĚŘENÝCH NA FIBROGRAFU

J₄

EST. PNU.	PONTOVÝ	PREPOČET DLE MERITKA	APROTIČUVANÁ KŘIVKA	VARIACNÍ KŘIVKA				
L1*	H1*	L1**	H1**	L1	H1	CB(L)XX2/CB(0)XX2	SQRT	REL. DIFF.
1.17181757								
1,11000	1,000000	3,715000	1,000000	,0000000	1,000000	,8478243	,9239121	,9612035
5,77000	,950000	5,270500	,4533751	,4,000000	,7849071	,9119625	,9543673	,0119063
6,47700	,800000	6,477000	,7680376	,6,000000	,7024365	,8924822	,9447127	,0153285
7,46750	,850000	7,467600	,7753687	,10,00000	,6091406	,8700491	,9327642	,0188112
8,45820	,700000	8,458200	,6827001	,12,00000	,5132566	,8455484	,9195370	,0217899
9,34770	,750000	9,347700	,6400334	,14,00000	,4127581	,8154386	,9052285	,0240606
10,24800	,700000	10,24800	,5973625	,16,00000	,3176093	,7920851	,8899915	,0255601
11,16770	,667000	10,30770	,5692012	,18,00000	,2330295	,7638877	,8740067	,0263362
12,02750	,600000	12,02750	,5170251	,20,00000	,1602322	,7352832	,8574865	,0265153
13,71600	,500000	13,71600	,4766876	,22,00000	,1038833	,7065976	,8406531	,0262545
15,45590	,400000	15,45590	,3413501	,24,00000	,0679116	,6765449	,8237384	,0257317
17,41170	,300000	17,41170	,2500125	,26,00000	,0384345	,6511810	,8069579	,0251093
18,30790	,2510000	18,30790	,2133438	,28,00000	,0196511	,6748517	,7904756	,0244668
19,73590	,2000000	19,73590	,1706750	,30,00000	,0067477	,5997090	,7744088	,0239067
20,71530	,1500000	20,71530	,1290663	,32,00000	,0031289	,5758447	,7588443	,0233844
22,81080	,1000000	22,81080	,7853375	,34,00000	,0018367	,5533058	,7438453	,0229272
23,57390	,0500000	23,57390	,0426688	,36,00000	,0000000	,5320923	,7294466	,0225333
27,77960	,0300000	27,77960	,0256713	,38,00000	,0000000	,5121645	,7156367	,0221920
27,74950	,0250000	27,74950	,0113344	,40,00000	,0000000	,4934621	,7024686	,0218936
29,76450	,0200000	29,76450	,0170675	,50,00000	,0000000	,4157631	,6447972	,0208340
29,54020	,0100000	29,54020	,0085311	,60,00000	,0000000	,3581327	,5984419	,0201868
29,49530	,0080000	29,49530	,0068270	,70,00000	,0000000	,3141116	,5604566	,0197504
30,43560	,0060000	30,43560	,0051203	,80,00000	,0000000	,2795338	,5287095	,0194362
31,55950	,0040000	31,55950	,0034135	,90,00000	,0000000	,2517142	,5017113	,0191993
35,52180	,0010000	35,52180	,0008534	,100,00000	,0000000	,2288755	,4784093	,0180142
36,00000	,0001000	,0000002	,0000000	,200,00000	,0000000	,1196862	,3459569	,0182270
				,300,00000	,0000000	,0809571	,2815296	,0179801
				,400,00000	,0000000	,0611552	,2472958	,0178593
				,500,00000	,0000000	,0491341	,2216621	,0177877
				,100,00000	,0000000	,0247770	,1574071	,0176464
				,200,00000	,0000000	,0124410	,1115391	,0175767
				,500,00000	,0000000	,0049890	,0706328	,0175351
				,1000,000	,0000000	,0024966	,0499659	,0175213

KONSTANTA MATERIALU 20.9155201

VYPOČET VARIACIONE KŘIVKY POMOCÍ INTEGRALU

J₅

P.C.	R[C]	C[R]AX2/LG[0]AX2	SQRT	L1
1	.9991364	.9043772	.9509875	4,000000
2	.9991180	.898436	.9425789	6,000000
3	.7162314	.8632453	.9291059	8,000000
4	.6257138	.8319141	.9138641	10,000000
5	.3798287	.8063174	.8979518	12,000000
6	.4563716	.7773481	.8816735	14,000000
7	.3775353	.7486137	.8652247	16,000000
8	.3049972	.7203151	.8487138	18,000000
9	.2311175	.6975925	.8322714	20,000000
10	.1777193	.6655548	.8158167	22,000000
11	.1252583	.6393075	.7995671	24,000000
12	.0812961	.6139398	.7835431	26,000000
13	.0474356	.5875486	.7678207	28,000000
14	.0241405	.5647230	.7524779	30,000000
15	.0101936	.5440748	.7375572	32,000000
16	.0036633	.5237777	.7232065	34,000000
17	.0011741	.5032105	.7093734	36,000000
18	.00017818	.4845605	.6961038	38,000000
19	.00009020	.4672715	.6833970	40,000000
20	.0000000	.3977901	.6776463	50,000000
21	.0000000	.3395390	.6427855	50,000000
22	.0000000	.2960460	.5459359	70,000000
23	.0000000	.2653360	.5151077	80,000000
24	.0000000	.2389568	.4888731	90,000000
25	.0000000	.2173600	.4662188	100,000000
26	.0000000	.1937717	.4372999	200,000000
27	.0000000	.0769789	.2771507	300,000000
28	.0000000	.0581554	.2411606	400,000000
29	.0000000	.0417354	.2151721	500,000000
30	.0000000	.0235687	.1535215	1000,000000
31	.0000000	.0118393	.1067903	2000,000000
32	.0000000	.0047164	.0688738	5000,000000
33	.0000000	.0023752	.04677362	10000,000000

VYHODNOCENÍ USAJÍS NAKRÉMENÝCH NA FIBROGRAPHY

15

YSTUPNÍ HODNOTY	PREPOČET BIF. XERITKA	APPROXIMOVANÁ XERIVKA	VARIACNÍ XERIVKA		REL. BIF.
			L1	RF	
	1,71476298				
1,818080	1,800000	1,800000	,0000000	1,000000	
1,510188	,5500000	1,510188	,7823545	4,000000	,8137655 ,9068832 ,8573042 ,-,0013846
1,545500	,6000000	1,545500	,7411584	8,000000	,6298835 ,8652776 ,5302030 ,-,0011765
1,718380	,8500000	1,718300	,7000131	18,00000	,5348768 ,8369593 ,8148602 ,-,0018687
1,366000	,6000000	1,366000	,6588359	12,00000	,4418425 ,8076308 ,8886829 ,-,0008141
1,757780	,7500000	1,757780	,6176587	14,00000	,3500432 ,7777534 ,8819033 ,-,0002607
1,554780	,7000000	1,554700	,5764814	16,00000	,2640566 ,7476409 ,8646623 ,-,0006508
1,698188	,6670000	1,698100	,5493044	18,00000	,1984153 ,7175661 ,8470927 ,-,0019181
18,87172	,6000000	18,87172	,4541265	20,00000	,1314111 ,6878484 ,8293663 ,-,0034308
17,64578	,5800000	17,64578	,4117724	22,00000	,0853769 ,6588118 ,8116717 ,-,0058807
14,47888	,4000000	14,47888	,3254175	24,00000	,0541146 ,6307331 ,7941871 ,-,0067286
16,39578	,3600000	16,39570	,2470435	26,00000	,0300013 ,6032272 ,7778632 ,-,0082700
17,51338	,7500000	17,51338	,2858862	28,00000	,0152635 ,5782727 ,7684132 ,-,0096474
18,80878	,2800000	18,80870	,1647890	30,00000	,0073706 ,5548116 ,7443195 ,-,0108420
18,71198	,3500000	18,71198	,1235217	32,00000	,0033668 ,5312077 ,7288399 ,-,0118592
27,13618	,1060000	27,13618	,0873545	34,00000	,0870288 ,5878055 ,7140666 ,-,0127218
24,85398	,0500000	24,85390	,0411772	36,00000	,0000000 ,4887596 ,6998283 ,0134557
26,54380	,8300000	26,54308	,0247063	38,00000	,0000000 ,4710013 ,6862954 ,0140905
27,05830	,0750000	27,05830	,0205846	40,00000	,0000000 ,4534521 ,6733885 ,0146453
27,71148	,0700000	27,71148	,0164709	50,00000	,0000000 ,3810041 ,6172553 ,0166182
26,67990	,0100000	26,67990	,0082354	58,00000	,0000000 ,3276382 ,5723969 ,0178259
30,28950	,0600000	30,28950	,0065884	70,00000	,0000000 ,2870376 ,5357589 ,0186412
31,07658	,0040000	31,07650	,0045413	88,00000	,0000000 ,2552799 ,5052029 ,0192287
32,84718	,0040000	32,84718	,0032942	90,00000	,0000000 ,2296862 ,4792559 ,0196722
35,86488	,0010000	35,86480	,0000235	100,00000	,0000000 ,2887446 ,4568857 ,0208188
,0000000	,0000000	,0000000	,0000000	100,00000	,0000000 ,1053379 ,3308499 ,0214945
				300,00000	,0000000 ,0736354 ,2713584 ,0219579
				400,00000	,0000000 ,0556066 ,7358105 ,0221846
				500,00000	,0000000 ,0446477 ,2113474 ,0223191
				1000,00000	,0000000 ,8225163 ,1580543 ,0225846
				2000,00000	,0000000 ,0113837 ,1063191 ,0227157
				5000,00000	,0000000 ,0645374 ,8673234 ,0227838
				10000,00	,0000000 ,0822680 ,0476240 ,0228198

KONSTANTA MATERIALU - 70,7715931
 VÝPOČET VARIACI KŘIVKY POMOCÍ INTEGRÁLU J_6

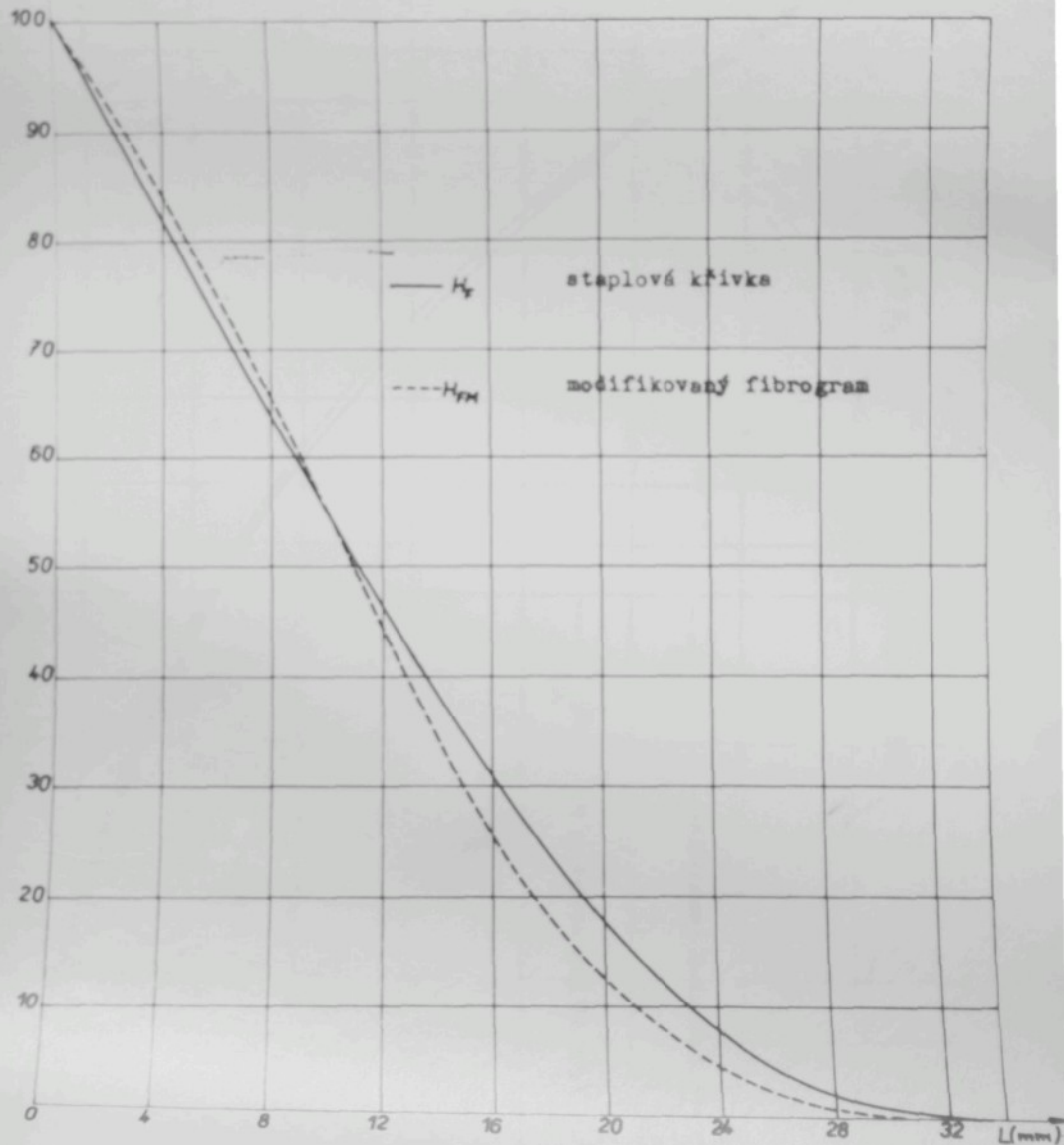
P.C.	RF	CB(L)XX2/CB(R)XX2	SORT	LI
1	.9994526	.9937148	.9506392	4,000000
2	.8875377	.8878397	.9422527	5,000000
3	.7137214	.8621921	.5285438	8,000000
4	.6222511	.8338284	.9131426	10,000000
5	.5348511	.8046214	.8978069	12,000000
6	.4495335	.7752694	.8804839	14,000000
7	.3691555	.7461094	.8637763	16,000000
8	.2840307	.7173488	.8465648	18,000000
9	.2255581	.6891477	.8301456	20,000000
10	.1644336	.6616245	.8134030	22,000000
11	.1124599	.6344714	.7968196	24,000000
12	.8781811	.6091515	.7804816	26,000000
13	.6388561	.5844780	.7644785	28,000000
14	.4888043	.5588500	.7488952	30,000000
15	.3677158	.5384883	.7338176	32,000000
16	.2625411	.5173753	.7182881	34,000000
17	.1866006	.4975857	.7053488	36,000000
18	.1266524	.4788438	.6919854	38,000000
19	.0900000	.4613335	.6792154	40,000000
20	.0600000	.3886288	.6733933	50,000000
21	.0466008	.3347128	.5785437	60,000000
22	.0300008	.2935474	.5418882	70,000000
23	.0166000	.2612185	.5110954	80,000000
24	.0088000	.23572117	.4849863	90,000000
25	.0050005	.2138631	.4624534	100,0000
26	.0026003	.1118188	.3343947	200,0000
27	.0000008	.0756328	.2750143	300,0000
28	.0000000	.0571320	.2396738	400,0000
29	.0000000	.0459811	.2142455	500,0000
30	.0000000	.0731461	.1521384	1000,000
31	.0000000	.0116219	.1878850	2000,000
32	.0000000	.0846685	.0682678	5000,000
33	.0000000	.0823372	.0482929	10000,00

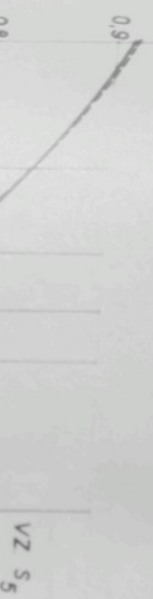
VYHODNOCENÉ UDÁJY NAKRESLENÝ NA FOTOGRAFII

J.

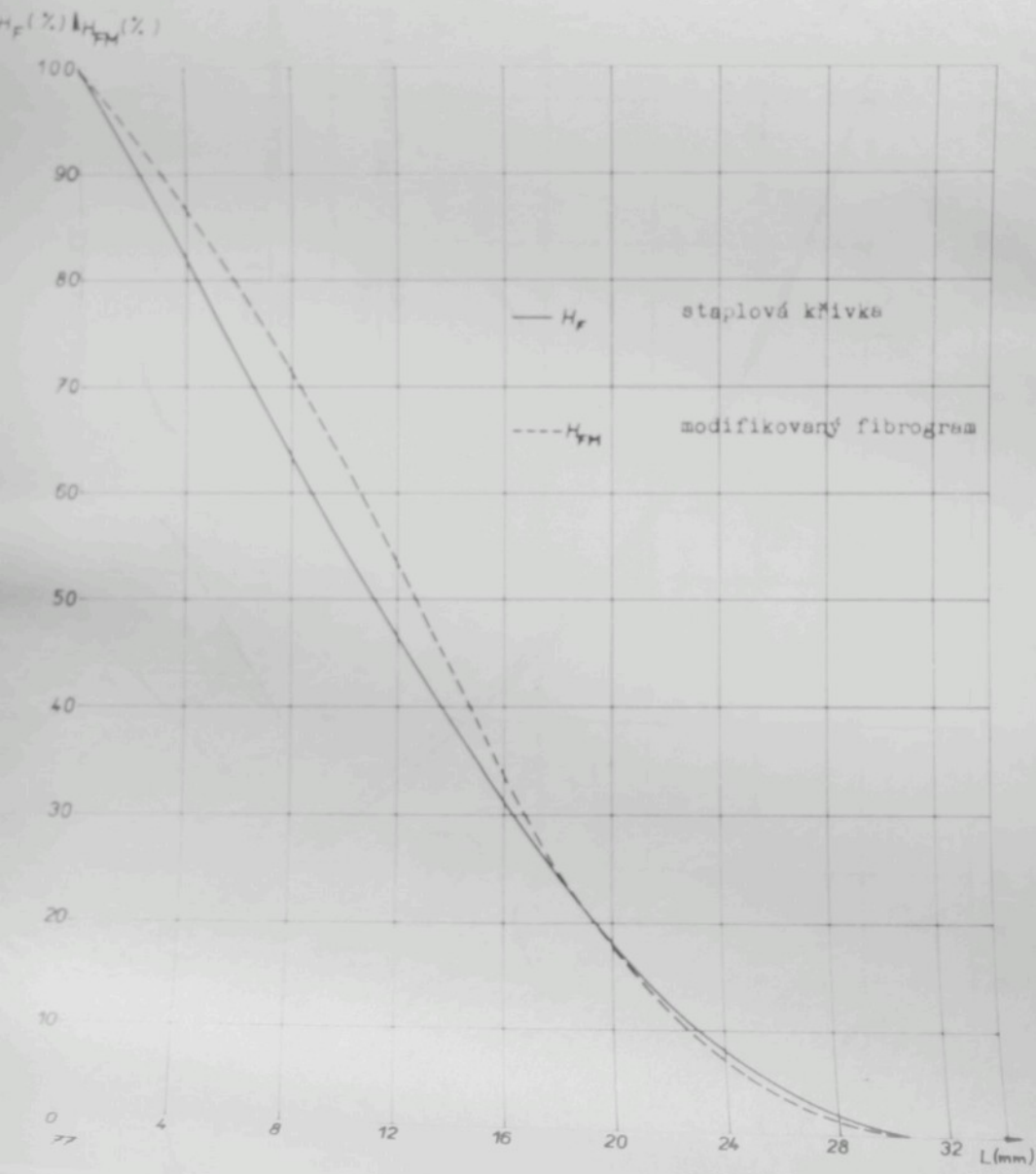
VÝKLOPKY HODNOTY		PREPOČET DLE KERITKA		APROXIMOVANÁ KRIVKA		VARIACIONÍ KRIVKA		
L1'	R16	L1''	R1''	L1	R1	CH(L)XX2/CH(0)XX2	SQRT	REL. BIF.
1,17633491								
1,510800	1,800000	3,810800	.850800	4,000000	.8450512	.9725256	.9604826	-.0183539
5,418793	.550000	5,418206	.8875931	6,000000	.7851617	.9185901	.9542485	-.017315
5,577800	.500000	6,527800	.7650882	8,000000	.6995049	.8911225	.9439928	-.0166388
7,531188	.750000	7,531100	.7725833	10,000000	.5961139	.8684380	.9318959	-.0205371
8,354700	.800000	8,354700	.6808784	12,000000	.4931341	.8432715	.9187709	-.0237055
9,184886	.750000	9,184886	.6375735	14,000000	.3926468	.8160962	.9033804	-.0258829
10,028311	.780000	10,028300	.5950686	16,000000	.2953476	.7876616	.8875030	-.0274686
10,57418	.667000	10,57418	.5670154	18,000000	.2157867	.7584634	.8788880	-.0282586
11,671138	.580000	11,67738	.5100858	20,000000	.1501577	.7290126	.8538224	-.0285212
11,37230	.500000	11,37230	.4750498	22,000000	.0888973	.6997895	.8365343	-.0284376
11,19831	.480000	11,19838	.3400387	24,000000	.0633098	.6712052	.8192712	-.0281765
11,47858	.380000	11,47858	.2550284	26,000000	.0363355	.6435713	.8022288	-.0278640
12,88480	.750000	12,88488	.2175745	28,000000	.0177666	.6770939	.7855532	-.0275669
13,32948	.7800000	13,32948	.1700156	30,000000	.00991160	.5918829	.7693523	-.0273109
14,76450	.150000	14,76450	.1275147	32,000000	.0057186	.5680755	.7537078	-.0271851
22,68650	.100000	22,68650	.0850888	34,000000	.0028714	.5456336	.7386781	-.0268462
25,33650	.050000	25,33650	.0475045	36,000000	.0015868	.5245536	.7242607	-.0268237
27,16530	.630000	27,16530	.0255829	38,000000	.0011027	.5047878	.7184807	-.0267278
27,57080	.075000	27,57080	.0217525	40,000000	.0000080	.4867498	.6973161	-.0266494
28,10518	.070000	28,10518	.0170020	58,000000	.0000008	.4093908	.6398365	-.0263760
30,37848	.010000	30,37848	.0085018	60,000000	.0000000	.3524873	.5937064	-.0267085
31,87450	.008000	31,87458	.0068008	70,000000	.0000008	.3890677	.5559386	-.0260953
32,88078	.004000	32,88078	.0051706	80,000000	.0000000	.2749858	.5243909	-.0260137
37,80410	.004000	37,80418	.0034004	90,000000	.0000000	.2475786	.4975777	-.0259521
38,56790	.001000	38,56790	.0008581	100,000000	.0000000	.2258864	.4744327	-.0258040
39,60000	.000000	39,60000	.0000000	700,000000	.0000000	.1176410	.3429883	-.0256988
				300,0000	.0000000	.0795581	.2820641	-.0256344
				400,0000	.0000000	.0600949	.2451426	-.0256028
				500,0000	.0000000	.0482798	.2197267	-.0255841
				1000,000	.0000000	.0243438	.1568251	-.0255471
				2000,000	.0000000	.0122229	.1105572	-.0255289
				5000,000	.0000000	.0049014	.8700099	-.0255188
				10000,00	.0000000	.0024527	.6495751	-.0255144

$H_F(\%)$ $H_{FM}(\%)$



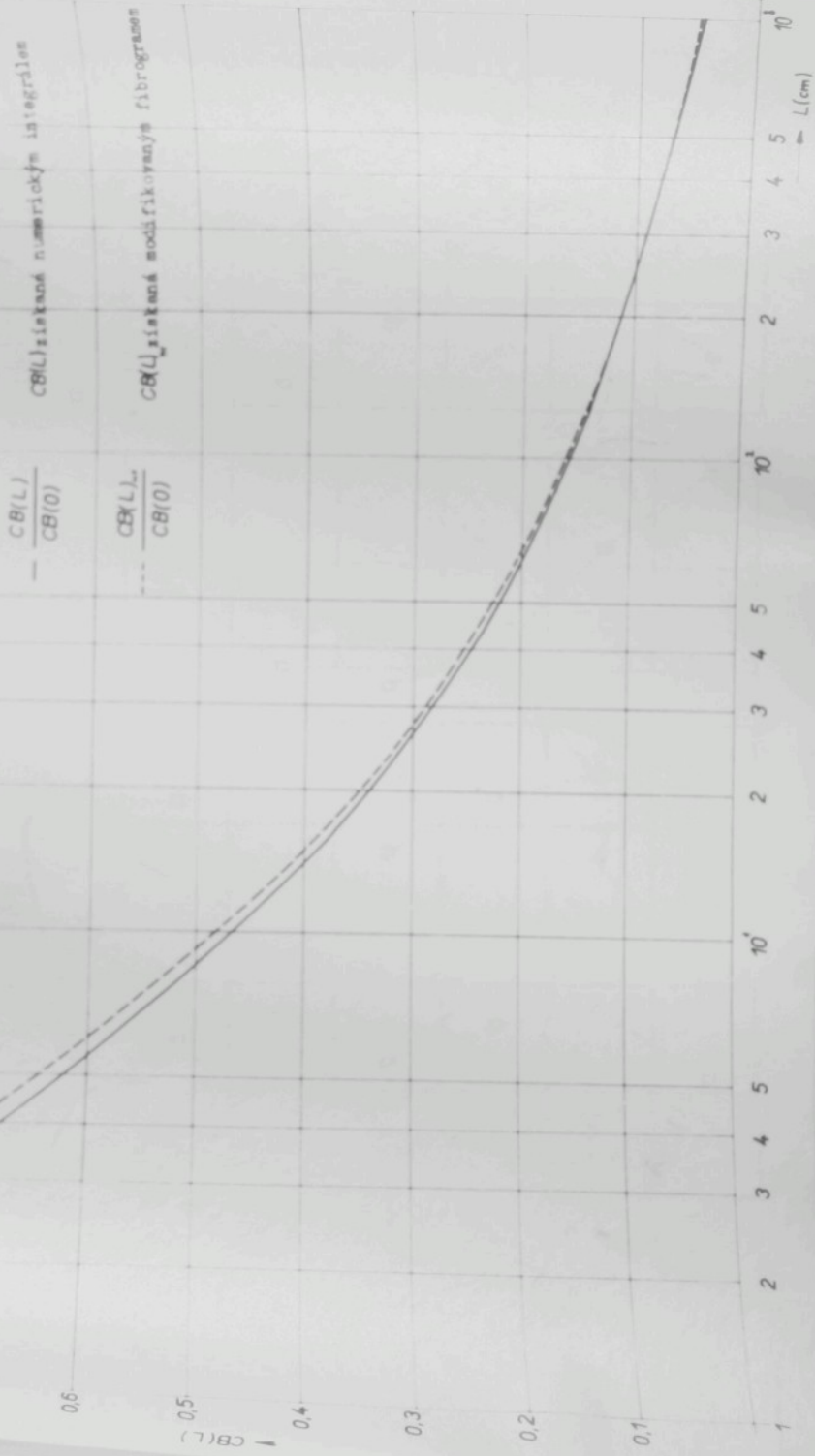


PRÍLOHA Č ~~XIX~~ b



VZ 56

PŘÍLOHA Č XX b

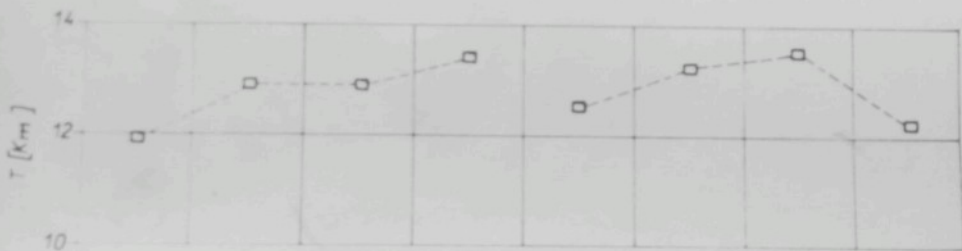
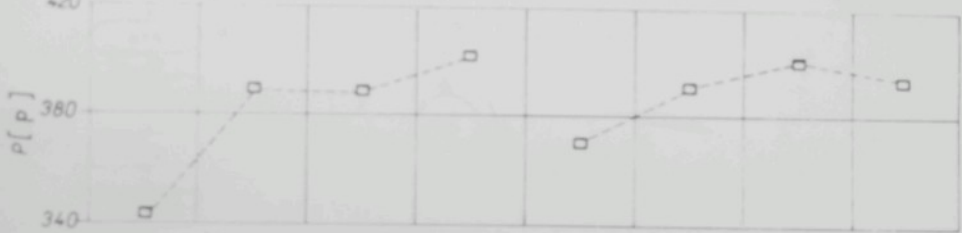


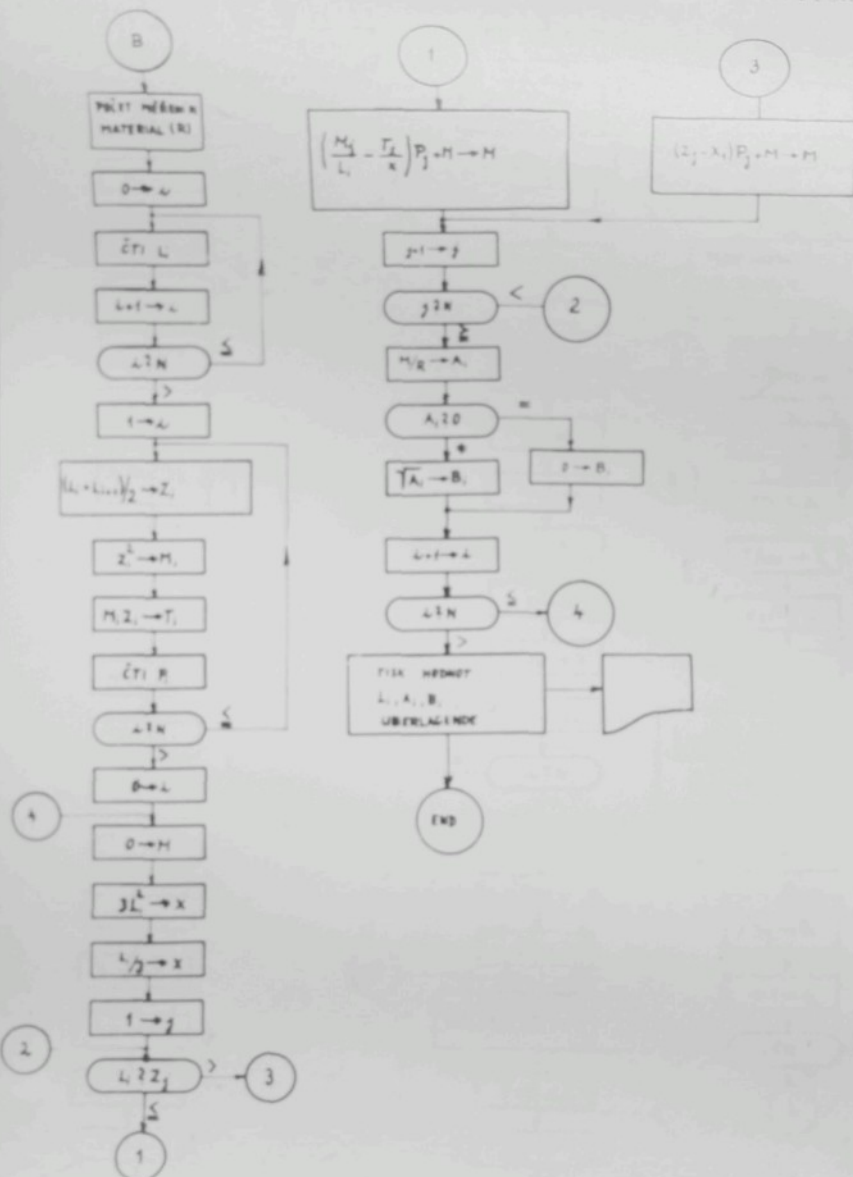
SOUHRN UKAZATELŮ VLASTNOSTI PRÍZE

Příloha XXI

SORTIMENT JÍTKA

SORTIMENT SEBA





Průběh výpočtu

